

COMMITTENTE:



DIREZIONE LAVORI:



APPALTATORE:



PROGETTAZIONE:	PROGETTISTA:	DIRETTORE DELLA PROGETTAZIONE
RAGGRUPPAMENTO TEMPORANEO PROGETTISTI	Prof. Ing. MARCO PETRANGELI	Ing. PIETRO MAZZOLI Responsabile integrazione fra le varie prestazioni specialistiche

PROGETTO ESECUTIVO

**ITINERARIO NAPOLI-BARI
RADDOPPIO TRATTA CANCELLO-BENEVENTO
I° LOTTO FUNZIONALE CANCELLO-FRASSO TELESINO E VARIANTE
ALLA LINEA ROMA-NAPOLI VIA CASSINO NEL COMUNE DI MADDALONI
PONTI E VIADOTTI DI LINEA**

Tratta Canello-Frasso Telesino - VIADOTTO dal km 1+828 al km 2+201: Viadotto Canello Pile 01, 02, 03 e 04: Relazione di calcolo

APPALTATORE		SCALA:
CONSORZIO CFT IL DIRETTORE TECNICO Geom. C. Bianchi 13/09/2018		<div style="border: 1px solid black; width: 100px; height: 30px; margin: 0 auto; text-align: center;">-</div>

COMMESSA	LOTTO	FASE	ENTE	TIPO DOC.	OPERA/DISCIPLINA	PROGR.	REV.
I F 1 N	0 1	E	Z Z	C L	V I 0 2 0 5	0 0 1	B

Rev.	Descrizione	Redatto	Data	Verificato	Data	Approvato	Data	Autorizzato Data
A	Emissione	L. Gasperoni	11/07/2018	M. Petrangeli	11/07/2018	P.Mazzoli	11/07/2018	M. Petrangeli 13/09/2018
B	Rev. istruttoria ITF 29/08/2018	L. Gasperoni	13/09/2018	M. Petrangeli	13/09/2018	P.Mazzoli	13/09/2018	

  	ITINERARIO NAPOLI – BARI RADDOPPIO TRATTA CANCELLO – BENEVENTO I° LOTTO FUNZIONALE CANCELLO - FRASSO TELESINO E VARIANTE ALLA LINEA ROMA-NAPOLI VIA CASSINO NEL COMUNE DI MADDALONI – PROGETTO ESECUTIVO												
Pile P01-P02-P03-P04: Relazione di calcolo	<table border="1"> <thead> <tr> <th>COMMESSA</th> <th>LOTTO</th> <th>CODIFICA</th> <th>DOCUMENTO</th> <th>REV.</th> <th>FOGLIO</th> </tr> </thead> <tbody> <tr> <td>IF1N</td> <td>01 E ZZ</td> <td>CL</td> <td>VI0205 001</td> <td>B</td> <td>3 di 140</td> </tr> </tbody> </table>	COMMESSA	LOTTO	CODIFICA	DOCUMENTO	REV.	FOGLIO	IF1N	01 E ZZ	CL	VI0205 001	B	3 di 140
COMMESSA	LOTTO	CODIFICA	DOCUMENTO	REV.	FOGLIO								
IF1N	01 E ZZ	CL	VI0205 001	B	3 di 140								

Indice

1	PREMESSA	6
2	NORMATIVA E DOCUMENTI DI RIFERIMENTO.....	7
2.1	NORMATIVE.....	7
2.2	ELABORATI DI RIFERIMENTO.....	8
3	MATERIALI.....	9
3.1	CALCESTRUZZO PER FUSTO PILA E PULVINO.....	9
3.2	CALCESTRUZZO PER PLINTO DI FONDAZIONE.....	10
3.3	CALCESTRUZZO PER PALI DI FONDAZIONE.....	11
3.4	ACCIAIO PER BARRE DI ARMATURA	12
4	CARATTERIZZAZIONE GEOTECNICA.....	13
4.1	CARATTERIZZAZIONE GEOTECNICA	13
5	DESCRIZIONE DELLA STRUTTURA	14
6	ANALISI DEI CARICHI	20
6.1	PERMANENTI STRUTTURALI (G1).....	20
6.1.1	PESO PROPRIO IMPALCATI.....	20
6.1.2	PESO PROPRIO PILA	22
6.2	PERMANENTI NON STRUTTURALI (G2).....	22
6.2.1	BALLAST (G21).....	22
6.2.2	PERMANENTI NON STRUTTURALI GENERICI (G22).....	24
6.2.3	RIEMPIMENTO PILA E TERRENO DI RICOPRIMENTO	25
6.3	CARICHI DA TRAFFICO	26
6.3.1	CARICHI VERTICALI DA TRAFFICO (Q1).....	35
6.3.2	AZIONI DI AVVIAMENTO E FRENATURA (Q2).....	49
6.3.3	FORZA CENTRIFUGA (Q3).....	64
6.3.4	SERPEGGIO (Q4).....	79
6.4	CARICHI VARIABILI (Q5).....	86
6.4.1	AZIONI DEL VENTO (Q51).....	86
6.5	AZIONI INDIRETTE (Q6).....	95
6.5.1	RESISTENZE PARASSITE NEI VINCOLI (Q61).....	95
6.6	EFFETTI D'INTERAZIONE (Q7).....	96
6.6.1	VARIAZIONI TERMICHE DELL'IMPALCATO (Q71).....	96
6.6.2	AZIONI DI FRENATURA E AVVIAMENTO	97
6.6.3	INFLESSIONE DELL'IMPALCATO DOVUTA AI CARICHI VERTICALI DA TRAFFICO	97

  	ITINERARIO NAPOLI – BARI RADDOPPIO TRATTA CANCELLO – BENEVENTO I° LOTTO FUNZIONALE CANCELLO - FRASSO TELESINO E VARIANTE ALLA LINEA ROMA-NAPOLI VIA CASSINO NEL COMUNE DI MADDALONI – PROGETTO ESECUTIVO												
Pile P01-P02-P03-P04: Relazione di calcolo	<table border="1"> <thead> <tr> <th>COMMESSA</th> <th>LOTTO</th> <th>CODIFICA</th> <th>DOCUMENTO</th> <th>REV.</th> <th>FOGLIO</th> </tr> </thead> <tbody> <tr> <td>IF1N</td> <td>01 E ZZ</td> <td>CL</td> <td>VI0205 001</td> <td>B</td> <td>4 di 140</td> </tr> </tbody> </table>	COMMESSA	LOTTO	CODIFICA	DOCUMENTO	REV.	FOGLIO	IF1N	01 E ZZ	CL	VI0205 001	B	4 di 140
COMMESSA	LOTTO	CODIFICA	DOCUMENTO	REV.	FOGLIO								
IF1N	01 E ZZ	CL	VI0205 001	B	4 di 140								

6.7	AZIONI SISMICHE (E)	98
6.7.1	SPETTRI DI PROGETTO ALLO SLV	99
7	COMBINAZIONI DI CARICO	102
8	ANALISI DELLE SOLLECITAZIONI.....	106
8.1	MODELLO DI CALCOLO E.F.	106
8.2	MASSE E FORZE SISMICHE.....	106
8.3	CARICHI ELEMENTARI	111
8.3.1	RIEPILOGO DEGLI SCARICHI DALL'IMPALCATO	111
8.4	SOLLECITAZIONI DI CALCOLO	115
8.4.1	SOLLECITAZIONI ALLA BASE DEL FUSTO PILA	115
8.4.2	SOLLECITAZIONI ALL'INTRADOSSO DEL PLINTO DI FONDAZIONE.....	118
8.4.1	SOLLECITAZIONI DISTRIBUITE IN TESTA AI PALI DI FONDAZIONE	118
9	VERIFICHE STRUTTURALI DEL FUSTO PILA.....	119
9.1	GEOMETRIA DELLA SEZIONE DI VERIFICA E ARMATURA.....	119
9.1.1	ARMATURA LONGITUDINALE	119
9.1.2	ARMATURA TRASVERSALE	119
9.1.3	VERIFICA DELL'ARMATURA MINIMA.....	120
9.2	VERIFICA SLU A FLESSIONE	123
9.3	VERIFICA SLU A TAGLIO	125
9.4	VERIFICA SLE TENSIONALE	126
9.5	VERIFICA SLE A FESSURAZIONE.....	126
9.6	VERIFICA DEGLI SPOSTAMENTI.....	126
10	VERIFICHE STRUTTURALI DEI PALI DI FONDAZIONE	127
10.1	GEOMETRIA DELLA SEZIONE DI VERIFICA E ARMATURA.....	127
10.2	VERIFICA SLU A PRESSOFLESSIONE	128
10.3	VERIFICA SLU A TAGLIO	130
10.4	VERIFICA SLE TENSIONALE	131
10.5	VERIFICA SLE A FESSURAZIONE.....	131
11	VERIFICHE STRUTTURALI DEL PLINTO DI FONDAZIONE	132
11.1	VERIFICHE SLU-SLE CON MECCANISMO TIRANTE-PUNTONE	132
11.1.1	GEOMETRIA DEL TIRANTE-PUNTONE	134
11.1.2	SEZIONE DEL TIRANTE DI ARMATURA E DELLA BIELLA COMPRESSA.....	135
11.1.3	VERIFICHE SLU DELLE TENSIONI NORMALI.....	136
11.1.4	VERIFICHE SLE DELLE TENSIONI NORMALI.....	136
11.2	VERIFICA SLU A PUNZONAMENTO	137

  	ITINERARIO NAPOLI – BARI RADDOPPIO TRATTA CANCELLO – BENEVENTO I° LOTTO FUNZIONALE CANCELLO - FRASSO TELESINO E VARIANTE ALLA LINEA ROMA-NAPOLI VIA CASSINO NEL COMUNE DI MADDALONI – PROGETTO ESECUTIVO												
Pile P01-P02-P03-P04: Relazione di calcolo	<table border="1"> <thead> <tr> <th>COMMESSA</th> <th>LOTTO</th> <th>CODIFICA</th> <th>DOCUMENTO</th> <th>REV.</th> <th>FOGLIO</th> </tr> </thead> <tbody> <tr> <td>IF1N</td> <td>01 E ZZ</td> <td>CL</td> <td>VI0205 001</td> <td>B</td> <td>5 di 140</td> </tr> </tbody> </table>	COMMESSA	LOTTO	CODIFICA	DOCUMENTO	REV.	FOGLIO	IF1N	01 E ZZ	CL	VI0205 001	B	5 di 140
COMMESSA	LOTTO	CODIFICA	DOCUMENTO	REV.	FOGLIO								
IF1N	01 E ZZ	CL	VI0205 001	B	5 di 140								

11.3	VERIFICA SLE A FESSURAZIONE.....	139
12	INCIDENZE.....	140

  	ITINERARIO NAPOLI – BARI RADDOPPIO TRATTA CANCELLO – BENEVENTO I° LOTTO FUNZIONALE CANCELLO - FRASSO TELESINO E VARIANTE ALLA LINEA ROMA-NAPOLI VIA CASSINO NEL COMUNE DI MADDALONI – PROGETTO ESECUTIVO												
Pile P01-P02-P03-P04: Relazione di calcolo	<table border="1"> <tr> <td>COMMESSA</td> <td>LOTTO</td> <td>CODIFICA</td> <td>DOCUMENTO</td> <td>REV.</td> <td>FOGLIO</td> </tr> <tr> <td>IF1N</td> <td>01 E ZZ</td> <td>CL</td> <td>VI0205 001</td> <td>B</td> <td>6 di 140</td> </tr> </table>	COMMESSA	LOTTO	CODIFICA	DOCUMENTO	REV.	FOGLIO	IF1N	01 E ZZ	CL	VI0205 001	B	6 di 140
COMMESSA	LOTTO	CODIFICA	DOCUMENTO	REV.	FOGLIO								
IF1N	01 E ZZ	CL	VI0205 001	B	6 di 140								

1 PREMESSA

Nell'ambito dell'*Itinerario Napoli-Bari* si inserisce il *Raddoppio della Tratta Canello – Benevento - 1° Lotto Funzionale Canello-Frasso Telesino e Variante alla Linea Roma-Napoli Via Cassino nel Comune di Maddaloni* (compreso il *Collegamento Merci con lo scalo di Marcanise - Collegamento Benevento-Marcanise*) oggetto della Progettazione Esecutiva in esame.

Oggetto della presente relazione è il dimensionamento degli elementi in elevazione e fondazione costituenti le Pile P01, P02, P03 e P04 del *Viadotto Canello_ VI02*.

Nella presente relazione sono riportati in forma sintetica i risultati della analisi delle sollecitazioni e delle verifiche strutturali del fusto pila, del plinto di fondazione e dei pali di fondazione, con riferimento alla pila P01.

Pila	H fusto [m]	H tot [m]
P01	6.5	8.4
P02	6.5	8.4
P03	6.5	8.4
P04	6.5	8.4

Nell'allegato 2 alla presente relazione sono riportati in forma completa i risultati delle analisi delle sollecitazioni e delle verifiche strutturali della pila.

Nel seguito si procede al calcolo dello stato di sollecitazione ed alle verifiche dei vari elementi costituenti la pila, nei confronti degli Stati Limite Ultimi strutturali di presso-flessione e taglio e degli stati limite di esercizio di fessurazione e tensionale.

Si esegue inoltre la determinazione delle azioni massime sui pali di fondazione e la verifica del plinto di fondazione nei confronti degli stati limite ultimi e di esercizio strutturali.

Sono eseguite infine le verifiche strutturali dei pali di fondazione nei confronti degli stati limite ultimi e di esercizio strutturali.

  	ITINERARIO NAPOLI – BARI RADDOPPIO TRATTA CANCELLO – BENEVENTO I° LOTTO FUNZIONALE CANCELLO - FRASSO TELESINO E VARIANTE ALLA LINEA ROMA-NAPOLI VIA CASSINO NEL COMUNE DI MADDALONI – PROGETTO ESECUTIVO												
Pile P01-P02-P03-P04: Relazione di calcolo	<table border="1"> <thead> <tr> <th>COMMESSA</th> <th>LOTTO</th> <th>CODIFICA</th> <th>DOCUMENTO</th> <th>REV.</th> <th>FOGLIO</th> </tr> </thead> <tbody> <tr> <td>IF1N</td> <td>01 E ZZ</td> <td>CL</td> <td>VI0205 001</td> <td>B</td> <td>7 di 140</td> </tr> </tbody> </table>	COMMESSA	LOTTO	CODIFICA	DOCUMENTO	REV.	FOGLIO	IF1N	01 E ZZ	CL	VI0205 001	B	7 di 140
COMMESSA	LOTTO	CODIFICA	DOCUMENTO	REV.	FOGLIO								
IF1N	01 E ZZ	CL	VI0205 001	B	7 di 140								

2 NORMATIVA E DOCUMENTI DI RIFERIMENTO

2.1 NORMATIVE

Sono state prese a riferimento le seguenti Normative nazionali ed internazionali vigenti alla data di redazione del presente documento:

- [1] *Ministero delle Infrastrutture, DM 14 gennaio 2008, «Approvazione delle nuove norme tecniche per le costruzioni»*
- [2] *Ministero delle Infrastrutture e Trasporti, circolare 2 febbraio 2009, n. 617 C.S.LL.PP., «Istruzioni per l'applicazione delle Nuove norme tecniche per le costruzioni di cui al decreto ministeriale 14 gennaio 2008»*
- [3] *Istruzione RFI DTC INC PO SP IFS 001 - Specifica per la progettazione e l'esecuzione dei ponti ferroviari e di altre opere minori sotto binario*
- [4] *Istruzione RFI DTC INC CS SP IFS 001 - Specifica per la progettazione geotecnica delle opere civili ferroviarie*
- [5] *Istruzione RFI DTC INC PO SP IFS 002 - Specifica per la progettazione e l'esecuzione di cavalcavia e passerelle pedonali sulla sede ferroviaria*
- [6] *Istruzione RFI DTC INC PO SP IFS 003 - Specifica per la verifica a fatica dei ponti ferroviari*
- [7] *Istruzione RFI DTC INC PO SP IFS 004 - Specifica per la progettazione e l'esecuzione di impalcati ferroviari a travi in ferro a doppio T incorporate nel calcestruzzo*
- [8] *Istruzione RFI DTC INC PO SP IFS 005 - Specifica per il progetto, la produzione, il controllo della produzione e la posa in opera dei dispositivi di vincolo e dei coprigiunti degli impalcati ferroviari e dei cavalcavia*
- [9] *Eurocodice 1 – Azioni sulle strutture, Parte 1-4: Azioni in generale – Azioni del vento (UNI EN 1991-1-4)*
- [10] *Regolamento (UE) N.1299/2014 della Commissione del 18 Novembre 2014 relativo alle specifiche tecniche di interoperabilità per il sottosistema “infrastruttura” del sistema ferroviario dell'Unione europea*

  	ITINERARIO NAPOLI – BARI RADDOPPIO TRATTA CANCELLO – BENEVENTO I° LOTTO FUNZIONALE CANCELLO - FRASSO TELESINO E VARIANTE ALLA LINEA ROMA-NAPOLI VIA CASSINO NEL COMUNE DI MADDALONI – PROGETTO ESECUTIVO												
Pile P01-P02-P03-P04: Relazione di calcolo	<table border="1"> <thead> <tr> <th>COMMESSA</th> <th>LOTTO</th> <th>CODIFICA</th> <th>DOCUMENTO</th> <th>REV.</th> <th>FOGLIO</th> </tr> </thead> <tbody> <tr> <td>IF1N</td> <td>01 E ZZ</td> <td>CL</td> <td>VI0205 001</td> <td>B</td> <td>8 di 140</td> </tr> </tbody> </table>	COMMESSA	LOTTO	CODIFICA	DOCUMENTO	REV.	FOGLIO	IF1N	01 E ZZ	CL	VI0205 001	B	8 di 140
COMMESSA	LOTTO	CODIFICA	DOCUMENTO	REV.	FOGLIO								
IF1N	01 E ZZ	CL	VI0205 001	B	8 di 140								

2.2 ELABORATI DI RIFERIMENTO

Vengono presi a riferimento tutti gli elaborati grafici progettuali di pertinenza.

  	ITINERARIO NAPOLI – BARI RADDOPPIO TRATTA CANCELLO – BENEVENTO I° LOTTO FUNZIONALE CANCELLO - FRASSO TELESINO E VARIANTE ALLA LINEA ROMA-NAPOLI VIA CASSINO NEL COMUNE DI MADDALONI – PROGETTO ESECUTIVO												
Pile P01-P02-P03-P04: Relazione di calcolo	<table border="1"> <thead> <tr> <th>COMMESSA</th> <th>LOTTO</th> <th>CODIFICA</th> <th>DOCUMENTO</th> <th>REV.</th> <th>FOGLIO</th> </tr> </thead> <tbody> <tr> <td>IF1N</td> <td>01 E ZZ</td> <td>CL</td> <td>VI0205 001</td> <td>B</td> <td>9 di 140</td> </tr> </tbody> </table>	COMMESSA	LOTTO	CODIFICA	DOCUMENTO	REV.	FOGLIO	IF1N	01 E ZZ	CL	VI0205 001	B	9 di 140
COMMESSA	LOTTO	CODIFICA	DOCUMENTO	REV.	FOGLIO								
IF1N	01 E ZZ	CL	VI0205 001	B	9 di 140								

3 MATERIALI

3.1 CALCESTRUZZO PER FUSTO PILA E PULVINO

Classe C32/40

$R_{ck} =$	40.00	MPa	Resistenza caratteristica cubica
$f_{ck} = 0,83 R_{ck} =$	33.20	MPa	Resistenza caratteristica cilindrica
$f_{cm} = f_{ck} + 8 =$	41.20	MPa	Valore medio resistenza cilindrica
$\alpha_{cc} =$	0.85		Coeff. rid. per carichi di lunga durata
$\gamma_M =$	1.50	-	Coefficiente parziale di sicurezza SLU
$f_{cd} = \alpha_{cc} f_{ck} / \gamma_M =$	18.81	MPa	Resistenza di progetto
$f_{ctm} = 0,3 f_{ck}^{(2/3)} =$	3.10	MPa	Resistenza media a trazione semplice
$f_{ctm} = 1,2 f_{ctm} =$	3.72	MPa	Resistenza media a trazione per flessione
$f_{ctk} = 0,7 f_{ctm} =$	2.17	MPa	Valore caratteristico resistenza a trazione (frattile 5%)
$\sigma_c = 0,55 f_{ck} =$	18.26	MPa	Tensione limite in esercizio in comb. Rara (rif. §1.8.3.2.1 [3])
$\sigma_c = 0,40 f_{ck} =$	13.28	MPa	Tensione limite in esercizio in comb. quasi perm. (rif. §1.8.3.2.1 [3])
$E_{cm} = 22000 (f_{cm}/10)^{(0,3)} =$	33643.00	MPa	Modulo elastico di progetto
$\nu =$	0.20		Coefficiente di Poisson
$G_c = E_{cm} / (2(1 + \nu)) =$	14018.00	MPa	Modulo elastico tangenziale di progetto
Condizioni ambientali =	Debolmente aggressive		
Classe di esposizione =	XC4		
$c =$	4.00	cm	Copriferro minimo
$w =$	0.20	mm	Apertura massima fessure in esercizio in comb. Rara (rif. §1.8.3.2.4 [3])

  	ITINERARIO NAPOLI – BARI RADDOPPIO TRATTA CANCELLO – BENEVENTO I° LOTTO FUNZIONALE CANCELLO - FRASSO TELESINO E VARIANTE ALLA LINEA ROMA-NAPOLI VIA CASSINO NEL COMUNE DI MADDALONI – PROGETTO ESECUTIVO												
Pile P01-P02-P03-P04: Relazione di calcolo	<table border="1"> <thead> <tr> <th>COMMESSA</th> <th>LOTTO</th> <th>CODIFICA</th> <th>DOCUMENTO</th> <th>REV.</th> <th>FOGLIO</th> </tr> </thead> <tbody> <tr> <td>IF1N</td> <td>01 E ZZ</td> <td>CL</td> <td>VI0205 001</td> <td>B</td> <td>10 di 140</td> </tr> </tbody> </table>	COMMESSA	LOTTO	CODIFICA	DOCUMENTO	REV.	FOGLIO	IF1N	01 E ZZ	CL	VI0205 001	B	10 di 140
COMMESSA	LOTTO	CODIFICA	DOCUMENTO	REV.	FOGLIO								
IF1N	01 E ZZ	CL	VI0205 001	B	10 di 140								

3.2 CALCESTRUZZO PER PLINTO DI FONDAZIONE

Classe C28/35

$R_{ck} =$	35.00	MPa	Resistenza caratteristica cubica
$f_{ck} = 0,83 R_{ck} =$	29.05	MPa	Resistenza caratteristica cilindrica
$f_{cm} = f_{ck} + 8 =$	37.05	MPa	Valore medio resistenza cilindrica
$\alpha_{cc} =$	0.85		Coeff. rid. per carichi di lunga durata
$\gamma_M =$	1.50	-	Coefficiente parziale di sicurezza SLU
$f_{cd} = \alpha_{cc} f_{ck} / \gamma_M =$	16.46	MPa	Resistenza di progetto
$f_{ctm} = 0,3 f_{ck}^{(2/3)} =$	2.83	MPa	Resistenza media a trazione semplice
$f_{ctm} = 1,2 f_{ctm} =$	3.40	MPa	Resistenza media a trazione per flessione
$f_{ctk} = 0,7 f_{ctm} =$	1.98	MPa	Valore caratteristico resistenza a trazione (frattile 5%)
$\sigma_c = 0,55 f_{ck} =$	15.98	MPa	Tensione limite in esercizio in comb. Rara (rif. §1.8.3.2.1 [3])
$\sigma_c = 0,40 f_{ck} =$	11.62	MPa	Tensione limite in esercizio in comb. quasi perm. (rif. §1.8.3.2.1 [3])
$E_{cm} = 22000 (f_{cm}/10)^{(0,3)} =$	32588.00	MPa	Modulo elastico di progetto
$\nu =$	0.20		Coefficiente di Poisson
$G_c = E_{cm} / (2(1 + \nu)) =$	13578.00	MPa	Modulo elastico tangenziale di progetto
Condizioni ambientali =	Ordinarie		
Classe di esposizione =	XC2		
$c =$	4.00	cm	Copriferro minimo
$w =$	0.30	mm	Apertura massima fessure in esercizio in comb. Rara (rif. §1.8.3.2.4 [3])

  	ITINERARIO NAPOLI – BARI RADDOPPIO TRATTA CANCELLO – BENEVENTO I° LOTTO FUNZIONALE CANCELLO - FRASSO TELESINO E VARIANTE ALLA LINEA ROMA-NAPOLI VIA CASSINO NEL COMUNE DI MADDALONI – PROGETTO ESECUTIVO												
Pile P01-P02-P03-P04: Relazione di calcolo	<table border="1"> <thead> <tr> <th>COMMESSA</th> <th>LOTTO</th> <th>CODIFICA</th> <th>DOCUMENTO</th> <th>REV.</th> <th>FOGLIO</th> </tr> </thead> <tbody> <tr> <td>IF1N</td> <td>01 E ZZ</td> <td>CL</td> <td>VI0205 001</td> <td>B</td> <td>11 di 140</td> </tr> </tbody> </table>	COMMESSA	LOTTO	CODIFICA	DOCUMENTO	REV.	FOGLIO	IF1N	01 E ZZ	CL	VI0205 001	B	11 di 140
COMMESSA	LOTTO	CODIFICA	DOCUMENTO	REV.	FOGLIO								
IF1N	01 E ZZ	CL	VI0205 001	B	11 di 140								

3.3 CALCESTRUZZO PER PALI DI FONDAZIONE

Classe C25/30

$R_{ck} =$	30.00	MPa	Resistenza caratteristica cubica
$f_{ck} = 0,83 R_{ck} =$	24.90	MPa	Resistenza caratteristica cilindrica
$f_{cm} = f_{ck} + 8 =$	32.90	MPa	Valore medio resistenza cilindrica
$\alpha_{cc} =$	0.85		Coeff. rid. per carichi di lunga durata
$\gamma_M =$	1.50	-	Coefficiente parziale di sicurezza SLU
$f_{cd} = \alpha_{cc} f_{ck} / \gamma_M =$	14.11	MPa	Resistenza di progetto
$f_{ctm} = 0,3 f_{ck}^{(2/3)} =$	2.56	MPa	Resistenza media a trazione semplice
$f_{ctm} = 1,2 f_{ctm} =$	3.07	MPa	Resistenza media a trazione per flessione
$f_{ctk} = 0,7 f_{ctm} =$	1.79	MPa	Valore caratteristico resistenza a trazione (frattile 5%)
$\sigma_c = 0,55 f_{ck} =$	13.70	MPa	Tensione limite in esercizio in comb. Rara (rif. §1.8.3.2.1 [3])
$\sigma_c = 0,40 f_{ck} =$	9.96	MPa	Tensione limite in esercizio in comb. quasi perm. (rif. §1.8.3.2.1 [3])
$E_{cm} = 22000 (f_{cm}/10)^{(0,3)} =$	31447.00	MPa	Modulo elastico di progetto
$\nu =$	0.20		Coefficiente di Poisson
$G_c = E_{cm} / (2(1 + \nu)) =$	13103.00	MPa	Modulo elastico tangenziale di progetto
Condizioni ambientali =	Ordinarie		
Classe di esposizione =	XC2		
$c =$	6.00	cm	Copriferro minimo
$w =$	0.30	mm	Apertura massima fessure in esercizio in comb. Rara (rif. §1.8.3.2.4 [3])

  	ITINERARIO NAPOLI – BARI RADDOPPIO TRATTA CANCELLO – BENEVENTO I° LOTTO FUNZIONALE CANCELLO - FRASSO TELESINO E VARIANTE ALLA LINEA ROMA-NAPOLI VIA CASSINO NEL COMUNE DI MADDALONI – PROGETTO ESECUTIVO												
Pile P01-P02-P03-P04: Relazione di calcolo	<table border="1"> <thead> <tr> <th>COMMESSA</th> <th>LOTTO</th> <th>CODIFICA</th> <th>DOCUMENTO</th> <th>REV.</th> <th>FOGLIO</th> </tr> </thead> <tbody> <tr> <td>IF1N</td> <td>01 E ZZ</td> <td>CL</td> <td>VI0205 001</td> <td>B</td> <td>12 di 140</td> </tr> </tbody> </table>	COMMESSA	LOTTO	CODIFICA	DOCUMENTO	REV.	FOGLIO	IF1N	01 E ZZ	CL	VI0205 001	B	12 di 140
COMMESSA	LOTTO	CODIFICA	DOCUMENTO	REV.	FOGLIO								
IF1N	01 E ZZ	CL	VI0205 001	B	12 di 140								

3.4 ACCIAIO PER BARRE DI ARMATURA

B450C

$f_{yk} \geq$	450.00	MPa	Tensione caratteristica di snervamento
$f_{tk} \geq$	540.00	MPa	Tensione caratteristica di rottura
$(f_t / f_y)_{k \geq}$	1.15		
$(f_t / f_y)_{k <}$	1.35		
$\gamma_s =$	1.15	-	Coefficiente parziale di sicurezza SLU
$f_{yd} = f_{yk} / \gamma_s =$	391.30	MPa	Tensione caratteristica di snervamento
$E_s =$	210000.00	MPa	Modulo elastico di progetto
$\epsilon_{yd} =$	0.20	%	Deformazione di progetto a snervamento
$\epsilon_{uk} = (A_{gt})_k$	7.50	%	Deformazione caratteristica ultima
$\sigma_s = 0,75 f_{yk} =$	337.50	MPa	Tensione in esercizio in comb. Rara (rif. §1.8.3.2.1 [3])

  	ITINERARIO NAPOLI – BARI RADDOPPIO TRATTA CANCELLO – BENEVENTO I° LOTTO FUNZIONALE CANCELLO - FRASSO TELESINO E VARIANTE ALLA LINEA ROMA-NAPOLI VIA CASSINO NEL COMUNE DI MADDALONI – PROGETTO ESECUTIVO												
Pile P01-P02-P03-P04: Relazione di calcolo	<table border="1"> <thead> <tr> <th>COMMESSA</th> <th>LOTTO</th> <th>CODIFICA</th> <th>DOCUMENTO</th> <th>REV.</th> <th>FOGLIO</th> </tr> </thead> <tbody> <tr> <td>IF1N</td> <td>01 E ZZ</td> <td>CL</td> <td>VI0205 001</td> <td>B</td> <td>13 di 140</td> </tr> </tbody> </table>	COMMESSA	LOTTO	CODIFICA	DOCUMENTO	REV.	FOGLIO	IF1N	01 E ZZ	CL	VI0205 001	B	13 di 140
COMMESSA	LOTTO	CODIFICA	DOCUMENTO	REV.	FOGLIO								
IF1N	01 E ZZ	CL	VI0205 001	B	13 di 140								

4 CARATTERIZZAZIONE GEOTECNICA

4.1 CARATTERIZZAZIONE GEOTECNICA

Per la definizione della categoria di suolo delle opere appartenenti alla tratta in oggetto si rimanda all'elaborato progettuale "IF1N.0.1.E.ZZ.RB.GE.00.0.5.001.A - Relazione geotecnica generale di linea delle opere all'aperto".

  	ITINERARIO NAPOLI – BARI RADDOPPIO TRATTA CANCELLO – BENEVENTO I° LOTTO FUNZIONALE CANCELLO - FRASSO TELESINO E VARIANTE ALLA LINEA ROMA-NAPOLI VIA CASSINO NEL COMUNE DI MADDALONI – PROGETTO ESECUTIVO												
Pile P01-P02-P03-P04: Relazione di calcolo	<table border="1"> <tr> <td>COMMESSA</td> <td>LOTTO</td> <td>CODIFICA</td> <td>DOCUMENTO</td> <td>REV.</td> <td>FOGLIO</td> </tr> <tr> <td>IF1N</td> <td>01 E ZZ</td> <td>CL</td> <td>VI0205 001</td> <td>B</td> <td>14 di 140</td> </tr> </table>	COMMESSA	LOTTO	CODIFICA	DOCUMENTO	REV.	FOGLIO	IF1N	01 E ZZ	CL	VI0205 001	B	14 di 140
COMMESSA	LOTTO	CODIFICA	DOCUMENTO	REV.	FOGLIO								
IF1N	01 E ZZ	CL	VI0205 001	B	14 di 140								

5 DESCRIZIONE DELLA STRUTTURA

Il *Viadotto Canello_VI02*, a doppio binario, si estende tra le progressive km 1+828 e km 2+201, per uno sviluppo complessivo di 372,70 m, ed è realizzato con 15 campate isostatiche, di cui:

- ✓ 14 campate di luce in asse sottostrutture pari a 25,00 m, realizzate con impalcati della tipologia a 4 cassoncini in c.a.p.;
- ✓ 1 campata (tra la pila P10 e la pila P11) di luce in asse sottostrutture pari a 22,70 m, realizzata con implacato della tipologia travi in acciaio incorporate nel calcestruzzo.

Il viadotto è costituito da due tipologie di impalcato: a cassoncini in c.a.p. e a travi in acciaio incorporate.

La prima tipologia di impalcato è realizzato con 4 cassoncini accostati in c.a.p. e soletta gettata in opera. La luce è pari a 25 m misurata in asse pile. La lunghezza complessiva delle travi prefabbricate è pari a 24,30 m e la luce tra gli appoggi è pari a 22,80 m. La larghezza dell'impalcato è pari a 13,70 m, necessaria al fine di ospitare il "nuovo tipologico" di barriere antirumore. L'armamento è di tipo tradizionale su ballast.

La seconda tipologia di impalcato è realizzato con travi incorporate in un getto di calcestruzzo e presenta una campata unica di lunghezza 22,70 m in asse pile e luce tra gli appoggi pari a 21,00 m. L'impalcato ha una larghezza costante di 13,70 m ed è costituito da 16 profili HLM 1100 posti ad interasse di 0,577 m. L'altezza massima della sola struttura dell'impalcato è pari a 82 cm in asse impalcato e la distanza tra il piano del ferro e il sotto trave è pari a 2,06 m. L'armamento è di tipo tradizionale su ballast.

Le pile, di altezza fusto variabile tra 3,40 m e 5,90 m, sono realizzate in c.a.o. gettato in opera. Presentano un fusto a sezione rettangolare cava di dimensioni esterne 2,60 m x 8,60 m con raccordi di raggio pari ad 1 m ed un motivo "a lesena" nella parte centrale del fusto su tutti e quattro i lati. Le fondazioni sono realizzate con pali trivellati del diametro Φ 1200 mm. Il fusto presenta la sezione tipologica 2,60 m x 8,60 m e un'altezza pari a 5,90 m. La fondazione è costituita da un plinto su 9 pali di diametro pari a 1200 mm.

Le fondazioni sono realizzate con plinti rettangolari in c.a. con pali trivellati del diametro Φ 1200 mm, posti ad un interasse pari a 3 diametri.

Con riferimento alle sottostrutture prese in considerazione nella presente relazione, le tipologie di impalcato, la geometria del fusto e la geometria del plinto e dei pali sono sintetizzate nella seguente tabella:

Pila	Impalcato precedente	Impalcato successivo	Fusto	Dimensioni plinto	Pali
P01	4 c.a.p. (L=25m)	4 c.a.p. (L=25m)	2.6m x 8.6m x 6.5m	9.6m x 9.6m x 2.5m	9 ϕ 1200
P02	4 c.a.p. (L=25m)	4 c.a.p. (L=25m)	2.6m x 8.6m x 6.5m	9.6m x 9.6m x 2.5m	9 ϕ 1200
P03	4 c.a.p. (L=25m)	4 c.a.p. (L=25m)	2.6m x 8.6m x 6.5m	9.6m x 9.6m x 2.5m	9 ϕ 1200
P04	4 c.a.p. (L=25m)	4 c.a.p. (L=25m)	2.6m x 8.6m x 6.5m	9.6m x 9.6m x 2.5m	9 ϕ 1200

A seguire si riportano delle immagini che illustrano la geometria della pila (prospetto frontale e sezione orizzontale del fusto) e del plinto di fondazione (vista in pianta).

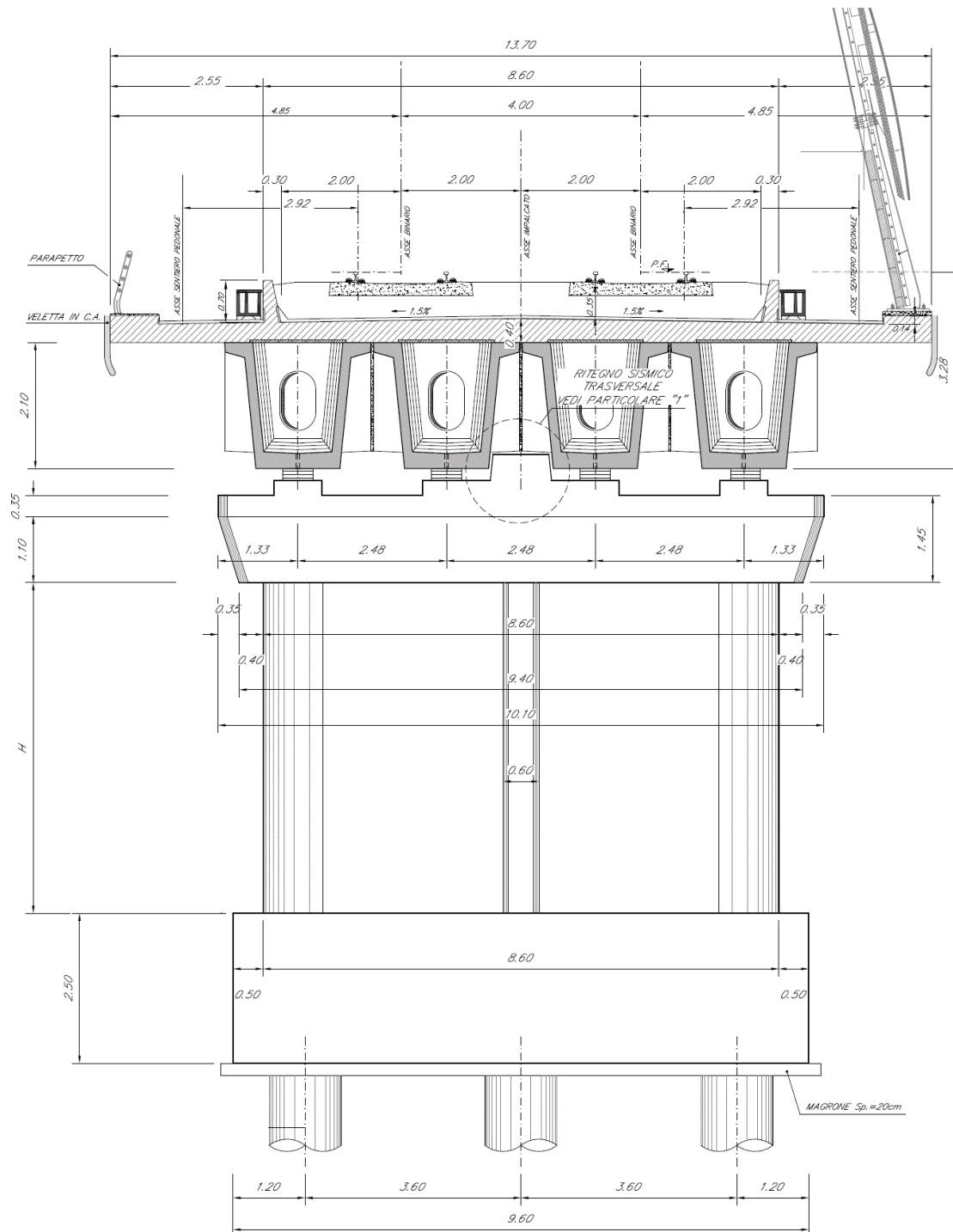


Figura 1 – Pila, prospetto frontale – Impalcato in C.A.P. [m]

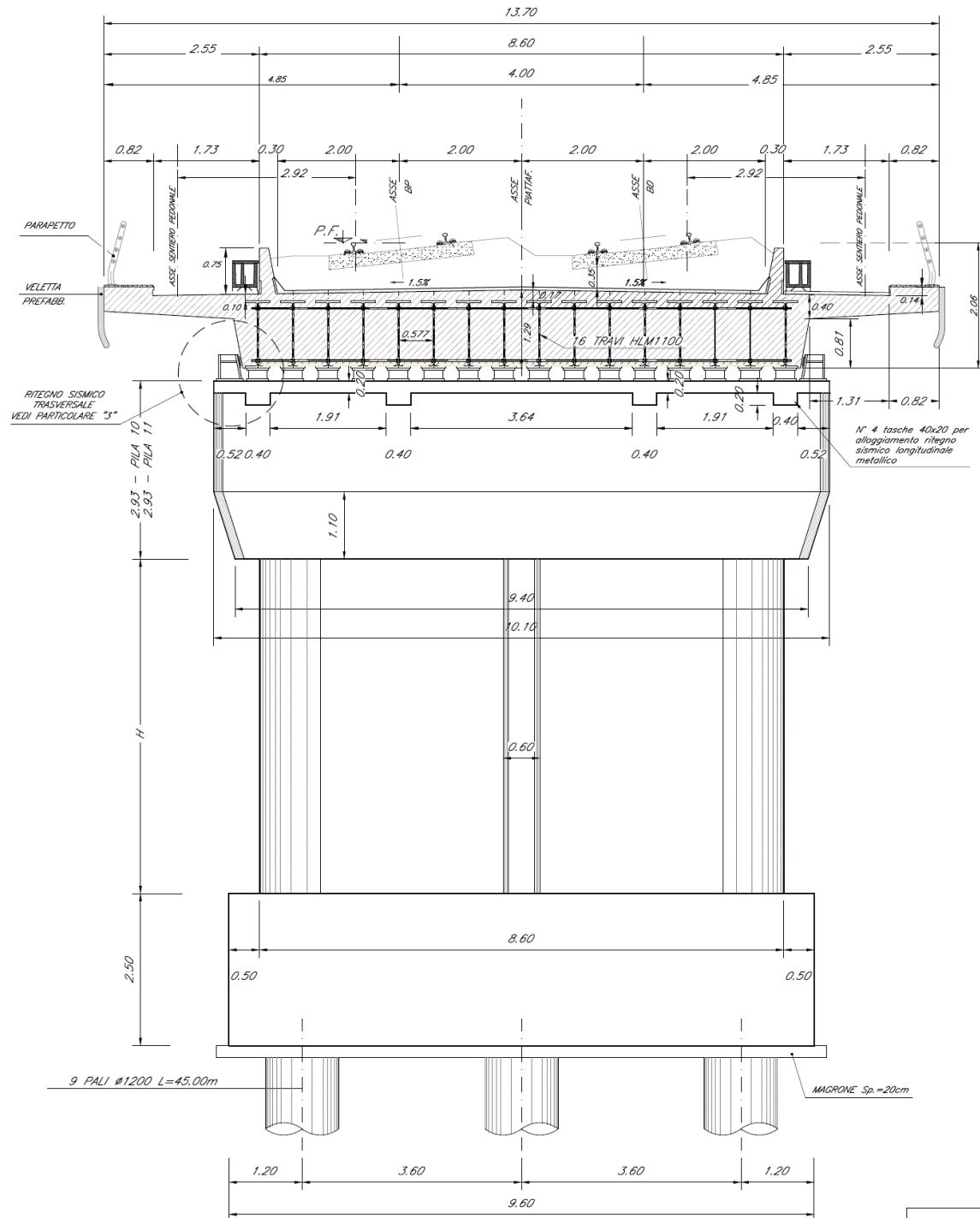


Figura 2 – Pila, prospetto frontale – Impalcato con travi incorporate. [m]

Pile P01-P02-P03-P04: Relazione di calcolo

COMMESSA	LOTTO	CODIFICA	DOCUMENTO	REV.	FOGLIO
IF1N	01 E ZZ	CL	VI0205 001	B	17 di 140

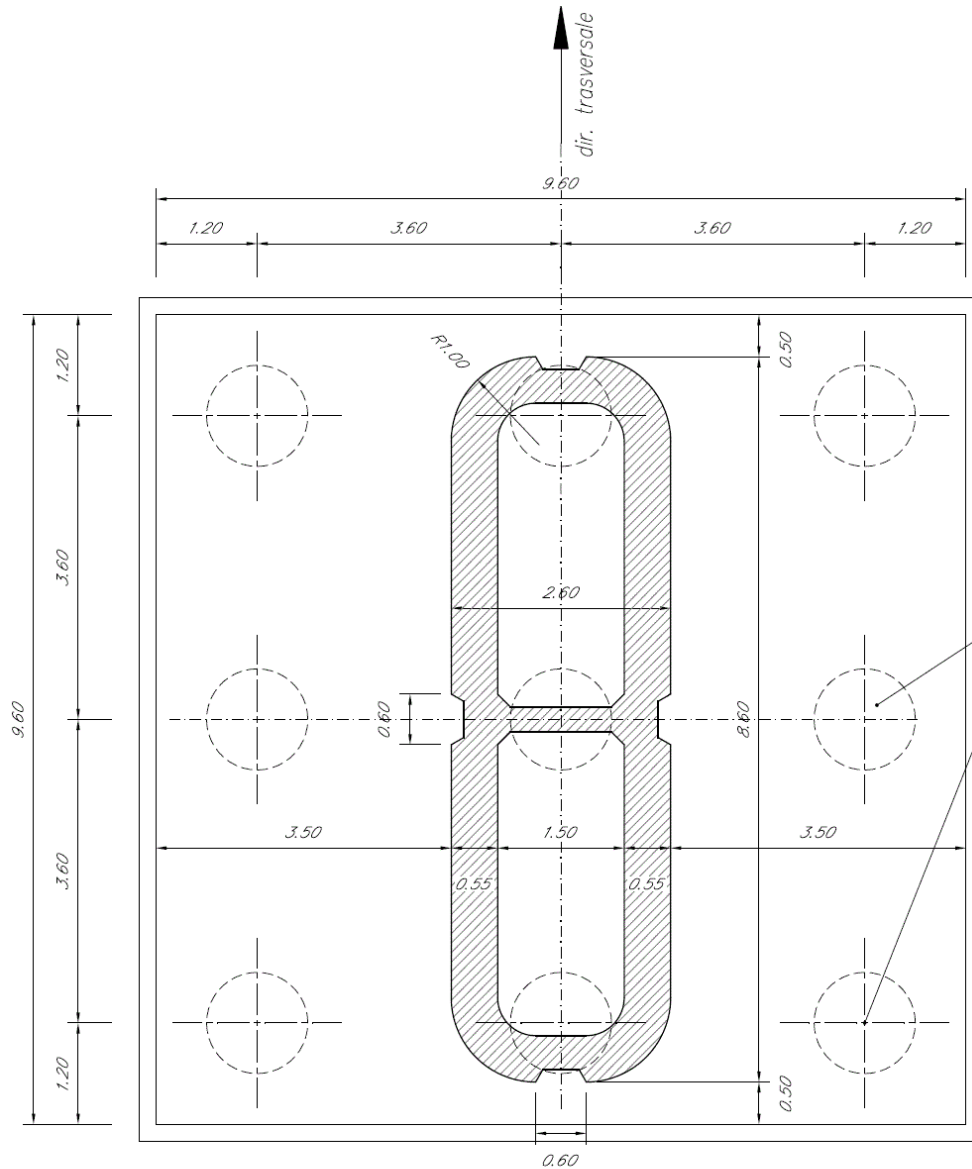


Figura 3 – Plinto di fondazione e pali, vista in pianta - Sezione del fusto pila [m]

Pile P01-P02-P03-P04: Relazione di calcolo

COMMESSA

LOTTO

CODIFICA

DOCUMENTO

REV.

FOGLIO

IF1N

01 E ZZ

CL

VI0205 001

B

18 di 140

Le seguenti figure illustrano la geometria del pulvino della pila in prospetto longitudinale, differenziata a seconda delle tipologia di impalcato che afferisce alla pila i-esima.

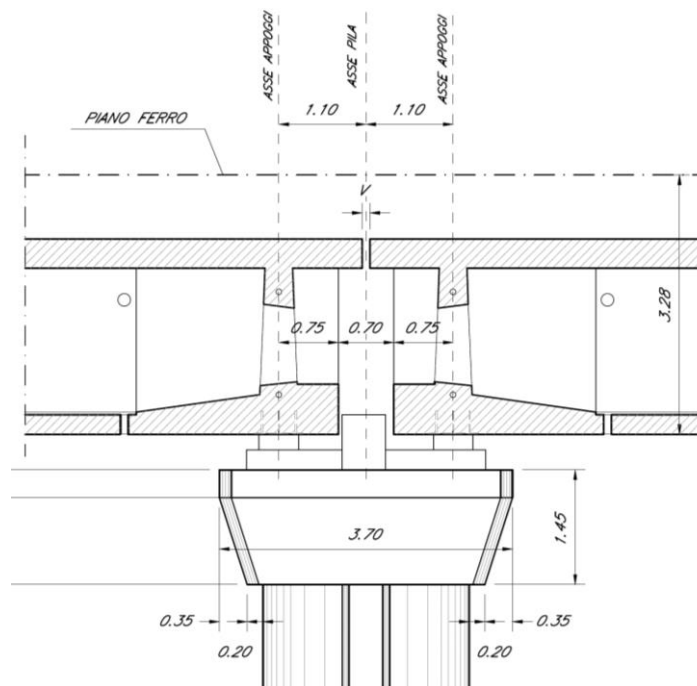


Figura 4 – Pila, prospetto longitudinale – Due impalcati CAP

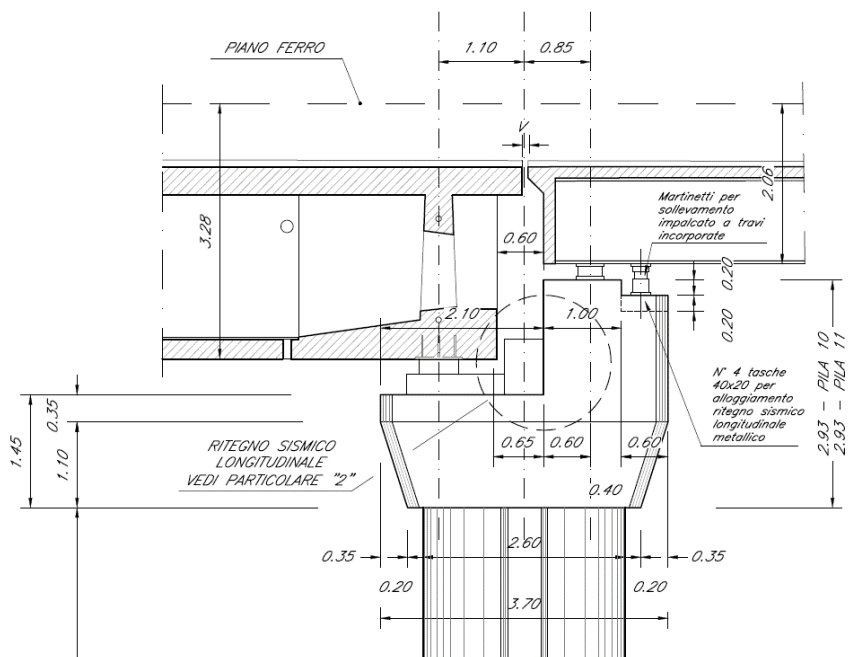


Figura 5 – Pila, prospetto longitudinale – Impalcato in CAP ed impalcato a travi incorporate

	ITINERARIO NAPOLI – BARI RADDOPPIO TRATTA CANCELLO – BENEVENTO I° LOTTO FUNZIONALE CANCELLO - FRASSO TELESINO E VARIANTE ALLA LINEA ROMA-NAPOLI VIA CASSINO NEL COMUNE DI MADDALONI – PROGETTO ESECUTIVO												
Pile P01-P02-P03-P04: Relazione di calcolo	<table border="1"> <thead> <tr> <th>COMMESSA</th> <th>LOTTO</th> <th>CODIFICA</th> <th>DOCUMENTO</th> <th>REV.</th> <th>FOGLIO</th> </tr> </thead> <tbody> <tr> <td>IF1N</td> <td>01 E ZZ</td> <td>CL</td> <td>VI0205 001</td> <td>B</td> <td>19 di 140</td> </tr> </tbody> </table>	COMMESSA	LOTTO	CODIFICA	DOCUMENTO	REV.	FOGLIO	IF1N	01 E ZZ	CL	VI0205 001	B	19 di 140
COMMESSA	LOTTO	CODIFICA	DOCUMENTO	REV.	FOGLIO								
IF1N	01 E ZZ	CL	VI0205 001	B	19 di 140								

Si riportano a seguire due immagini che illustrano lo schema vincolare della campata isostatica i-esima ed il relativo dettaglio della pila i-esima (sono rappresentati due impalcati tipologici).

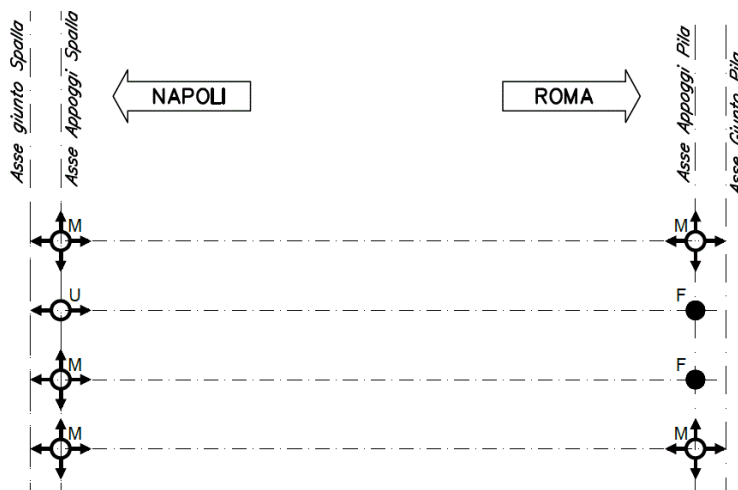
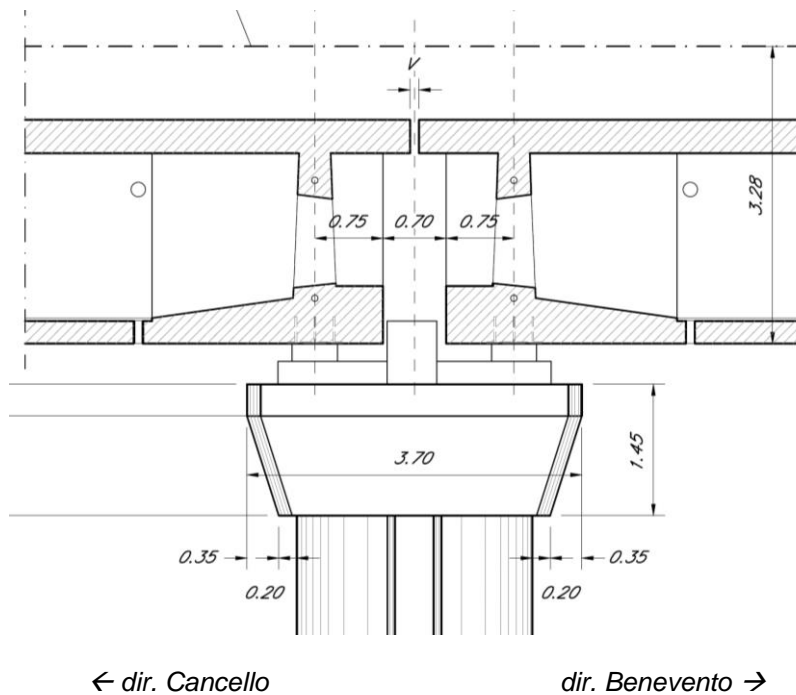


Figura 6 – Viadotto VI06 – Schema vincolare campata isostatica i-esima

Impalcato “precedente” – Fisso longitudinale

Impalcato “successivo” – Mobile longitudinale



← dir. Cancello

dir. Benevento →

Figura 7 – Viadotto VI06 – Schema vincolare pila i-esima

	ITINERARIO NAPOLI – BARI RADDOPPIO TRATTA CANCELLO – BENEVENTO I° LOTTO FUNZIONALE CANCELLO - FRASSO TELESINO E VARIANTE ALLA LINEA ROMA-NAPOLI VIA CASSINO NEL COMUNE DI MADDALONI – PROGETTO ESECUTIVO												
Pile P01-P02-P03-P04: Relazione di calcolo	<table border="1"> <thead> <tr> <th>COMMESSA</th> <th>LOTTO</th> <th>CODIFICA</th> <th>DOCUMENTO</th> <th>REV.</th> <th>FOGLIO</th> </tr> </thead> <tbody> <tr> <td>IF1N</td> <td>01 E ZZ</td> <td>CL</td> <td>VI0205 001</td> <td>B</td> <td>20 di 140</td> </tr> </tbody> </table>	COMMESSA	LOTTO	CODIFICA	DOCUMENTO	REV.	FOGLIO	IF1N	01 E ZZ	CL	VI0205 001	B	20 di 140
COMMESSA	LOTTO	CODIFICA	DOCUMENTO	REV.	FOGLIO								
IF1N	01 E ZZ	CL	VI0205 001	B	20 di 140								

6 ANALISI DEI CARICHI

Di seguito si riporta l'analisi dei carichi agenti sulla pila e derivanti dagli impalcati afferenti.

Le azioni e le reazioni riportate sono riferite al seguente sistema di riferimento:

- asse 1 o asse X : asse longitudinale;
- asse 2 o asse Y : asse trasversale;
- asse 3 o asse Z : asse verticale.

6.1 PERMANENTI STRUTTURALI (G1)

6.1.1 PESO PROPRIO IMPALCATI

L'impalcato a singola campata isostatica, di luce pari a 25 m in asse ai giunti (22,80 m asse appoggi), è costituito da 4 cassoncini in c.a.p. solidarizzati da trasversi gettati in opera. La soletta è di spessore variabile tra 30 cm e 40 cm ed è anch'essa gettata in opera su predalles prefabbricate.

I carichi afferenti al peso proprio degli impalcati sono calcolati sulla base delle caratteristiche geometriche e del peso unitario di ciascun elemento, come riportato a seguire.

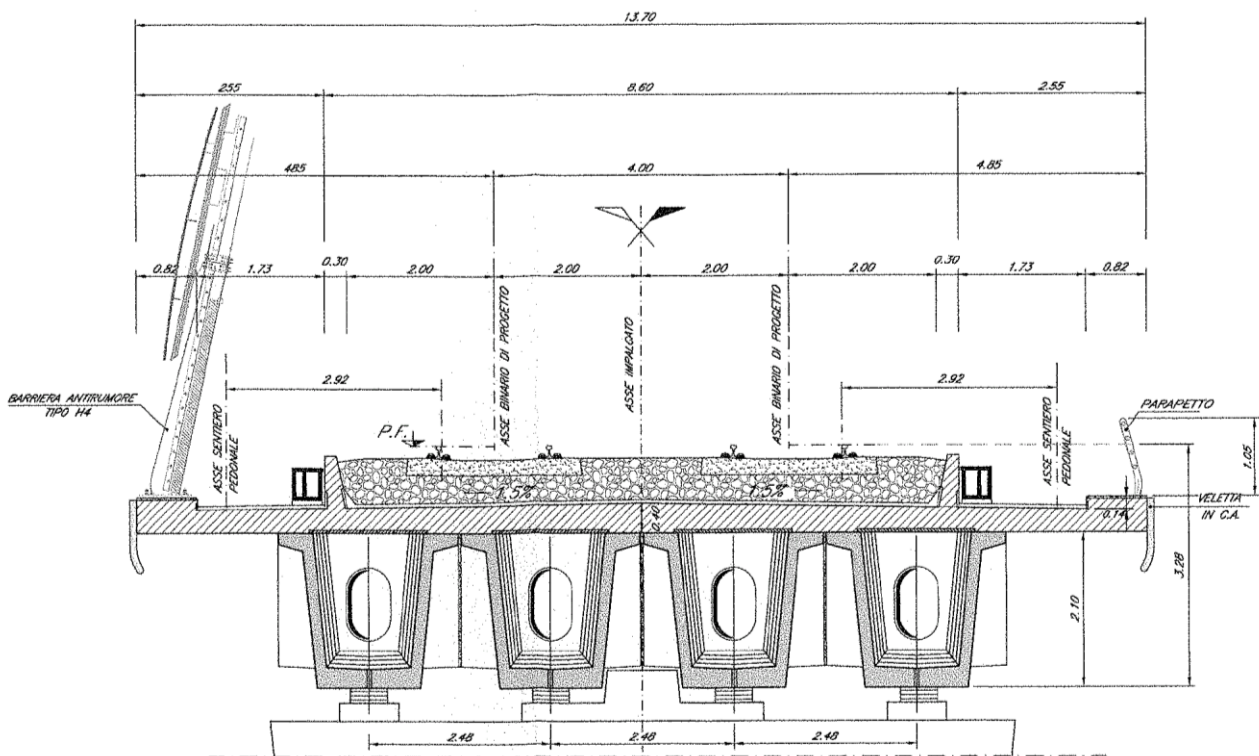


Figura 8 – Impalcato quadri cassone in c.a.p. (L=25m) – Sezione trasversale tipologica [m]

  	ITINERARIO NAPOLI – BARI RADDOPPIO TRATTA CANCELLO – BENEVENTO I° LOTTO FUNZIONALE CANCELLO - FRASSO TELESINO E VARIANTE ALLA LINEA ROMA-NAPOLI VIA CASSINO NEL COMUNE DI MADDALONI – PROGETTO ESECUTIVO												
Pile P01-P02-P03-P04: Relazione di calcolo	<table border="1"> <tr> <td>COMMESSA</td> <td>LOTTO</td> <td>CODIFICA</td> <td>DOCUMENTO</td> <td>REV.</td> <td>FOGLIO</td> </tr> <tr> <td>IF1N</td> <td>01 E ZZ</td> <td>CL</td> <td>VI0205 001</td> <td>B</td> <td>21 di 140</td> </tr> </table>	COMMESSA	LOTTO	CODIFICA	DOCUMENTO	REV.	FOGLIO	IF1N	01 E ZZ	CL	VI0205 001	B	21 di 140
COMMESSA	LOTTO	CODIFICA	DOCUMENTO	REV.	FOGLIO								
IF1N	01 E ZZ	CL	VI0205 001	B	21 di 140								

IMPALCATO-SX

IMPALCATO-DX

Peso proprio travi

A,1 sezione testata =	2,01	m2	2,01	m2
A,1 sezione media transizione =	1,60	m2	1,60	m2
A,1 sezione corrente =	1,13	m2	1,13	m2
L,testata =	1,50	m	1,50	m
L,zona transizione =	3,60	m	3,60	m
L,corrente =	19,20	m	19,20	m
L,tot =	24,30	m	24,30	m
V,1 trave =	30,47	m3	30,47	m3
peso unitario travi =	25,00	kN/m3	25,00	kN/m3
P,1 trave =	761,78	kN	761,78	kN

Peso proprio trasversi

A,1 sez trasverso testata =	2,76	m2	2,76	m2
A,1 sez trasverso corrente =	3,64	m2	3,64	m2
s,trasverso testata =	0,40	m	0,40	m
s,trasverso corrente =	0,25	m	0,25	m
V,1 trave trasversi =	4,03	m3	4,03	m3
peso unitario trasversi =	25,00	kN/m3	25,00	kN/m3
P,1 trave trasv =	100,70	kN	100,70	kN

Peso proprio totale travi e trasversi

P,1 trave+trasv =	862,48	kN	862,48	kN
N,travi =	4,00		4,00	
P,tot travi+trasv =	3449,90	kN	3449,90	kN

Peso proprio soletta

  	ITINERARIO NAPOLI – BARI RADDOPPIO TRATTA CANCELLO – BENEVENTO I° LOTTO FUNZIONALE CANCELLO - FRASSO TELESINO E VARIANTE ALLA LINEA ROMA-NAPOLI VIA CASSINO NEL COMUNE DI MADDALONI – PROGETTO ESECUTIVO												
Pile P01-P02-P03-P04: Relazione di calcolo	<table border="1"> <thead> <tr> <th>COMMESSA</th> <th>LOTTO</th> <th>CODIFICA</th> <th>DOCUMENTO</th> <th>REV.</th> <th>FOGLIO</th> </tr> </thead> <tbody> <tr> <td>IF1N</td> <td>01 E ZZ</td> <td>CL</td> <td>VI0205 001</td> <td>B</td> <td>22 di 140</td> </tr> </tbody> </table>	COMMESSA	LOTTO	CODIFICA	DOCUMENTO	REV.	FOGLIO	IF1N	01 E ZZ	CL	VI0205 001	B	22 di 140
COMMESSA	LOTTO	CODIFICA	DOCUMENTO	REV.	FOGLIO								
IF1N	01 E ZZ	CL	VI0205 001	B	22 di 140								

A soletta =	5,05	m ²	5,05	m ²
L impalcato =	25,00	m	25,00	m
peso unitario soletta =	25,00	kN/m ³	25,00	kN/m ³

P soletta =	3156,25	kN	3156,25	kN
-------------	---------	----	---------	----

Peso proprio totale impalcato

Peso impalcato =	6606,15	kN	6606,15	kN
------------------	---------	----	---------	----

Risultanti reazioni vincolari

F1 =	0		0	
F2 =	0		0	
F3 =	3303	kN	3303	kN
M1 =	0		0	
M2 =	0		0	
M3 =	0		0	

6.1.2 PESO PROPRIO PILA

I carichi afferenti al peso proprio degli elementi costituenti la pila (fusto, pulvino e fondazioni) sono calcolati sulla base delle caratteristiche geometriche di ciascun elemento e considerando un peso unitario del calcestruzzo pari a 25,00 kN/m³.

6.2 PERMANENTI NON STRUTTURALI (G2)

I carichi permanenti non strutturali sono costituiti dal peso della massicciata, dal peso delle barriere antirumore e dal peso delle canalette portacavi. In aggiunta ai permanenti non strutturali portati dagli impalcato si hanno anche quelli costituiti dal riempimento della pila e dal sovraccarico del terreno di ricoprimento del plinto.

La normativa distingue tra ballast e permanenti non strutturali generici nell'assegnazione dei valori del coefficiente di combinazione (rif. §1.8.3.1 [3]), per questo motivo nei paragrafi a seguire i due casi di carico vengono trattati separatamente.

6.2.1 BALLAST (G21)

Secondo il §1.3.2 [3], ove non si eseguano valutazioni più dettagliate, la determinazione dei carichi permanenti portati relativi al peso della massicciata, armamento e dell'impermeabilizzazione potrà effettuarsi assumendo convenzionalmente, per linea in rettilineo, un peso di volume pari a 18,00 kN/m³, applicato su tutta la larghezza media compresa fra i muretti paraballast, per un'altezza media fra p.f. ed estradosso impalcato pari a 0,80 m. Per i ponti in curva si assume un peso convenzionale di 20 kN/m³.

  	ITINERARIO NAPOLI – BARI RADDOPPIO TRATTA CANCELLO – BENEVENTO I° LOTTO FUNZIONALE CANCELLO - FRASSO TELESINO E VARIANTE ALLA LINEA ROMA-NAPOLI VIA CASSINO NEL COMUNE DI MADDALONI – PROGETTO ESECUTIVO												
Pile P01-P02-P03-P04: Relazione di calcolo	<table border="1"> <tr> <td>COMMESSA</td> <td>LOTTO</td> <td>CODIFICA</td> <td>DOCUMENTO</td> <td>REV.</td> <td>FOGLIO</td> </tr> <tr> <td>IF1N</td> <td>01 E ZZ</td> <td>CL</td> <td>VI0205 001</td> <td>B</td> <td>23 di 140</td> </tr> </table>	COMMESSA	LOTTO	CODIFICA	DOCUMENTO	REV.	FOGLIO	IF1N	01 E ZZ	CL	VI0205 001	B	23 di 140
COMMESSA	LOTTO	CODIFICA	DOCUMENTO	REV.	FOGLIO								
IF1N	01 E ZZ	CL	VI0205 001	B	23 di 140								

IMPALCATO - SX

IMPALCATO - DX

Peso ballast

p,ballast rettilifo =	18,00	kN/m3	18,00	kN/m3
p,ballast curva =	20,00	kN/m3	20,00	kN/m3
tracciato in curva (S/N) =	S		S	
p,ballast =	20,00	kN/m3	20,00	kN/m3
s ballast =	0,80	m	0,80	m
L ballast =	8,30	m	8,30	m
L impalcato =	25,00		25,00	
P,tot ballast =	3320,00	kN	3320,00	kN

Muretti paraballast

A,muretti paraballast (2) =	0,287	m2	0,287	m2
peso unitario muretti =	25,00	kN/m3	25,00	kN/m3
P,tot muretti =	179,13	kN	179,13	kN

Peso totale massicciata

Peso totale massicciata =	3499,13	kN	3499,13	kN
---------------------------	---------	----	---------	----

Risultanti reazioni vincolari

F1 =	0		0	
F2 =	0		0	
F3 =	1750	kN	1750	kN
M1 =	0		0	
M2 =	0		0	
M3 =	0		0	

  	ITINERARIO NAPOLI – BARI RADDOPPIO TRATTA CANCELLO – BENEVENTO I° LOTTO FUNZIONALE CANCELLO - FRASSO TELESINO E VARIANTE ALLA LINEA ROMA-NAPOLI VIA CASSINO NEL COMUNE DI MADDALONI – PROGETTO ESECUTIVO												
Pile P01-P02-P03-P04: Relazione di calcolo	<table border="1"> <tr> <td>COMMESSA</td> <td>LOTTO</td> <td>CODIFICA</td> <td>DOCUMENTO</td> <td>REV.</td> <td>FOGLIO</td> </tr> <tr> <td>IF1N</td> <td>01 E ZZ</td> <td>CL</td> <td>VI0205 001</td> <td>B</td> <td>24 di 140</td> </tr> </table>	COMMESSA	LOTTO	CODIFICA	DOCUMENTO	REV.	FOGLIO	IF1N	01 E ZZ	CL	VI0205 001	B	24 di 140
COMMESSA	LOTTO	CODIFICA	DOCUMENTO	REV.	FOGLIO								
IF1N	01 E ZZ	CL	VI0205 001	B	24 di 140								

6.2.2 PERMANENTI NON STRUTTURALI GENERICI (G22)

6.2.2.1 AFFERENTI ALL'IMPALCATO

Secondo il §1.3.2 [3], nella progettazione di nuovi ponti ferroviari dovranno essere sempre considerati i pesi le azioni e gli ingombri associati all'introduzione delle barriere antirumore, anche nei casi in cui non ne sia originariamente prevista la realizzazione, assumendo un peso pari a 4,00 kN/m² ed un'altezza minima di 4,00 m misurata dall'estradosso della soletta. Cautelativamente si considerano presenti barriere H4 ad entrambe le estremità dell'impalcato.

IMPALCATO - SX

IMPALCATO - DX

Peso barriere antirumore

P,barriere =	4,00	kN/m ²	4,00	kN/m ²
B.A. lato sx =	H4		H4	
B.A. lato sdx =	H4		H4	
H,barriera sx (min. 4m) =	5,40	m	5,40	m
H,barriera dx (min. 4m) =	5,40	m	5,40	m
L impalcato =	25,00	m	25,00	m
P,tot barriere =	1080,00	kN	1080,00	kN

Peso cordoli, muretti paraballast, velette

A,cordoli =	0,36	m ²	0,36	m ²
A,veletta =	0,19	m ²	0,19	m ²
P,tot arredi =	342,00	kN	342,00	kN

Peso canalette portacavi

P,canalette =	5,00	kN/m	5,00	kN/m
P,tot canalette =	125,00	kN	125,00	kN

Permanenti non strutturali totali

Permanenti tot =	1547,00	kN	1547,00	kN
------------------	---------	----	---------	----

  	ITINERARIO NAPOLI – BARI RADDOPPIO TRATTA CANCELLO – BENEVENTO I° LOTTO FUNZIONALE CANCELLO - FRASSO TELESINO E VARIANTE ALLA LINEA ROMA-NAPOLI VIA CASSINO NEL COMUNE DI MADDALONI – PROGETTO ESECUTIVO												
Pile P01-P02-P03-P04: Relazione di calcolo	<table border="1"> <thead> <tr> <th>COMMESSA</th> <th>LOTTO</th> <th>CODIFICA</th> <th>DOCUMENTO</th> <th>REV.</th> <th>FOGLIO</th> </tr> </thead> <tbody> <tr> <td>IF1N</td> <td>01 E ZZ</td> <td>CL</td> <td>VI0205 001</td> <td>B</td> <td>25 di 140</td> </tr> </tbody> </table>	COMMESSA	LOTTO	CODIFICA	DOCUMENTO	REV.	FOGLIO	IF1N	01 E ZZ	CL	VI0205 001	B	25 di 140
COMMESSA	LOTTO	CODIFICA	DOCUMENTO	REV.	FOGLIO								
IF1N	01 E ZZ	CL	VI0205 001	B	25 di 140								

Risultanti reazioni vincolari

F1 =	0		0	
F2 =	0		0	
F3 =	774	kN	774	kN
M1 =	0		0	
M2 =	0		0	
M3 =	0		0	

6.2.3 RIEMPIMENTO PILA E TERRENO DI RICOPRIMENTO

Il riempimento della pila ed il terreno di ricoprimento del plinto costituiscono un carico permanente portato agente sul plinto di fondazione al livello dell'estradosso plinto.

Le forze risultanti così calcolate vengono considerate come forze concentrate agenti in corrispondenza dell'estradosso del plinto.

Peso terreno di ricoprimento

Area ingombro pila:

dlong	2.6	m
dtrav	8.6	m
A	22.36	m ²

Peso terreno:

dlong	9.6	m
dtrav	9.6	m
hterr	0.6	m
gterr	20	kN/m ³
Wterr	827	kN

Peso riempimento pila

Assente.

Permanenti non strutturali pila totali

Pari a Wterr.

	ITINERARIO NAPOLI – BARI RADDOPPIO TRATTA CANCELLO – BENEVENTO I° LOTTO FUNZIONALE CANCELLO - FRASSO TELESINO E VARIANTE ALLA LINEA ROMA-NAPOLI VIA CASSINO NEL COMUNE DI MADDALONI – PROGETTO ESECUTIVO												
Pile P01-P02-P03-P04: Relazione di calcolo	<table border="1"> <thead> <tr> <th>COMMESSA</th> <th>LOTTO</th> <th>CODIFICA</th> <th>DOCUMENTO</th> <th>REV.</th> <th>FOGLIO</th> </tr> </thead> <tbody> <tr> <td>IF1N</td> <td>01 E ZZ</td> <td>CL</td> <td>VI0205 001</td> <td>B</td> <td>26 di 140</td> </tr> </tbody> </table>	COMMESSA	LOTTO	CODIFICA	DOCUMENTO	REV.	FOGLIO	IF1N	01 E ZZ	CL	VI0205 001	B	26 di 140
COMMESSA	LOTTO	CODIFICA	DOCUMENTO	REV.	FOGLIO								
IF1N	01 E ZZ	CL	VI0205 001	B	26 di 140								

6.3 CARICHI DA TRAFFICO

Le azioni verticali associate ai convogli ferroviari si schematizzano mediante i modelli di carico teorici LM71 e SW/2.

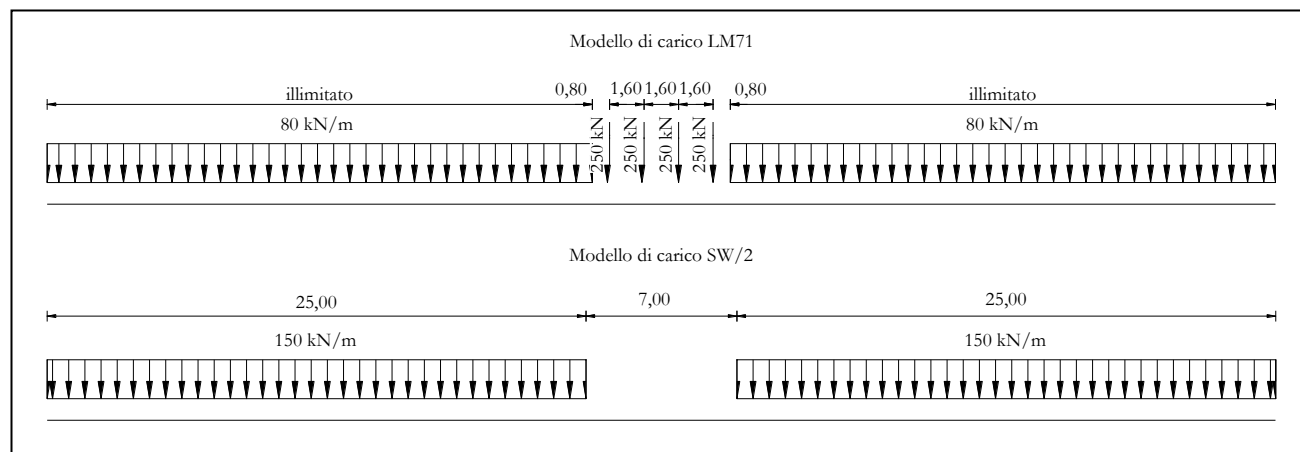


Figura 9 – Modelli di carico teorici LM71 e SW/2

Le differenti disposizioni degli assi e delle stese di carico considerate sono state definite in modo tale da massimizzare gli scarichi sulla pila:

- **Disposizione 1:** disposizione atta a massimizzare lo scarico assiale sulla pila. Prevede entrambi i binari di entrambe le campate caricate con i modelli LM71 e SW/2. Gli assi del LM71 e la stesa di carico di 25 m del SW/2 sono centrati sulla pila.
- **Disposizione 2:** disposizione atta a massimizzare il momento longitudinale (momento che “gira” intorno all’asse trasversale) sulla pila. Prevede entrambi i binari di un solo impalcato caricate con i modelli LM71 e SW/2. Gli assi del modello LM71 e la stesa di carico di 25 m del modello SW/2 sono posizionati a partire dall’estremità sinistra dell’impalcato di destra.
- **Disposizione 3:** disposizione atta a massimizzare il momento trasversale (momento che “gira” intorno all’asse longitudinale) sulla pila. Prevede un solo binario di entrambi gli impalcati caricato il modello SW/2. La stesa di carico di 25 m del modello SW/2 è centrata sulla pila.
- **Disposizione 4:** disposizione atta a massimizzare il momento trasversale (momento che “gira” intorno all’asse longitudinale) sulla pila. Prevede un solo binario di entrambi gli impalcati caricato con il modello LM71. Gli assi del LM71 sono centrati sulla pila.
- **Disposizione 5:** disposizione atta a massimizzare lo scarico assiale sulla pila e contemporaneamente a creare un momento longitudinale (che “gira” intorno all’asse trasversale) sulla pila. Prevede entrambi i binari di entrambe le campate caricate con i modelli LM71 e SW/2. Gli assi del LM71 e la stesa di carico di 25 m del SW/2 sono posizionati a partire dall’estremità sinistra dell’impalcato di destra.
- **Disposizione 6:** disposizione atta a massimizzare lo scarico assiale sulla pila. Prevede entrambi i binari di entrambe le campate caricate con i modelli LM71 e SW/2. Gli assi del LM71 ed il tratto scarico di 7 m del SW/2 sono centrati sulla pila.
- **Disposizione 7:** disposizione atta a minimizzare lo scarico assiale sulla pila e contemporaneamente a massimizzare il momento longitudinale (momento che “gira” intorno all’asse trasversale). Prevede entrambi i binari di un solo impalcato caricate con i modelli LM71 e SW/2. Gli assi del modello LM71 e la stesa di carico di 25 m del modello SW/2 sono posizionati a partire dall’estremità sinistra dell’impalcato di destra.

Pile P01-P02-P03-P04: Relazione di calcolo

COMMESSA	LOTTO	CODIFICA	DOCUMENTO	REV.	FOGLIO
IF1N	01 E ZZ	CL	VI0205 001	B	27 di 140

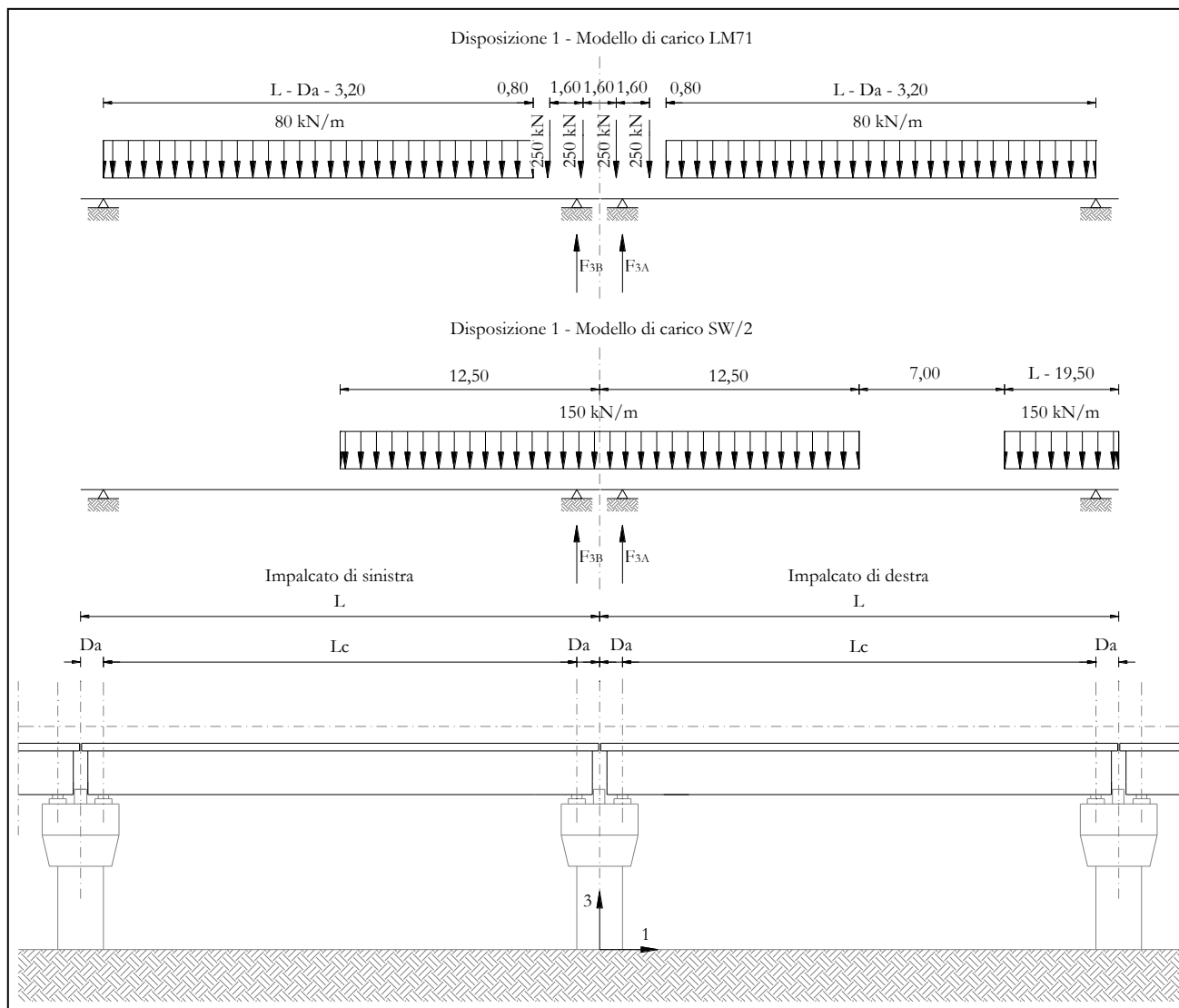


Figura 10 – Disposizione di carico 1

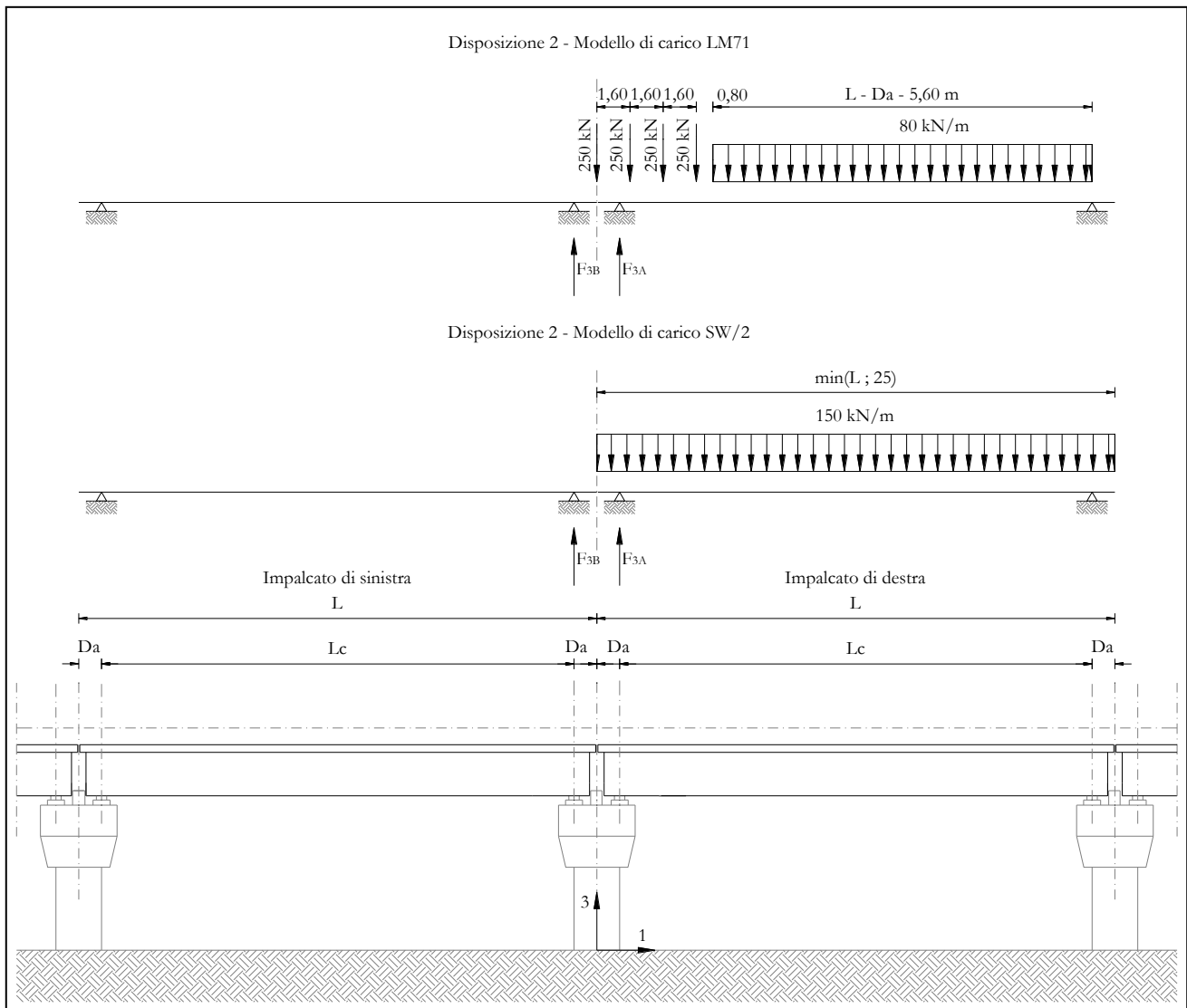


Figura 11 – Disposizione di carico 2

Pile P01-P02-P03-P04: Relazione di calcolo

COMMESSA	LOTTO	CODIFICA	DOCUMENTO	REV.	FOGLIO
IF1N	01 E ZZ	CL	VI0205 001	B	29 di 140

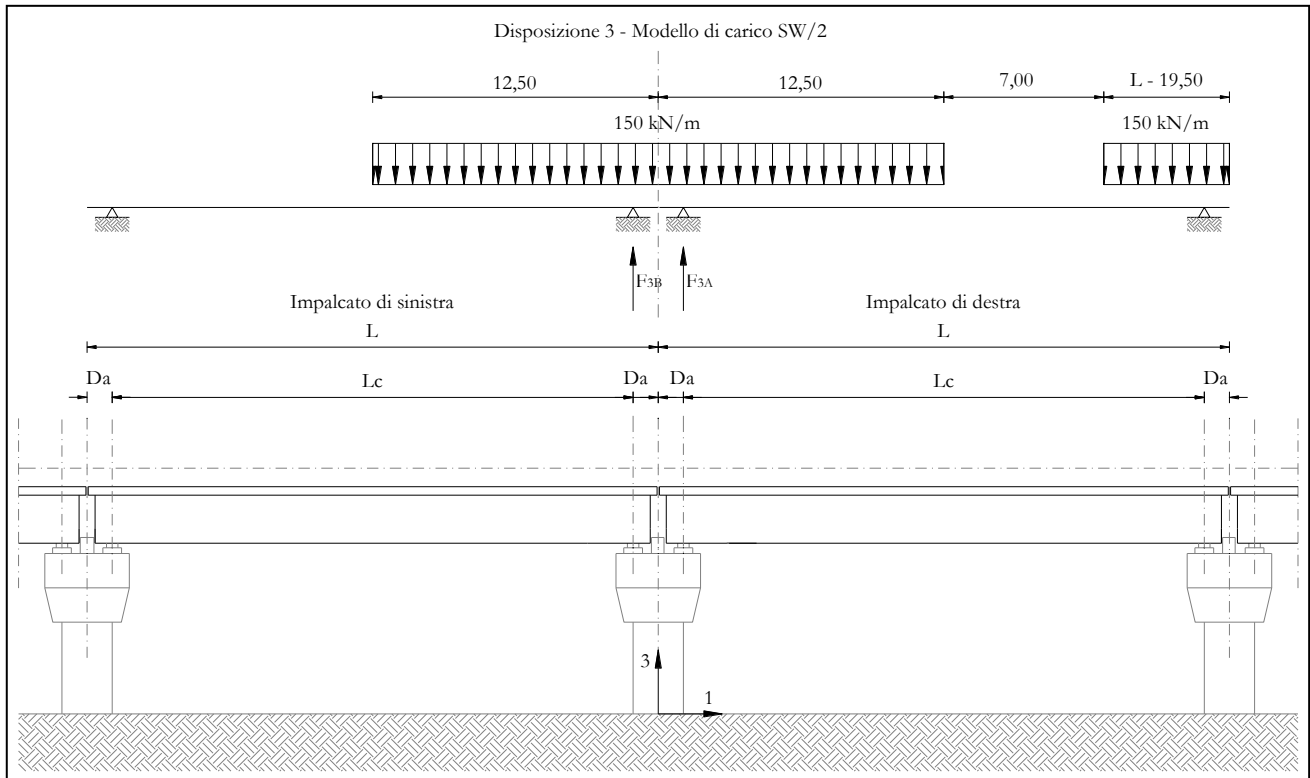


Figura 12 – Disposizione di carico 3

Pile P01-P02-P03-P04: Relazione di calcolo

COMMESSA	LOTTO	CODIFICA	DOCUMENTO	REV.	FOGLIO
IF1N	01 E ZZ	CL	VI0205 001	B	30 di 140

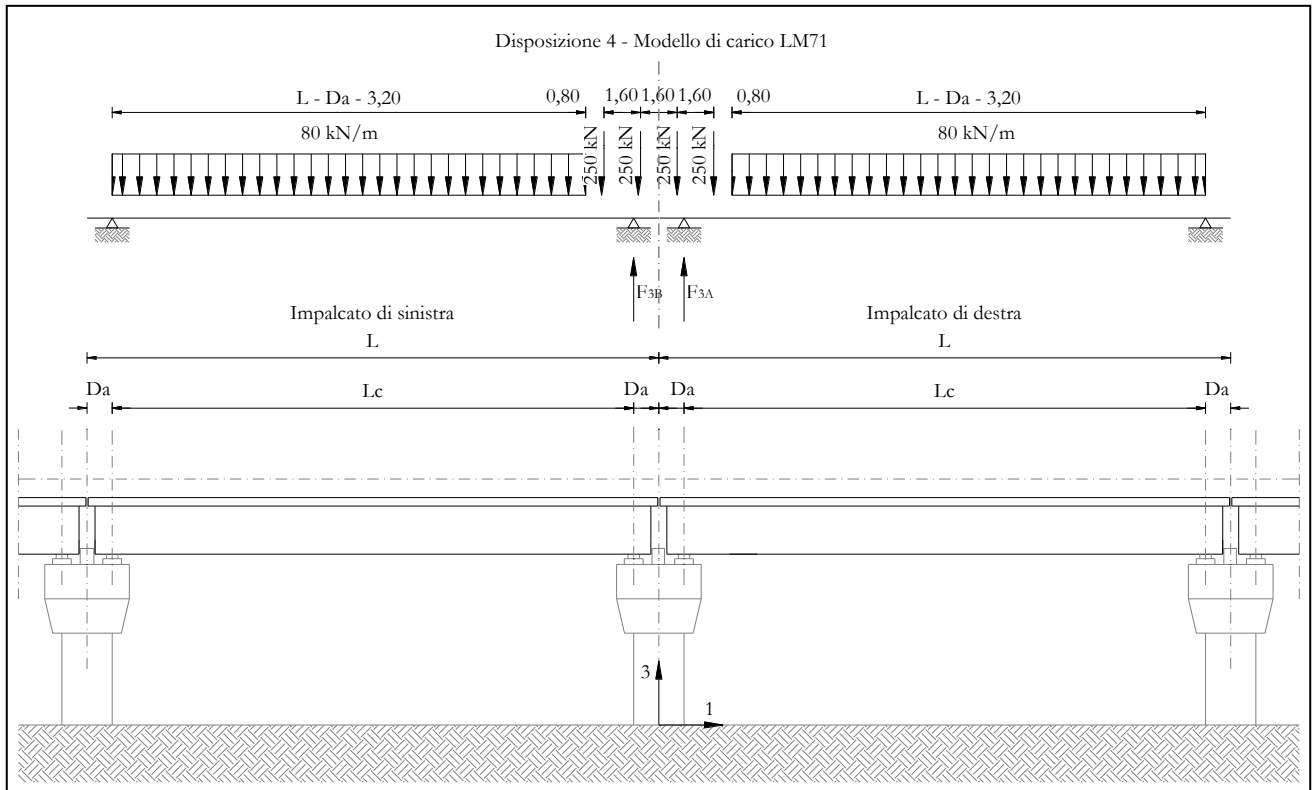


Figura 13 – Disposizione di carico 4

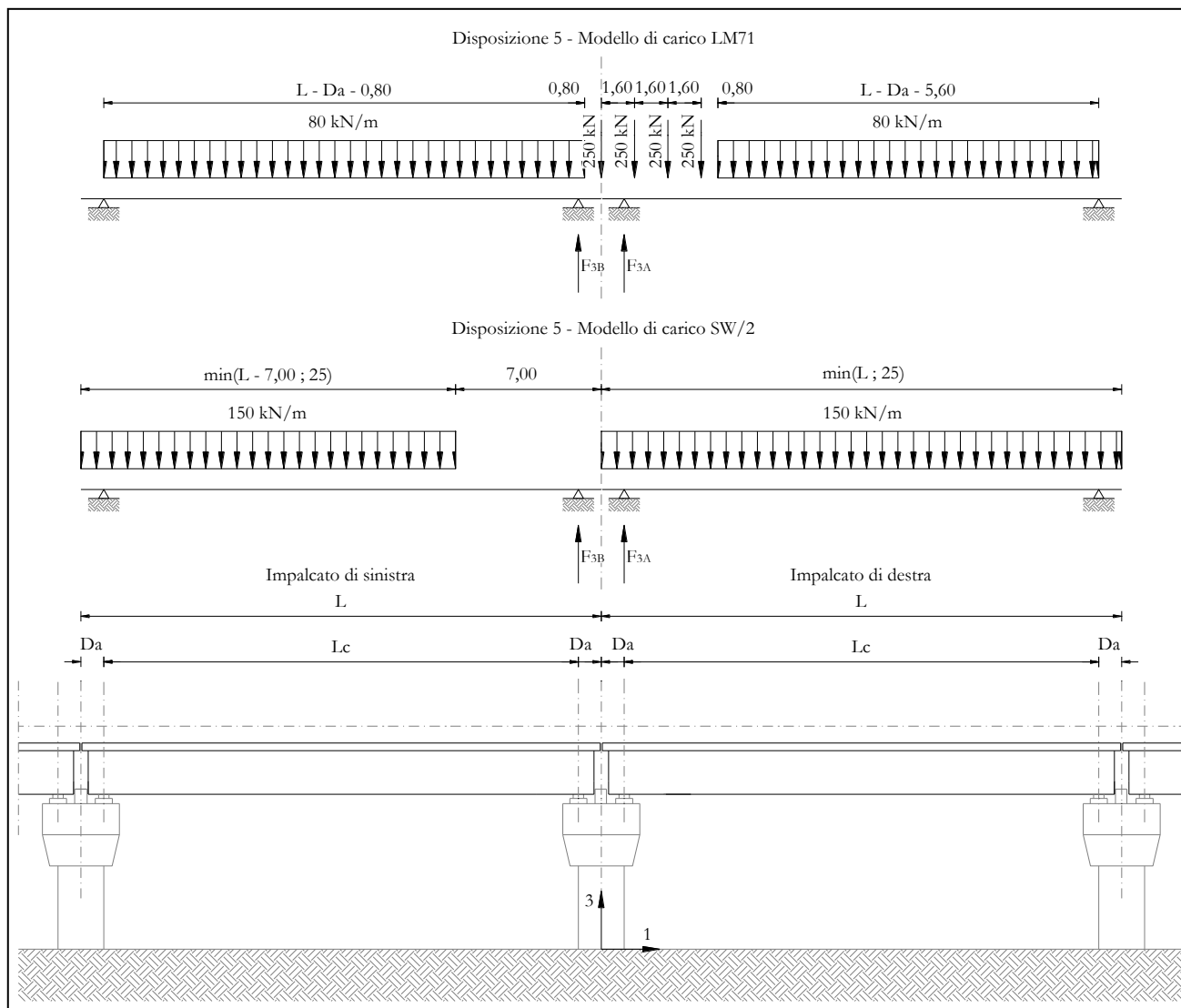


Figura 14 – Disposizione di carico 5

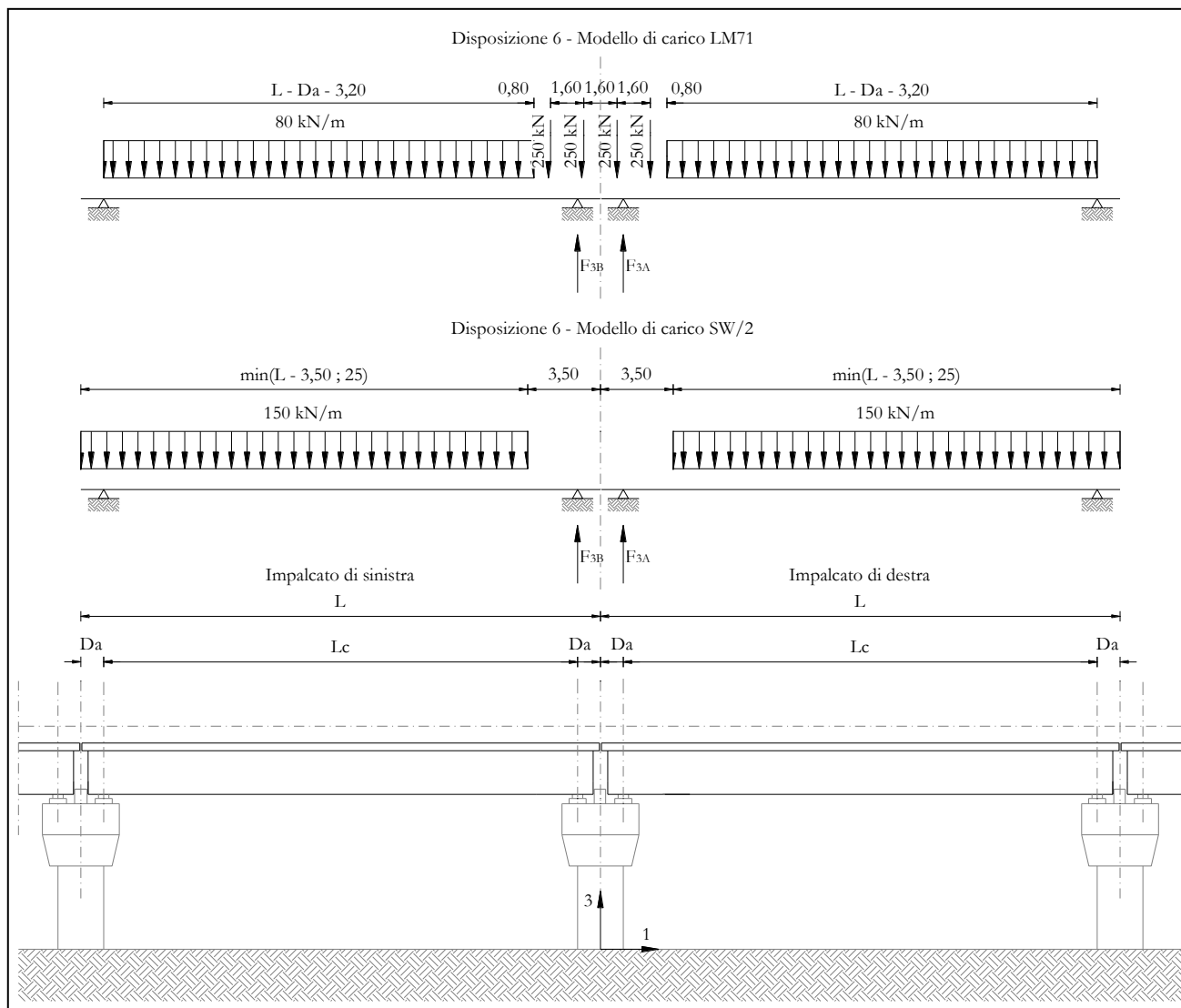


Figura 15 – Disposizione di carico 6

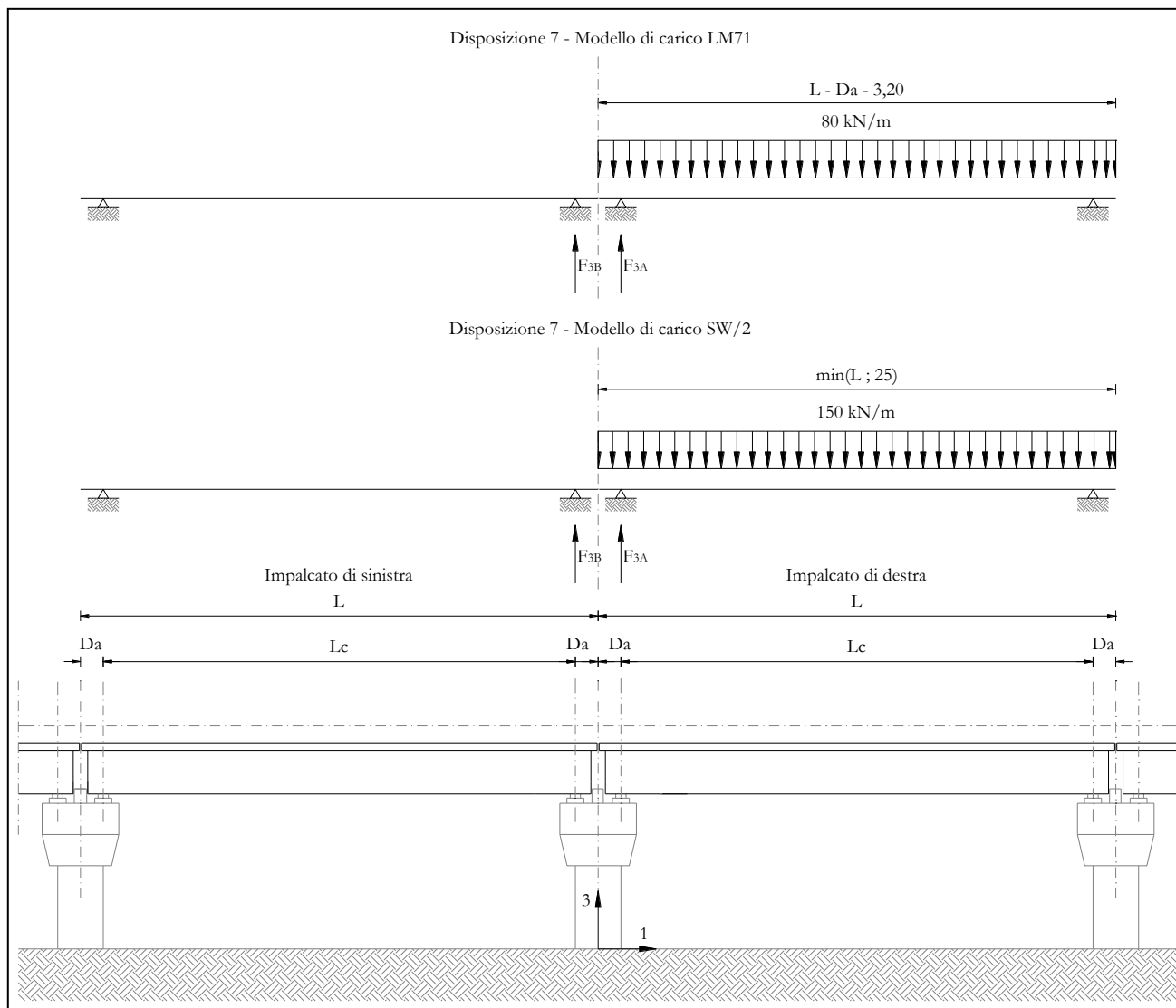


Figura 16 – Disposizione di carico 7

I valori caratteristici dei carichi attribuiti ai modelli di carico devono essere moltiplicati per il coefficiente α che deve assumersi come da tabella seguente:

Modello di carico	Coefficiente α
LM71	1,10
SW/2	1,00

  	ITINERARIO NAPOLI – BARI RADDOPPIO TRATTA CANCELLO – BENEVENTO I° LOTTO FUNZIONALE CANCELLO - FRASSO TELESINO E VARIANTE ALLA LINEA ROMA-NAPOLI VIA CASSINO NEL COMUNE DI MADDALONI – PROGETTO ESECUTIVO												
Pile P01-P02-P03-P04: Relazione di calcolo	<table border="1"> <thead> <tr> <th>COMMESSA</th> <th>LOTTO</th> <th>CODIFICA</th> <th>DOCUMENTO</th> <th>REV.</th> <th>FOGLIO</th> </tr> </thead> <tbody> <tr> <td>IF1N</td> <td>01 E ZZ</td> <td>CL</td> <td>VI0205 001</td> <td>B</td> <td>34 di 140</td> </tr> </tbody> </table>	COMMESSA	LOTTO	CODIFICA	DOCUMENTO	REV.	FOGLIO	IF1N	01 E ZZ	CL	VI0205 001	B	34 di 140
COMMESSA	LOTTO	CODIFICA	DOCUMENTO	REV.	FOGLIO								
IF1N	01 E ZZ	CL	VI0205 001	B	34 di 140								

I valori caratteristici dei carichi attribuiti ai modelli di carico devono essere moltiplicati per coefficienti che tengono conto dell'amplificazione dinamica. I coefficienti di amplificazione dinamica Φ si assumono pari a Φ_2 o Φ_3 in dipendenza dal livello di manutenzione della linea. In particolare si assumerà:

- per linee con elevato standard manutentivo:
 $\Phi_2 = 1,44/(\sqrt{L_\Phi - 0,2}) + 0,82$ con limitazione $1,00 \leq \Phi_2 \leq 1,67$
- per linee con normale standard manutentivo:
 $\Phi_3 = 2,16/(\sqrt{L_\Phi - 0,2}) + 0,73$ con limitazione $1,00 \leq \Phi_3 \leq 2,00$

Pile con snellezza $\lambda \leq 30$, spalle, fondazioni, muri di sostegno e spinte del terreno possono essere calcolate assumendo coefficienti dinamici unitari.

I pila	9.4	m4	inerzia pila
A pila	10.425	m2	area sez. pila
r_pila	0.95	m	raggio inerzia
H pila	8.4	m	altezza max
λ pila	17.7	< 30	snellezza

	<u>IMPALCATO "A"</u>	<u>IMPALCATO "B"</u>
Standard manutentivo =	<i>Normale</i>	<i>Normale</i>

Valori adottati:

Φ elevazione =	1.00	1.00
Φ fondazioni =	1.00	1.00

  	ITINERARIO NAPOLI – BARI RADDOPPIO TRATTA CANCELLO – BENEVENTO I° LOTTO FUNZIONALE CANCELLO - FRASSO TELESINO E VARIANTE ALLA LINEA ROMA-NAPOLI VIA CASSINO NEL COMUNE DI MADDALONI – PROGETTO ESECUTIVO					
	Pile P01-P02-P03-P04: Relazione di calcolo	COMMESSA IF1N	LOTTO 01 E ZZ	CODIFICA CL	DOCUMENTO VI0205 001	REV. B

6.3.1 CARICHI VERTICALI DA TRAFFICO (Q1)

Di seguito si riportano i risultati delle reazioni vincolari per le diverse disposizioni di carico considerate e descritte precedentemente nel §6.3.

6.3.1.1 DISPOSIZIONE DI CARICO 1 (Q11)

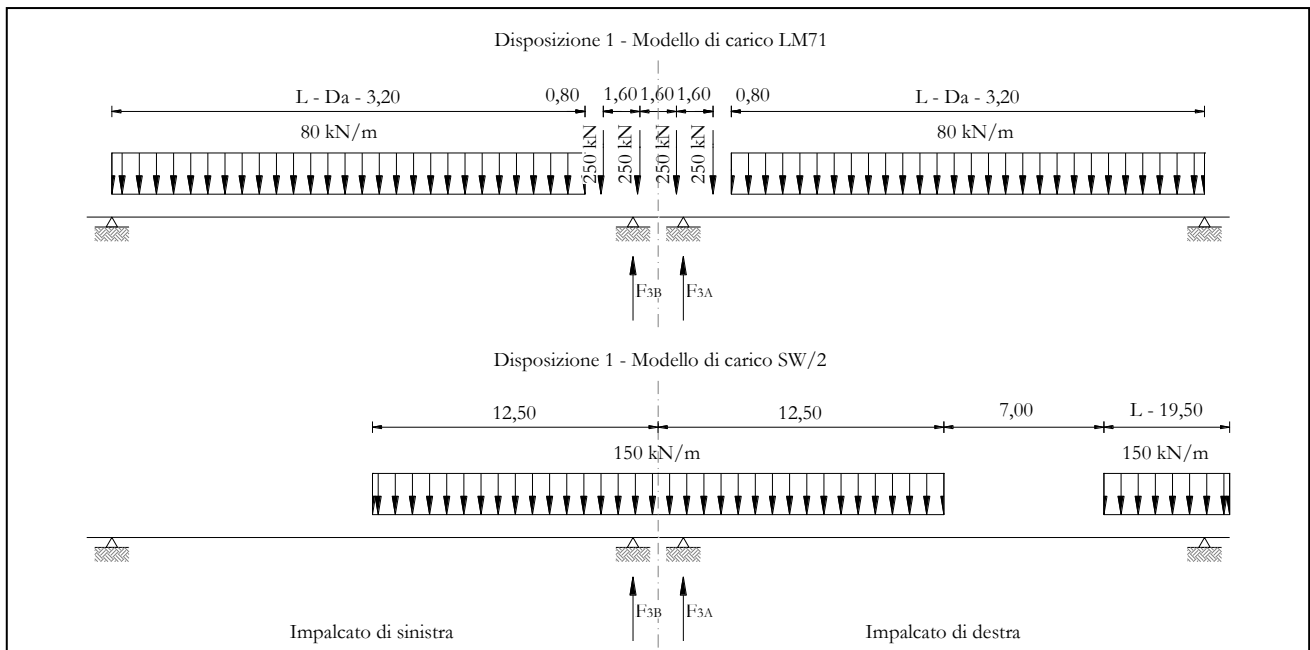


Figura 17 – Disposizione di carico 1

	IMPALCATO-SX		IMPALCATO-DX	
	Reazioni vincolari B		Reazioni vincolari A	

Modello di carico LM71

F3 =	1240,77	kN	1240,77	kN
α =	1,10		1,10	
eccentricità =	-1,92	m	-1,92	m

Modello di carico SW/2

F3 =	1451,48	kN	1511,18	kN
α =	1,00		1,00	
eccentricità =	2,00	m	2,00	m

  	ITINERARIO NAPOLI – BARI RADDOPPIO TRATTA CANCELLO – BENEVENTO I° LOTTO FUNZIONALE CANCELLO - FRASSO TELESINO E VARIANTE ALLA LINEA ROMA-NAPOLI VIA CASSINO NEL COMUNE DI MADDALONI – PROGETTO ESECUTIVO												
Pile P01-P02-P03-P04: Relazione di calcolo	<table border="1"> <thead> <tr> <th>COMMESSA</th> <th>LOTTO</th> <th>CODIFICA</th> <th>DOCUMENTO</th> <th>REV.</th> <th>FOGLIO</th> </tr> </thead> <tbody> <tr> <td>IF1N</td> <td>01 E ZZ</td> <td>CL</td> <td>VI0205 001</td> <td>B</td> <td>36 di 140</td> </tr> </tbody> </table>	COMMESSA	LOTTO	CODIFICA	DOCUMENTO	REV.	FOGLIO	IF1N	01 E ZZ	CL	VI0205 001	B	36 di 140
COMMESSA	LOTTO	CODIFICA	DOCUMENTO	REV.	FOGLIO								
IF1N	01 E ZZ	CL	VI0205 001	B	36 di 140								

Coeff. di amplificazione dinamica

$\varphi =$ 1,00 1,00

Reazioni vincolari carichi variabili verticali

F3 = 2816,33 kN 2876,03 kN

Risultanti reazioni vincolari

F1 = 0 0
F2 = 0 0
F3 = 2816 kN 2876 kN
M1 = 282 kNm 402 kNm
M2 = 0 0
M3 = 0 0

  	ITINERARIO NAPOLI – BARI RADDOPPIO TRATTA CANCELLO – BENEVENTO I° LOTTO FUNZIONALE CANCELLO - FRASSO TELESINO E VARIANTE ALLA LINEA ROMA-NAPOLI VIA CASSINO NEL COMUNE DI MADDALONI – PROGETTO ESECUTIVO					
	Pile P01-P02-P03-P04: Relazione di calcolo	COMMESSA IF1N	LOTTO 01 E ZZ	CODIFICA CL	DOCUMENTO VI0205 001	REV. B

6.3.1.2 DISPOSIZIONE DI CARICO 1 (Q12)

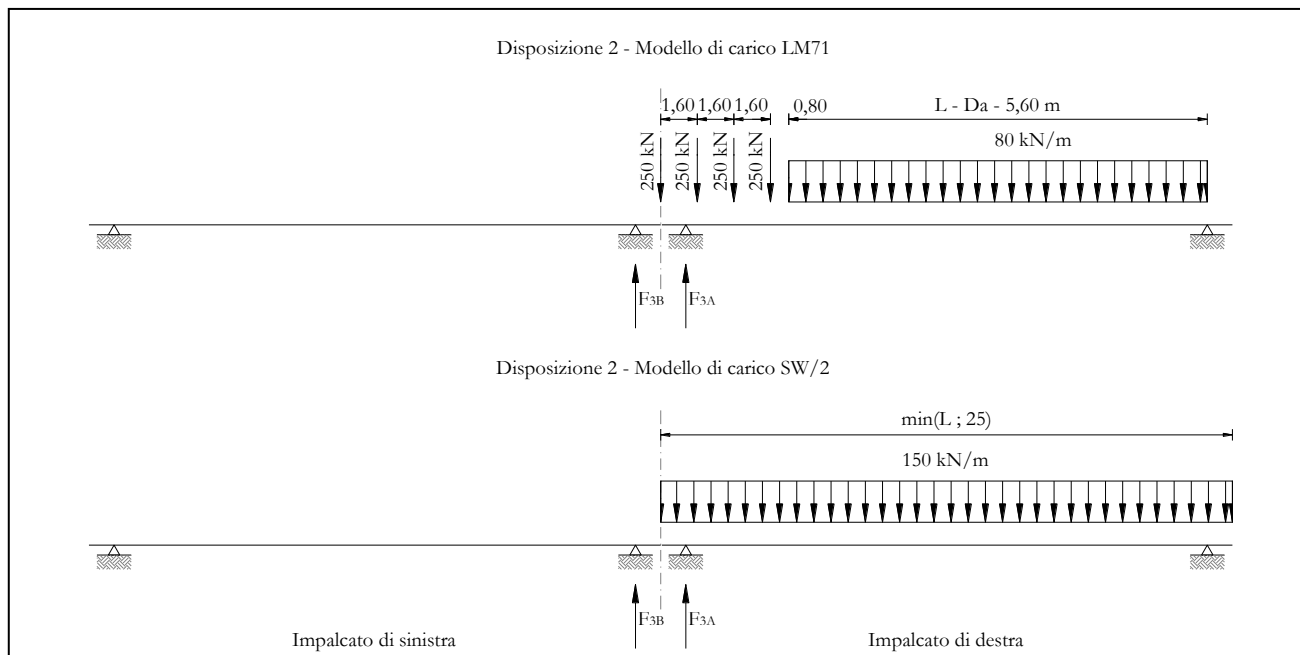


Figura 18 – Disposizione di carico 2

IMPALCATO-SX	IMPALCATO-DX
Reazioni vincolari B	Reazioni vincolari A

Modello di carico LM71

F3 =	0,00	kN	1530,51	kN
α =	1,10		1,10	
eccentricità =	-1,92	m	-1,92	m

Modello di carico SW/2

F3 =	0,00	kN	1875,00	kN
α =	1,00		1,00	
eccentricità =	2,00	m	2,00	m

Coeff. di amplificazione dinamica

  	ITINERARIO NAPOLI – BARI RADDOPPIO TRATTA CANCELLO – BENEVENTO I° LOTTO FUNZIONALE CANCELLO - FRASSO TELESINO E VARIANTE ALLA LINEA ROMA-NAPOLI VIA CASSINO NEL COMUNE DI MADDALONI – PROGETTO ESECUTIVO												
Pile P01-P02-P03-P04: Relazione di calcolo	<table border="1"> <thead> <tr> <th>COMMESSA</th> <th>LOTTO</th> <th>CODIFICA</th> <th>DOCUMENTO</th> <th>REV.</th> <th>FOGLIO</th> </tr> </thead> <tbody> <tr> <td>IF1N</td> <td>01 E ZZ</td> <td>CL</td> <td>VI0205 001</td> <td>B</td> <td>38 di 140</td> </tr> </tbody> </table>	COMMESSA	LOTTO	CODIFICA	DOCUMENTO	REV.	FOGLIO	IF1N	01 E ZZ	CL	VI0205 001	B	38 di 140
COMMESSA	LOTTO	CODIFICA	DOCUMENTO	REV.	FOGLIO								
IF1N	01 E ZZ	CL	VI0205 001	B	38 di 140								

$\varphi =$ 1,00 1,00

Reazioni vincolari carichi variabili verticali

F3 = 0,00 kN 3558,56 kN

Risultanti reazioni vincolari

F1 = 0 0
F2 = 0 0
F3 = 0 kN 3559 kN
M1 = 0 kNm 518 kNm
M2 = 0 0
M3 = 0 0

  	ITINERARIO NAPOLI – BARI RADDOPPIO TRATTA CANCELLO – BENEVENTO I° LOTTO FUNZIONALE CANCELLO - FRASSO TELESINO E VARIANTE ALLA LINEA ROMA-NAPOLI VIA CASSINO NEL COMUNE DI MADDALONI – PROGETTO ESECUTIVO						
	Pile P01-P02-P03-P04: Relazione di calcolo		COMMESSA IF1N	LOTTO 01 E ZZ	CODIFICA CL	DOCUMENTO VI0205 001	REV. B

6.3.1.3 DISPOSIZIONE DI CARICO 1 (Q13)

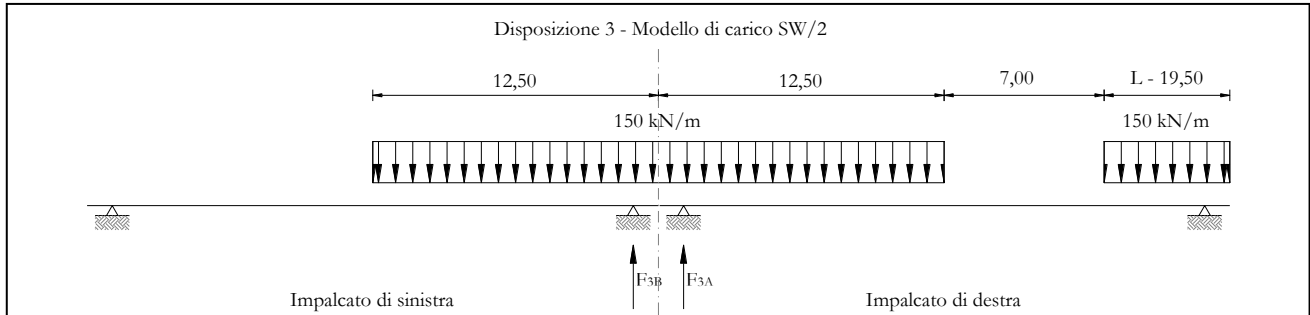


Figura 19 – Disposizione di carico 3

	IMPALCATO-SX		IMPALCATO-DX	
	Reazioni vincolari B		Reazioni vincolari A	

Modello di carico LM71

F3 =	0,00	kN	0,00	kN
α =	1,10		1,10	
eccentricità =	-1,92	m	-1,92	m

Modello di carico SW/2

F3 =	1451,48	kN	1511,18	kN
α =	1,00		1,00	
eccentricità =	2,00	m	2,00	m

Coeff. di amplificazione dinamica

φ =	1,00		1,00	
-------------	------	--	------	--

Reazioni vincolari carichi variabili verticali

F3 =	1451,48	kN	1511,18	kN
------	---------	----	---------	----

Risultanti reazioni vincolari

F1 =	0		0	
------	---	--	---	--

Ghella



ITINERA

ITINERARIO NAPOLI – BARI

RADDOPPIO TRATTA CANCELLO – BENEVENTO

**I° LOTTO FUNZIONALE CANCELLO - FRASSO TELESINO E
VARIANTE ALLA LINEA ROMA-NAPOLI VIA CASSINO NEL
COMUNE DI MADDALONI – PROGETTO ESECUTIVO**

Pile P01-P02-P03-P04: Relazione di calcolo

COMMESSA	LOTTO	CODIFICA	DOCUMENTO	REV.	FOGLIO
IF1N	01 E ZZ	CL	VI0205 001	B	40 di 140

F2 =	0		0	
F3 =	1451	kN	1511	kN
M1 =	2903	kNm	3022	kNm
M2 =	0		0	
M3 =	0		0	

  	ITINERARIO NAPOLI – BARI RADDOPPIO TRATTA CANCELLO – BENEVENTO I° LOTTO FUNZIONALE CANCELLO - FRASSO TELESINO E VARIANTE ALLA LINEA ROMA-NAPOLI VIA CASSINO NEL COMUNE DI MADDALONI – PROGETTO ESECUTIVO					
	Pile P01-P02-P03-P04: Relazione di calcolo	COMMESSA IF1N	LOTTO 01 E ZZ	CODIFICA CL	DOCUMENTO VI0205 001	REV. B

6.3.1.4 DISPOSIZIONE DI CARICO 1 (Q14)

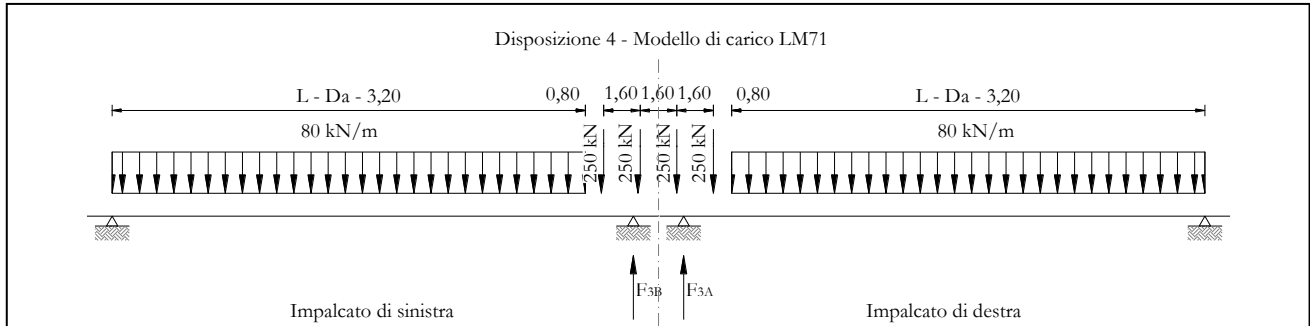


Figura 20 – Disposizione di carico 4

IMPALCATO-SX

Reazioni vincolari B

IMPALCATO-DX

Reazioni vincolari A

Modello di carico LM71

F3 =	1240,77	kN	1240,77	kN
α =	1,10		1,10	
eccentricità =	2,08	m	2,08	m

Modello di carico SW/2

F3 =	0,00	kN	0,00	kN
α =	1,00		1,00	
eccentricità =	-2,00	m	-2,00	m

Coeff. di amplificazione dinamica

φ =	1,00		1,00	
-------------	------	--	------	--

Reazioni vincolari carichi variabili verticali

F3 =	1364,85	kN	1364,85	kN
------	---------	----	---------	----

Risultanti reazioni vincolari

Ghella



ITINERA

ITINERARIO NAPOLI – BARI

RADDOPPIO TRATTA CANCELLO – BENEVENTO

**I° LOTTO FUNZIONALE CANCELLO - FRASSO TELESINO E
VARIANTE ALLA LINEA ROMA-NAPOLI VIA CASSINO NEL
COMUNE DI MADDALONI – PROGETTO ESECUTIVO**

Pile P01-P02-P03-P04: Relazione di calcolo

COMMESSA	LOTTO	CODIFICA	DOCUMENTO	REV.	FOGLIO
IF1N	01 E ZZ	CL	VI0205 001	B	42 di 140

F1 =	0		0	
F2 =	0		0	
F3 =	1365	kN	1365	kN
M1 =	2839	kNm	2839	kNm
M2 =	0		0	
M3 =	0		0	

  	ITINERARIO NAPOLI – BARI RADDOPPIO TRATTA CANCELLO – BENEVENTO I° LOTTO FUNZIONALE CANCELLO - FRASSO TELESINO E VARIANTE ALLA LINEA ROMA-NAPOLI VIA CASSINO NEL COMUNE DI MADDALONI – PROGETTO ESECUTIVO					
	Pile P01-P02-P03-P04: Relazione di calcolo	COMMESSA IF1N	LOTTO 01 E ZZ	CODIFICA CL	DOCUMENTO VI0205 001	REV. B

6.3.1.5 DISPOSIZIONE DI CARICO 1 (Q15)

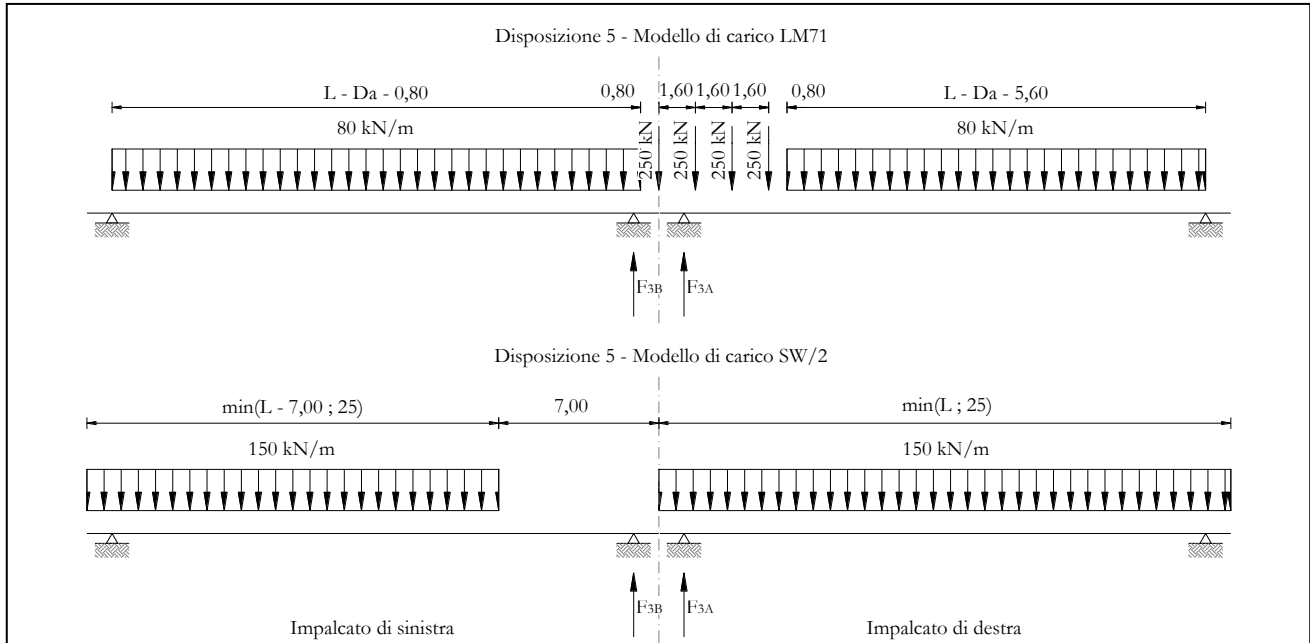


Figura 21 – Disposizione di carico 5

	IMPALCATO-SX		IMPALCATO-DX	
	Reazioni vincolari B		Reazioni vincolari A	

Modello di carico LM71

F3 =	936,16	kN	1530,51	kN
α =	1,10		1,10	
eccentricità =	2,08	m	-1,92	m

Modello di carico SW/2

F3 =	935,53	kN	1875,00	kN
α =	1,00		1,00	
eccentricità =	-2,00	m	2,00	m

Coeff. di amplificazione dinamica

ϕ =	1,00		1,00	
----------	------	--	------	--

  	ITINERARIO NAPOLI – BARI RADDOPPIO TRATTA CANCELLO – BENEVENTO I° LOTTO FUNZIONALE CANCELLO - FRASSO TELESINO E VARIANTE ALLA LINEA ROMA-NAPOLI VIA CASSINO NEL COMUNE DI MADDALONI – PROGETTO ESECUTIVO												
Pile P01-P02-P03-P04: Relazione di calcolo	<table border="1"> <thead> <tr> <th>COMMESSA</th> <th>LOTTO</th> <th>CODIFICA</th> <th>DOCUMENTO</th> <th>REV.</th> <th>FOGLIO</th> </tr> </thead> <tbody> <tr> <td>IF1N</td> <td>01 E ZZ</td> <td>CL</td> <td>VI0205 001</td> <td>B</td> <td>44 di 140</td> </tr> </tbody> </table>	COMMESSA	LOTTO	CODIFICA	DOCUMENTO	REV.	FOGLIO	IF1N	01 E ZZ	CL	VI0205 001	B	44 di 140
COMMESSA	LOTTO	CODIFICA	DOCUMENTO	REV.	FOGLIO								
IF1N	01 E ZZ	CL	VI0205 001	B	44 di 140								

Reazioni vincolari carichi variabili verticali

F3 = 1965,30 kN 3558,56 kN

Risultanti reazioni vincolari

F1 = 0 0
F2 = 0 0
F3 = 1965 kN 3559 kN
M1 = 271 kNm 518 kNm
M2 = 0 0
M3 = 0 0

  	ITINERARIO NAPOLI – BARI RADDOPPIO TRATTA CANCELLO – BENEVENTO I° LOTTO FUNZIONALE CANCELLO - FRASSO TELESINO E VARIANTE ALLA LINEA ROMA-NAPOLI VIA CASSINO NEL COMUNE DI MADDALONI – PROGETTO ESECUTIVO					
	Pile P01-P02-P03-P04: Relazione di calcolo	COMMESSA IF1N	LOTTO 01 E ZZ	CODIFICA CL	DOCUMENTO VI0205 001	REV. B

6.3.1.6 DISPOSIZIONE DI CARICO 1 (Q16)

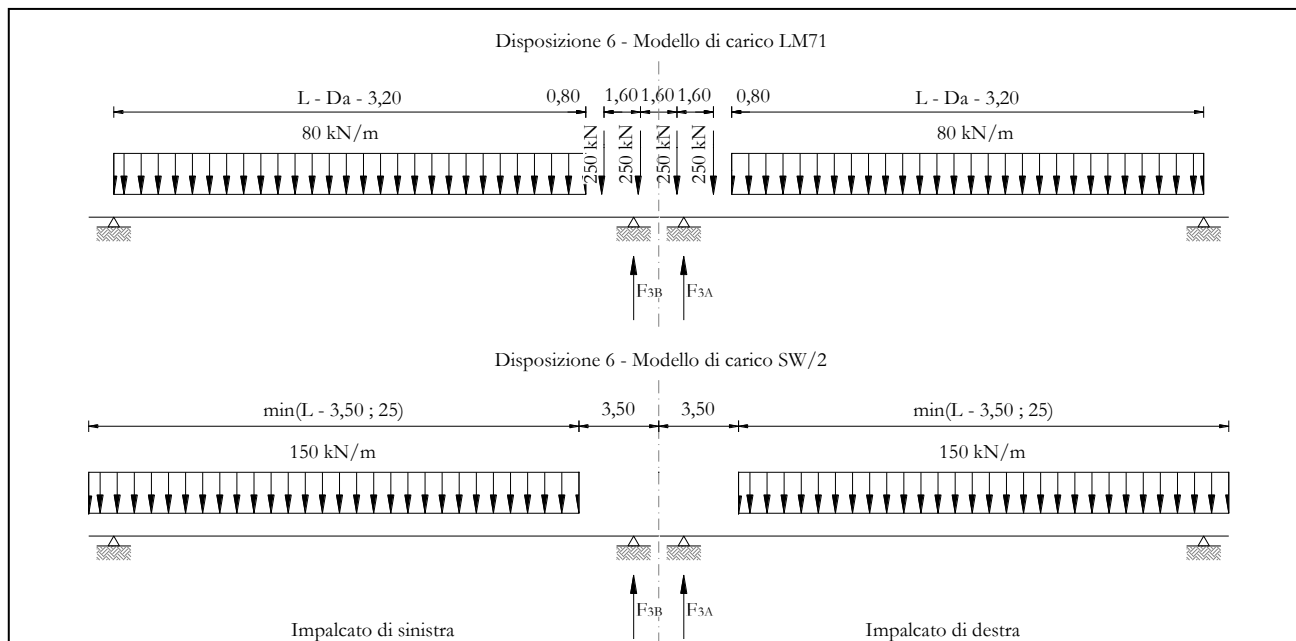


Figura 22 – Disposizione di carico 6

	IMPALCATO-SX		IMPALCATO-DX	
	Reazioni vincolari B		Reazioni vincolari A	

Modello di carico LM71

F3 =	1240,77	kN	1240,77	kN
α =	1,10		1,10	
eccentricità =	-1,92	m	-1,92	m

Modello di carico SW/2

F3 =	1364,97	kN	1364,97	kN
α =	1,00		1,00	
eccentricità =	2,00	m	2,00	m

Coeff. di amplificazione dinamica

φ =	1,00		1,00	
-------------	------	--	------	--

  	ITINERARIO NAPOLI – BARI RADDOPPIO TRATTA CANCELLO – BENEVENTO I° LOTTO FUNZIONALE CANCELLO - FRASSO TELESINO E VARIANTE ALLA LINEA ROMA-NAPOLI VIA CASSINO NEL COMUNE DI MADDALONI – PROGETTO ESECUTIVO												
Pile P01-P02-P03-P04: Relazione di calcolo	<table border="1"> <thead> <tr> <th>COMMESSA</th> <th>LOTTO</th> <th>CODIFICA</th> <th>DOCUMENTO</th> <th>REV.</th> <th>FOGLIO</th> </tr> </thead> <tbody> <tr> <td>IF1N</td> <td>01 E ZZ</td> <td>CL</td> <td>VI0205 001</td> <td>B</td> <td>46 di 140</td> </tr> </tbody> </table>	COMMESSA	LOTTO	CODIFICA	DOCUMENTO	REV.	FOGLIO	IF1N	01 E ZZ	CL	VI0205 001	B	46 di 140
COMMESSA	LOTTO	CODIFICA	DOCUMENTO	REV.	FOGLIO								
IF1N	01 E ZZ	CL	VI0205 001	B	46 di 140								

Reazioni vincolari carichi variabili verticali

F3 = 2729,82 kN 2729,82 kN

Risultanti reazioni vincolari

F1 = 0 0
F2 = 0 0
F3 = 2730 kN 2730 kN
M1 = 109 kNm 109 kNm
M2 = 0 0
M3 = 0 0

  	ITINERARIO NAPOLI – BARI RADDOPPIO TRATTA CANCELLO – BENEVENTO I° LOTTO FUNZIONALE CANCELLO - FRASSO TELESINO E VARIANTE ALLA LINEA ROMA-NAPOLI VIA CASSINO NEL COMUNE DI MADDALONI – PROGETTO ESECUTIVO					
	Pile P01-P02-P03-P04: Relazione di calcolo	COMMESSA IF1N	LOTTO 01 E ZZ	CODIFICA CL	DOCUMENTO VI0205 001	REV. B

6.3.1.7 DISPOSIZIONE DI CARICO 1 (Q17)

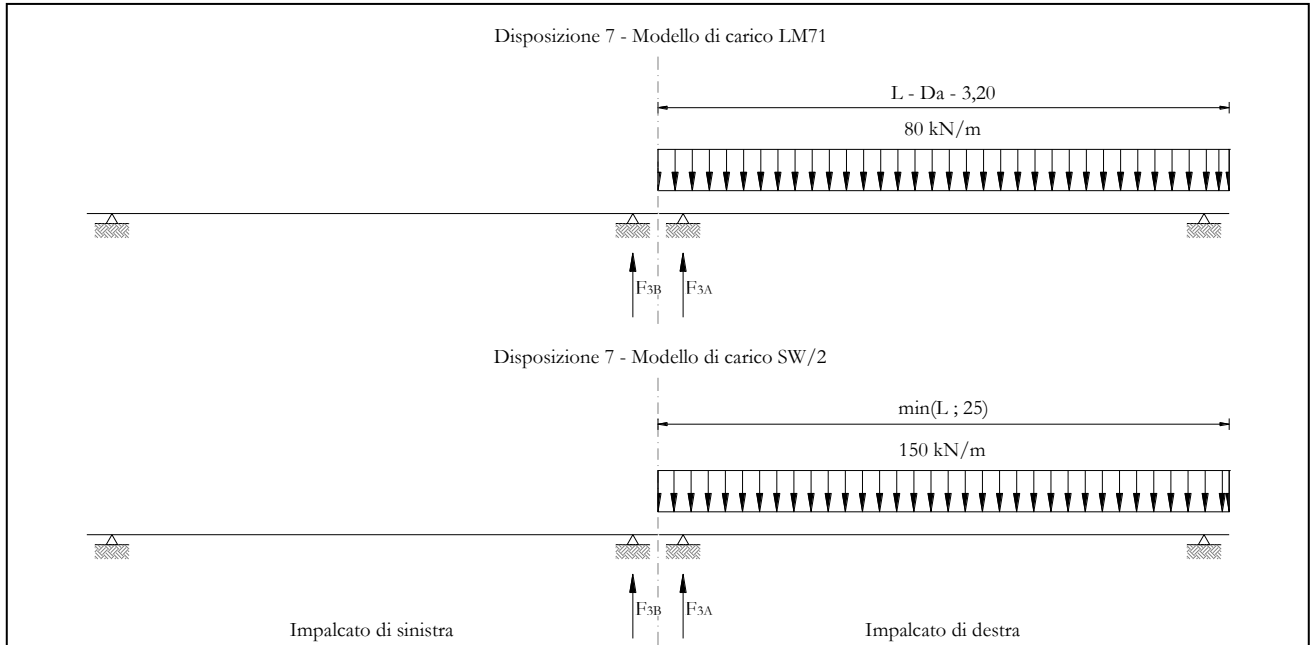


Figura 23 – Disposizione di carico 7

	IMPALCATO-SX		IMPALCATO-DX	
	Reazioni vincolari B		Reazioni vincolari A	

Modello di carico LM71

F3 =	0,00	kN	1002,12	kN
α =	1,10		1,10	
eccentricità =	-1,92	m	-1,92	m

Modello di carico SW/2

F3 =	0,00	kN	1875,00	kN
α =	1,00		1,00	
eccentricità =	2,00	m	2,00	m

Coeff. di amplificazione dinamica

φ =	1,00		1,00	
-------------	------	--	------	--

  	ITINERARIO NAPOLI – BARI RADDOPPIO TRATTA CANCELLO – BENEVENTO I° LOTTO FUNZIONALE CANCELLO - FRASSO TELESINO E VARIANTE ALLA LINEA ROMA-NAPOLI VIA CASSINO NEL COMUNE DI MADDALONI – PROGETTO ESECUTIVO												
Pile P01-P02-P03-P04: Relazione di calcolo	<table border="1"> <thead> <tr> <th>COMMESSA</th> <th>LOTTO</th> <th>CODIFICA</th> <th>DOCUMENTO</th> <th>REV.</th> <th>FOGLIO</th> </tr> </thead> <tbody> <tr> <td>IF1N</td> <td>01 E ZZ</td> <td>CL</td> <td>VI0205 001</td> <td>B</td> <td>48 di 140</td> </tr> </tbody> </table>	COMMESSA	LOTTO	CODIFICA	DOCUMENTO	REV.	FOGLIO	IF1N	01 E ZZ	CL	VI0205 001	B	48 di 140
COMMESSA	LOTTO	CODIFICA	DOCUMENTO	REV.	FOGLIO								
IF1N	01 E ZZ	CL	VI0205 001	B	48 di 140								

Reazioni vincolari carichi variabili verticali

F3 = 0,00 kN 2977,34 kN

Risultanti reazioni vincolari

F1 = 0 0
F2 = 0 0
F3 = 0 kN 2977 kN
M1 = 0 kNm 1634 kNm
M2 = 0 0
M3 = 0 0

  	ITINERARIO NAPOLI – BARI RADDOPPIO TRATTA CANCELLO – BENEVENTO I° LOTTO FUNZIONALE CANCELLO - FRASSO TELESINO E VARIANTE ALLA LINEA ROMA-NAPOLI VIA CASSINO NEL COMUNE DI MADDALONI – PROGETTO ESECUTIVO												
Pile P01-P02-P03-P04: Relazione di calcolo	<table border="1"> <thead> <tr> <th>COMMESSA</th> <th>LOTTO</th> <th>CODIFICA</th> <th>DOCUMENTO</th> <th>REV.</th> <th>FOGLIO</th> </tr> </thead> <tbody> <tr> <td>IF1N</td> <td>01 E ZZ</td> <td>CL</td> <td>VI0205 001</td> <td>B</td> <td>49 di 140</td> </tr> </tbody> </table>	COMMESSA	LOTTO	CODIFICA	DOCUMENTO	REV.	FOGLIO	IF1N	01 E ZZ	CL	VI0205 001	B	49 di 140
COMMESSA	LOTTO	CODIFICA	DOCUMENTO	REV.	FOGLIO								
IF1N	01 E ZZ	CL	VI0205 001	B	49 di 140								

6.3.2 AZIONI DI AVVIAMENTO E FRENATURA (Q2)

Le azioni di frenatura e avviamento sono costituite da forze uniformemente distribuite su una lunghezza di binario L determinata per ottenere l'effetto più gravoso sull'elemento strutturale considerato. I valori da considerare sono i seguenti:

- avviamento: $Q_{la,k} = 33 \text{ kN/m} \cdot L \leq 1000 \text{ kN}$ per i modelli di carico LM71, SW/2
- frenatura: $Q_{lb,k} = 20 \text{ kN/m} \cdot L \leq 6000 \text{ kN}$ per i modelli di carico LM71
 $Q_{lb,k} = 35 \text{ kN/m}$ per i modelli di carico SW/2

I valori caratteristici dell'azione di frenatura e di avviamento devono essere moltiplicati per α e non devono essere moltiplicati per Φ .

Nel caso di ponti a doppio binario si devono considerare due treni in transito in versi opposti, uno in fase di avviamento e l'altro in fase di frenatura.

Gli effetti di interazione relativamente alle azioni di frenatura e avviamento si tengono conto applicando ai valori della risultante un coefficiente α_h che tiene conto del rapporto di rigidezza tra le pile del viadotto. Per la determinazione dei coefficienti si rimanda al §6.6.3 della presente relazione.

Nei sottoparagrafi che seguono si riportano i risultati delle reazioni vincolari per le diverse disposizioni di carico considerate e descritte precedentemente nel §6.3.

  	ITINERARIO NAPOLI – BARI RADDOPPIO TRATTA CANCELLO – BENEVENTO I° LOTTO FUNZIONALE CANCELLO - FRASSO TELESINO E VARIANTE ALLA LINEA ROMA-NAPOLI VIA CASSINO NEL COMUNE DI MADDALONI – PROGETTO ESECUTIVO						
	Pile P01-P02-P03-P04: Relazione di calcolo		COMMESSA IF1N	LOTTO 01 E ZZ	CODIFICA CL	DOCUMENTO VI0205 001	REV. B

6.3.2.1 DISPOSIZIONE DI CARICO 1 (Q21)

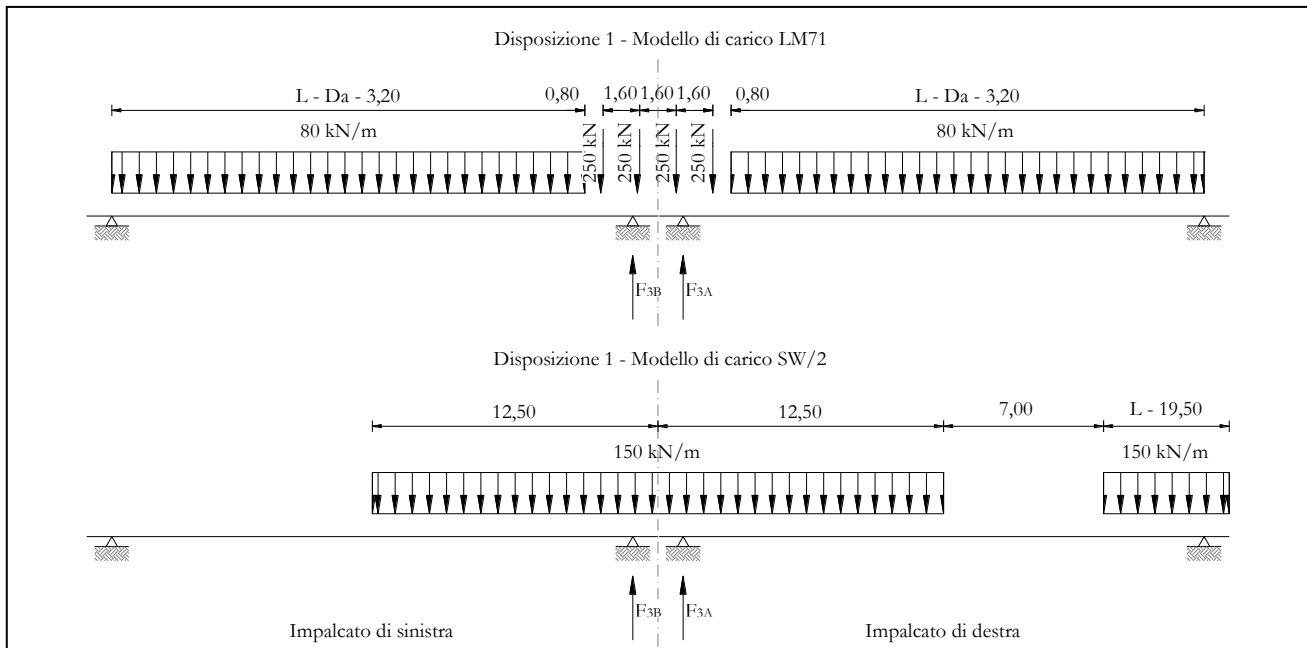


Figura 24 – Disposizione di carico 1

	IMPALCATO-SX		IMPALCATO-DX	
	Reazioni vincolari B		Reazioni vincolari A	
Avviamento LM71				
f avv =	33,00	kN/m	33,00	kN/m
α =	1,10		1,10	
L caricata =	25,00	m	25,00	m
F avv (max 1000 kN) =	825,00	kN	825,00	kN
F1 =	907,50	kN	907,50	kN
Avviamento SW/2				
f avv =	33,00	kN/m	33,00	kN/m
α =	1,00		1,00	
L caricata =	12,50	m	18,00	m
F avv (max 1000 kN) =	412,50	kN	594,00	kN
F1 =	412,50	kN	594,00	kN

  	ITINERARIO NAPOLI – BARI RADDOPPIO TRATTA CANCELLO – BENEVENTO I° LOTTO FUNZIONALE CANCELLO - FRASSO TELESINO E VARIANTE ALLA LINEA ROMA-NAPOLI VIA CASSINO NEL COMUNE DI MADDALONI – PROGETTO ESECUTIVO												
Pile P01-P02-P03-P04: Relazione di calcolo	<table border="1"> <thead> <tr> <th>COMMESSA</th> <th>LOTTO</th> <th>CODIFICA</th> <th>DOCUMENTO</th> <th>REV.</th> <th>FOGLIO</th> </tr> </thead> <tbody> <tr> <td>IF1N</td> <td>01 E ZZ</td> <td>CL</td> <td>VI0205 001</td> <td>B</td> <td>51 di 140</td> </tr> </tbody> </table>	COMMESSA	LOTTO	CODIFICA	DOCUMENTO	REV.	FOGLIO	IF1N	01 E ZZ	CL	VI0205 001	B	51 di 140
COMMESSA	LOTTO	CODIFICA	DOCUMENTO	REV.	FOGLIO								
IF1N	01 E ZZ	CL	VI0205 001	B	51 di 140								

Frenatura LM71

f fren =	20,00	kN/m	20,00	kN/m
α =	1,10		1,10	
L caricata =	25,00	m	25,00	m
F fren (max 6000 kN) =	500,00	kN	500,00	kN
F1 =	550,00	kN	550,00	kN

Frenatura SW/2

f fren =	35,00	kN/m	35,00	kN/m
α =	1,00		1,00	
L caricata =	12,50	m	18,00	m
F fren =	437,50	kN	630,00	kN
F1 =	437,50	kN	630,00	kN

ahp interazione semplificata

ahp frenatura per LM71 =	1,60		1,60	
ahp frenatura per SW/2 =	1,30		1,30	
ahp avviam. per LM71 SW/2 =	1,12		1,12	

Forza totale di avviamento e frenatura

F1 =	1585,15	kN	1835,40	kN
h rispetto a intradosso imp. =	3,28	m	3,28	m
tipologia vincolo =	UL		F	

Risultanti reazioni vincolari

F1 =	0	kN	-1835	kN
F2 =	0		0	
F3 =	228	kN	-264	kN
M1 =	0		0	
M2 =	0		0	
M3 =	0		0	

  	ITINERARIO NAPOLI – BARI RADDOPPIO TRATTA CANCELLO – BENEVENTO I° LOTTO FUNZIONALE CANCELLO - FRASSO TELESINO E VARIANTE ALLA LINEA ROMA-NAPOLI VIA CASSINO NEL COMUNE DI MADDALONI – PROGETTO ESECUTIVO					
	Pile P01-P02-P03-P04: Relazione di calcolo	COMMESSA IF1N	LOTTO 01 E ZZ	CODIFICA CL	DOCUMENTO VI0205 001	REV. B

6.3.2.2 DISPOSIZIONE DI CARICO 2 (Q22)

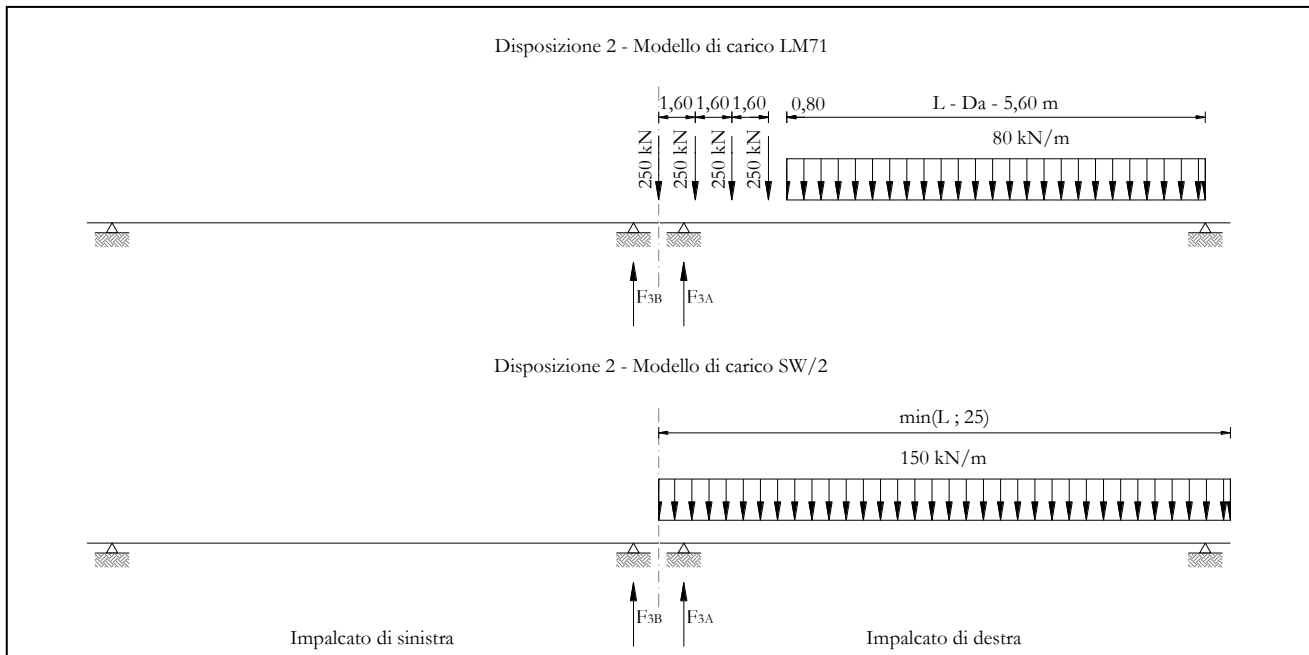


Figura 25 – Disposizione di carico 2

	IMPALCATO-SX	IMPALCATO-DX
	Reazioni vincolari B	Reazioni vincolari A

Avviamento LM71

f avv =	33,00	kN/m	33,00	kN/m
α =	1,10		1,10	
L caricata =	0,00	m	25,00	m
F avv (max 1000 kN) =	0,00	kN	825,00	kN
F1 =	0,00	kN	907,50	kN

Avviamento SW/2

f avv =	33,00	kN/m	33,00	kN/m
α =	1,00		1,00	
L caricata =	0,00	m	25,00	m
F avv (max 1000 kN) =	0,00	kN	825,00	kN
F1 =	0,00	kN	825,00	kN

  	ITINERARIO NAPOLI – BARI RADDOPPIO TRATTA CANCELLO – BENEVENTO I° LOTTO FUNZIONALE CANCELLO - FRASSO TELESINO E VARIANTE ALLA LINEA ROMA-NAPOLI VIA CASSINO NEL COMUNE DI MADDALONI – PROGETTO ESECUTIVO												
Pile P01-P02-P03-P04: Relazione di calcolo	<table border="1"> <thead> <tr> <th>COMMESSA</th> <th>LOTTO</th> <th>CODIFICA</th> <th>DOCUMENTO</th> <th>REV.</th> <th>FOGLIO</th> </tr> </thead> <tbody> <tr> <td>IF1N</td> <td>01 E ZZ</td> <td>CL</td> <td>VI0205 001</td> <td>B</td> <td>53 di 140</td> </tr> </tbody> </table>	COMMESSA	LOTTO	CODIFICA	DOCUMENTO	REV.	FOGLIO	IF1N	01 E ZZ	CL	VI0205 001	B	53 di 140
COMMESSA	LOTTO	CODIFICA	DOCUMENTO	REV.	FOGLIO								
IF1N	01 E ZZ	CL	VI0205 001	B	53 di 140								

Frenatura LM71

f fren =	20,00	kN/m	20,00	kN/m
α =	1,10		1,10	
L caricata =	0,00	m	25,00	m
F fren (max 6000 kN) =	0,00	kN	500,00	kN
F1 =	0,00	kN	550,00	kN

Frenatura SW/2

f fren =	35,00	kN/m	35,00	kN/m
α =	1,00		1,00	
L caricata =	0,00	m	25,00	m
F fren =	0,00	kN	875,00	kN
F1 =	0,00	kN	875,00	kN

ahp interazione semplificata

ahp frenatura per LM71 =	1,60		1,60	
ahp frenatura per SW/2 =	1,30		1,30	
ahp avviam. per LM71 SW/2 =	1,12		1,12	

Forza totale di avviamento e frenatura

F1 =	0,00	kN	2153,90	kN
h rispetto a intradosso imp. =	3,28	m	3,28	m
tipologia vincolo =	UL		F	

Risultanti reazioni vincolari

F1 =	0	kN	-2154	kN
F2 =	0		0	
F3 =	0	kN	-310	kN
M1 =	0		0	
M2 =	0		0	
M3 =	0		0	

  	ITINERARIO NAPOLI – BARI RADDOPPIO TRATTA CANCELLO – BENEVENTO I° LOTTO FUNZIONALE CANCELLO - FRASSO TELESINO E VARIANTE ALLA LINEA ROMA-NAPOLI VIA CASSINO NEL COMUNE DI MADDALONI – PROGETTO ESECUTIVO					
	Pile P01-P02-P03-P04: Relazione di calcolo	COMMESSA IF1N	LOTTO 01 E ZZ	CODIFICA CL	DOCUMENTO VI0205 001	REV. B

6.3.2.3 DISPOSIZIONE DI CARICO 3 (Q23)

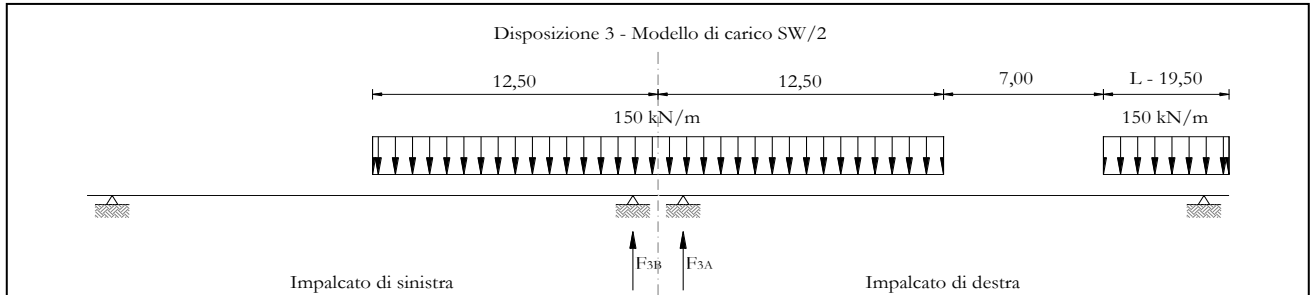


Figura 26 – Disposizione di carico 3

	IMPALCATO-SX		IMPALCATO-DX	
	Reazioni vincolari B		Reazioni vincolari A	
Avviamento LM71				
f avv =	33,00	kN/m	33,00	kN/m
α =	1,10		1,10	
L caricata =	0,00	m	0,00	m
F avv (max 1000 kN) =	0,00	kN	0,00	kN
F1 =	0,00	kN	0,00	kN
Avviamento SW/2				
f avv =	33,00	kN/m	33,00	kN/m
α =	1,00		1,00	
L caricata =	12,50	m	18,00	m
F avv (max 1000 kN) =	412,50	kN	594,00	kN
F1 =	412,50	kN	594,00	kN
Frenatura LM71				
f fren =	20,00	kN/m	20,00	kN/m
α =	1,10		1,10	
L caricata =	0,00	m	0,00	m

  	ITINERARIO NAPOLI – BARI RADDOPPIO TRATTA CANCELLO – BENEVENTO I° LOTTO FUNZIONALE CANCELLO - FRASSO TELESINO E VARIANTE ALLA LINEA ROMA-NAPOLI VIA CASSINO NEL COMUNE DI MADDALONI – PROGETTO ESECUTIVO												
Pile P01-P02-P03-P04: Relazione di calcolo	<table border="1"> <thead> <tr> <th>COMMESSA</th> <th>LOTTO</th> <th>CODIFICA</th> <th>DOCUMENTO</th> <th>REV.</th> <th>FOGLIO</th> </tr> </thead> <tbody> <tr> <td>IF1N</td> <td>01 E ZZ</td> <td>CL</td> <td>VI0205 001</td> <td>B</td> <td>55 di 140</td> </tr> </tbody> </table>	COMMESSA	LOTTO	CODIFICA	DOCUMENTO	REV.	FOGLIO	IF1N	01 E ZZ	CL	VI0205 001	B	55 di 140
COMMESSA	LOTTO	CODIFICA	DOCUMENTO	REV.	FOGLIO								
IF1N	01 E ZZ	CL	VI0205 001	B	55 di 140								

F fren (max 6000 kN) = 0,00 kN 0,00 kN

F1 = 0,00 kN 0,00 kN

Frenatura SW/2

f fren = 35,00 kN/m 35,00 kN/m

α = 1,00 1,00

L caricata = 12,50 m 18,00 m

F fren = 437,50 kN 630,00 kN

F1 = 437,50 kN 630,00 kN

ahp interazione semplificata

ahp frenatura per LM71 = 1,60 1,60

ahp frenatura per SW/2 = 1,30 1,30

ahp avviam. per LM71 SW/2 = 1,12 1,12

Forza totale di avviamento e frenatura

F1 = 568,75 kN 819,00 kN

h rispetto a intradosso imp. = 3,28 m 3,28 m

tipologia vincolo = UL F

Risultanti reazioni vincolari

F1 = 0 kN -819 kN

F2 = 0 0

F3 = 82 kN -118 kN

M1 = 0 0

M2 = 0 0

M3 = 0 0

  	ITINERARIO NAPOLI – BARI RADDOPPIO TRATTA CANCELLO – BENEVENTO I° LOTTO FUNZIONALE CANCELLO - FRASSO TELESINO E VARIANTE ALLA LINEA ROMA-NAPOLI VIA CASSINO NEL COMUNE DI MADDALONI – PROGETTO ESECUTIVO						
	Pile P01-P02-P03-P04: Relazione di calcolo		COMMESSA IF1N	LOTTO 01 E ZZ	CODIFICA CL	DOCUMENTO VI0205 001	REV. B

6.3.2.4 DISPOSIZIONE DI CARICO 4 (Q24)

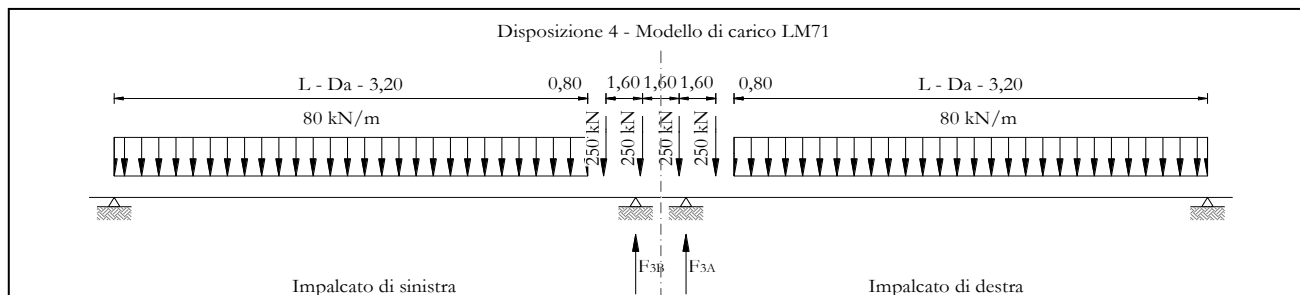


Figura 27 – Disposizione di carico 4

	IMPALCATO-SX		IMPALCATO-DX	
	Reazioni vincolari B		Reazioni vincolari A	
Avviamento LM71				
f avv =	33,00	kN/m	33,00	kN/m
α =	1,10		1,10	
L caricata =	25,00	m	25,00	m
F avv (max 1000 kN) =	825,00	kN	825,00	kN
F1 =	907,50	kN	907,50	kN
Avviamento SW/2				
f avv =	33,00	kN/m	33,00	kN/m
α =	1,00		1,00	
L caricata =	0,00	m	0,00	m
F avv (max 1000 kN) =	0,00	kN	0,00	kN
F1 =	0,00	kN	0,00	kN
Frenatura LM71				
f fren =	20,00	kN/m	20,00	kN/m
α =	1,10		1,10	
L caricata =	25,00	m	25,00	m

  	ITINERARIO NAPOLI – BARI RADDOPPIO TRATTA CANCELLO – BENEVENTO I° LOTTO FUNZIONALE CANCELLO - FRASSO TELESINO E VARIANTE ALLA LINEA ROMA-NAPOLI VIA CASSINO NEL COMUNE DI MADDALONI – PROGETTO ESECUTIVO												
Pile P01-P02-P03-P04: Relazione di calcolo	<table border="1"> <thead> <tr> <th>COMMESSA</th> <th>LOTTO</th> <th>CODIFICA</th> <th>DOCUMENTO</th> <th>REV.</th> <th>FOGLIO</th> </tr> </thead> <tbody> <tr> <td>IF1N</td> <td>01 E ZZ</td> <td>CL</td> <td>VI0205 001</td> <td>B</td> <td>57 di 140</td> </tr> </tbody> </table>	COMMESSA	LOTTO	CODIFICA	DOCUMENTO	REV.	FOGLIO	IF1N	01 E ZZ	CL	VI0205 001	B	57 di 140
COMMESSA	LOTTO	CODIFICA	DOCUMENTO	REV.	FOGLIO								
IF1N	01 E ZZ	CL	VI0205 001	B	57 di 140								

F fren (max 6000 kN) = 500,00 kN 500,00 kN

F1 = 550,00 kN 550,00 kN

Frenatura SW/2

f fren = 35,00 kN/m 35,00 kN/m

α = 1,00 1,00

L caricata = 0,00 m 0,00 m

F fren = 0,00 kN 0,00 kN

F1 = 0,00 kN 0,00 kN

ahp interazione semplificata

ahp frenatura per LM71 = 1,60 1,60

ahp frenatura per SW/2 = 1,30 1,30

ahp avviam. per LM71 SW/2 = 1,12 1,12

Forza totale di avviamento e frenatura

F1 = 1016,40 kN 1016,40 kN

h rispetto a intradosso imp. = 3,28 m 3,28 m

tipologia vincolo = UL F

Risultanti reazioni vincolari

F1 = 0 kN -1016 kN

F2 = 0 0

F3 = 146 kN -146 kN

M1 = 0 0

M2 = 0 0

M3 = 0 0

  	ITINERARIO NAPOLI – BARI RADDOPPIO TRATTA CANCELLO – BENEVENTO I° LOTTO FUNZIONALE CANCELLO - FRASSO TELESINO E VARIANTE ALLA LINEA ROMA-NAPOLI VIA CASSINO NEL COMUNE DI MADDALONI – PROGETTO ESECUTIVO					
	Pile P01-P02-P03-P04: Relazione di calcolo	COMMESSA IF1N	LOTTO 01 E ZZ	CODIFICA CL	DOCUMENTO VI0205 001	REV. B

6.3.2.5 DISPOSIZIONE DI CARICO 5 (Q25)

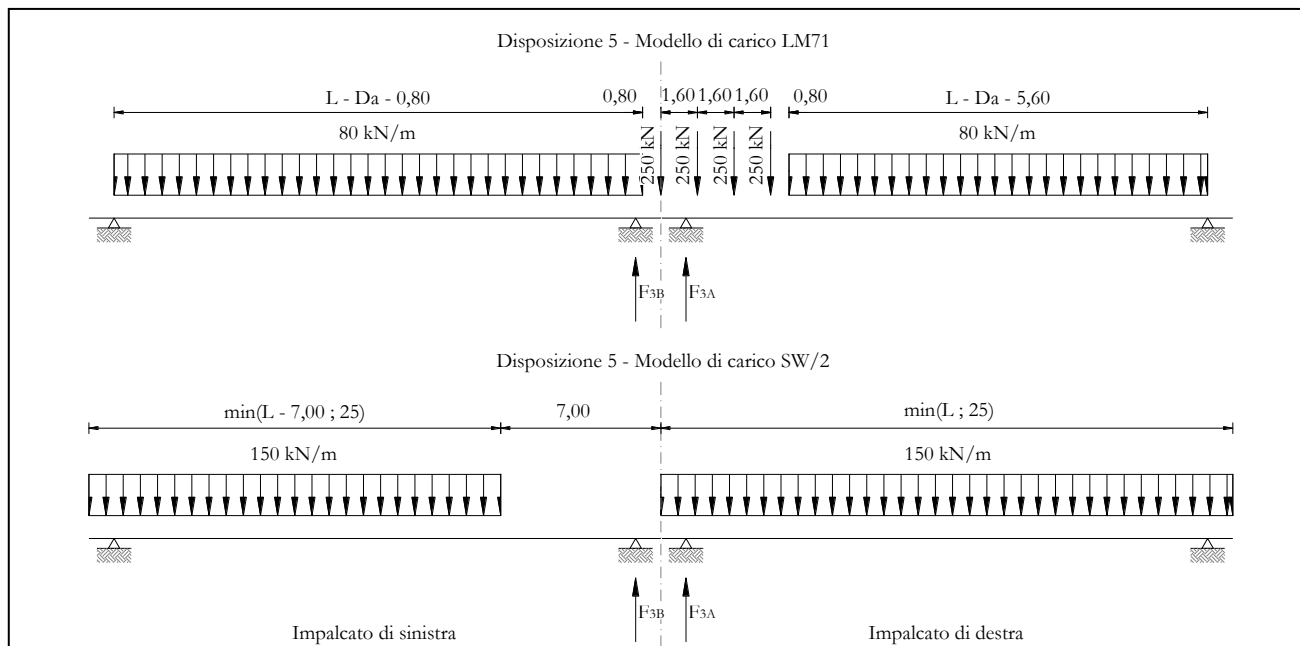


Figura 28 – Disposizione di carico 5

	IMPALCATO-SX		IMPALCATO-DX	
	Reazioni vincolari B		Reazioni vincolari A	
Avviamento LM71				
f avv =	33,00	kN/m	33,00	kN/m
α =	1,10		1,10	
L caricata =	25,00	m	25,00	m
F avv (max 1000 kN) =	825,00	kN	825,00	kN
F1 =	907,50	kN	907,50	kN
Avviamento SW/2				
f avv =	33,00	kN/m	33,00	kN/m
α =	1,00		1,00	
L caricata =	18,00	m	25,00	m
F avv (max 1000 kN) =	594,00	kN	825,00	kN
F1 =	594,00	kN	825,00	kN

  	ITINERARIO NAPOLI – BARI RADDOPPIO TRATTA CANCELLO – BENEVENTO I° LOTTO FUNZIONALE CANCELLO - FRASSO TELESINO E VARIANTE ALLA LINEA ROMA-NAPOLI VIA CASSINO NEL COMUNE DI MADDALONI – PROGETTO ESECUTIVO												
Pile P01-P02-P03-P04: Relazione di calcolo	<table border="1"> <thead> <tr> <th>COMMESSA</th> <th>LOTTO</th> <th>CODIFICA</th> <th>DOCUMENTO</th> <th>REV.</th> <th>FOGLIO</th> </tr> </thead> <tbody> <tr> <td>IF1N</td> <td>01 E ZZ</td> <td>CL</td> <td>VI0205 001</td> <td>B</td> <td>59 di 140</td> </tr> </tbody> </table>	COMMESSA	LOTTO	CODIFICA	DOCUMENTO	REV.	FOGLIO	IF1N	01 E ZZ	CL	VI0205 001	B	59 di 140
COMMESSA	LOTTO	CODIFICA	DOCUMENTO	REV.	FOGLIO								
IF1N	01 E ZZ	CL	VI0205 001	B	59 di 140								

Frenatura LM71

f fren =	20,00	kN/m	20,00	kN/m
α =	1,10		1,10	
L caricata =	25,00	m	25,00	m
F fren (max 6000 kN) =	500,00	kN	500,00	kN
F1 =	550,00	kN	550,00	kN

Frenatura SW/2

f fren =	35,00	kN/m	35,00	kN/m
α =	1,00		1,00	
L caricata =	18,00	m	25,00	m
F fren =	630,00	kN	875,00	kN
F1 =	630,00	kN	875,00	kN

ahp interazione semplificata

ahp frenatura per LM71 =	1,60		1,60	
ahp frenatura per SW/2 =	1,30		1,30	
ahp avviam. per LM71 SW/2 =	1,12		1,12	

Forza totale di avviamento e frenatura

F1 =	1835,40	kN	2153,90	kN
h rispetto a intradosso imp. =	3,28	m	3,28	m
tipologia vincolo =	UL		F	

Risultanti reazioni vincolari

F1 =	0	kN	-2154	kN
F2 =	0		0	
F3 =	264	kN	-310	kN
M1 =	0		0	
M2 =	0		0	
M3 =	0		0	

  	ITINERARIO NAPOLI – BARI RADDOPPIO TRATTA CANCELLO – BENEVENTO I° LOTTO FUNZIONALE CANCELLO - FRASSO TELESINO E VARIANTE ALLA LINEA ROMA-NAPOLI VIA CASSINO NEL COMUNE DI MADDALONI – PROGETTO ESECUTIVO					
	Pile P01-P02-P03-P04: Relazione di calcolo	COMMESSA IF1N	LOTTO 01 E ZZ	CODIFICA CL	DOCUMENTO VI0205 001	REV. B

6.3.2.6 DISPOSIZIONE DI CARICO 6 (Q26)

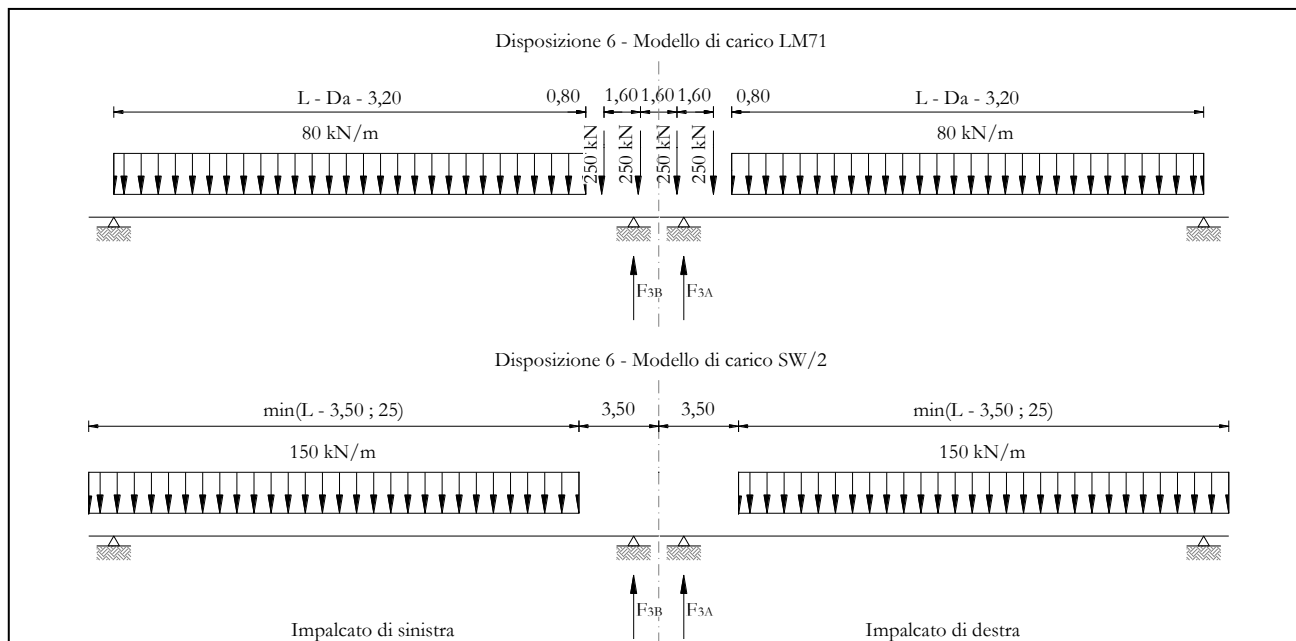


Figura 29 – Disposizione di carico 6

	IMPALCATO-SX		IMPALCATO-DX	
	Reazioni vincolari B		Reazioni vincolari A	
Avviamento LM71				
f avv =	33,00	kN/m	33,00	kN/m
α =	1,10		1,10	
L caricata =	25,00	m	25,00	m
F avv (max 1000 kN) =	825,00	kN	825,00	kN
F1 =	907,50	kN	907,50	kN
Avviamento SW/2				
f avv =	33,00	kN/m	33,00	kN/m
α =	1,00		1,00	
L caricata =	21,50	m	21,50	m
F avv (max 1000 kN) =	709,50	kN	709,50	kN
F1 =	709,50	kN	709,50	kN

  	ITINERARIO NAPOLI – BARI RADDOPPIO TRATTA CANCELLO – BENEVENTO I° LOTTO FUNZIONALE CANCELLO - FRASSO TELESINO E VARIANTE ALLA LINEA ROMA-NAPOLI VIA CASSINO NEL COMUNE DI MADDALONI – PROGETTO ESECUTIVO												
Pile P01-P02-P03-P04: Relazione di calcolo	<table border="1"> <thead> <tr> <th>COMMESSA</th> <th>LOTTO</th> <th>CODIFICA</th> <th>DOCUMENTO</th> <th>REV.</th> <th>FOGLIO</th> </tr> </thead> <tbody> <tr> <td>IF1N</td> <td>01 E ZZ</td> <td>CL</td> <td>VI0205 001</td> <td>B</td> <td>61 di 140</td> </tr> </tbody> </table>	COMMESSA	LOTTO	CODIFICA	DOCUMENTO	REV.	FOGLIO	IF1N	01 E ZZ	CL	VI0205 001	B	61 di 140
COMMESSA	LOTTO	CODIFICA	DOCUMENTO	REV.	FOGLIO								
IF1N	01 E ZZ	CL	VI0205 001	B	61 di 140								

Frenatura LM71

f fren =	20,00	kN/m	20,00	kN/m
α =	1,10		1,10	
L caricata =	25,00	m	25,00	m
F fren (max 6000 kN) =	500,00	kN	500,00	kN
F1 =	550,00	kN	550,00	kN

Frenatura SW/2

f fren =	35,00	kN/m	35,00	kN/m
α =	1,00		1,00	
L caricata =	21,50	m	21,50	m
F fren =	752,50	kN	752,50	kN
F1 =	752,50	kN	752,50	kN

ahp interazione semplificata

ahp frenatura per LM71 =	1,60		1,60	
ahp frenatura per SW/2 =	1,30		1,30	
ahp avviam. per LM71 SW/2 =	1,12		1,12	

Forza totale di avviamento e frenatura

F1 =	1994,65	kN	1994,65	kN
h rispetto a intradosso imp. =	3,28	m	3,28	m
tipologia vincolo =	UL		F	

Risultanti reazioni vincolari

F1 =	0	kN	-1995	kN
F2 =	0		0	
F3 =	287	kN	-287	kN
M1 =	0		0	
M2 =	0		0	
M3 =	0		0	

  	ITINERARIO NAPOLI – BARI RADDOPPIO TRATTA CANCELLO – BENEVENTO I° LOTTO FUNZIONALE CANCELLO - FRASSO TELESINO E VARIANTE ALLA LINEA ROMA-NAPOLI VIA CASSINO NEL COMUNE DI MADDALONI – PROGETTO ESECUTIVO					
	Pile P01-P02-P03-P04: Relazione di calcolo	COMMESSA IF1N	LOTTO 01 E ZZ	CODIFICA CL	DOCUMENTO VI0205 001	REV. B

6.3.2.7 DISPOSIZIONE DI CARICO 7 (Q27)

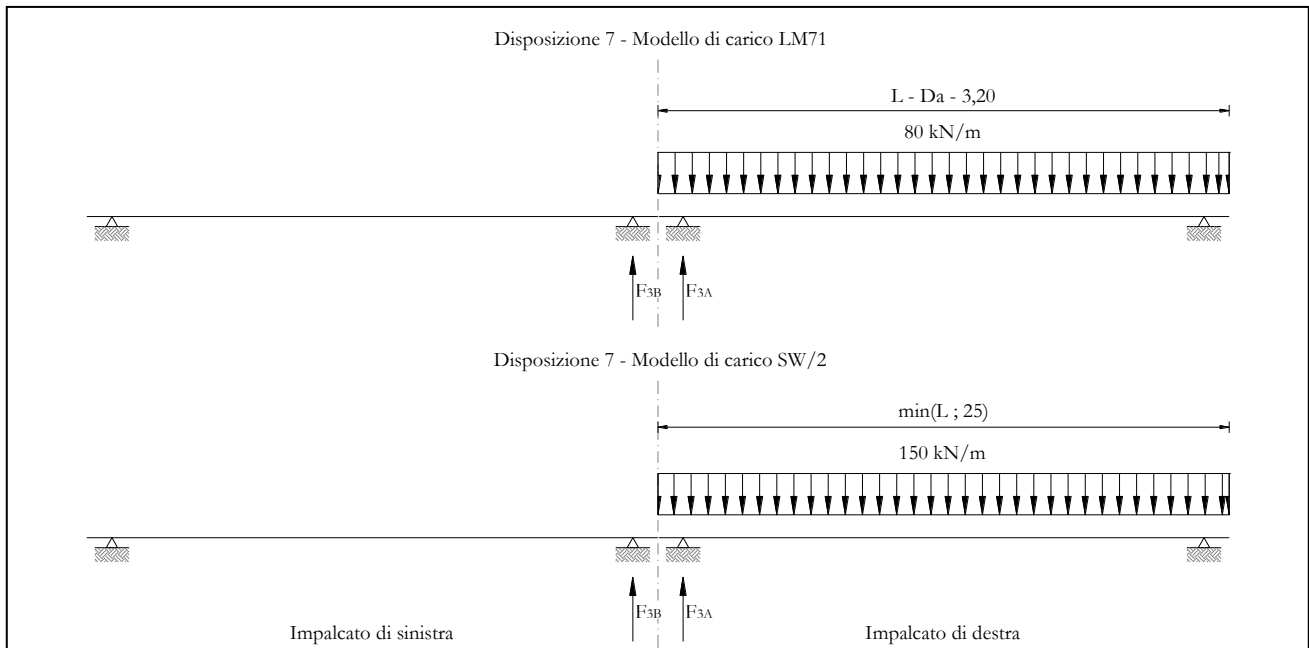


Figura 30 – Disposizione di carico 7

	IMPALCATO-SX		IMPALCATO-DX	
	Reazioni vincolari B		Reazioni vincolari A	
Avviamento LM71				
f avv =	33,00	kN/m	33,00	kN/m
α =	1,10		1,10	
L caricata =	0,00	m	25,00	m
F avv (max 1000 kN) =	0,00	kN	825,00	kN
F1 =	0,00	kN	907,50	kN
Avviamento SW/2				
f avv =	33,00	kN/m	33,00	kN/m
α =	1,00		1,00	
L caricata =	0,00	m	25,00	m
F avv (max 1000 kN) =	0,00	kN	825,00	kN
F1 =	0,00	kN	825,00	kN

  	ITINERARIO NAPOLI – BARI RADDOPPIO TRATTA CANCELLO – BENEVENTO I° LOTTO FUNZIONALE CANCELLO - FRASSO TELESINO E VARIANTE ALLA LINEA ROMA-NAPOLI VIA CASSINO NEL COMUNE DI MADDALONI – PROGETTO ESECUTIVO												
Pile P01-P02-P03-P04: Relazione di calcolo	<table border="1"> <thead> <tr> <th>COMMESSA</th> <th>LOTTO</th> <th>CODIFICA</th> <th>DOCUMENTO</th> <th>REV.</th> <th>FOGLIO</th> </tr> </thead> <tbody> <tr> <td>IF1N</td> <td>01 E ZZ</td> <td>CL</td> <td>VI0205 001</td> <td>B</td> <td>63 di 140</td> </tr> </tbody> </table>	COMMESSA	LOTTO	CODIFICA	DOCUMENTO	REV.	FOGLIO	IF1N	01 E ZZ	CL	VI0205 001	B	63 di 140
COMMESSA	LOTTO	CODIFICA	DOCUMENTO	REV.	FOGLIO								
IF1N	01 E ZZ	CL	VI0205 001	B	63 di 140								

Frenatura LM71

f fren =	20,00	kN/m	20,00	kN/m
α =	1,10		1,10	
L caricata =	25,00	m	25,00	m
F fren (max 6000 kN) =	500,00	kN	500,00	kN
F1 =	550,00	kN	550,00	kN

Frenatura SW/2

f fren =	35,00	kN/m	35,00	kN/m
α =	1,00		1,00	
L caricata =	0,00	m	25,00	m
F fren =	0,00	kN	875,00	kN
F1 =	0,00	kN	875,00	kN

ahp interazione semplificata

ahp frenatura per LM71 =	1,60		1,60	
ahp frenatura per SW/2 =	1,30		1,30	
ahp avviam. per LM71 SW/2 =	1,12		1,12	

Forza totale di avviamento e frenatura

F1 =	880,00	kN	2153,90	kN
h rispetto a intradosso imp. =	3,28	m	3,28	m
tipologia vincolo =	UL		F	

Risultanti reazioni vincolari

F1 =	0	kN	-2154	kN
F2 =	0		0	
F3 =	127	kN	-310	kN
M1 =	0		0	
M2 =	0		0	
M3 =	0		0	

  	ITINERARIO NAPOLI – BARI RADDOPPIO TRATTA CANCELLO – BENEVENTO I° LOTTO FUNZIONALE CANCELLO - FRASSO TELESINO E VARIANTE ALLA LINEA ROMA-NAPOLI VIA CASSINO NEL COMUNE DI MADDALONI – PROGETTO ESECUTIVO												
Pile P01-P02-P03-P04: Relazione di calcolo	<table border="1"> <thead> <tr> <th>COMMESSA</th> <th>LOTTO</th> <th>CODIFICA</th> <th>DOCUMENTO</th> <th>REV.</th> <th>FOGLIO</th> </tr> </thead> <tbody> <tr> <td>IF1N</td> <td>01 E ZZ</td> <td>CL</td> <td>VI0205 001</td> <td>B</td> <td>64 di 140</td> </tr> </tbody> </table>	COMMESSA	LOTTO	CODIFICA	DOCUMENTO	REV.	FOGLIO	IF1N	01 E ZZ	CL	VI0205 001	B	64 di 140
COMMESSA	LOTTO	CODIFICA	DOCUMENTO	REV.	FOGLIO								
IF1N	01 E ZZ	CL	VI0205 001	B	64 di 140								

6.3.3 FORZA CENTRIFUGA (Q3)

L'azione centrifuga è schematizzata come una forza agente in direzione orizzontale perpendicolarmente al binario e verso l'esterno della curva, applicata ad 1,80 m al di sopra del p.f.. Il valore caratteristico della forza centrifuga si determina in accordo con la seguente espressione:

$$Q_{tk} = V^2 \cdot f \cdot (\alpha \cdot Q_{vk}) / (127 \cdot R)$$

dove

V	velocità di progetto espressa in km/h
Q_{vk}	valore caratteristico dei carichi verticali
R	raggio di curvatura in m
f	fattore di riduzione (rif. §1.4.3.1 [3])

Per il modello di carico LM71 e per velocità di progetto superiori a 120 km/h, si considerano i seguenti 2 casi:

- modello di carico LM71 e forza centrifuga per $V = 120$ km/h e $f = 1$;
- modello di carico LM71 e forza centrifuga calcolata per la massima velocità di progetto.

Per i modelli di carico SW si assume una velocità massima di 100 km/h.

La forza centrifuga non deve essere incrementata dei coefficienti dinamici.

Nei sottoparagrafi che seguono si riportano i risultati delle reazioni vincolari per le diverse disposizioni di carico considerate e descritte precedentemente nel §6.3.

  	ITINERARIO NAPOLI – BARI RADDOPPIO TRATTA CANCELLO – BENEVENTO I° LOTTO FUNZIONALE CANCELLO - FRASSO TELESINO E VARIANTE ALLA LINEA ROMA-NAPOLI VIA CASSINO NEL COMUNE DI MADDALONI – PROGETTO ESECUTIVO					
	Pile P01-P02-P03-P04: Relazione di calcolo	COMMESSA IF1N	LOTTO 01 E ZZ	CODIFICA CL	DOCUMENTO VI0205 001	REV. B

6.3.3.1 DISPOSIZIONE DI CARICO 1 (Q31)

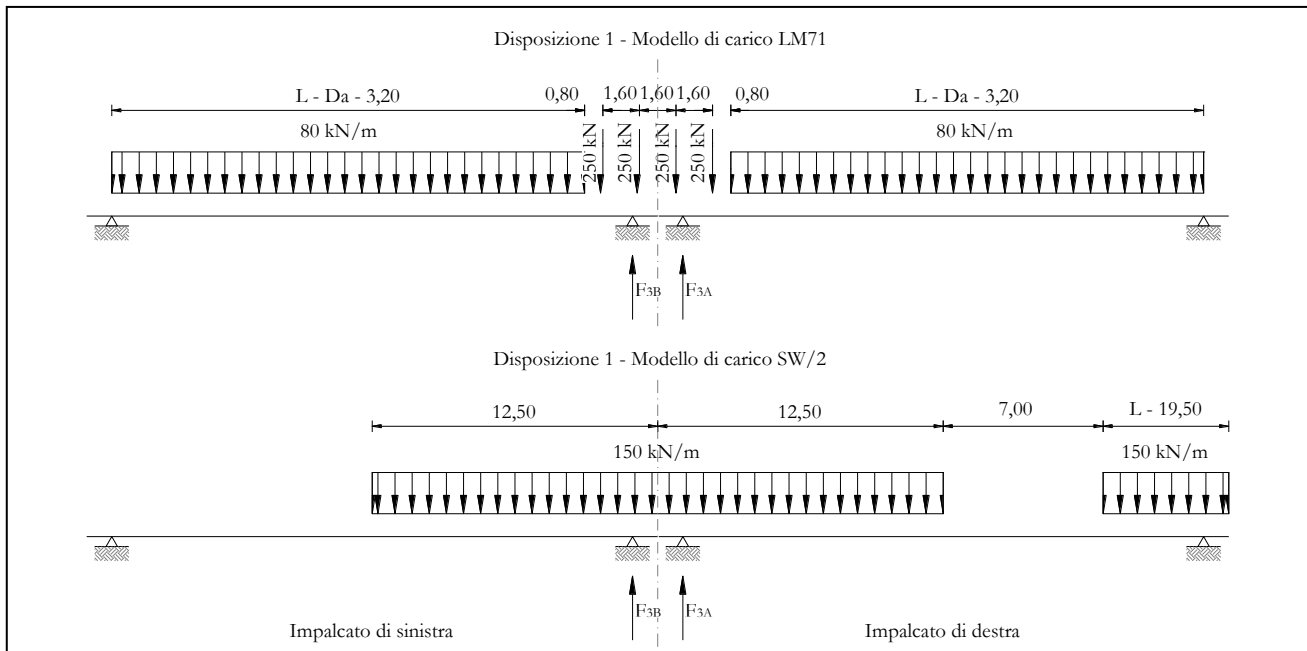


Figura 31 – Disposizione di carico 1

IMPALCATO-SX

Reazioni vincolari B

IMPALCATO-DX

Reazioni vincolari A

Centrifuga LM71

$v = v_{max}$

Raggio minimo =	1500,00	m	1500,00	m
Velocità massima =	180,00	km/h	180,00	km/h
$L_f =$	25,00	m	25,00	m
$f =$	0,75		0,75	
$Q_v =$	1240,77	kN	1240,77	kN
$Q_h =$	158,57	kN	158,57	kN

$v = 120 \text{ km/h}$

Raggio minimo =	1500,00	m	1500,00	m
Velocità (120 km/h) =	120,00	km/h	120,00	km/h
$f(1) =$	1,00		1,00	
$Q_v =$	1364,85	kN	1364,85	kN

  	ITINERARIO NAPOLI – BARI RADDOPPIO TRATTA CANCELLO – BENEVENTO I° LOTTO FUNZIONALE CANCELLO - FRASSO TELESINO E VARIANTE ALLA LINEA ROMA-NAPOLI VIA CASSINO NEL COMUNE DI MADDALONI – PROGETTO ESECUTIVO												
Pile P01-P02-P03-P04: Relazione di calcolo	<table border="1"> <thead> <tr> <th>COMMESSA</th> <th>LOTTO</th> <th>CODIFICA</th> <th>DOCUMENTO</th> <th>REV.</th> <th>FOGLIO</th> </tr> </thead> <tbody> <tr> <td>IF1N</td> <td>01 E ZZ</td> <td>CL</td> <td>VI0205 001</td> <td>B</td> <td>66 di 140</td> </tr> </tbody> </table>	COMMESSA	LOTTO	CODIFICA	DOCUMENTO	REV.	FOGLIO	IF1N	01 E ZZ	CL	VI0205 001	B	66 di 140
COMMESSA	LOTTO	CODIFICA	DOCUMENTO	REV.	FOGLIO								
IF1N	01 E ZZ	CL	VI0205 001	B	66 di 140								

Qh = 103,17 kN 103,17 kN

Qh,max = 158,57 kN 158,57 kN

Centrifuga SW/2

v max = 100 km/h

Raggio minimo = 1500,00 m 1500,00 m

Velocità (100 km/h) = 100,00 km/h 100,00 km/h

f (1) = 1,00 1,00

Qv = 1451,48 kN 1511,18 kN

Qh,max = 76,19 kN 79,33 kN

Forza centrifuga sull appoggio

F2 = 234,76 kN 237,89 kN

h rispetto a intradosso imp. = 5,08 m 5,08 m

Risultanti reazioni vincolari

F1 = 0 0

F2 = -235 kN -238 kN

F3 = 0 0

M1 = 1193 kNm 1209 kNm

M2 = 0 0

M3 = 0 0

  	ITINERARIO NAPOLI – BARI RADDOPPIO TRATTA CANCELLO – BENEVENTO I° LOTTO FUNZIONALE CANCELLO - FRASSO TELESINO E VARIANTE ALLA LINEA ROMA-NAPOLI VIA CASSINO NEL COMUNE DI MADDALONI – PROGETTO ESECUTIVO					
	Pile P01-P02-P03-P04: Relazione di calcolo	COMMESSA IF1N	LOTTO 01 E ZZ	CODIFICA CL	DOCUMENTO VI0205 001	REV. B

6.3.3.2 DISPOSIZIONE DI CARICO 2 (Q32)

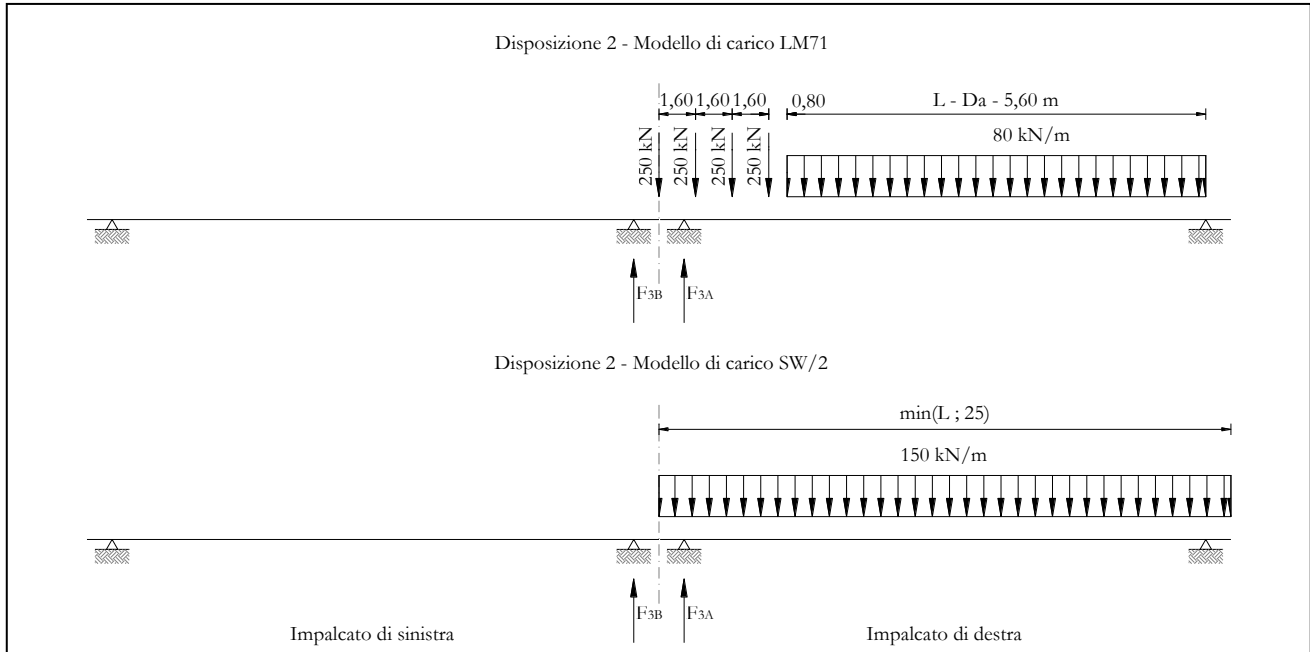


Figura 32 – Disposizione di carico 2

IMPALCATO-SX

Reazioni vincolari B

IMPALCATO-DX

Reazioni vincolari A

Centrifuga LM71

$v = v_{max}$

Raggio minimo =	1500,00	m	1500,00	m
Velocità massima =	180,00	km/h	180,00	km/h
$L_f =$	25,00	m	25,00	m
$f =$	0,75		0,75	
$Q_v =$	0,00	kN	1530,51	kN
$Q_h =$	0,00	kN	195,59	kN

$v = 120 \text{ km/h}$

Raggio minimo =	1500,00	m	1500,00	m
Velocità (120 km/h) =	120,00	km/h	120,00	km/h
$f(1) =$	1,00		1,00	
$Q_v =$	0,00	kN	1683,56	kN

  	ITINERARIO NAPOLI – BARI RADDOPPIO TRATTA CANCELLO – BENEVENTO I° LOTTO FUNZIONALE CANCELLO - FRASSO TELESINO E VARIANTE ALLA LINEA ROMA-NAPOLI VIA CASSINO NEL COMUNE DI MADDALONI – PROGETTO ESECUTIVO												
Pile P01-P02-P03-P04: Relazione di calcolo	<table border="1"> <thead> <tr> <th>COMMESSA</th> <th>LOTTO</th> <th>CODIFICA</th> <th>DOCUMENTO</th> <th>REV.</th> <th>FOGLIO</th> </tr> </thead> <tbody> <tr> <td>IF1N</td> <td>01 E ZZ</td> <td>CL</td> <td>VI0205 001</td> <td>B</td> <td>68 di 140</td> </tr> </tbody> </table>	COMMESSA	LOTTO	CODIFICA	DOCUMENTO	REV.	FOGLIO	IF1N	01 E ZZ	CL	VI0205 001	B	68 di 140
COMMESSA	LOTTO	CODIFICA	DOCUMENTO	REV.	FOGLIO								
IF1N	01 E ZZ	CL	VI0205 001	B	68 di 140								

Qh = 0,00 kN 127,26 kN

Qh,max = 0,00 kN 195,59 kN

Centrifuga SW/2

v max = 100 km/h

Raggio minimo = 1500,00 m 1500,00 m

Velocità (100 km/h) = 100,00 km/h 100,00 km/h

f = 1,00 1,00

Qv = 0,00 kN 1875,00 kN

Qh,max = 0,00 kN 98,43 kN

Forza centrifuga sull appoggio

F2 = 0,00 kN 294,02 kN

h rispetto a intradosso imp. = 5,08 m 5,08 m

Risultanti reazioni vincolari

F1 = 0 0

F2 = 0 kN -294 kN

F3 = 0 0

M1 = 0 kNm 1494 kNm

M2 = 0 0

M3 = 0 0

  	ITINERARIO NAPOLI – BARI RADDOPPIO TRATTA CANCELLO – BENEVENTO I° LOTTO FUNZIONALE CANCELLO - FRASSO TELESINO E VARIANTE ALLA LINEA ROMA-NAPOLI VIA CASSINO NEL COMUNE DI MADDALONI – PROGETTO ESECUTIVO					
	Pile P01-P02-P03-P04: Relazione di calcolo					
COMMESSA IF1N	LOTTO 01 E ZZ	CODIFICA CL	DOCUMENTO VI0205 001	REV. B	FOGLIO 69 di 140	

6.3.3.3 DISPOSIZIONE DI CARICO 3 (Q33)

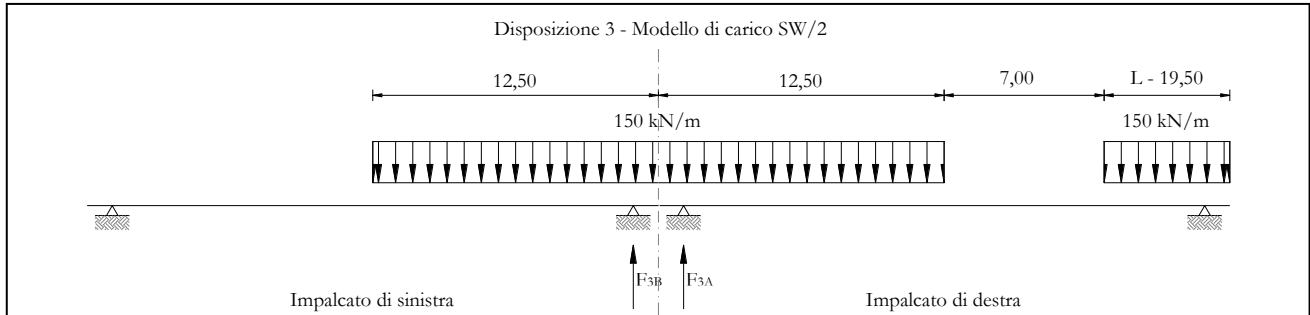


Figura 33 – Disposizione di carico 3

IMPALCATO-SX

Reazioni vincolari B

IMPALCATO-DX

Reazioni vincolari A

Centrifuga LM71

$v = v_{max}$

Raggio minimo =	1500,00	m	1500,00	m
Velocità massima =	180,00	km/h	180,00	km/h
Lf =	25,00	m	25,00	m
f =	0,75		0,75	
Qv =	0,00	kN	0,00	kN
Qh =	0,00	kN	0,00	kN

$v = 120 \text{ km/h}$

Raggio minimo =	1500,00	m	1500,00	m
Velocità (120 km/h) =	120,00	km/h	120,00	km/h
f (1) =	1,00		1,00	
Qv =	0,00	kN	0,00	kN
Qh =	0,00	kN	0,00	kN

Qh,max =	0,00	kN	0,00	kN
----------	------	----	------	----

Centrifuga SW/2

$v_{max} = 100 \text{ km/h}$

Raggio minimo =	1500,00	m	1500,00	m
-----------------	---------	---	---------	---

  	ITINERARIO NAPOLI – BARI RADDOPPIO TRATTA CANCELLO – BENEVENTO I° LOTTO FUNZIONALE CANCELLO - FRASSO TELESINO E VARIANTE ALLA LINEA ROMA-NAPOLI VIA CASSINO NEL COMUNE DI MADDALONI – PROGETTO ESECUTIVO												
Pile P01-P02-P03-P04: Relazione di calcolo	<table border="1"> <thead> <tr> <th>COMMESSA</th> <th>LOTTO</th> <th>CODIFICA</th> <th>DOCUMENTO</th> <th>REV.</th> <th>FOGLIO</th> </tr> </thead> <tbody> <tr> <td>IF1N</td> <td>01 E ZZ</td> <td>CL</td> <td>VI0205 001</td> <td>B</td> <td>70 di 140</td> </tr> </tbody> </table>	COMMESSA	LOTTO	CODIFICA	DOCUMENTO	REV.	FOGLIO	IF1N	01 E ZZ	CL	VI0205 001	B	70 di 140
COMMESSA	LOTTO	CODIFICA	DOCUMENTO	REV.	FOGLIO								
IF1N	01 E ZZ	CL	VI0205 001	B	70 di 140								

Velocità (100 km/h) = 100,00 km/h 100,00 km/h

f = 1,00 1,00

Qv = 1451,48 kN 1511,18 kN

Qh,max = 76,19 kN 79,33 kN

Forza centrifuga sull'appoggio

F2 = 76,19 kN 79,33 kN

h rispetto a intradosso imp. = 5,08 m 5,08 m

Risultanti reazioni vincolari

F1 = 0 0

F2 = -76 kN -79 kN

F3 = 0 0

M1 = 387 kNm 403 kNm

M2 = 0 0

M3 = 0 0

  	ITINERARIO NAPOLI – BARI RADDOPPIO TRATTA CANCELLO – BENEVENTO I° LOTTO FUNZIONALE CANCELLO - FRASSO TELESINO E VARIANTE ALLA LINEA ROMA-NAPOLI VIA CASSINO NEL COMUNE DI MADDALONI – PROGETTO ESECUTIVO					
	Pile P01-P02-P03-P04: Relazione di calcolo	COMMESSA IF1N	LOTTO 01 E ZZ	CODIFICA CL	DOCUMENTO VI0205 001	REV. B

6.3.3.4 DISPOSIZIONE DI CARICO 4 (Q34)

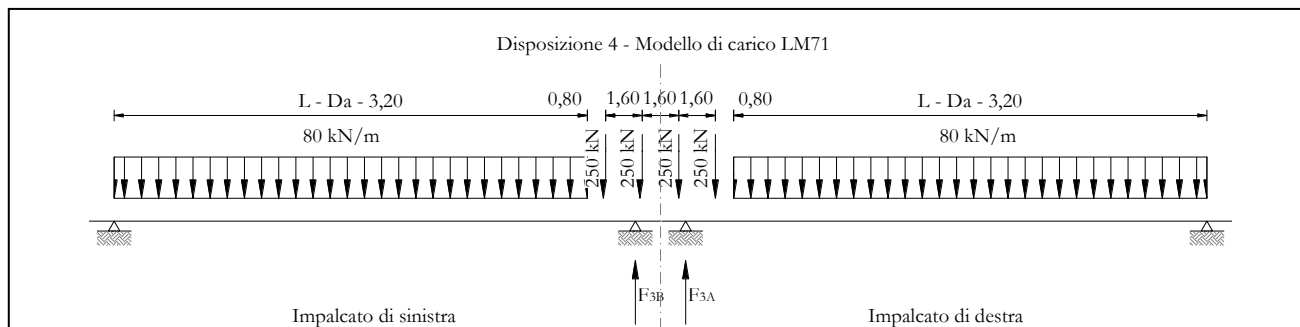


Figura 34 – Disposizione di carico 4

IMPALCATO-SX

Reazioni vincolari B

IMPALCATO-DX

Reazioni vincolari A

Centrifuga LM71

v = v_{max}

Raggio minimo =	1500,00	m	1500,00	m
Velocità massima =	180,00	km/h	180,00	km/h
L _f =	25,00	m	25,00	m
f =	0,75		0,75	
Q _v =	1240,77	kN	1240,77	kN
Q _h =	158,57	kN	158,57	kN

v = 120 km/h

Raggio minimo =	1500,00	m	1500,00	m
Velocità (120 km/h) =	120,00	km/h	120,00	km/h
f (1) =	1,00		1,00	
Q _v =	1364,85	kN	1364,85	kN
Q _h =	103,17	kN	103,17	kN

Q_{h,max} = 158,57 kN 158,57 kN

Centrifuga SW/2

v max = 100 km/h

  	ITINERARIO NAPOLI – BARI RADDOPPIO TRATTA CANCELLO – BENEVENTO I° LOTTO FUNZIONALE CANCELLO - FRASSO TELESINO E VARIANTE ALLA LINEA ROMA-NAPOLI VIA CASSINO NEL COMUNE DI MADDALONI – PROGETTO ESECUTIVO												
Pile P01-P02-P03-P04: Relazione di calcolo	<table border="1"> <thead> <tr> <th>COMMESSA</th> <th>LOTTO</th> <th>CODIFICA</th> <th>DOCUMENTO</th> <th>REV.</th> <th>FOGLIO</th> </tr> </thead> <tbody> <tr> <td>IF1N</td> <td>01 E ZZ</td> <td>CL</td> <td>VI0205 001</td> <td>B</td> <td>72 di 140</td> </tr> </tbody> </table>	COMMESSA	LOTTO	CODIFICA	DOCUMENTO	REV.	FOGLIO	IF1N	01 E ZZ	CL	VI0205 001	B	72 di 140
COMMESSA	LOTTO	CODIFICA	DOCUMENTO	REV.	FOGLIO								
IF1N	01 E ZZ	CL	VI0205 001	B	72 di 140								

Raggio minimo =	1500,00	m	1500,00	m
Velocità (100 km/h) =	100,00	km/h	100,00	km/h
f =	1,00		1,00	
Qv =	0,00	kN	0,00	kN
Qh,max =	0,00	kN	0,00	kN

Forza centrifuga sull appoggio

F2 =	158,57	kN	158,57	kN
h rispetto a intradosso imp. =	5,08	m	5,08	m

Risultanti reazioni vincolari

F1 =	0		0	
F2 =	-159	kN	-159	kN
F3 =	0		0	
M1 =	806	kNm	806	kNm
M2 =	0		0	
M3 =	0		0	

  	ITINERARIO NAPOLI – BARI RADDOPPIO TRATTA CANCELLO – BENEVENTO I° LOTTO FUNZIONALE CANCELLO - FRASSO TELESINO E VARIANTE ALLA LINEA ROMA-NAPOLI VIA CASSINO NEL COMUNE DI MADDALONI – PROGETTO ESECUTIVO					
	Pile P01-P02-P03-P04: Relazione di calcolo					
COMMESSA IF1N	LOTTO 01 E ZZ	CODIFICA CL	DOCUMENTO VI0205 001	REV. B	FOGLIO 73 di 140	

6.3.3.5 DISPOSIZIONE DI CARICO 5 (Q35)

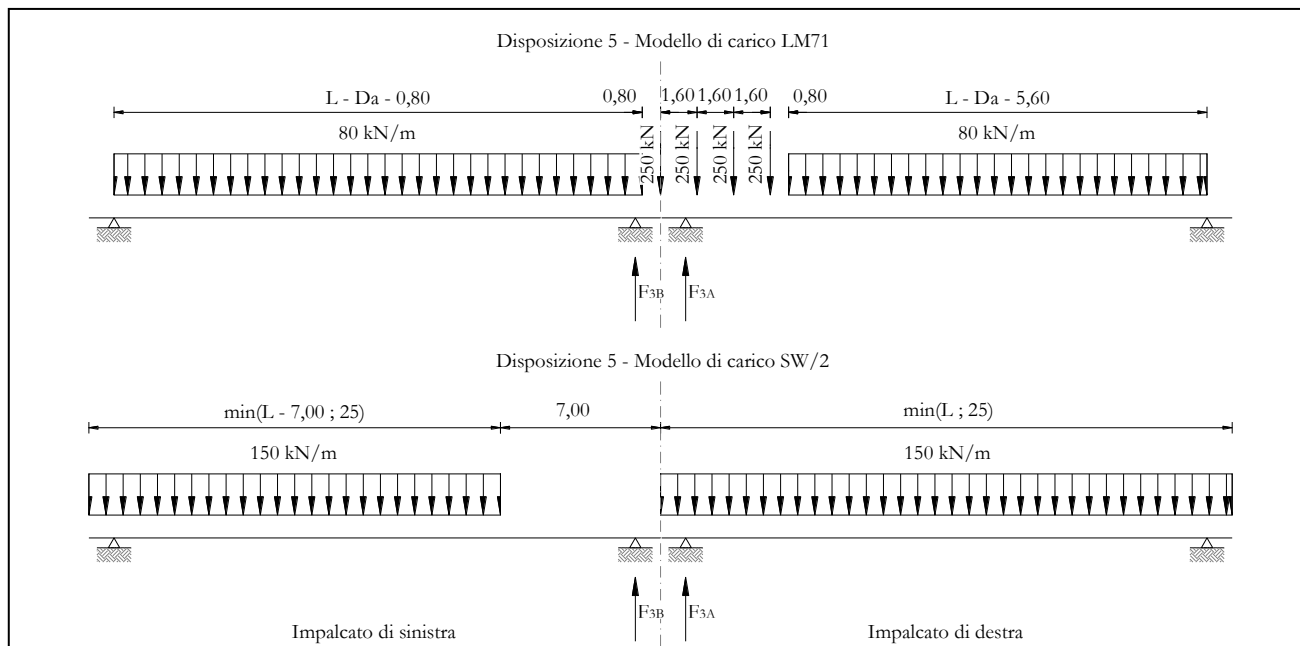


Figura 35 – Disposizione di carico 5

IMPALCATO-SX

Reazioni vincolari B

IMPALCATO-DX

Reazioni vincolari A

Centrifuga LM71

$v = v_{max}$

Raggio minimo =	1500,00	m	1500,00	m
Velocità massima =	180,00	km/h	180,00	km/h
$L_f =$	25,00	m	25,00	m
$f =$	0,75		0,75	
$Q_v =$	936,16	kN	1530,51	kN
$Q_h =$	119,64	kN	195,59	kN

$v = 120 \text{ km/h}$

Raggio minimo =	1500,00	m	1500,00	m
Velocità (120 km/h) =	120,00	km/h	120,00	km/h
$f(1) =$	1,00		1,00	
$Q_v =$	1029,77	kN	1683,56	kN

  	ITINERARIO NAPOLI – BARI RADDOPPIO TRATTA CANCELLO – BENEVENTO I° LOTTO FUNZIONALE CANCELLO - FRASSO TELESINO E VARIANTE ALLA LINEA ROMA-NAPOLI VIA CASSINO NEL COMUNE DI MADDALONI – PROGETTO ESECUTIVO												
Pile P01-P02-P03-P04: Relazione di calcolo	<table border="1"> <thead> <tr> <th>COMMESSA</th> <th>LOTTO</th> <th>CODIFICA</th> <th>DOCUMENTO</th> <th>REV.</th> <th>FOGLIO</th> </tr> </thead> <tbody> <tr> <td>IF1N</td> <td>01 E ZZ</td> <td>CL</td> <td>VI0205 001</td> <td>B</td> <td>74 di 140</td> </tr> </tbody> </table>	COMMESSA	LOTTO	CODIFICA	DOCUMENTO	REV.	FOGLIO	IF1N	01 E ZZ	CL	VI0205 001	B	74 di 140
COMMESSA	LOTTO	CODIFICA	DOCUMENTO	REV.	FOGLIO								
IF1N	01 E ZZ	CL	VI0205 001	B	74 di 140								

Qh = 77,84 kN 127,26 kN

Qh,max = 119,64 kN 195,59 kN

Centrifuga SW/2

v max = 100 km/h

Raggio minimo = 1500,00 m 1500,00 m

Velocità (100 km/h) = 100,00 km/h 100,00 km/h

f = 1,00 1,00

Qv = 935,53 kN 1875,00 kN

Qh,max = 49,11 kN 98,43 kN

Forza centrifuga sull appoggio

F2 = 168,75 kN 294,02 kN

h rispetto a intradosso imp. = 5,08 m 5,08 m

Risultanti reazioni vincolari

F1 = 0 0

F2 = -169 kN -294 kN

F3 = 0 0

M1 = 857 kNm 1494 kNm

M2 = 0 0

M3 = 0 0

  	ITINERARIO NAPOLI – BARI RADDOPPIO TRATTA CANCELLO – BENEVENTO I° LOTTO FUNZIONALE CANCELLO - FRASSO TELESINO E VARIANTE ALLA LINEA ROMA-NAPOLI VIA CASSINO NEL COMUNE DI MADDALONI – PROGETTO ESECUTIVO					
	Pile P01-P02-P03-P04: Relazione di calcolo					
COMMESSA IF1N	LOTTO 01 E ZZ	CODIFICA CL	DOCUMENTO VI0205 001	REV. B	FOGLIO 75 di 140	

6.3.3.6 DISPOSIZIONE DI CARICO 6 (Q36)

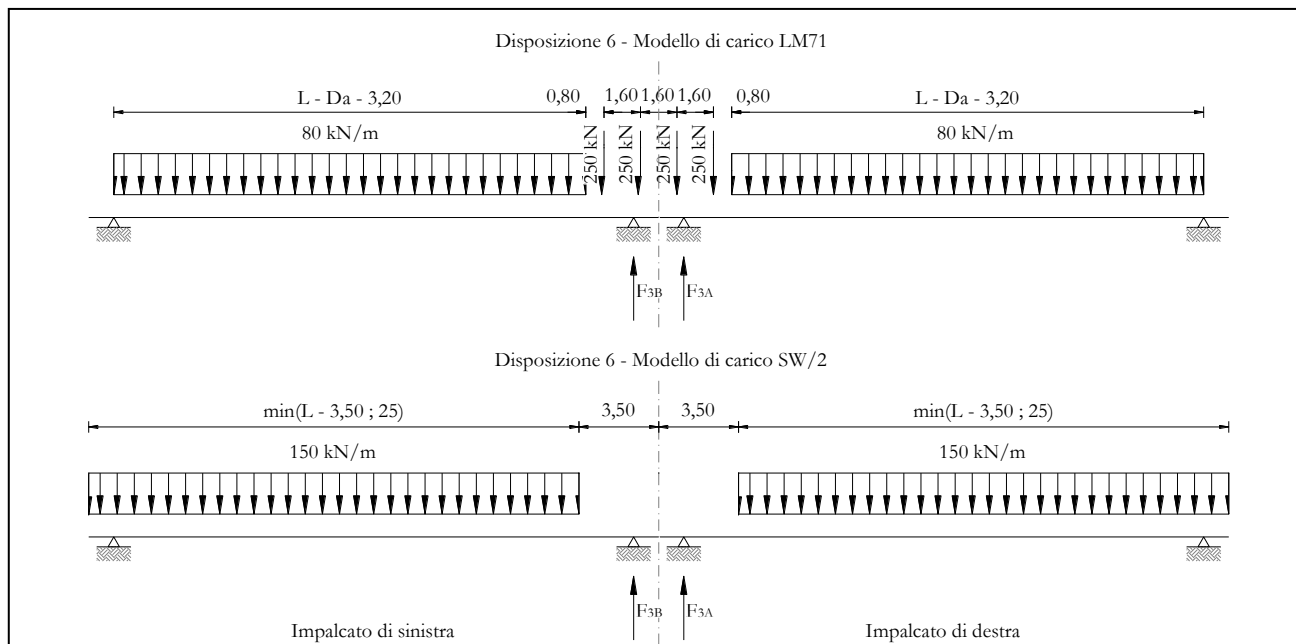


Figura 36 – Disposizione di carico 6

IMPALCATO-SX

Reazioni vincolari B

IMPALCATO-DX

Reazioni vincolari A

Centrifuga LM71

$v = v_{max}$

Raggio minimo =	1500,00	m	1500,00	m
Velocità massima =	180,00	km/h	180,00	km/h
$L_f =$	25,00	m	25,00	m
$f =$	0,75		0,75	
$Q_v =$	1240,77	kN	1240,77	kN
$Q_h =$	158,57	kN	158,57	kN

$v = 120 \text{ km/h}$

Raggio minimo =	1500,00	m	1500,00	m
Velocità (120 km/h) =	120,00	km/h	120,00	km/h
$f(1) =$	1,00		1,00	
$Q_v =$	1364,85	kN	1364,85	kN

  	ITINERARIO NAPOLI – BARI RADDOPPIO TRATTA CANCELLO – BENEVENTO I° LOTTO FUNZIONALE CANCELLO - FRASSO TELESINO E VARIANTE ALLA LINEA ROMA-NAPOLI VIA CASSINO NEL COMUNE DI MADDALONI – PROGETTO ESECUTIVO												
Pile P01-P02-P03-P04: Relazione di calcolo	<table border="1"> <thead> <tr> <th>COMMESSA</th> <th>LOTTO</th> <th>CODIFICA</th> <th>DOCUMENTO</th> <th>REV.</th> <th>FOGLIO</th> </tr> </thead> <tbody> <tr> <td>IF1N</td> <td>01 E ZZ</td> <td>CL</td> <td>VI0205 001</td> <td>B</td> <td>76 di 140</td> </tr> </tbody> </table>	COMMESSA	LOTTO	CODIFICA	DOCUMENTO	REV.	FOGLIO	IF1N	01 E ZZ	CL	VI0205 001	B	76 di 140
COMMESSA	LOTTO	CODIFICA	DOCUMENTO	REV.	FOGLIO								
IF1N	01 E ZZ	CL	VI0205 001	B	76 di 140								

Qh = 103,17 kN 103,17 kN

Qh,max = 158,57 kN 158,57 kN

Centrifuga SW/2

v max = 100 km/h

Raggio minimo = 1500,00 m 1500,00 m

Velocità (100 km/h) = 100,00 km/h 100,00 km/h

f = 1,00 1,00

Qv = 1364,97 kN 1364,97 kN

Qh,max = 71,65 kN 71,65 kN

Forza centrifuga sull appoggio

F2 = 230,22 kN 230,22 kN

h rispetto a intradosso imp. = 5,08 m 5,08 m

Risultanti reazioni vincolari

F1 = 0 0

F2 = -230 kN -230 kN

F3 = 0 0

M1 = 1170 kNm 1170 kNm

M2 = 0 0

M3 = 0 0

  	ITINERARIO NAPOLI – BARI RADDOPPIO TRATTA CANCELLO – BENEVENTO I° LOTTO FUNZIONALE CANCELLO - FRASSO TELESINO E VARIANTE ALLA LINEA ROMA-NAPOLI VIA CASSINO NEL COMUNE DI MADDALONI – PROGETTO ESECUTIVO					
	Pile P01-P02-P03-P04: Relazione di calcolo	COMMESSA IF1N	LOTTO 01 E ZZ	CODIFICA CL	DOCUMENTO VI0205 001	REV. B

6.3.3.7 DISPOSIZIONE DI CARICO 7 (Q37)

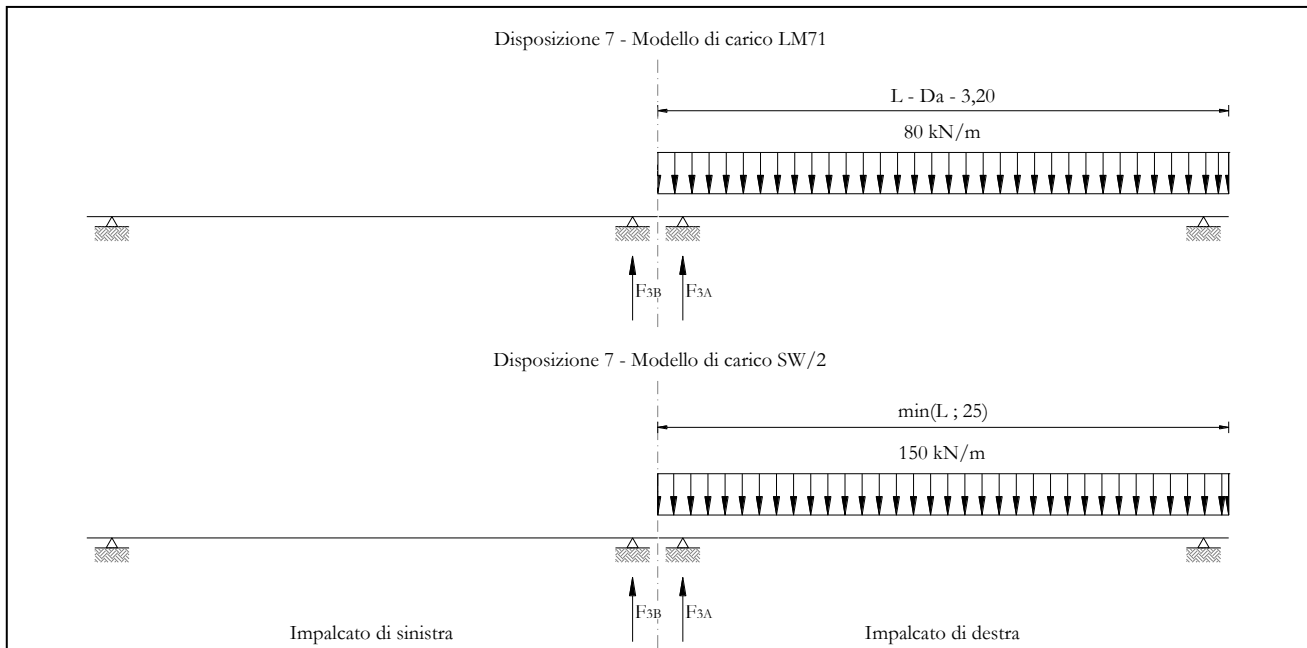


Figura 37 – Disposizione di carico 7

IMPALCATO-SX

Reazioni vincolari B

IMPALCATO-DX

Reazioni vincolari A

Centrifuga LM71

v = vmax

Raggio minimo =	1500,00	m	1500,00	m
Velocità massima =	180,00	km/h	180,00	km/h
Lf =	25,00	m	25,00	m
f =	0,75		0,75	
Qv =	0,00	kN	1002,12	kN
Qh =	0,00	kN	128,07	kN

v = 120 km/h

Raggio minimo =	1500,00	m	1500,00	m
Velocità (120 km/h) =	120,00	km/h	120,00	km/h
f (1) =	1,00		1,00	
Qv =	0,00	kN	1102,34	kN

  	ITINERARIO NAPOLI – BARI RADDOPPIO TRATTA CANCELLO – BENEVENTO I° LOTTO FUNZIONALE CANCELLO - FRASSO TELESINO E VARIANTE ALLA LINEA ROMA-NAPOLI VIA CASSINO NEL COMUNE DI MADDALONI – PROGETTO ESECUTIVO												
Pile P01-P02-P03-P04: Relazione di calcolo	<table border="1"> <thead> <tr> <th>COMMESSA</th> <th>LOTTO</th> <th>CODIFICA</th> <th>DOCUMENTO</th> <th>REV.</th> <th>FOGLIO</th> </tr> </thead> <tbody> <tr> <td>IF1N</td> <td>01 E ZZ</td> <td>CL</td> <td>VI0205 001</td> <td>B</td> <td>78 di 140</td> </tr> </tbody> </table>	COMMESSA	LOTTO	CODIFICA	DOCUMENTO	REV.	FOGLIO	IF1N	01 E ZZ	CL	VI0205 001	B	78 di 140
COMMESSA	LOTTO	CODIFICA	DOCUMENTO	REV.	FOGLIO								
IF1N	01 E ZZ	CL	VI0205 001	B	78 di 140								

Qh = 0,00 kN 83,33 kN

Qh,max = 0,00 kN 128,07 kN

Centrifuga SW/2

v max = 100 km/h

Raggio minimo = 1500,00 m 1500,00 m

Velocità (100 km/h) = 100,00 km/h 100,00 km/h

f = 1,00 1,00

Qv = 0,00 kN 1875,00 kN

Qh,max = 0,00 kN 98,43 kN

Forza centrifuga sull appoggio

F2 = 0,00 kN 226,49 kN

h rispetto a intradosso imp. = 5,08 m 5,08 m

Risultanti reazioni vincolari

F1 = 0 0

F2 = 0 kN -226 kN

F3 = 0 0

M1 = 0 kNm 1151 kNm

M2 = 0 0

M3 = 0 0

  	ITINERARIO NAPOLI – BARI RADDOPPIO TRATTA CANCELLO – BENEVENTO I° LOTTO FUNZIONALE CANCELLO - FRASSO TELESINO E VARIANTE ALLA LINEA ROMA-NAPOLI VIA CASSINO NEL COMUNE DI MADDALONI – PROGETTO ESECUTIVO												
Pile P01-P02-P03-P04: Relazione di calcolo	<table border="1"> <tr> <td>COMMESSA</td> <td>LOTTO</td> <td>CODIFICA</td> <td>DOCUMENTO</td> <td>REV.</td> <td>FOGLIO</td> </tr> <tr> <td>IF1N</td> <td>01 E ZZ</td> <td>CL</td> <td>VI0205 001</td> <td>B</td> <td>79 di 140</td> </tr> </table>	COMMESSA	LOTTO	CODIFICA	DOCUMENTO	REV.	FOGLIO	IF1N	01 E ZZ	CL	VI0205 001	B	79 di 140
COMMESSA	LOTTO	CODIFICA	DOCUMENTO	REV.	FOGLIO								
IF1N	01 E ZZ	CL	VI0205 001	B	79 di 140								

6.3.4 SERPEGGIO (Q4)

La forza laterale indotta dal serpeggio si schematizza come una forza concentrata agente orizzontalmente perpendicolarmente all'asse del binario.

Il valore caratteristico di tale forza è assunto pari a 100 kN. Tale valore deve essere moltiplicato per α ma non per il coefficiente di amplificazione dinamica.

Nei sottoparagrafi che seguono si riportano i risultati delle reazioni vincolari per le diverse disposizioni di carico considerate e descritte precedentemente nel §6.3.

6.3.4.1 DISPOSIZIONE DI CARICO 1 (Q41)

	<u>IMPALCATO-SX</u>		<u>IMPALCATO-DX</u>	
	Reazioni vincolari B		Reazioni vincolari A	

Serpeggio LM71

Forza serpeggio =	100,00	kN	100,00	kN
α =	1,10		1,10	

Serpeggio SW/2

Forza serpeggio =	100,00	kN	100,00	kN
α =	1,00		1,00	

Forza totale serpeggio

F2 =	210,00	kN	210,00	kN
h rispetto a intradosso imp. =	3,28	m	3,28	m

Risultanti reazioni vincolari

F1 =	0		0	
F2 =	-105	kN	-105	kN
F3 =	0		0	
M1 =	344	kNm	344	kNm
M2 =	0		0	
M3 =	0		0	

  	ITINERARIO NAPOLI – BARI RADDOPPIO TRATTA CANCELLO – BENEVENTO I° LOTTO FUNZIONALE CANCELLO - FRASSO TELESINO E VARIANTE ALLA LINEA ROMA-NAPOLI VIA CASSINO NEL COMUNE DI MADDALONI – PROGETTO ESECUTIVO												
Pile P01-P02-P03-P04: Relazione di calcolo	<table border="1"> <tr> <td>COMMESSA</td> <td>LOTTO</td> <td>CODIFICA</td> <td>DOCUMENTO</td> <td>REV.</td> <td>FOGLIO</td> </tr> <tr> <td>IF1N</td> <td>01 E ZZ</td> <td>CL</td> <td>VI0205 001</td> <td>B</td> <td>80 di 140</td> </tr> </table>	COMMESSA	LOTTO	CODIFICA	DOCUMENTO	REV.	FOGLIO	IF1N	01 E ZZ	CL	VI0205 001	B	80 di 140
COMMESSA	LOTTO	CODIFICA	DOCUMENTO	REV.	FOGLIO								
IF1N	01 E ZZ	CL	VI0205 001	B	80 di 140								

6.3.4.2 DISPOSIZIONE DI CARICO 2 (Q42)

	<u>IMPALCATO-SX</u>		<u>IMPALCATO-DX</u>	
	Reazioni vincolari B		Reazioni vincolari A	
<u>Serpeggio LM71</u>				
Forza serpeggio =	100,00	kN	100,00	kN
$\alpha =$	1,10		1,10	
<u>Serpeggio SW/2</u>				
Forza serpeggio =	100,00	kN	100,00	kN
$\alpha =$	1,00		1,00	
<u>Forza totale serpeggio</u>				
F2 =	210,00	kN	210,00	kN
h rispetto a intradosso imp. =	3,28	m	3,28	m
<u>Risultanti reazioni vincolari</u>				
F1 =	0		0	
F2 =	0	kN	-210	kN
F3 =	0		0	
M1 =	0	kNm	689	kNm
M2 =	0		0	
M3 =	0		0	

  	ITINERARIO NAPOLI – BARI RADDOPPIO TRATTA CANCELLO – BENEVENTO I° LOTTO FUNZIONALE CANCELLO - FRASSO TELESINO E VARIANTE ALLA LINEA ROMA-NAPOLI VIA CASSINO NEL COMUNE DI MADDALONI – PROGETTO ESECUTIVO												
Pile P01-P02-P03-P04: Relazione di calcolo	<table border="1"> <tr> <td>COMMESSA</td> <td>LOTTO</td> <td>CODIFICA</td> <td>DOCUMENTO</td> <td>REV.</td> <td>FOGLIO</td> </tr> <tr> <td>IF1N</td> <td>01 E ZZ</td> <td>CL</td> <td>VI0205 001</td> <td>B</td> <td>81 di 140</td> </tr> </table>	COMMESSA	LOTTO	CODIFICA	DOCUMENTO	REV.	FOGLIO	IF1N	01 E ZZ	CL	VI0205 001	B	81 di 140
COMMESSA	LOTTO	CODIFICA	DOCUMENTO	REV.	FOGLIO								
IF1N	01 E ZZ	CL	VI0205 001	B	81 di 140								

6.3.4.3 *DISPOSIZIONE DI CARICO 3 (Q43)*

	<u>IMPALCATO-SX</u>		<u>IMPALCATO-DX</u>	
	Reazioni vincolari B		Reazioni vincolari A	
<u>Serpeggio LM71</u>				
Forza serpeggio =	0,00	kN	0,00	kN
$\alpha =$	1,10		1,10	
<u>Serpeggio SW/2</u>				
Forza serpeggio =	100,00	kN	100,00	kN
$\alpha =$	1,00		1,00	
<u>Forza totale serpeggio</u>				
F2 =	100,00	kN	100,00	kN
h rispetto a intradosso imp. =	3,28	m	3,28	m
<u>Risultanti reazioni vincolari</u>				
F1 =	0		0	
F2 =	-50	kN	-50	kN
F3 =	0		0	
M1 =	164	kNm	164	kNm
M2 =	0		0	
M3 =	0		0	

  	ITINERARIO NAPOLI – BARI RADDOPPIO TRATTA CANCELLO – BENEVENTO I° LOTTO FUNZIONALE CANCELLO - FRASSO TELESINO E VARIANTE ALLA LINEA ROMA-NAPOLI VIA CASSINO NEL COMUNE DI MADDALONI – PROGETTO ESECUTIVO												
Pile P01-P02-P03-P04: Relazione di calcolo	<table border="1"> <tr> <td>COMMESSA</td> <td>LOTTO</td> <td>CODIFICA</td> <td>DOCUMENTO</td> <td>REV.</td> <td>FOGLIO</td> </tr> <tr> <td>IF1N</td> <td>01 E ZZ</td> <td>CL</td> <td>VI0205 001</td> <td>B</td> <td>82 di 140</td> </tr> </table>	COMMESSA	LOTTO	CODIFICA	DOCUMENTO	REV.	FOGLIO	IF1N	01 E ZZ	CL	VI0205 001	B	82 di 140
COMMESSA	LOTTO	CODIFICA	DOCUMENTO	REV.	FOGLIO								
IF1N	01 E ZZ	CL	VI0205 001	B	82 di 140								

6.3.4.4 DISPOSIZIONE DI CARICO 4 (Q44)

	<u>IMPALCATO-SX</u>		<u>IMPALCATO-DX</u>	
	Reazioni vincolari B		Reazioni vincolari A	
<u>Serpeggio LM71</u>				
Forza serpeggio =	100,00	kN	100,00	kN
$\alpha =$	1,10		1,10	
<u>Serpeggio SW/2</u>				
Forza serpeggio =	0,00	kN	0,00	kN
$\alpha =$	1,00		1,00	
<u>Forza totale serpeggio</u>				
F2 =	110,00	kN	110,00	kN
h rispetto a intradosso imp. =	3,28	m	3,28	m
<u>Risultanti reazioni vincolari</u>				
F1 =	0		0	
F2 =	-55	kN	-55	kN
F3 =	0		0	
M1 =	180	kNm	180	kNm
M2 =	0		0	
M3 =	0		0	

  	ITINERARIO NAPOLI – BARI RADDOPPIO TRATTA CANCELLO – BENEVENTO I° LOTTO FUNZIONALE CANCELLO - FRASSO TELESINO E VARIANTE ALLA LINEA ROMA-NAPOLI VIA CASSINO NEL COMUNE DI MADDALONI – PROGETTO ESECUTIVO												
Pile P01-P02-P03-P04: Relazione di calcolo	<table border="1"> <tr> <td>COMMESSA</td> <td>LOTTO</td> <td>CODIFICA</td> <td>DOCUMENTO</td> <td>REV.</td> <td>FOGLIO</td> </tr> <tr> <td>IF1N</td> <td>01 E ZZ</td> <td>CL</td> <td>VI0205 001</td> <td>B</td> <td>83 di 140</td> </tr> </table>	COMMESSA	LOTTO	CODIFICA	DOCUMENTO	REV.	FOGLIO	IF1N	01 E ZZ	CL	VI0205 001	B	83 di 140
COMMESSA	LOTTO	CODIFICA	DOCUMENTO	REV.	FOGLIO								
IF1N	01 E ZZ	CL	VI0205 001	B	83 di 140								

6.3.4.5 DISPOSIZIONE DI CARICO 5 (Q45)

	<u>IMPALCATO-SX</u>		<u>IMPALCATO-DX</u>	
	Reazioni vincolari B		Reazioni vincolari A	
<u>Serpeggio LM71</u>				
Forza serpeggio =	100,00	kN	100,00	kN
$\alpha =$	1,10		1,10	
<u>Serpeggio SW/2</u>				
Forza serpeggio =	100,00	kN	100,00	kN
$\alpha =$	1,00		1,00	
<u>Forza totale serpeggio</u>				
F2 =	210,00	kN	210,00	kN
h rispetto a intradosso imp. =	3,28	m	3,28	m
<u>Risultanti reazioni vincolari</u>				
F1 =	0		0	
F2 =	-105	kN	-105	kN
F3 =	0		0	
M1 =	344	kNm	344	kNm
M2 =	0		0	
M3 =	0		0	

  	ITINERARIO NAPOLI – BARI RADDOPPIO TRATTA CANCELLO – BENEVENTO I° LOTTO FUNZIONALE CANCELLO - FRASSO TELESINO E VARIANTE ALLA LINEA ROMA-NAPOLI VIA CASSINO NEL COMUNE DI MADDALONI – PROGETTO ESECUTIVO												
Pile P01-P02-P03-P04: Relazione di calcolo	<table border="1"> <tr> <td>COMMESSA</td> <td>LOTTO</td> <td>CODIFICA</td> <td>DOCUMENTO</td> <td>REV.</td> <td>FOGLIO</td> </tr> <tr> <td>IF1N</td> <td>01 E ZZ</td> <td>CL</td> <td>VI0205 001</td> <td>B</td> <td>84 di 140</td> </tr> </table>	COMMESSA	LOTTO	CODIFICA	DOCUMENTO	REV.	FOGLIO	IF1N	01 E ZZ	CL	VI0205 001	B	84 di 140
COMMESSA	LOTTO	CODIFICA	DOCUMENTO	REV.	FOGLIO								
IF1N	01 E ZZ	CL	VI0205 001	B	84 di 140								

6.3.4.6 DISPOSIZIONE DI CARICO 6 (Q46)

	<u>IMPALCATO-SX</u>		<u>IMPALCATO-DX</u>	
	Reazioni vincolari B		Reazioni vincolari A	
<u>Serpeggio LM71</u>				
Forza serpeggio =	100,00	kN	100,00	kN
$\alpha =$	1,10		1,10	
<u>Serpeggio SW/2</u>				
Forza serpeggio =	100,00	kN	100,00	kN
$\alpha =$	1,00		1,00	
<u>Forza totale serpeggio</u>				
F2 =	210,00	kN	210,00	kN
h rispetto a intradosso imp. =	3,28	m	3,28	m
<u>Risultanti reazioni vincolari</u>				
F1 =	0		0	
F2 =	-105	kN	-105	kN
F3 =	0		0	
M1 =	344	kNm	344	kNm
M2 =	0		0	
M3 =	0		0	

  	ITINERARIO NAPOLI – BARI RADDOPPIO TRATTA CANCELLO – BENEVENTO I° LOTTO FUNZIONALE CANCELLO - FRASSO TELESINO E VARIANTE ALLA LINEA ROMA-NAPOLI VIA CASSINO NEL COMUNE DI MADDALONI – PROGETTO ESECUTIVO												
Pile P01-P02-P03-P04: Relazione di calcolo	<table border="1"> <tr> <td>COMMESSA</td> <td>LOTTO</td> <td>CODIFICA</td> <td>DOCUMENTO</td> <td>REV.</td> <td>FOGLIO</td> </tr> <tr> <td>IF1N</td> <td>01 E ZZ</td> <td>CL</td> <td>VI0205 001</td> <td>B</td> <td>85 di 140</td> </tr> </table>	COMMESSA	LOTTO	CODIFICA	DOCUMENTO	REV.	FOGLIO	IF1N	01 E ZZ	CL	VI0205 001	B	85 di 140
COMMESSA	LOTTO	CODIFICA	DOCUMENTO	REV.	FOGLIO								
IF1N	01 E ZZ	CL	VI0205 001	B	85 di 140								

6.3.4.7 DISPOSIZIONE DI CARICO 7 (Q47)

	<u>IMPALCATO-SX</u>		<u>IMPALCATO-DX</u>	
	Reazioni vincolari B		Reazioni vincolari A	
<u>Serpeggio LM71</u>				
Forza serpeggio =	100,00	kN	100,00	kN
$\alpha =$	1,10		1,10	
<u>Serpeggio SW/2</u>				
Forza serpeggio =	100,00	kN	100,00	kN
$\alpha =$	1,00		1,00	
<u>Forza totale serpeggio</u>				
F2 =	210,00	kN	210,00	kN
h rispetto a intradosso imp. =	3,28	m	3,28	m
<u>Risultanti reazioni vincolari</u>				
F1 =	0		0	
F2 =	0	kN	-210	kN
F3 =	0		0	
M1 =	0	kNm	689	kNm
M2 =	0		0	
M3 =	0		0	

  	ITINERARIO NAPOLI – BARI RADDOPPIO TRATTA CANCELLO – BENEVENTO I° LOTTO FUNZIONALE CANCELLO - FRASSO TELESINO E VARIANTE ALLA LINEA ROMA-NAPOLI VIA CASSINO NEL COMUNE DI MADDALONI – PROGETTO ESECUTIVO												
Pile P01-P02-P03-P04: Relazione di calcolo	<table border="1"> <thead> <tr> <th>COMMESSA</th> <th>LOTTO</th> <th>CODIFICA</th> <th>DOCUMENTO</th> <th>REV.</th> <th>FOGLIO</th> </tr> </thead> <tbody> <tr> <td>IF1N</td> <td>01 E ZZ</td> <td>CL</td> <td>VI0205 001</td> <td>B</td> <td>86 di 140</td> </tr> </tbody> </table>	COMMESSA	LOTTO	CODIFICA	DOCUMENTO	REV.	FOGLIO	IF1N	01 E ZZ	CL	VI0205 001	B	86 di 140
COMMESSA	LOTTO	CODIFICA	DOCUMENTO	REV.	FOGLIO								
IF1N	01 E ZZ	CL	VI0205 001	B	86 di 140								

6.4 CARICHI VARIABILI (Q5)

6.4.1 AZIONI DEL VENTO (Q51)

L'azione del vento viene ricondotta ad un'azione statica equivalente costituita da pressioni e depressioni agenti normalmente alle superfici.

La pressione del vento è data dalla seguente espressione:

$$p = q_b \cdot C_e \cdot C_p \cdot C_d$$

dove

- q_b pressione cinetica di riferimento
- C_e coefficiente di esposizione
- C_p coefficiente di forma
- C_d coefficiente dinamico, posto generalmente pari a 1

Di seguito si riporta il dettaglio del calcolo di tali fattori per l'opera in oggetto.

  	ITINERARIO NAPOLI – BARI RADDOPPIO TRATTA CANCELLO – BENEVENTO I° LOTTO FUNZIONALE CANCELLO - FRASSO TELESINO E VARIANTE ALLA LINEA ROMA-NAPOLI VIA CASSINO NEL COMUNE DI MADDALONI – PROGETTO ESECUTIVO												
Pile P01-P02-P03-P04: Relazione di calcolo	<table border="1"> <thead> <tr> <th>COMMESSA</th> <th>LOTTO</th> <th>CODIFICA</th> <th>DOCUMENTO</th> <th>REV.</th> <th>FOGLIO</th> </tr> </thead> <tbody> <tr> <td>IF1N</td> <td>01 E ZZ</td> <td>CL</td> <td>VI0205 001</td> <td>B</td> <td>87 di 140</td> </tr> </tbody> </table>	COMMESSA	LOTTO	CODIFICA	DOCUMENTO	REV.	FOGLIO	IF1N	01 E ZZ	CL	VI0205 001	B	87 di 140
COMMESSA	LOTTO	CODIFICA	DOCUMENTO	REV.	FOGLIO								
IF1N	01 E ZZ	CL	VI0205 001	B	87 di 140								

6.4.1.1 *PRESSIONE CINETICA DI RIFERIMENTO*

La pressione cinetica di riferimento si determina mediante l'espressione:

$$q_b = \frac{1}{2} \cdot \rho \cdot v_b^2 \text{ (in N/m}^2\text{)}$$

dove v_b velocità di riferimento
 ρ densità dell'aria, convenzionalmente posta pari a 1,25 kg/m³

Di seguito si determina la pressione di riferimento sulla base dei parametri caratteristici del sito e il tempo di ritorno dell'opera in oggetto:

Parametri dipendenti dal sito

Zona =	3	
$v_{b,0}$ =	27,00	m/s
a_0 =	500,00	m
k_a =	0,02	1/s

Altitudine del sito

a_s =	80,00	m s.l.m.
v_b =	27,00	m/s

Tempo di ritorno

TR =	75	anni
$\alpha_R(TR)$ =	1,02	
$v_b(TR)$ =	27.63	m/s

Pressione di riferimento

q_b =	477.25	N/m ²
---------	--------	------------------

  	ITINERARIO NAPOLI – BARI RADDOPPIO TRATTA CANCELLO – BENEVENTO I° LOTTO FUNZIONALE CANCELLO - FRASSO TELESINO E VARIANTE ALLA LINEA ROMA-NAPOLI VIA CASSINO NEL COMUNE DI MADDALONI – PROGETTO ESECUTIVO												
Pile P01-P02-P03-P04: Relazione di calcolo	<table border="1"> <thead> <tr> <th>COMMESSA</th> <th>LOTTO</th> <th>CODIFICA</th> <th>DOCUMENTO</th> <th>REV.</th> <th>FOGLIO</th> </tr> </thead> <tbody> <tr> <td>IF1N</td> <td>01 E ZZ</td> <td>CL</td> <td>VI0205 001</td> <td>B</td> <td>88 di 140</td> </tr> </tbody> </table>	COMMESSA	LOTTO	CODIFICA	DOCUMENTO	REV.	FOGLIO	IF1N	01 E ZZ	CL	VI0205 001	B	88 di 140
COMMESSA	LOTTO	CODIFICA	DOCUMENTO	REV.	FOGLIO								
IF1N	01 E ZZ	CL	VI0205 001	B	88 di 140								

6.4.1.2 COEFFICIENTE DI ESPOSIZIONE

Il coefficiente di esposizione c_e dipende dall'altezza z sul suolo del punto considerato, dalla topografia del terreno e dalla categoria di esposizione del sito e si determina mediante l'espressione:

$$c_e(z) = k_r \cdot c_t \cdot \ln(z/z_0) [7 + c_t \cdot \ln(z/z_0)] \quad \text{per } z \geq z_{\min}$$

$$c_e(z) = c_e(z_{\min}) \quad \text{per } z < z_{\min}$$

dove k_r, z_0, z_{\min} sono parametri che dipendono dalla categoria di esposizione del sito;
 c_t è il coefficiente di topografia, posto generalmente pari a 1

Di seguito si determina il coefficiente di esposizione sulla base della classe d'esposizione e l'altezza z del punto considerato, posta pari alla massima quota del complesso impalcato, barriere antirumore, sagoma del treno. A tal proposito il §1.4.4.2 [3] impone di considerare il treno come una superficie piana continua convenzionalmente alta 4,00 m sul p.f.. Cautelativamente si considerano presenti barriere H4 ad entrambe le estremità dell'impalcato.

Categoria di esposizione

Classe di rugosità = D
Distanza dalla costa = < 30 km

Categoria di esposizione = II
 k_r = 0,19
 z_0 = 0,05 m
 z_{\min} = 4,00 m

Quota di riferimento z

H pila fino a intradosso imp. = 8.4 m
H imp. fino a p.f. = 3,28 m
H b.a. su p.f. = 4,67 m
H min b.a. su p.f. = 3,35 m
H treno su p.f. = 4,00 m

 z di riferimento = 15.65 m

Coefficiente di esposizione

c_e = 2.65

6.4.1.3 COEFFICIENTE DI FORMA DELL'IMPALCATO

Il coefficiente di forma dell'impalcato e l'area di riferimento per il calcolo della forza risultante si determinano in base ai criteri enunciati nel §8.3.1 [9].

A tal proposito si riconduce il coefficiente di forma c_p al coefficiente di forza $c_{fx,0}$. Il coefficiente di forza $c_{fx,0}$ si determina in base al rapporto tra larghezza b e altezza totale dell'impalcato d_{tot} .

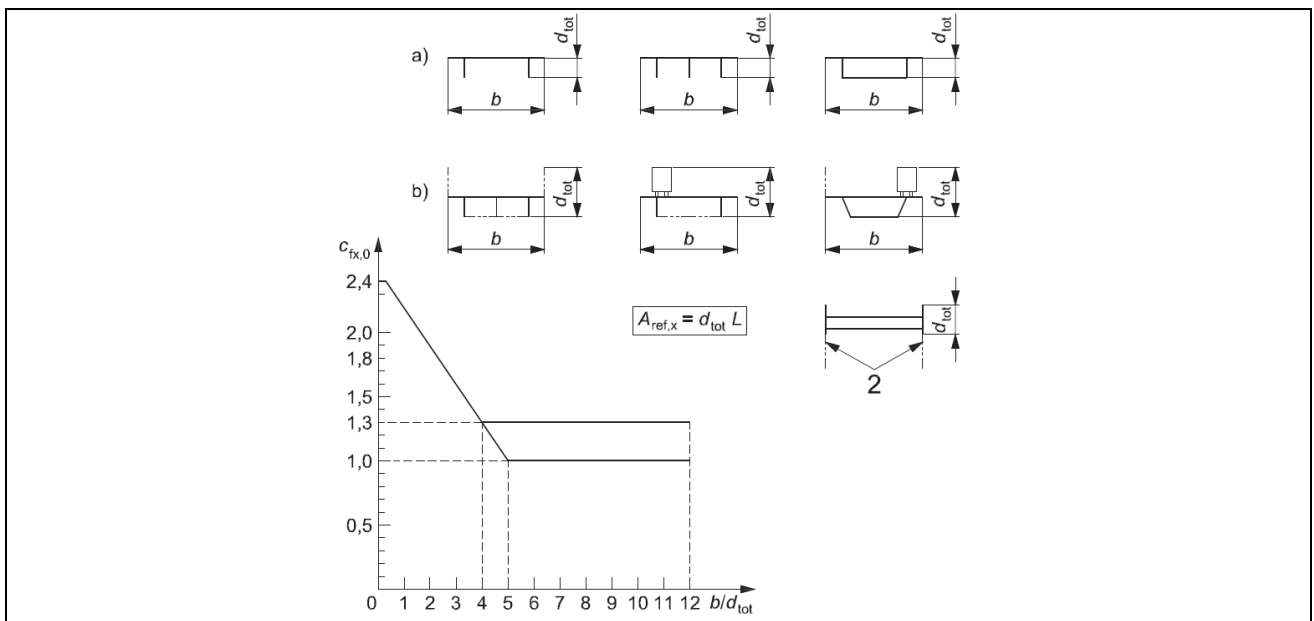


Figura 38 – Correlazione tra il rapporto b/d_{tot} e coefficiente di forma $c_{fx,0}$ (figura 8.3 EC1-4)

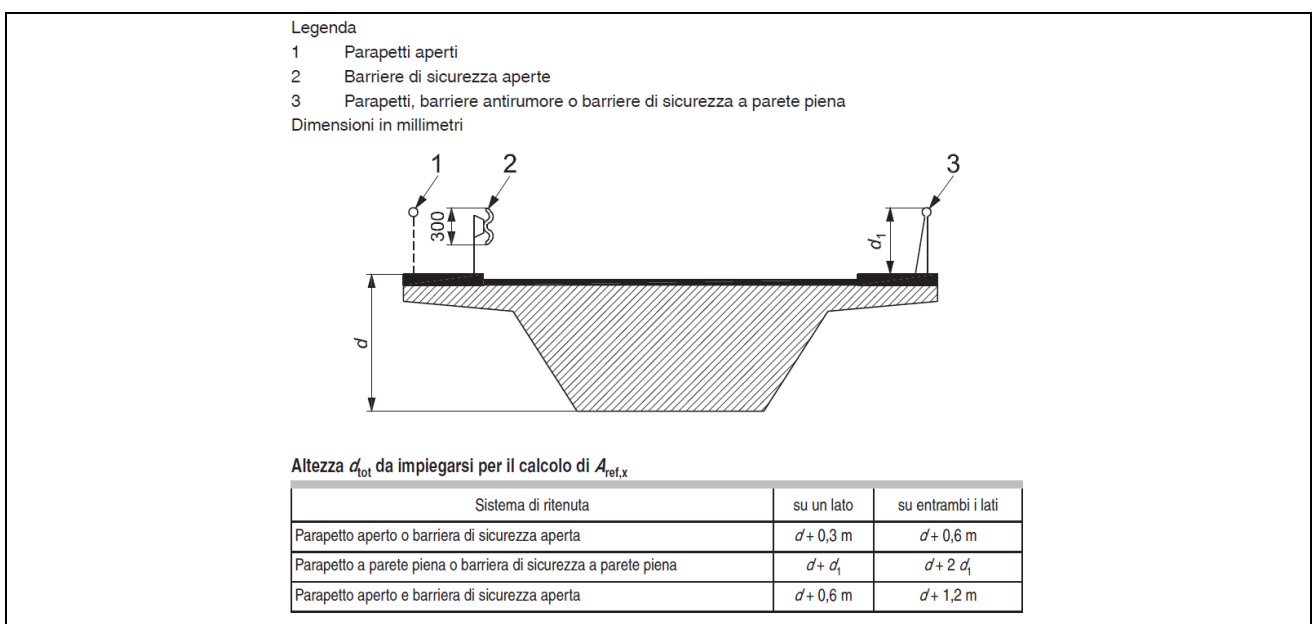


Figura 39 – Criteri per la determinazione dell'area di riferimento (figura 8.5 EC1-4)

  	ITINERARIO NAPOLI – BARI RADDOPPIO TRATTA CANCELLO – BENEVENTO I° LOTTO FUNZIONALE CANCELLO - FRASSO TELESINO E VARIANTE ALLA LINEA ROMA-NAPOLI VIA CASSINO NEL COMUNE DI MADDALONI – PROGETTO ESECUTIVO												
Pile P01-P02-P03-P04: Relazione di calcolo	<table border="1"> <tr> <td>COMMESSA</td> <td>LOTTO</td> <td>CODIFICA</td> <td>DOCUMENTO</td> <td>REV.</td> <td>FOGLIO</td> </tr> <tr> <td>IF1N</td> <td>01 E ZZ</td> <td>CL</td> <td>VI0205 001</td> <td>B</td> <td>90 di 140</td> </tr> </table>	COMMESSA	LOTTO	CODIFICA	DOCUMENTO	REV.	FOGLIO	IF1N	01 E ZZ	CL	VI0205 001	B	90 di 140
COMMESSA	LOTTO	CODIFICA	DOCUMENTO	REV.	FOGLIO								
IF1N	01 E ZZ	CL	VI0205 001	B	90 di 140								

l'area da considerare per il calcolo della risultante di forza si definisce come la somma di tutte le superfici proiettate dall'impalcato nel piano longitudinale, comprese le barriere e la sagoma dei veicoli.

Per il caso in esame si ha:

Caratteristiche geometriche dell'impalcato

	<u>IMPALCATO-SX</u>		<u>IMPALCATO-DX</u>	
b =	13,70	m	13,70	m
H b.a. su p.f. =	4,67	m	4,67	m
dtot =	7,95	m	7,95	m
b/dtot =	1,72		1,72	
cp =	1,98		1,98	

Coefficiente di forma

cp,max =	1,98
----------	------

Area di riferimento

H impalcato da intrad. a p.f. =	3,28	m	3,28	m
H barriera su p.f. sx =	4,67	m	4,67	m
H barriera su p.f. dx =	4,67	m	4,67	m
H b.a. min su p.f. =	3,35	m	3,35	m
H treno su p.f. =	4,00	m	4,00	m
dtot2 =	12,62	m	12,62	m
L impalcato =	25,00	m	25,00	m
Arif =	315,50	m ²	315,50	m ²

  	ITINERARIO NAPOLI – BARI RADDOPPIO TRATTA CANCELLO – BENEVENTO I° LOTTO FUNZIONALE CANCELLO - FRASSO TELESINO E VARIANTE ALLA LINEA ROMA-NAPOLI VIA CASSINO NEL COMUNE DI MADDALONI – PROGETTO ESECUTIVO												
Pile P01-P02-P03-P04: Relazione di calcolo	<table border="1"> <tr> <td>COMMESSA</td> <td>LOTTO</td> <td>CODIFICA</td> <td>DOCUMENTO</td> <td>REV.</td> <td>FOGLIO</td> </tr> <tr> <td>IF1N</td> <td>01 E ZZ</td> <td>CL</td> <td>VI0205 001</td> <td>B</td> <td>91 di 140</td> </tr> </table>	COMMESSA	LOTTO	CODIFICA	DOCUMENTO	REV.	FOGLIO	IF1N	01 E ZZ	CL	VI0205 001	B	91 di 140
COMMESSA	LOTTO	CODIFICA	DOCUMENTO	REV.	FOGLIO								
IF1N	01 E ZZ	CL	VI0205 001	B	91 di 140								

6.4.1.4 AZIONE DEL VENTO SULL'IMPALCATO

Di seguito si procede al calcolo dell'azione del vento sull'impalcato in relazione ai parametri determinati nei paragrafi precedenti.

	<u>IMPALCATO-SX</u>		<u>IMPALCATO-DX</u>	
<u>Pressione del vento</u>				
qb =	477.25	N/m2	477.25	N/m2
ce =	2.65		2.65	
cp =	1,99		1,99	
cd =	1,00		1,00	
qb = qb · ce · cp · cd =	2.43	kN/m2	2.43	kN/m2
<u>Area di riferimento</u>				
Arif =	315,50	m2	315,50	m2
H rispetto a intrad. imp. =	5.62	m	5.62	m
<u>Risultante totale forza del vento</u>				
Fvh =	794.52	kN	794.52	kN
Mvt =	4461.22	kNm	4461.22	kNm
<u>Risultanti reazioni vincolari</u>				
F1 =	0		0	
F2 =	-397	kN	-397	kN
F3 =	0		0	
M1 =	2231	kNm	2231	kNm
M2 =	0		0	
M3 =	0		0	

	ITINERARIO NAPOLI – BARI RADDOPPIO TRATTA CANCELLO – BENEVENTO I° LOTTO FUNZIONALE CANCELLO - FRASSO TELESINO E VARIANTE ALLA LINEA ROMA-NAPOLI VIA CASSINO NEL COMUNE DI MADDALONI – PROGETTO ESECUTIVO					
Pile P01-P02-P03-P04: Relazione di calcolo	COMMESSA IF1N	LOTTO 01 E ZZ	CODIFICA CL	DOCUMENTO VI0205 001	REV. B	FOGLIO 92 di 140

6.4.1.5 COEFFICIENTE DI FORMA DELLA PILA

Nel caso di pila con sezione circolare, il coefficiente di forma della pila e l'area di riferimento per il calcolo della risultante si determinano in base alle indicazioni del §7.9.2 [9].

A tal proposito si riconduce il coefficiente di forma c_p al coefficiente di forza c_f .

Il coefficiente di esposizione c_f si determina mediante l'espressione:

$$c_f = c_{f,0} \cdot \psi_\lambda$$

dove $c_{f,0}$ è il coefficiente di forma in assenza di effetto di estremità;

ψ_λ è il fattore di effetto di estremità, posto cautelativamente pari a 1.

Il valore di $c_{f,0}$ si determina in funzione del numero di Reynolds e della rugosità equivalente mediante l'abaco riportato in Figura 34. Per il caso in questione, a favore di sicurezza, si pone $c_{f,0}$ pari a 1,2 indipendentemente dai valori del numero di Reynolds e della rugosità equivalente.

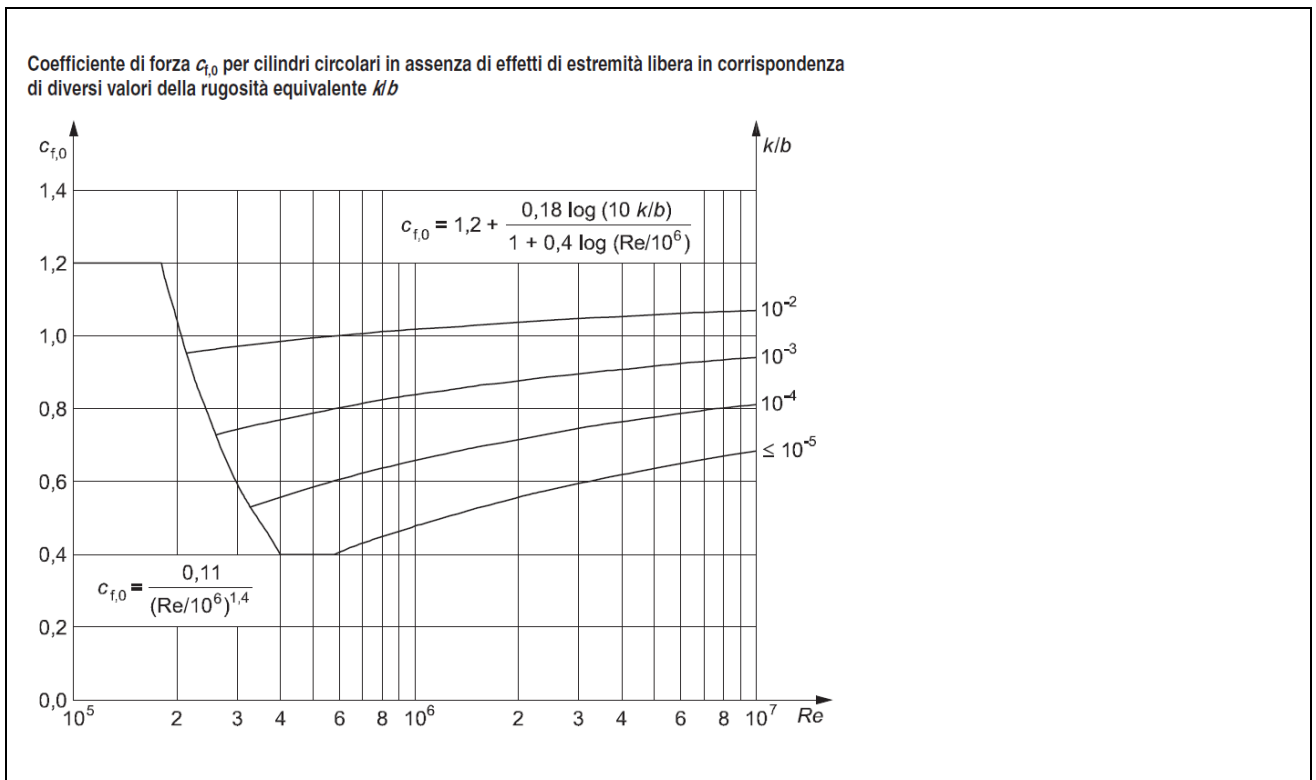


Figura 40 – Correlazione tra numero di Reynolds, la rugosità equivalente e coefficiente di forma $c_{f,0}$ (figura 7.28 EC1-4)

Nel caso di pila con sezione rettangolare, il coefficiente di forma della pila e l'area di riferimento per il calcolo della risultante si determinano in base alle indicazioni del §7.6 [9]. A tal proposito si riconduce il coefficiente di forma c_p al coefficiente di forza c_f .

	ITINERARIO NAPOLI – BARI RADDOPPIO TRATTA CANCELLO – BENEVENTO I° LOTTO FUNZIONALE CANCELLO - FRASSO TELESINO E VARIANTE ALLA LINEA ROMA-NAPOLI VIA CASSINO NEL COMUNE DI MADDALONI – PROGETTO ESECUTIVO												
Pile P01-P02-P03-P04: Relazione di calcolo	<table border="1"> <thead> <tr> <th>COMMESSA</th> <th>LOTTO</th> <th>CODIFICA</th> <th>DOCUMENTO</th> <th>REV.</th> <th>FOGLIO</th> </tr> </thead> <tbody> <tr> <td>IF1N</td> <td>01 E ZZ</td> <td>CL</td> <td>VI0205 001</td> <td>B</td> <td>93 di 140</td> </tr> </tbody> </table>	COMMESSA	LOTTO	CODIFICA	DOCUMENTO	REV.	FOGLIO	IF1N	01 E ZZ	CL	VI0205 001	B	93 di 140
COMMESSA	LOTTO	CODIFICA	DOCUMENTO	REV.	FOGLIO								
IF1N	01 E ZZ	CL	VI0205 001	B	93 di 140								

Il coefficiente di esposizione c_f si determina mediante l'espressione:

$$c_f = c_{f,0} \cdot \psi_r \cdot \psi_\lambda$$

- dove
- $c_{f,0}$ è il coefficiente di forma in assenza di effetto di estremità;
 - ψ_r è il fattore riduttivo per sezioni con spigoli arrotondati;
 - ψ_λ è il fattore di effetto di estremità, posto cautelativamente pari a 1.

I valori di $c_{f,0}$ e ψ_r si determinano in funzione del rapporto tra le dimensioni in sezione dell'elemento investito, secondo gli abachi riportati nella Figura 35.

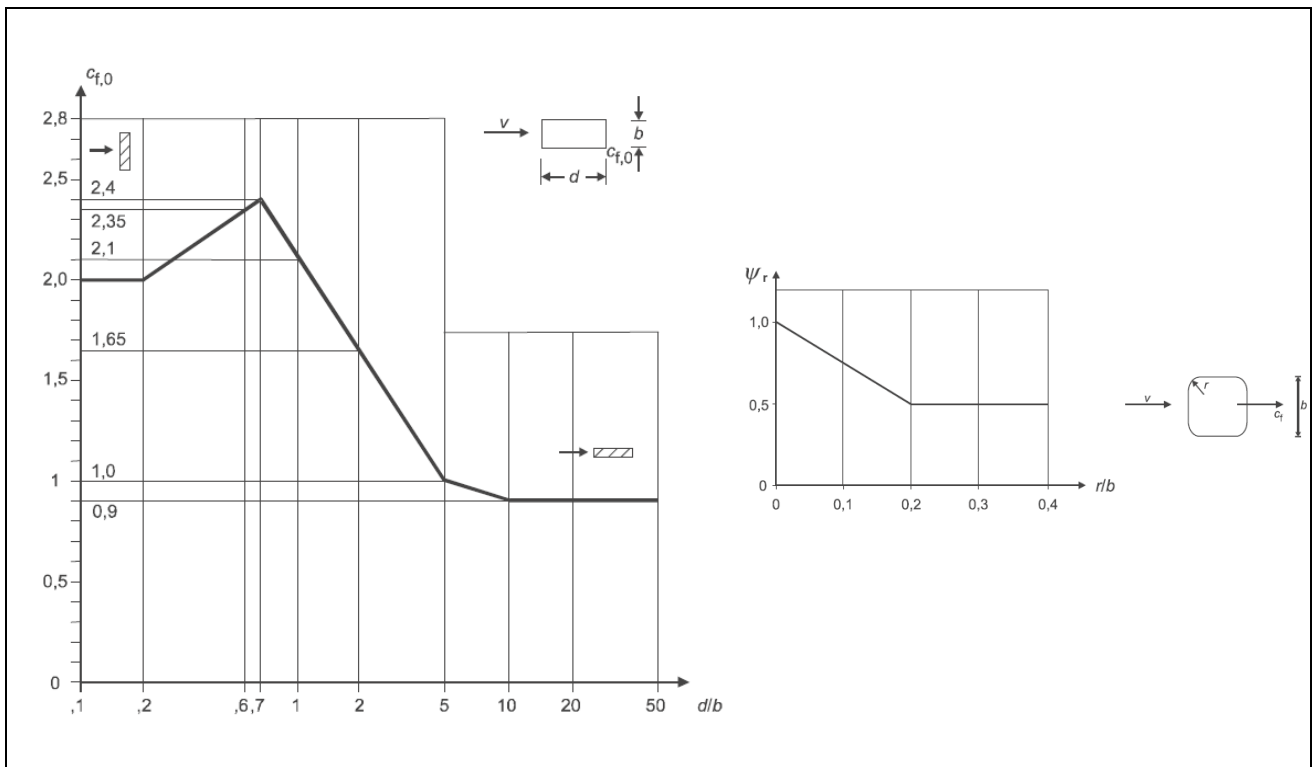


Figura 41 – Correlazione tra dimensioni in sezione dell'elemento e il coefficiente di forma $c_{f,0}$ (figura 7.23 EC1-4) e correlazione tra il raggio di arrotondamento dello spigolo e il fattore riduttivo ψ_r (figura 7.24 EC1-4)

  	ITINERARIO NAPOLI – BARI RADDOPPIO TRATTA CANCELLO – BENEVENTO I° LOTTO FUNZIONALE CANCELLO - FRASSO TELESINO E VARIANTE ALLA LINEA ROMA-NAPOLI VIA CASSINO NEL COMUNE DI MADDALONI – PROGETTO ESECUTIVO												
Pile P01-P02-P03-P04: Relazione di calcolo	<table border="1"> <thead> <tr> <th>COMMESSA</th> <th>LOTTO</th> <th>CODIFICA</th> <th>DOCUMENTO</th> <th>REV.</th> <th>FOGLIO</th> </tr> </thead> <tbody> <tr> <td>IF1N</td> <td>01 E ZZ</td> <td>CL</td> <td>VI0205 001</td> <td>B</td> <td>94 di 140</td> </tr> </tbody> </table>	COMMESSA	LOTTO	CODIFICA	DOCUMENTO	REV.	FOGLIO	IF1N	01 E ZZ	CL	VI0205 001	B	94 di 140
COMMESSA	LOTTO	CODIFICA	DOCUMENTO	REV.	FOGLIO								
IF1N	01 E ZZ	CL	VI0205 001	B	94 di 140								

L'area da considerare per il calcolo della risultante di forza si definisce come la superficie proiettata dalla pila nel piano longitudinale. Per il caso in esame si ha:

Caratteristiche geometriche della pila

Forma della pila =	Rettangolare cava smussata	
Dimensione proiettata nel piano b =	2.60	m
d =	8.60	m
d/b =	3.31	
cf,0 =	1.29	
r =	1,00	m
r/b =	0.38	
ψ_r =	0.50	
ψ_λ =	1.00	

Coefficiente di forma

$c_p = c_f = c_{f,0} \cdot \psi_r \cdot \psi_\lambda =$	1.00
---	------

Azione del vento sulla pila:

Pressione del vento

qb =	447.25	N/m ²
ce =	2.65	
cp =	1.00	
cd =	1.00	
qb = qb · ce · cp · cd =	1.26	kN/m ²

Risultante totale forza del vento

b =	2.60	m
f _{vh} =	3.28	kN/m

L'azione del vento così calcolata viene applicata come una forza uniformemente distribuita sugli elementi che compongono il fusto e il pulvino della pila.

  	ITINERARIO NAPOLI – BARI RADDOPPIO TRATTA CANCELLO – BENEVENTO I° LOTTO FUNZIONALE CANCELLO - FRASSO TELESINO E VARIANTE ALLA LINEA ROMA-NAPOLI VIA CASSINO NEL COMUNE DI MADDALONI – PROGETTO ESECUTIVO												
Pile P01-P02-P03-P04: Relazione di calcolo	<table border="1"> <tr> <td>COMMESSA</td> <td>LOTTO</td> <td>CODIFICA</td> <td>DOCUMENTO</td> <td>REV.</td> <td>FOGLIO</td> </tr> <tr> <td>IF1N</td> <td>01 E ZZ</td> <td>CL</td> <td>VI0205 001</td> <td>B</td> <td>95 di 140</td> </tr> </table>	COMMESSA	LOTTO	CODIFICA	DOCUMENTO	REV.	FOGLIO	IF1N	01 E ZZ	CL	VI0205 001	B	95 di 140
COMMESSA	LOTTO	CODIFICA	DOCUMENTO	REV.	FOGLIO								
IF1N	01 E ZZ	CL	VI0205 001	B	95 di 140								

6.5 AZIONI INDIRETTE (Q6)

6.5.1 RESISTENZE PARASSITE NEI VINCOLI (Q61)

Per la valutazione delle coazioni generate dallo scorrimento dei vincoli, è stato considerato un coefficiente d'attrito f pari a 0,06, applicato alle azioni verticali agenti sugli apparecchi d'appoggio.

Con riferimento a quanto riportato nel §1.6.3 [3] la forza agente sulle pile per impalcati a travate isostatiche, facendo riferimento all'apparecchio d'appoggio maggiormente caricato tra i due presenti sulla pila, si considera pari a:

$$F_a = f (0,2 \cdot V_G + V_Q)$$

dove V_G reazione verticale massima associata ai carichi permanenti

V_Q reazione verticale massima associata ai carichi mobili dinamizzati

IMPALCATO-SX

IMPALCATO-DX

Reazioni verticali massime

$$V_G = F_3 (G_1 + G_2) = \quad 5826,14 \quad \text{kN} \quad \quad 5826,14 \quad \text{kN}$$

$$V_Q = F_3 (Q_{1\max}) = \quad 3558,56 \quad \text{kN} \quad \quad 3558,56 \quad \text{kN}$$

Forza d'attrito risultante per il singolo impalcato

$$f = \quad 0,06 \quad \quad \quad 0,06$$

$$F_1 = \quad 283,43 \quad \text{kN} \quad \quad 283,43 \quad \text{kN}$$

Risultante azione parassita nei vincoli

$$F_{1\max} = \quad 283,43 \quad \text{kN}$$

Risultanti reazioni vincolari

$$F_1 = \quad 0 \quad \text{kN} \quad \quad -283 \quad \text{kN}$$

$$F_2 = \quad 0 \quad \quad \quad 0$$

$$F_3 = \quad 0 \quad \quad \quad 0$$

$$M_1 = \quad 0 \quad \quad \quad 0$$

$$M_2 = \quad 0 \quad \quad \quad 0$$

$$M_3 = \quad 0 \quad \quad \quad 0$$

  	ITINERARIO NAPOLI – BARI RADDOPPIO TRATTA CANCELLO – BENEVENTO I° LOTTO FUNZIONALE CANCELLO - FRASSO TELESINO E VARIANTE ALLA LINEA ROMA-NAPOLI VIA CASSINO NEL COMUNE DI MADDALONI – PROGETTO ESECUTIVO												
Pile P01-P02-P03-P04: Relazione di calcolo	<table border="1"> <tr> <td>COMMESSA</td> <td>LOTTO</td> <td>CODIFICA</td> <td>DOCUMENTO</td> <td>REV.</td> <td>FOGLIO</td> </tr> <tr> <td>IF1N</td> <td>01 E ZZ</td> <td>CL</td> <td>VI0205 001</td> <td>B</td> <td>96 di 140</td> </tr> </table>	COMMESSA	LOTTO	CODIFICA	DOCUMENTO	REV.	FOGLIO	IF1N	01 E ZZ	CL	VI0205 001	B	96 di 140
COMMESSA	LOTTO	CODIFICA	DOCUMENTO	REV.	FOGLIO								
IF1N	01 E ZZ	CL	VI0205 001	B	96 di 140								

6.6 EFFETTI D'INTERAZIONE (Q7)

Ove non applicabile il metodo semplificato per la valutazione delle azioni dovute agli effetti di interazione binario-struttura secondo quanto previsto nell'Allegato 3 delle specifiche RFI [3] si rimanda allo specifico elaborato:

IF0F.01.D.09.CL.VI0000.001 – *Viadotti ferroviari – Relazione di interazione treno-binario-struttura.*

6.6.1 VARIAZIONI TERMICHE DELL'IMPALCATO (Q71)

La presente azione si considera applicata in corrispondenza del piano ferro.

Di seguito si considera come prima pila la pila accostata alla spalla munita di appoggi fissi, si considera pertanto come ultima pila la pila accostata alla spalla munita di appoggi scorrevoli.

Dal §3.1 dell'Allegato 3 delle Specifiche RFI [3] si desume:

$$F_{ts} = \beta \cdot \alpha_{ts1} \cdot \alpha_{ts2} \cdot \alpha_{ts3} \cdot L \cdot q \cdot n$$

dove	α_{ts1}	0,70 nel caso di $\Delta t = 30 \text{ }^\circ\text{C}$ (valore massimo)
	α_{ts2}	1,00 (rigidezza massima della spalla)
	α_{ts3}	0,80 nel caso di viadotto con un numero di campate ≥ 3
	L	luce della campata
	q	resistenza allo scorrimento longitudinale del binario scarico, posto generalmente pari a 20,00 kN/m
	n	numero di binari
	β	0,40 nel caso dell'ultima pila
	β	0,20 nel caso della penultima e della prima pila
	β	0,00 nel caso delle pile intermedie
		Cautelativamente si pone β pari al suo valore massimo, ossia 0,4.

IMPALCATO-SX

IMPALCATO-DX

Reazione per variazioni termiche dell'impalcato

$\Delta T =$	30.00	$^\circ\text{C}$	30.00	$^\circ\text{C}$
L impalcato =	25.00	kN	25.00	kN
q =	20.00	kN/m	20.00	kN/m
n binari =	2.00		2.00	
$\alpha_{tp1} =$	0.70		0.70	
$\alpha_{tp2} =$	1.00		1.00	
$\alpha_{tp3} =$	1.00		1.00	
$F_{t,spalla} =$	700.00	kN	700.00	kN
$F_{t,pila} =$	280.00	kN	280.00	kN

  	ITINERARIO NAPOLI – BARI RADDOPPIO TRATTA CANCELLO – BENEVENTO I° LOTTO FUNZIONALE CANCELLO - FRASSO TELESINO E VARIANTE ALLA LINEA ROMA-NAPOLI VIA CASSINO NEL COMUNE DI MADDALONI – PROGETTO ESECUTIVO												
Pile P01-P02-P03-P04: Relazione di calcolo	<table border="1"> <thead> <tr> <th>COMMESSA</th> <th>LOTTO</th> <th>CODIFICA</th> <th>DOCUMENTO</th> <th>REV.</th> <th>FOGLIO</th> </tr> </thead> <tbody> <tr> <td>IF1N</td> <td>01 E ZZ</td> <td>CL</td> <td>VI0205 001</td> <td>B</td> <td>97 di 140</td> </tr> </tbody> </table>	COMMESSA	LOTTO	CODIFICA	DOCUMENTO	REV.	FOGLIO	IF1N	01 E ZZ	CL	VI0205 001	B	97 di 140
COMMESSA	LOTTO	CODIFICA	DOCUMENTO	REV.	FOGLIO								
IF1N	01 E ZZ	CL	VI0205 001	B	97 di 140								

Tipo di vincolo = UL F
 Moltiplicatore = 0.00 1.00

Forza risultante

F1 = 0.00 kN 280.00 kN

Risultanti reazioni vincolari

F1 = 0 kN -280 kN
 F2 = 0
 F3 = 0
 M1 = 0
 M2 = 0
 M3 = 0

6.6.2 AZIONI DI FRENATURA E AVVIAMENTO

Gli effetti di interazione relativi alle azioni di frenatura e avviamento si tengono conto applicando ai valori della risultante un coefficiente α_n che tiene conto del rapporto di rigidità tra le pile del viadotto.

Cautelativamente si prendono in considerazione le condizioni più sfavorevoli, ossia:

- per le azioni di frenatura del modello di carico LM71 : $\alpha_{hp} = \alpha_{hp3} = 1,60$
- per le azioni di frenatura del modello di carico SW/2 : $\alpha_{hp} = \alpha_{hp3} = 1,30$
- per le azioni di avviamento di entrambi i modelli di carico : $\alpha_{hp} = \alpha_{hp3} \cdot \alpha_{hp4} = 1,60 \cdot 0,70 = 1,12$

6.6.3 INFLESSIONE DELL'IMPALCATO DOVUTA AI CARICHI VERTICALI DA TRAFFICO

Le azioni longitudinali da inflessione impalcato esercitano delle spinte che si contrappongono alle flessioni generate dall'eccentricità dei carichi verticali. Per questo motivo a vantaggio di sicurezza tali azioni vengono trascurate nei calcoli successivi.

  	ITINERARIO NAPOLI – BARI RADDOPPIO TRATTA CANCELLO – BENEVENTO I° LOTTO FUNZIONALE CANCELLO - FRASSO TELESINO E VARIANTE ALLA LINEA ROMA-NAPOLI VIA CASSINO NEL COMUNE DI MADDALONI – PROGETTO ESECUTIVO												
Pile P01-P02-P03-P04: Relazione di calcolo	<table border="1"> <tr> <td>COMMESSA</td> <td>LOTTO</td> <td>CODIFICA</td> <td>DOCUMENTO</td> <td>REV.</td> <td>FOGLIO</td> </tr> <tr> <td>IF1N</td> <td>01 E ZZ</td> <td>CL</td> <td>VI0205 001</td> <td>B</td> <td>98 di 140</td> </tr> </table>	COMMESSA	LOTTO	CODIFICA	DOCUMENTO	REV.	FOGLIO	IF1N	01 E ZZ	CL	VI0205 001	B	98 di 140
COMMESSA	LOTTO	CODIFICA	DOCUMENTO	REV.	FOGLIO								
IF1N	01 E ZZ	CL	VI0205 001	B	98 di 140								

6.7 AZIONI SISMICHE (E)

L'azione sismica di progetto è rappresentata da spettri di risposta definiti in base alla pericolosità sismica di base del sito ove sorge l'opera in oggetto, la vita di riferimento e le caratteristiche del sottosuolo.

Di seguito si riportano i parametri di input utilizzati per la definizione degli spettri di progetto orizzontali e verticali e i grafici degli stessi. Gli spettri di progetto così definiti vengono utilizzati nel modello di calcolo per la definizione di casi di analisi di tipo "dinamica lineare con spettro di risposta".

I valori del fattore di struttura q , adottati per la definizione delle azioni sismiche e per il dimensionamento degli elementi secondo i criteri della gerarchia delle resistenze, sono stati definiti in base ai criteri di seguito esplicitati.

Il valore del fattore di struttura q assunto per il dimensionamento delle fondazioni è pari a 1,5, in accordo con quanto indicato nel §1.8.3.3 [3] per le fondazioni su pali.

Per le strutture in elevazione, in accordo con quanto indicato nel §7.9.2.1 [1] per pile verticali inflesse in c.a. e progettazione in CD"B", si assume un fattore di struttura q_0 pari a 1,5 (vedi Tabella 1).

Per elementi duttili in c.a. i valori di q_0 riportati in Tabella 1, valgono se la sollecitazione di compressione normalizzata v_k non eccede il valore 0,3. Per valori di v_k compresi tra 0,3 e 0,6 (v_k non può eccedere 0,6) q_0 si ottiene dalla relazione seguente:

$$q_0(v_k) = q_0 - (v_k/0,3 - 1) \cdot (q_0 - 1)$$

Infine il fattore di struttura q da adottare nelle analisi si ottiene moltiplicando il q_0 così ottenuto per il coefficiente riduttivo K_R che dipende dalle caratteristiche di regolarità della struttura.

In generale il requisito di regolarità e quindi il valore di K_R si determinano a posteriori secondo il procedimento indicato nel §7.9.2.1 [1]. Per il caso in esame si ipotizza un K_R pari a 1.

$$q_0(v_k) = q_0 = 1,5$$

$$q = q_0(v_k) \cdot K_R = 1,5.$$

Tipi di elementi duttili	q_0	
	CD"B"	CD"A"
Pile in cemento armato		
Pile verticali inflesse	1,5	3,5 λ
Elementi di sostegno inclinati inflessi	1,2	2,1 λ
Pile in acciaio:		
Pile verticali inflesse	1,5	3,5
Elementi di sostegno inclinati inflessi	1,2	2,0
Pile con controventi concentrici	1,5	2,5
Pile con controventi eccentrici	-	3,5
Spalle rigidamente connesse con l'impalcato		
In generale	1,5	1,5
Strutture che si muovono col terreno ⁷	1,0	1,0
Archi	1,2	2,0

⁷ Le strutture che si muovono con il terreno non subiscono amplificazione dell'accelerazione del suolo. Esse sono caratterizzate da periodi naturali di vibrazione in direzione orizzontale molto bassi ($T \leq 0,03$ s). Appartengono a questa categoria le spalle connesse, mediante collegamenti flessibili, all'impalcato.

Tabella 1 – Valori del fattore struttura q_0 per differenti tipologie di pile e spalle - tabella 7.9.1 [1]

  	ITINERARIO NAPOLI – BARI RADDOPPIO TRATTA CANCELLO – BENEVENTO I° LOTTO FUNZIONALE CANCELLO - FRASSO TELESINO E VARIANTE ALLA LINEA ROMA-NAPOLI VIA CASSINO NEL COMUNE DI MADDALONI – PROGETTO ESECUTIVO												
Pile P01-P02-P03-P04: Relazione di calcolo	<table border="1"> <tr> <td>COMMESSA</td> <td>LOTTO</td> <td>CODIFICA</td> <td>DOCUMENTO</td> <td>REV.</td> <td>FOGLIO</td> </tr> <tr> <td>IF1N</td> <td>01 E ZZ</td> <td>CL</td> <td>VI0205 001</td> <td>B</td> <td>99 di 140</td> </tr> </table>	COMMESSA	LOTTO	CODIFICA	DOCUMENTO	REV.	FOGLIO	IF1N	01 E ZZ	CL	VI0205 001	B	99 di 140
COMMESSA	LOTTO	CODIFICA	DOCUMENTO	REV.	FOGLIO								
IF1N	01 E ZZ	CL	VI0205 001	B	99 di 140								

6.7.1 SPETTRI DI PROGETTO ALLO SLV

Coordinate geografiche della pila:

PILA	Latitudine	Longitudine
	[°]	[°]
P01	41.02141	14.40199
P02	41.02158	14.40177
P03	41.02173	14.40156
P04	41.02188	14.40136

Strategia di progettazione

Vita nominale $V_N =$	75	anni
Coefficiente d'uso $c_u =$	1.5	
Vita di riferimento $V_R =$	112.5	anni
Categoria di sottosuolo =	B	
Categoria topografica =	T1	

Per la definizione della categoria di suolo si rimanda all'elaborato progettuale "IF1N.0.1.E.ZZ.RB.GE.00.0.5.001.A - Relazione geotecnica generale di linea delle opere all'aperto".

$q_0 =$	1,50
$K_r =$	1,00

Il valore di v_k è pari a :

0.05

Fattore di struttura $q =$	1,50	
Smorzamento $\xi =$	5,00	%

  	ITINERARIO NAPOLI – BARI RADDOPPIO TRATTA CANCELLO – BENEVENTO I° LOTTO FUNZIONALE CANCELLO - FRASSO TELESINO E VARIANTE ALLA LINEA ROMA-NAPOLI VIA CASSINO NEL COMUNE DI MADDALONI – PROGETTO ESECUTIVO												
Pile P01-P02-P03-P04: Relazione di calcolo	<table border="1"> <thead> <tr> <th>COMMESSA</th> <th>LOTTO</th> <th>CODIFICA</th> <th>DOCUMENTO</th> <th>REV.</th> <th>FOGLIO</th> </tr> </thead> <tbody> <tr> <td>IF1N</td> <td>01 E ZZ</td> <td>CL</td> <td>VI0205 001</td> <td>B</td> <td>100 di 140</td> </tr> </tbody> </table>	COMMESSA	LOTTO	CODIFICA	DOCUMENTO	REV.	FOGLIO	IF1N	01 E ZZ	CL	VI0205 001	B	100 di 140
COMMESSA	LOTTO	CODIFICA	DOCUMENTO	REV.	FOGLIO								
IF1N	01 E ZZ	CL	VI0205 001	B	100 di 140								

6.7.1.1 PARAMETRI PER LA DEFINIZIONE DELLO SPETTRO ORIZZONTALE

Tr	1068	anni
ag_o	0.200	g
Fo	2.478	
S	1.200	
TB	0.174	sec
TC	0.522	sec
TD	2.398	sec

6.7.1.2 PARAMETRI PER LA DEFINIZIONE DELLO SPETTRO VERTICALE

Tr	1068	anni
ag_v	0.120	g
Fv	2.478	
S	1.000	
TB	0.050	sec
TC	0.150	sec
TD	1.000	sec

  	ITINERARIO NAPOLI – BARI RADDOPPIO TRATTA CANCELLO – BENEVENTO 1° LOTTO FUNZIONALE CANCELLO - FRASSO TELESINO E VARIANTE ALLA LINEA ROMA-NAPOLI VIA CASSINO NEL COMUNE DI MADDALONI – PROGETTO ESECUTIVO												
Pile P01-P02-P03-P04: Relazione di calcolo	<table border="1"> <thead> <tr> <th>COMMESSA</th> <th>LOTTO</th> <th>CODIFICA</th> <th>DOCUMENTO</th> <th>REV.</th> <th>FOGLIO</th> </tr> </thead> <tbody> <tr> <td>IF1N</td> <td>01 E ZZ</td> <td>CL</td> <td>VI0205 001</td> <td>B</td> <td>101 di 140</td> </tr> </tbody> </table>	COMMESSA	LOTTO	CODIFICA	DOCUMENTO	REV.	FOGLIO	IF1N	01 E ZZ	CL	VI0205 001	B	101 di 140
COMMESSA	LOTTO	CODIFICA	DOCUMENTO	REV.	FOGLIO								
IF1N	01 E ZZ	CL	VI0205 001	B	101 di 140								

Spettri di risposta (componenti orizz. e vert.) per lo stato limite: SLV

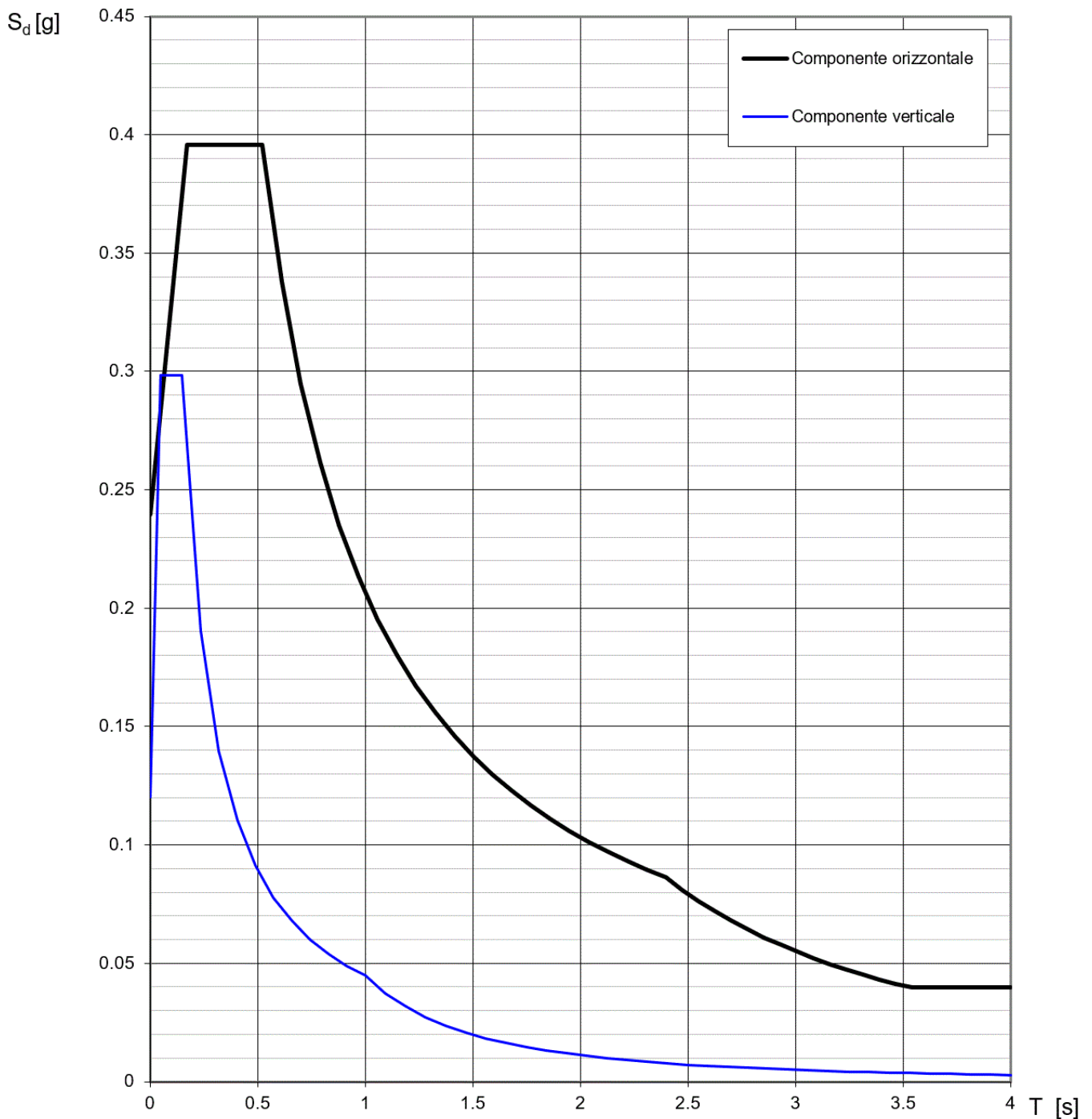


Figura 42 – Spettro elastico di progetto allo SLV – Componente orizzontale e verticale

  	ITINERARIO NAPOLI – BARI RADDOPPIO TRATTA CANCELLO – BENEVENTO I° LOTTO FUNZIONALE CANCELLO - FRASSO TELESINO E VARIANTE ALLA LINEA ROMA-NAPOLI VIA CASSINO NEL COMUNE DI MADDALONI – PROGETTO ESECUTIVO												
Pile P01-P02-P03-P04: Relazione di calcolo	<table border="1"> <tr> <td>COMMESSA</td> <td>LOTTO</td> <td>CODIFICA</td> <td>DOCUMENTO</td> <td>REV.</td> <td>FOGLIO</td> </tr> <tr> <td>IF1N</td> <td>01 E ZZ</td> <td>CL</td> <td>VI0205 001</td> <td>B</td> <td>102 di 140</td> </tr> </table>	COMMESSA	LOTTO	CODIFICA	DOCUMENTO	REV.	FOGLIO	IF1N	01 E ZZ	CL	VI0205 001	B	102 di 140
COMMESSA	LOTTO	CODIFICA	DOCUMENTO	REV.	FOGLIO								
IF1N	01 E ZZ	CL	VI0205 001	B	102 di 140								

7 COMBINAZIONI DI CARICO

Di seguito vengono riportate le tabelle che riepilogano le condizioni di carico elementari (C.C.E.) considerate.

	C.C.E.	Descrizione
G - Permanenti	G1	Pesi propri
	G21	Ballast
	G22	Permanenti non strutturali
Q1 - Variabili verticali	Q11	Disposizione 1 (massimizza N)
	Q12	Disposizione 2 (massimizza M2)
	Q13	Disposizione 3 (massimizza M1)
	Q14	Disposizione 4 (massimizza M1)
	Q15	Disposizione 5 (massimizza N+M2)
	Q16	Disposizione 6 (massimizza N)
	Q17	Disposizione 7 (minimizza N)
Q2 - Avviamento e frenatura	Q21	Disposizione 1 (massimizza N)
	Q22	Disposizione 2 (massimizza M2)
	Q23	Disposizione 3 (massimizza M1)
	Q24	Disposizione 4 (massimizza M1)
	Q25	Disposizione 5 (massimizza N+M2)
	Q26	Disposizione 6 (massimizza N)
	Q27	Disposizione 7 (minimizza N)
Q3 - Centrifuga	Q31	Disposizione 1 (massimizza N)
	Q32	Disposizione 2 (massimizza M2)
	Q33	Disposizione 3 (massimizza M1)
	Q34	Disposizione 4 (massimizza M1)
	Q35	Disposizione 5 (massimizza N+M2)
	Q36	Disposizione 6 (massimizza N)
	Q37	Disposizione 7 (minimizza N)
Q4 - Serpeggio	Q41	Disposizione 1 (massimizza N)
	Q42	Disposizione 2 (massimizza M2)
	Q43	Disposizione 3 (massimizza M1)
	Q44	Disposizione 4 (massimizza M1)
	Q45	Disposizione 5 (massimizza N+M2)
	Q46	Disposizione 6 (massimizza N)
	Q47	Disposizione 7 (minimizza N)
Variabili	Q51	Vento
Azioni interne	Q61	Attrito su vincoli
Effetti d'interazione	Q71	Variazioni termiche
E - Azioni sismiche	E1	Sisma x
	E2	Sisma y
	E3	Sisma z

  	ITINERARIO NAPOLI – BARI RADDOPPIO TRATTA CANCELLO – BENEVENTO I° LOTTO FUNZIONALE CANCELLO - FRASSO TELESINO E VARIANTE ALLA LINEA ROMA-NAPOLI VIA CASSINO NEL COMUNE DI MADDALONI – PROGETTO ESECUTIVO					
	Pile P01-P02-P03-P04: Relazione di calcolo	COMMESSA IF1N	LOTTO 01 E ZZ	CODIFICA CL	DOCUMENTO VI0205 001	REV. B

Le combinazioni di calcolo sono state definite sulla base dei criteri enunciati nei §1.8.2.3 [3], §1.8.3.1 [3] e §1.8.3.2 [3] di cui si riportano di seguito alcuni stralci.

TIPO DI CARICO	Azioni verticali		Azioni orizzontali			Commenti
	Carico verticale (1)	Treno scarico	Frenatura e avviamento	Centrifuga	Serpeggio	
Gruppo 1 (2)	1,00	-	0,5 (0,0)	1,0 (0,0)	1,0 (0,0)	massima azione verticale e laterale
Gruppo 2 (2)	-	1,00	0,00	1,0 (0,0)	1,0(0,0)	stabilità laterale
Gruppo 3 (2)	1,0 (0,5)	-	1,00	0,5 (0,0)	0,5 (0,0)	massima azione longitudinale
Gruppo 4	0,8 (0,6; 0,4)	-	0,8 (0,6; 0,4)	0,8 (0,6; 0,4)	0,8 (0,6; 0,4)	fessurazione

Azione dominante
 (1) Includendo tutti i fattori ad essi relativi (Φ, α , ecc...)
 (2) La simultaneità di due o tre valori caratteristici interi (assunzione di diversi coefficienti pari ad 1), sebbene improbabile, è stata considerata come semplificazione per i gruppi di carico 1, 2, 3 senza che ciò abbia significative conseguenze progettuali.

Tabella 2 – Definizione dei gruppi di carico

		Coefficiente	EQU ⁽¹⁾	A1 STR	A2 GEO	Combinazione eccezionale	Combinazione Sismica
Carichi permanenti	favorevoli	γ_{G1}	0,90	1,00	1,00	1,00	1,00
	sfavorevoli		1,10	1,35	1,00	1,00	1,00
Carichi permanenti non strutturali ⁽²⁾	favorevoli	γ_{G2}	0,00	0,00	0,00	1,00	1,00
	sfavorevoli		1,50	1,50	1,30	1,00	1,00
Ballast ⁽³⁾	favorevoli	γ_B	0,90	1,00	1,00	1,00	1,00
	sfavorevoli		1,50	1,50	1,30	1,00	1,00
Carichi variabili da traffico ⁽⁴⁾	favorevoli	γ_Q	0,00	0,00	0,00	0,00	0,00
	sfavorevoli		1,45	1,45	1,25	0,20 ⁽⁵⁾	0,20 ⁽⁵⁾
Carichi variabili	favorevoli	γ_{Qi}	0,00	0,00	0,00	0,00	0,00
	sfavorevoli		1,50	1,50	1,30	1,00	0,00
Precompressione	favorevole	γ_P	0,90	1,00	1,00	1,00	1,00
	sfavorevole		1,00 ⁽⁶⁾	1,00 ⁽⁷⁾	1,00	1,00	1,00

(1) Equilibrio che non coinvolga i parametri di deformabilità e resistenza del terreno; altrimenti si applicano i valori di GEO.
 (2) Nel caso in cui i carichi permanenti non strutturali (ad es. carichi permanenti portati) siano compiutamente definiti si potranno adottare gli stessi coefficienti validi per le azioni permanenti.
 (3) Quando si prevedano variazioni significative del carico dovuto al ballast, se ne dovrà tener conto esplicitamente nelle verifiche.
 (4) Le componenti delle azioni da traffico sono introdotte in combinazione considerando uno dei gruppi di carico gr della Tab. 5.2.IV.
 (5) Aliquota di carico da traffico da considerare.
 (6) 1,30 per instabilità in strutture con precompressione esterna
 (7) 1,20 per effetti locali

Tabella 3 – Coefficienti parziali di sicurezza per le combinazioni agli SLU

  	ITINERARIO NAPOLI – BARI RADDOPPIO TRATTA CANCELLO – BENEVENTO I° LOTTO FUNZIONALE CANCELLO - FRASSO TELESINO E VARIANTE ALLA LINEA ROMA-NAPOLI VIA CASSINO NEL COMUNE DI MADDALONI – PROGETTO ESECUTIVO												
Pile P01-P02-P03-P04: Relazione di calcolo	<table border="1"> <tr> <td>COMMESSA</td> <td>LOTTO</td> <td>CODIFICA</td> <td>DOCUMENTO</td> <td>REV.</td> <td>FOGLIO</td> </tr> <tr> <td>IF1N</td> <td>01 E ZZ</td> <td>CL</td> <td>VI0205 001</td> <td>B</td> <td>104 di 140</td> </tr> </table>	COMMESSA	LOTTO	CODIFICA	DOCUMENTO	REV.	FOGLIO	IF1N	01 E ZZ	CL	VI0205 001	B	104 di 140
COMMESSA	LOTTO	CODIFICA	DOCUMENTO	REV.	FOGLIO								
IF1N	01 E ZZ	CL	VI0205 001	B	104 di 140								

Azioni		Ψ_0	Ψ_1	Ψ_2
Azioni singole da traffico	Carico sul rilevato a tergo delle spalle	0,80	0,50	0,0
	Azioni aerodinamiche generate dal transito dei convogli	0,80	0,50	0,0
Gruppi di carico	σ_1	0,80 ⁽²⁾	0,80 ⁽¹⁾	0,0
	σ_2	0,80 ⁽²⁾	0,80 ⁽¹⁾	-
	σ_3	0,80 ⁽²⁾	0,80 ⁽¹⁾	0,0
	σ_4	1,00	1,00 ⁽¹⁾	0,0
Azioni del vento	F_{Wk}	0,60	0,50	0,0
Azioni da neve	in fase di esecuzione	0,80	0,0	0,0
	SLU e SLE	0,0	0,0	0,0
Azioni termiche	T_k	0,60	0,60	0,50

(1) 0,80 se è carico solo un binario, 0,60 se sono carichi due binari e 0,40 se sono carichi tre o più binari.

(2) Quando come azione di base venga assunta quella del vento, i coefficienti Ψ_0 relativi ai gruppi di carico delle azioni da traffico vanno assunti pari a 0,0.

	Azioni	Ψ_0	Ψ_1	Ψ_2
Azioni singole da traffico	Treno di carico LM 71	0,80 ⁽³⁾	(1)	0,0
	Treno di carico SW /0	0,80 ⁽³⁾	0,80	0,0
	Treno di carico SW/2	0,0 ⁽³⁾	0,80	0,0
	Treno scarico	1,00 ⁽³⁾	-	-
	Centrifuga	(2) (3)	(2)	(2)
	Azione laterale (serpeggio)	1,00 ⁽³⁾	0,80	0,0

(1) 0,80 se è carico solo un binario, 0,60 se sono carichi due binari e 0,40 se sono carichi tre o più binari.

(2) Si usano gli stessi coefficienti Ψ adottati per i carichi che provocano dette azioni.

(3) Quando come azione di base venga assunta quella del vento, i coefficienti Ψ_0 relativi ai gruppi di carico delle azioni da traffico vanno assunti pari a 0,0.

Tabella 4 – Coefficienti di combinazione ψ delle azioni

Le combinazioni di carico (C.C.C.) definite e considerate nei calcoli successivi sono riportate nell'allegato 1 alla presente relazione.

  	ITINERARIO NAPOLI – BARI RADDOPPIO TRATTA CANCELLO – BENEVENTO I° LOTTO FUNZIONALE CANCELLO - FRASSO TELESINO E VARIANTE ALLA LINEA ROMA-NAPOLI VIA CASSINO NEL COMUNE DI MADDALONI – PROGETTO ESECUTIVO												
Pile P01-P02-P03-P04: Relazione di calcolo	<table border="1"> <tr> <td>COMMESSA</td> <td>LOTTO</td> <td>CODIFICA</td> <td>DOCUMENTO</td> <td>REV.</td> <td>FOGLIO</td> </tr> <tr> <td>IF1N</td> <td>01 E ZZ</td> <td>CL</td> <td>VI0205 001</td> <td>B</td> <td>105 di 140</td> </tr> </table>	COMMESSA	LOTTO	CODIFICA	DOCUMENTO	REV.	FOGLIO	IF1N	01 E ZZ	CL	VI0205 001	B	105 di 140
COMMESSA	LOTTO	CODIFICA	DOCUMENTO	REV.	FOGLIO								
IF1N	01 E ZZ	CL	VI0205 001	B	105 di 140								

Si riporta un quadro sintetico delle combinazioni prese in considerazione:

Gruppo	Num.
SLU-STR	70 combinazioni
SLU-GEO (appr. A2)	70 combinazioni
SIS-SLV	202 combinazioni
SLE-RAR/FRE	105 combinazioni
SLE-QP	2 combinazioni

  	ITINERARIO NAPOLI – BARI RADDOPPIO TRATTA CANCELLO – BENEVENTO I° LOTTO FUNZIONALE CANCELLO - FRASSO TELESINO E VARIANTE ALLA LINEA ROMA-NAPOLI VIA CASSINO NEL COMUNE DI MADDALONI – PROGETTO ESECUTIVO												
Pile P01-P02-P03-P04: Relazione di calcolo	<table border="1"> <thead> <tr> <th>COMMESSA</th> <th>LOTTO</th> <th>CODIFICA</th> <th>DOCUMENTO</th> <th>REV.</th> <th>FOGLIO</th> </tr> </thead> <tbody> <tr> <td>IF1N</td> <td>01 E ZZ</td> <td>CL</td> <td>VI0205 001</td> <td>B</td> <td>106 di 140</td> </tr> </tbody> </table>	COMMESSA	LOTTO	CODIFICA	DOCUMENTO	REV.	FOGLIO	IF1N	01 E ZZ	CL	VI0205 001	B	106 di 140
COMMESSA	LOTTO	CODIFICA	DOCUMENTO	REV.	FOGLIO								
IF1N	01 E ZZ	CL	VI0205 001	B	106 di 140								

8 ANALISI DELLE SOLLECITAZIONI

8.1 MODELLO DI CALCOLO E.F.

Il calcolo delle sollecitazioni lungo il fusto viene effettuato mediante una schematizzazione a mensola. Per gli scarichi in fondazione e la ripartizione degli sforzi sui pali si è ipotizzata una platea infinitamente rigida.

8.2 MASSE E FORZE SISMICHE

Secondo le indicazioni del §7.9.4.1 delle NTC2008 [1], nel caso di ponte a travate semplicemente appoggiate, i requisiti necessari per applicare l'analisi statica lineare possono ritenersi soddisfatti nel seguente caso:

- per entrambe le direzioni longitudinale e trasversale, purché la massa efficace di ciascuna pila non sia superiore ad 1/5 della massa di impalcato da essa portata (per pile a sezione costante, la massa efficace può essere assunta pari alla massa della metà superiore della pila).

Nel presente caso tale requisito risulta soddisfatto.

Per la determinazione delle sollecitazioni sui diversi elementi costituenti la pila si procede dunque con un'analisi statica lineare con spettro di risposta su oscillatore semplice.

Nel caso in esame si ha che:

- in direzione X la massa sismica è rappresentata dalle masse afferenti all'impalcato vincolato alla pila mediante gli apparecchi d'appoggio fissi e si considera agente alla quota degli apparecchi d'appoggio;
- in direzione Y la massa sismica è rappresentata della metà della massa afferente a ciascun impalcato e si considerano agenti alla quota baricentrica degli impalcati stessi;
- in direzione Z la massa sismica è rappresentata della metà della massa di ciascun impalcato ciascuna delle quali agisce nel centro geometrico degli apparecchi d'appoggio degli impalcati stessi.

  	ITINERARIO NAPOLI – BARI RADDOPPIO TRATTA CANCELLO – BENEVENTO I° LOTTO FUNZIONALE CANCELLO - FRASSO TELESINO E VARIANTE ALLA LINEA ROMA-NAPOLI VIA CASSINO NEL COMUNE DI MADDALONI – PROGETTO ESECUTIVO												
Pile P01-P02-P03-P04: Relazione di calcolo	<table border="1"> <thead> <tr> <th>COMMESSA</th> <th>LOTTO</th> <th>CODIFICA</th> <th>DOCUMENTO</th> <th>REV.</th> <th>FOGLIO</th> </tr> </thead> <tbody> <tr> <td>IF1N</td> <td>01 E ZZ</td> <td>CL</td> <td>VI0205 001</td> <td>B</td> <td>107 di 140</td> </tr> </tbody> </table>	COMMESSA	LOTTO	CODIFICA	DOCUMENTO	REV.	FOGLIO	IF1N	01 E ZZ	CL	VI0205 001	B	107 di 140
COMMESSA	LOTTO	CODIFICA	DOCUMENTO	REV.	FOGLIO								
IF1N	01 E ZZ	CL	VI0205 001	B	107 di 140								

IMPALCATO-SX

IMPALCATO-DX

Masse sismiche afferenti agli impalcati

Massa impalcato =	11652	kN	11652	kN
Carico max traffico LM71 =	2807	kN	2807	kN
Carico max traffico SW/2 =	3750	kN	3750	kN
Carico max traffico LM71+SW/2 =	6557	kN	6557	kN
Massa traffico (psi=0.2) =	1311	kN	1311	kN
Massa impalcato (perm+treni) =	12963	kN	12963	kN
tipologia vincolo =	UL		F	
Massa imp. longitudinale =	0	kN	12963	kN
Massa imp. trasversale =	6482	kN	6482	kN
Massa imp. totale longitudinale =	12963	kN		
Massa imp. totale trasversale =	12963	kN		

Masse sismiche afferenti alla pila

Massa pulvino =	1226	kN
Massa fusto =	1694	kN
Massa efficace pila (M*) =	1884	kN

Requisito analisi statica lineare

Massa efficace pila (M*) =	1884	kN
1/5 M impalcato (min[trasv;long]) =	2593	kN

M* < 1/5 Mimp. Il requisito per l'analisi statica lineare è soddisfatto.

Massa totale

M tot longitudinale =	14847	kN
M tot trasversale =	14847	kN
M tot verticale =	14847	kN

  	ITINERARIO NAPOLI – BARI RADDOPPIO TRATTA CANCELLO – BENEVENTO I° LOTTO FUNZIONALE CANCELLO - FRASSO TELESINO E VARIANTE ALLA LINEA ROMA-NAPOLI VIA CASSINO NEL COMUNE DI MADDALONI – PROGETTO ESECUTIVO												
Pile P01-P02-P03-P04: Relazione di calcolo	<table border="1"> <thead> <tr> <th>COMMESSA</th> <th>LOTTO</th> <th>CODIFICA</th> <th>DOCUMENTO</th> <th>REV.</th> <th>FOGLIO</th> </tr> </thead> <tbody> <tr> <td>IF1N</td> <td>01 E ZZ</td> <td>CL</td> <td>VI0205 001</td> <td>B</td> <td>108 di 140</td> </tr> </tbody> </table>	COMMESSA	LOTTO	CODIFICA	DOCUMENTO	REV.	FOGLIO	IF1N	01 E ZZ	CL	VI0205 001	B	108 di 140
COMMESSA	LOTTO	CODIFICA	DOCUMENTO	REV.	FOGLIO								
IF1N	01 E ZZ	CL	VI0205 001	B	108 di 140								

Analisi statica lineare

Ac	10.425	m ²
H1	6.50	m
H2	1.45	m
H3	0.45	m
Hpila	8.40	m
yg_imp	2.08	m

Ecm	33643	N*/mm ²
	33643000	kN/m ²

Dir. longitudinale

llong	9.4	m ⁴
Wlong	14847	kN/m
Mlong	1514	ton
Lvlong	8.4	m
Klong	1.6E+06	kN/m
Tlong	0.193	sec
Sdlong	0.396	g

Dir. trasversale

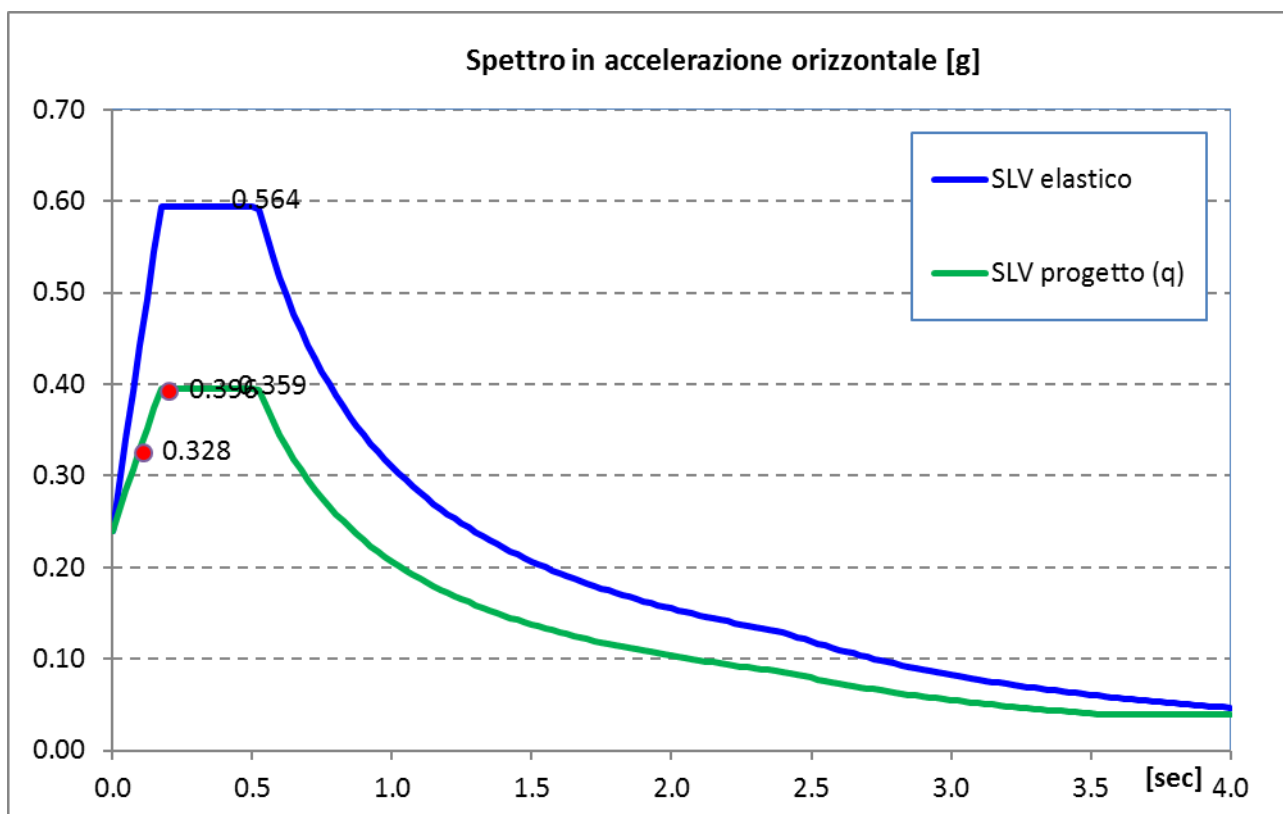
ltrasv	69.8	mm ⁴
Wtrasv	14847	ton
Mtrasv	1514	ton
Lvtrasv	10.5	m
Ktrasv	6.1E+06	kN/m
Ttrasv	0.099	sec
Sdtrasv	0.328	g

Flong **5874** **kN**

Ftrasv **4871** **kN**

  	ITINERARIO NAPOLI – BARI RADDOPPIO TRATTA CANCELLO – BENEVENTO I° LOTTO FUNZIONALE CANCELLO - FRASSO TELESINO E VARIANTE ALLA LINEA ROMA-NAPOLI VIA CASSINO NEL COMUNE DI MADDALONI – PROGETTO ESECUTIVO												
Pile P01-P02-P03-P04: Relazione di calcolo	<table border="1"> <thead> <tr> <th>COMMESSA</th> <th>LOTTO</th> <th>CODIFICA</th> <th>DOCUMENTO</th> <th>REV.</th> <th>FOGLIO</th> </tr> </thead> <tbody> <tr> <td>IF1N</td> <td>01 E ZZ</td> <td>CL</td> <td>VI0205 001</td> <td>B</td> <td>109 di 140</td> </tr> </tbody> </table>	COMMESSA	LOTTO	CODIFICA	DOCUMENTO	REV.	FOGLIO	IF1N	01 E ZZ	CL	VI0205 001	B	109 di 140
COMMESSA	LOTTO	CODIFICA	DOCUMENTO	REV.	FOGLIO								
IF1N	01 E ZZ	CL	VI0205 001	B	109 di 140								

Nel seguente diagramma sono evidenziate le coordinate spettrali SLV corrispondenti ai valori dei periodi T_{long} [sec] e T_{trasv} [sec] calcolati in precedenza.



  	ITINERARIO NAPOLI – BARI RADDOPPIO TRATTA CANCELLO – BENEVENTO I° LOTTO FUNZIONALE CANCELLO - FRASSO TELESINO E VARIANTE ALLA LINEA ROMA-NAPOLI VIA CASSINO NEL COMUNE DI MADDALONI – PROGETTO ESECUTIVO												
Pile P01-P02-P03-P04: Relazione di calcolo	<table border="1"> <tr> <td>COMMESSA</td> <td>LOTTO</td> <td>CODIFICA</td> <td>DOCUMENTO</td> <td>REV.</td> <td>FOGLIO</td> </tr> <tr> <td>IF1N</td> <td>01 E ZZ</td> <td>CL</td> <td>VI0205 001</td> <td>B</td> <td>110 di 140</td> </tr> </table>	COMMESSA	LOTTO	CODIFICA	DOCUMENTO	REV.	FOGLIO	IF1N	01 E ZZ	CL	VI0205 001	B	110 di 140
COMMESSA	LOTTO	CODIFICA	DOCUMENTO	REV.	FOGLIO								
IF1N	01 E ZZ	CL	VI0205 001	B	110 di 140								

Il §7.9.3 [1] raccomanda di assumere un'eccentricità accidentale nel posizionamento delle masse sismiche riferite all'impalcato, pari a 0,03 volte la dimensione dell'impalcato stesso misurata perpendicolarmente alla direzione dell'azione sismica.

Per la pila in oggetto si avrebbe:

§7.9.3 [1] - Eccentricità accidentale nel posizionamento delle masse sismiche

	<u>IMP. SX</u>		<u>IMP. DX</u>	
b =	13.7	m	13.7	m
L =	25.0	m	25.0	m
Sisma long (X): $e_y = 0,03 \cdot b =$	0.411	m	0.411	m
Sisma trasv (Y): $e_x = 0,03 \cdot L =$	0.75	m	0.75	m

  	ITINERARIO NAPOLI – BARI RADDOPPIO TRATTA CANCELLO – BENEVENTO I° LOTTO FUNZIONALE CANCELLO - FRASSO TELESINO E VARIANTE ALLA LINEA ROMA-NAPOLI VIA CASSINO NEL COMUNE DI MADDALONI – PROGETTO ESECUTIVO												
Pile P01-P02-P03-P04: Relazione di calcolo	<table border="0" style="width: 100%;"> <tr> <td>COMMESSA</td> <td>LOTTO</td> <td>CODIFICA</td> <td>DOCUMENTO</td> <td>REV.</td> <td>FOGLIO</td> </tr> <tr> <td>IF1N</td> <td>01 E ZZ</td> <td>CL</td> <td>VI0205 001</td> <td>B</td> <td>111 di 140</td> </tr> </table>	COMMESSA	LOTTO	CODIFICA	DOCUMENTO	REV.	FOGLIO	IF1N	01 E ZZ	CL	VI0205 001	B	111 di 140
COMMESSA	LOTTO	CODIFICA	DOCUMENTO	REV.	FOGLIO								
IF1N	01 E ZZ	CL	VI0205 001	B	111 di 140								

8.3 CARICHI ELEMENTARI

8.3.1 RIEPILOGO DEGLI SCARICHI DALL'IMPALCATO

8.3.1.1 SCARICHI IMPALCATO SX RISPETTO A BARICENTRO APPOGGI:

IMPALCATO 4 CASSONCINI DA 25 m							
SCARICHI IMPALCATO SX RISPETTO A BARICENTRO APPOGGI							
C.C.E.	Descrizione	F1	F2	F3	M1	M2	M3
		kN	kN	kN	kNm	kNm	kNm
G - Permanenti							
G1	Pesi propri	0	0	-3303	0	0	0
G2	Ballast	0	0	-1750	0	0	0
G2	Permanenti non strutturali	0	0	-774	0	0	0
Q1 - Variabili verticali							
Q11	Disposizione 1 (massimizza N)	0	0	-2816	-282	0	0
Q12	Disposizione 2 (massimizza M2)	0	0	0	0	0	0
Q13	Disposizione 3 (massimizza M1)	0	0	-1451	-2903	0	0
Q14	Disposizione 4 (massimizza M1)	0	0	-1365	-2839	0	0
Q15	Disposizione 5 (massimizza N+M2)	0	0	-1965	-271	0	0
Q16	Disposizione 6 (massimizza N)	0	0	-2730	-109	0	0
Q17	Disposizione 7 (minimizza N)	0	0	0	0	0	0
Q2 - Avviamento e frenatura							
Q21	Disposizione 1 (massimizza N)	0	0	0	0	0	0
Q22	Disposizione 2 (massimizza M2)	0	0	0	0	0	0
Q23	Disposizione 3 (massimizza M1)	0	0	0	0	0	0
Q24	Disposizione 4 (massimizza M1)	0	0	0	0	0	0
Q25	Disposizione 5 (massimizza N+M2)	0	0	0	0	0	0
Q26	Disposizione 6 (massimizza N)	0	0	0	0	0	0
Q27	Disposizione 7 (minimizza N)	0	0	0	0	0	0
Q3 - Centrifuga							
Q31	Disposizione 1 (massimizza N)	0	235	0	-1193	0	0
Q32	Disposizione 2 (massimizza M2)	0	0	0	0	0	0
Q33	Disposizione 3 (massimizza M1)	0	76	0	-387	0	0
Q34	Disposizione 4 (massimizza M1)	0	159	0	-806	0	0
Q35	Disposizione 5 (massimizza N+M2)	0	169	0	-857	0	0
Q36	Disposizione 6 (massimizza N)	0	230	0	-1170	0	0
Q37	Disposizione 7 (minimizza N)	0	0	0	0	0	0
Q4 - Serpeggio							
Q41	Disposizione 1 (massimizza N)	0	105	0	-344	0	0
Q42	Disposizione 2 (massimizza M2)	0	0	0	0	0	0

  	ITINERARIO NAPOLI – BARI RADDOPPIO TRATTA CANCELLO – BENEVENTO I° LOTTO FUNZIONALE CANCELLO - FRASSO TELESINO E VARIANTE ALLA LINEA ROMA-NAPOLI VIA CASSINO NEL COMUNE DI MADDALONI – PROGETTO ESECUTIVO												
Pile P01-P02-P03-P04: Relazione di calcolo	<table border="1"> <tr> <td>COMMESSA</td> <td>LOTTO</td> <td>CODIFICA</td> <td>DOCUMENTO</td> <td>REV.</td> <td>FOGLIO</td> </tr> <tr> <td>IF1N</td> <td>01 E ZZ</td> <td>CL</td> <td>VI0205 001</td> <td>B</td> <td>112 di 140</td> </tr> </table>	COMMESSA	LOTTO	CODIFICA	DOCUMENTO	REV.	FOGLIO	IF1N	01 E ZZ	CL	VI0205 001	B	112 di 140
COMMESSA	LOTTO	CODIFICA	DOCUMENTO	REV.	FOGLIO								
IF1N	01 E ZZ	CL	VI0205 001	B	112 di 140								

Q43	Disposizione 3 (massimizza M1)	0	50	0	-164	0	0
Q44	Disposizione 4 (massimizza M1)	0	55	0	-180	0	0
Q45	Disposizione 5 (massimizza N+M2)	0	105	0	-344	0	0
Q46	Disposizione 6 (massimizza N)	0	105	0	-344	0	0
Q47	Disposizione 7 (minimizza N)	0	0	0	0	0	0
Q5 - Variabili							
Q51	Vento	0	419	0	-2351	0	0
Q6 - Azioni indirette							
Q61	Attrito su vincoli	0	0	0	0	0	0
Q7 - Effetti d'interazione							
Q71	Variazioni termiche	0	0	0	0	0	0
E - Azioni sismiche							
E1	Sisma x	0	0	0	0	0	0
E2	Sisma y	0	2435	0	-5066	0	1827
E3	Sisma z	0	0	-1933	-794	1450	0

  	ITINERARIO NAPOLI – BARI RADDOPPIO TRATTA CANCELLO – BENEVENTO I° LOTTO FUNZIONALE CANCELLO - FRASSO TELESINO E VARIANTE ALLA LINEA ROMA-NAPOLI VIA CASSINO NEL COMUNE DI MADDALONI – PROGETTO ESECUTIVO
Pile P01-P02-P03-P04: Relazione di calcolo	COMMESSA LOTTO CODIFICA DOCUMENTO REV. FOGLIO IF1N 01 E ZZ CL VI0205 001 B 113 di 140

8.3.1.2 SCARICHI IMPALCATO DX RISPETTO A BARICENTRO APPOGGI:

IMPALCATO 4 CASSONCINI DA 25 m							
SCARICHI IMPALCATO DX RISPETTO A BARICENTRO APPOGGI							
C.C.E.	Descrizione	F1	F2	F3	M1	M2	M3
		kN	kN	kN	kNm	kNm	kNm
G - Permanenti							
G1	Pesi propri	0	0	-3303	0	0	0
G2	Ballast	0	0	-1750	0	0	0
G2	Permanenti non strutturali	0	0	-774	0	0	0
Q1 - Variabili verticali							
Q11	Disposizione 1 (massimizza N)	0	0	-2876	-402	0	0
Q12	Disposizione 2 (massimizza M2)	0	0	-3559	-518	0	0
Q13	Disposizione 3 (massimizza M1)	0	0	-1511	-3022	0	0
Q14	Disposizione 4 (massimizza M1)	0	0	-1365	-2839	0	0
Q15	Disposizione 5 (massimizza N+M2)	0	0	-3559	-518	0	0
Q16	Disposizione 6 (massimizza N)	0	0	-2730	-109	0	0
Q17	Disposizione 7 (minimizza N)	0	0	-2977	-1634	0	0
Q2 - Avviamento e frenatura							
Q21	Disposizione 1 (massimizza N)	1835	0	0	0	0	0
Q22	Disposizione 2 (massimizza M2)	2154	0	0	0	0	0
Q23	Disposizione 3 (massimizza M1)	819	0	0	0	0	0
Q24	Disposizione 4 (massimizza M1)	1016	0	0	0	0	0
Q25	Disposizione 5 (massimizza N+M2)	2154	0	0	0	0	0
Q26	Disposizione 6 (massimizza N)	1995	0	0	0	0	0
Q27	Disposizione 7 (minimizza N)	2154	0	0	0	0	0
Q3 - Centrifuga							
Q31	Disposizione 1 (massimizza N)	0	238	0	-1209	0	0
Q32	Disposizione 2 (massimizza M2)	0	294	0	-1494	0	0
Q33	Disposizione 3 (massimizza M1)	0	79	0	-403	0	0
Q34	Disposizione 4 (massimizza M1)	0	159	0	-806	0	0
Q35	Disposizione 5 (massimizza N+M2)	0	294	0	-1494	0	0
Q36	Disposizione 6 (massimizza N)	0	230	0	-1170	0	0
Q37	Disposizione 7 (minimizza N)	0	226	0	-1151	0	0
Q4 - Serpeggio							
Q41	Disposizione 1 (massimizza N)	0	105	0	-344	0	0
Q42	Disposizione 2 (massimizza M2)	0	210	0	-689	0	0
Q43	Disposizione 3 (massimizza M1)	0	50	0	-164	0	0
Q44	Disposizione 4 (massimizza M1)	0	55	0	-180	0	0
Q45	Disposizione 5 (massimizza N+M2)	0	105	0	-344	0	0
Q46	Disposizione 6 (massimizza N)	0	105	0	-344	0	0

  	ITINERARIO NAPOLI – BARI RADDOPPIO TRATTA CANCELLO – BENEVENTO I° LOTTO FUNZIONALE CANCELLO - FRASSO TELESINO E VARIANTE ALLA LINEA ROMA-NAPOLI VIA CASSINO NEL COMUNE DI MADDALONI – PROGETTO ESECUTIVO												
Pile P01-P02-P03-P04: Relazione di calcolo	<table border="1"> <tr> <td>COMMESSA</td> <td>LOTTO</td> <td>CODIFICA</td> <td>DOCUMENTO</td> <td>REV.</td> <td>FOGLIO</td> </tr> <tr> <td>IF1N</td> <td>01 E ZZ</td> <td>CL</td> <td>VI0205 001</td> <td>B</td> <td>114 di 140</td> </tr> </table>	COMMESSA	LOTTO	CODIFICA	DOCUMENTO	REV.	FOGLIO	IF1N	01 E ZZ	CL	VI0205 001	B	114 di 140
COMMESSA	LOTTO	CODIFICA	DOCUMENTO	REV.	FOGLIO								
IF1N	01 E ZZ	CL	VI0205 001	B	114 di 140								

Q47	Disposizione 7 (minimizza N)	0	210	0	-689	0	0
Q5 - Variabili							
Q51	Vento	0	419	0	-2351	0	0
Q6 - Azioni indirette							
Q61	Attrito su vincoli	283	0	0	0	0	0
Q7 - Effetti d'interazione							
Q71	Variazioni termiche	280	0	0	0	0	0
E - Azioni sismiche							
E1	Sisma x	5874	0	0	0	0	2414
E2	Sisma y	0	2435	0	-5066	0	1827
E3	Sisma z	0	0	-1933	-794	1450	0

  	ITINERARIO NAPOLI – BARI RADDOPPIO TRATTA CANCELLO – BENEVENTO I° LOTTO FUNZIONALE CANCELLO - FRASSO TELESINO E VARIANTE ALLA LINEA ROMA-NAPOLI VIA CASSINO NEL COMUNE DI MADDALONI – PROGETTO ESECUTIVO												
Pile P01-P02-P03-P04: Relazione di calcolo	<table border="1"> <thead> <tr> <th>COMMESSA</th> <th>LOTTO</th> <th>CODIFICA</th> <th>DOCUMENTO</th> <th>REV.</th> <th>FOGLIO</th> </tr> </thead> <tbody> <tr> <td>IF1N</td> <td>01 E ZZ</td> <td>CL</td> <td>VI0205 001</td> <td>B</td> <td>115 di 140</td> </tr> </tbody> </table>	COMMESSA	LOTTO	CODIFICA	DOCUMENTO	REV.	FOGLIO	IF1N	01 E ZZ	CL	VI0205 001	B	115 di 140
COMMESSA	LOTTO	CODIFICA	DOCUMENTO	REV.	FOGLIO								
IF1N	01 E ZZ	CL	VI0205 001	B	115 di 140								

8.4 SOLLECITAZIONI DI CALCOLO

8.4.1 SOLLECITAZIONI ALLA BASE DEL FUSTO PILA

Le sollecitazioni di calcolo riferite alla sezione di base del fusto della pila avente maggiore altezza tra quelle prese in considerazione nella presente relazione, sono riportate in forma completa nel secondo allegato alla presente relazione.

Le sollecitazioni di calcolo ottenute in condizione sismica per le strutture in elevazione devono essere ulteriormente elaborate per tener conto delle indicazioni del §7.9 [1] e dei principi della gerarchia delle resistenze.

8.4.1.1 SOLLECITAZIONI FLETTENTI IN ZONA CRITICA

Secondo le indicazioni del §7.9.4 [1] nelle zone critiche, gli effetti delle non linearità geometriche possono essere tenute in conto mediante l'espressione semplificata:

$$\Delta M = d_{Ed} \cdot N_{Ed}$$

con d_{Ed} valutato secondo il §7.3.3.3, ossia pari a $\mu_d \cdot d_{Ee}$ dove:

d_{Ee} è lo spostamento derivante dall'analisi lineare

$$\mu_d = q \quad \text{per } T_1 \geq T_c$$

$$\mu_d = 1 + (q - 1) \cdot T_c / T_1 \quad \text{per } T_1 < T_c \quad \text{in ogni caso } \mu_d \leq 5 \cdot q - 4$$

Per il caso in esame si ha:

d_{Ee_long}	3.7	mm	d_{Ee_trasv}	0.8	mm
μ_{d_long}	2.35		μ_{d_trasv}	3.50	
d_{Ed_long}	8.6	mm	d_{Ed_trasv}	2.8	mm

8.4.1.2 SOLLECITAZIONI FLETTENTI FUORI DALLA ZONA CRITICA

Il §7.9.5.1 [1] definisce il fattore di "sovreresistenza" γ_{Rd} che viene calcolato mediante l'espressione:

$$\gamma_{Rd} = 0.7 + 0.2 q \geq 1$$

nella quale q è il fattore di struttura utilizzato nei calcoli.

Nel caso in cui la compressione normalizzata $v_k = N_{Ed} / (A_c \cdot f_{ck})$ (rif. §7.9.2.1 delle NTC2008 [1]), ecceda il valore 0,1 tale fattore deve essere moltiplicato per $f = 1 + 2 \cdot (v_k - 0,1)^2$.

  	ITINERARIO NAPOLI – BARI RADDOPPIO TRATTA CANCELLO – BENEVENTO I° LOTTO FUNZIONALE CANCELLO - FRASSO TELESINO E VARIANTE ALLA LINEA ROMA-NAPOLI VIA CASSINO NEL COMUNE DI MADDALONI – PROGETTO ESECUTIVO												
Pile P01-P02-P03-P04: Relazione di calcolo	<table border="1"> <tr> <td>COMMESSA</td> <td>LOTTO</td> <td>CODIFICA</td> <td>DOCUMENTO</td> <td>REV.</td> <td>FOGLIO</td> </tr> <tr> <td>IF1N</td> <td>01 E ZZ</td> <td>CL</td> <td>VI0205 001</td> <td>B</td> <td>116 di 140</td> </tr> </table>	COMMESSA	LOTTO	CODIFICA	DOCUMENTO	REV.	FOGLIO	IF1N	01 E ZZ	CL	VI0205 001	B	116 di 140
COMMESSA	LOTTO	CODIFICA	DOCUMENTO	REV.	FOGLIO								
IF1N	01 E ZZ	CL	VI0205 001	B	116 di 140								

Nel caso in esame il fattore γ_{Rd} assume il valore:

Dir. Longitudinale:

qlong	1.50	
NEd	17195	kN
fck	32	Mpa
vk	0.05	
f	1.005	
γ_{Rd}	1.00	

Dir. Trasversale:

qtrasv	1.50	
NEd	17195	kN
fck	32	Mpa
vk	0.05	
f	1.005	
γ_{Rd}	1.00	

Definite “zone di cerniera plastica” o “zone critiche” le zone dove si progetta di localizzare le plasticizzazioni che conferiranno la duttilità richiesta alla struttura soggetta all’evento sismico, nel caso delle pile tali zone si identificano come la zona compresa tra la sezione di incastro alla base e la sezione posta ad una distanza L_h dall’incastro, dove L_h assume il massimo tra i seguenti valori (rif §7.9.6.2 [3]):

- la profondità della sezione in direzione ortogonale all’asse di rotazione delle cerniere;
- la distanza tra la sezione di momento massimo e la sezione in cui il momento si riduce del 20%.

Nelle sezioni comprese nella zona critica deve risultare:

$$M_{Ed} \leq M_{Rd}$$

Nelle sezioni al di fuori della zona critica tenendo conto del criterio della gerarchia delle resistenze deve risultare:

$$M_{gr} \leq M_{Rd}$$

I valori di M_{gr} lungo lo sviluppo dell’elemento si ottengono scalando il diagramma delle sollecitazioni flettenti ponendo nella sezione critica un momento agente pari a $\gamma_{Rd} \cdot M_{Rd}$.

Nel caso in esame si ha una lunghezza della zona critica pari alla profondità della sezione in direzione longitudinale:

$$L_h \text{ zona critica} = 2.60 \text{ m}$$

8.4.1.3 SOLLECITAZIONI DI TAGLIO

Le sollecitazioni di taglio si ottengono con il criterio della gerarchia delle resistenze, il quale conduce ad adottare come sollecitazione di calcolo:

$$V_{gr} = V_{Ed} \cdot \gamma_{Rd} \cdot M_{Rd}/M_{Ed} \leq q \cdot V_{Ed}$$

  	ITINERARIO NAPOLI – BARI RADDOPPIO TRATTA CANCELLO – BENEVENTO I° LOTTO FUNZIONALE CANCELLO - FRASSO TELESINO E VARIANTE ALLA LINEA ROMA-NAPOLI VIA CASSINO NEL COMUNE DI MADDALONI – PROGETTO ESECUTIVO												
Pile P01-P02-P03-P04: Relazione di calcolo	<table border="1"> <thead> <tr> <th>COMMESSA</th> <th>LOTTO</th> <th>CODIFICA</th> <th>DOCUMENTO</th> <th>REV.</th> <th>FOGLIO</th> </tr> </thead> <tbody> <tr> <td>IF1N</td> <td>01 E ZZ</td> <td>CL</td> <td>VI0205 001</td> <td>B</td> <td>117 di 140</td> </tr> </tbody> </table>	COMMESSA	LOTTO	CODIFICA	DOCUMENTO	REV.	FOGLIO	IF1N	01 E ZZ	CL	VI0205 001	B	117 di 140
COMMESSA	LOTTO	CODIFICA	DOCUMENTO	REV.	FOGLIO								
IF1N	01 E ZZ	CL	VI0205 001	B	117 di 140								

I valori di resistenza a taglio degli elementi in c.a. devono inoltre essere divisi per un coefficiente di sicurezza aggiuntivo nei confronti della rottura fragile γ_{Bd} valutato mediante la seguente espressione:

$$1 \leq \gamma_{Bd} = 1.25 + 1 - q \cdot V_{Ed}/V_{gr} \leq 1.25$$

La valutazione delle sollecitazioni di taglio da GR viene condotto nei paragrafi successivi relativi alle verifiche a taglio, a fronte dei valori resistenti ottenuti dalle successive verifiche a pressoflessione.

  	ITINERARIO NAPOLI – BARI RADDOPPIO TRATTA CANCELLO – BENEVENTO I° LOTTO FUNZIONALE CANCELLO - FRASSO TELESINO E VARIANTE ALLA LINEA ROMA-NAPOLI VIA CASSINO NEL COMUNE DI MADDALONI – PROGETTO ESECUTIVO												
Pile P01-P02-P03-P04: Relazione di calcolo	<table border="1"> <thead> <tr> <th>COMMESSA</th> <th>LOTTO</th> <th>CODIFICA</th> <th>DOCUMENTO</th> <th>REV.</th> <th>FOGLIO</th> </tr> </thead> <tbody> <tr> <td>IF1N</td> <td>01 E ZZ</td> <td>CL</td> <td>VI0205 001</td> <td>B</td> <td>118 di 140</td> </tr> </tbody> </table>	COMMESSA	LOTTO	CODIFICA	DOCUMENTO	REV.	FOGLIO	IF1N	01 E ZZ	CL	VI0205 001	B	118 di 140
COMMESSA	LOTTO	CODIFICA	DOCUMENTO	REV.	FOGLIO								
IF1N	01 E ZZ	CL	VI0205 001	B	118 di 140								

8.4.2 SOLLECITAZIONI ALL'INTRADOSSO DEL PLINTO DI FONDAZIONE

Le sollecitazioni di calcolo relative alle combinazioni sismiche devono essere elaborate per tener conto delle indicazioni del §7.2.5[1]. Per gli elementi di fondazione il criterio della gerarchia delle resistenze si applica incrementando le azioni derivanti dagli elementi soprastanti di un fattore γ_{Rd} pari a 1.1.

(In accordo con quanto prescritto nel §7.2.5 [1], per le strutture progettate in CD" B", il dimensionamento delle strutture di fondazione deve essere eseguito per valori di taglio e momento flettente pari ai valori resistenti degli elementi soprastanti. Tali valori hanno come limite superiore le sollecitazioni derivanti dalle analisi amplificate con un γ_{Rd} pari a 1,1 in CD" B" e comunque non maggiori di quelle derivanti da un'analisi elastica della struttura eseguita con q pari a 1. A tal proposito per semplificazione e favore di sicurezza si assumono come valori di calcolo le sollecitazioni derivanti dall'analisi incrementate del coefficiente γ_{Rd} pari a 1,1).

Rispetto alle sollecitazioni calcolate alla sezione di base del fusto pila, le sollecitazioni riportate all'intradosso del plinto di fondazione sono incrementate dei seguenti contributi:

- P_{pl} peso proprio del plinto di fondazione [kN]
- P_{terr} peso proprio del terreno di ricoprimento presente all'estradosso del plinto [kN]
- $I_{pl,hor}$ forza di inerzia associata alla massa del plinto sul piano orizzontale ($I_{pl,hor} = P_{pl} * PGA$) [kN]
- $I_{pl,vert}$ forza di inerzia associata alla massa del plinto in direzione verticale ($I_{pl,vert} = P_{pl} * a_{gv}$) [kN]

Nel secondo allegato alla presente relazione si riportano (in forma di tabelle) le sollecitazioni di calcolo riferite all'intradosso del plinto di fondazione. In particolare, tali valori sono riferiti alla fondazione della pila avente altezza maggiore all'interno del gruppo di sottostrutture preso in considerazione nella presente relazione.

8.4.1 SOLLECITAZIONI DISTRIBUITE IN TESTA AI PALI DI FONDAZIONE

Le caratteristiche di sollecitazione sul singolo palo sono state determinate a partire dalle sollecitazioni riportate all'intradosso del plinto di fondazione, secondo le seguenti relazioni (*distribuzione rigida delle sollecitazioni*):

$$N_{max} = F_3 / n_{pali} + ass(M_1) / W_{1palificata} + ass(M_2) / W_{2palificata}$$

$$N_{min} = F_3 / n_{pali} - ass(M_1) / W_{1palificata} - ass(M_2) / W_{2palificata}$$

$$H = \sqrt{((F_1 / n_{pali})^2 + (F_2 / n_{pali})^2)}$$

I valori del taglio sul palo così ottenuti, compresi quelli relativi alle combinazioni non sismiche, vengono inoltre ulteriormente incrementati di un fattore pari a 1,1 per tenere conto dell'effetto gruppo.

Nel secondo allegato alla presente relazione si riportano (in forma di tabelle) le sollecitazioni di calcolo distribuite in testa ai pali di fondazione. In particolare, tali valori sono riferiti alla fondazione della pila avente altezza maggiore all'interno del gruppo di sottostrutture preso in considerazione nella presente relazione.

	ITINERARIO NAPOLI – BARI RADDOPPIO TRATTA CANCELLO – BENEVENTO 1° LOTTO FUNZIONALE CANCELLO - FRASSO TELESINO E VARIANTE ALLA LINEA ROMA-NAPOLI VIA CASSINO NEL COMUNE DI MADDALONI – PROGETTO ESECUTIVO												
Pile P01-P02-P03-P04: Relazione di calcolo	<table border="1"> <thead> <tr> <th>COMMESSA</th> <th>LOTTO</th> <th>CODIFICA</th> <th>DOCUMENTO</th> <th>REV.</th> <th>FOGLIO</th> </tr> </thead> <tbody> <tr> <td>IF1N</td> <td>01 E ZZ</td> <td>CL</td> <td>VI0205 001</td> <td>B</td> <td>119 di 140</td> </tr> </tbody> </table>	COMMESSA	LOTTO	CODIFICA	DOCUMENTO	REV.	FOGLIO	IF1N	01 E ZZ	CL	VI0205 001	B	119 di 140
COMMESSA	LOTTO	CODIFICA	DOCUMENTO	REV.	FOGLIO								
IF1N	01 E ZZ	CL	VI0205 001	B	119 di 140								

9 VERIFICHE STRUTTURALI DEL FUSTO PILA

9.1 GEOMETRIA DELLA SEZIONE DI VERIFICA E ARMATURA

Si riporta a seguire una figura che illustra la geometria della sezione di verifica, nella quale è rappresentata un'armatura tipologica.

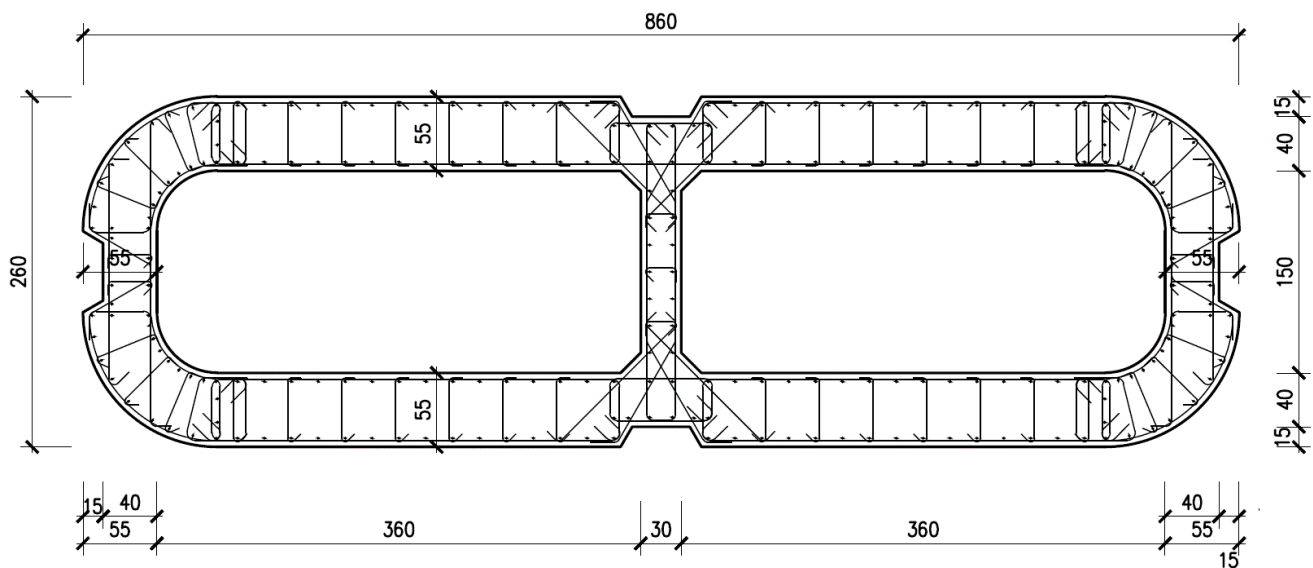


Figura 43 – Geometria della sezione trasversale della pila [cm]

9.1.1 ARMATURA LONGITUDINALE

A seguire è indicata l'armatura flessionale prevista nella sezione di base del fusto pila, in termini di numero di barre presenti nello strato esterno (1° str.) e nello strato interno (2° str.) e loro diametro f_i [mm].

n barre (1° str.)	124	
f_i barre (1° str.)	24	mm
n barre (2° str.)	122	
f_i barre (2° str.)	24	mm

9.1.2 ARMATURA TRASVERSALE

A seguire è indicata l'armatura a taglio prevista nella sezione di base del fusto pila, all'interno della zona critica.

  	ITINERARIO NAPOLI – BARI RADDOPPIO TRATTA CANCELLO – BENEVENTO I° LOTTO FUNZIONALE CANCELLO - FRASSO TELESINO E VARIANTE ALLA LINEA ROMA-NAPOLI VIA CASSINO NEL COMUNE DI MADDALONI – PROGETTO ESECUTIVO												
Pile P01-P02-P03-P04: Relazione di calcolo	<table border="1"> <tr> <td>COMMESSA</td> <td>LOTTO</td> <td>CODIFICA</td> <td>DOCUMENTO</td> <td>REV.</td> <td>FOGLIO</td> </tr> <tr> <td>IF1N</td> <td>01 E ZZ</td> <td>CL</td> <td>VI0205 001</td> <td>B</td> <td>120 di 140</td> </tr> </table>	COMMESSA	LOTTO	CODIFICA	DOCUMENTO	REV.	FOGLIO	IF1N	01 E ZZ	CL	VI0205 001	B	120 di 140
COMMESSA	LOTTO	CODIFICA	DOCUMENTO	REV.	FOGLIO								
IF1N	01 E ZZ	CL	VI0205 001	B	120 di 140								

Direzione longitudinale

Staffe:		Spille:		Spille:	
$\varnothing w$	16 mm	$\varnothing w$	8 mm	$\varnothing w$	16 mm
A1b	200.96 mm ²	A1b	50.24 mm ²	A1b	200.96 mm ²
passo	100 mm	passo	100 mm	passo	100 mm
bracci	6	bracci	16	bracci	6

Direzione trasversale

Staffe:		Spille:		Spille:	
$\varnothing w$	16 mm	$\varnothing w$	8 mm	$\varnothing w$	16 mm
A1b	200.96 mm ²	A1b	50.24 mm ²	A1b	200.96 mm ²
passo	100 mm	passo	100 mm	passo	100 mm
bracci	4	bracci	6	bracci	2

9.1.3 VERIFICA DELL'ARMATURA MINIMA

Le armature del fusto pila devono soddisfare le quantità minime indicate dalla normativa e che vengono riepilogate di seguito.

Armatura minima longitudinale:

- $\rho_{\min} = 0,60 \%$ (rif. §2.2.6 [3])

Armatura minima trasversale nelle zone critiche:

Secondo le indicazioni del §7.9.6.2 [1], nelle sezioni piene, le armature di confinamento per la duttilità nelle zone critiche non devono rispettare i limiti di normativa nei seguenti casi:

- se la sollecitazione ridotta risulta $v_k \leq 0,08$;
- nel caso di sezioni a pareti sottili purché risulti $v_k \leq 0,2$, se è possibile raggiungere una duttilità in curvatura non inferiore a $\mu_c = 12$ senza che la deformazione nel conglomerato superi il valore 0,0035;
- se il fattore di struttura non supera il valore 1,5.

In caso contrario è necessario disporre le seguenti quantità minime di armatura a confinamento:

- $\omega_{wd,r} = 0,33 \cdot A_c/A_{cc} v_k - 0,07 \geq 0,12$ per sezioni rettangolari
- $\omega_{wd,c} = 1,4 \cdot \omega_{wd,r}$ per sezioni circolari

La percentuale meccanica è definita dalle espressioni:

- $\omega_{wd,r} = A_{sw}/(s \cdot b) \cdot f_{yd}/f_{cd}$ per sezioni rettangolari
- $\omega_{wd,c} = 4 A_{sp}/(D_{sp} \cdot s) \cdot f_{yd}/f_{cd}$ per sezioni circolari

  	ITINERARIO NAPOLI – BARI RADDOPPIO TRATTA CANCELLO – BENEVENTO I° LOTTO FUNZIONALE CANCELLO - FRASSO TELESINO E VARIANTE ALLA LINEA ROMA-NAPOLI VIA CASSINO NEL COMUNE DI MADDALONI – PROGETTO ESECUTIVO												
Pile P01-P02-P03-P04: Relazione di calcolo	<table border="1"> <thead> <tr> <th>COMMESSA</th> <th>LOTTO</th> <th>CODIFICA</th> <th>DOCUMENTO</th> <th>REV.</th> <th>FOGLIO</th> </tr> </thead> <tbody> <tr> <td>IF1N</td> <td>01 E ZZ</td> <td>CL</td> <td>VI0205 001</td> <td>B</td> <td>121 di 140</td> </tr> </tbody> </table>	COMMESSA	LOTTO	CODIFICA	DOCUMENTO	REV.	FOGLIO	IF1N	01 E ZZ	CL	VI0205 001	B	121 di 140
COMMESSA	LOTTO	CODIFICA	DOCUMENTO	REV.	FOGLIO								
IF1N	01 E ZZ	CL	VI0205 001	B	121 di 140								

Secondo le indicazioni del §2.2.6 [3] invece deve verificarsi:

- $A_{sw}/(s \cdot b) \cdot f_{yd}/f_{cd} \geq \zeta$ per sezioni rettangolari
- $\rho_w \cdot f_{yd}/f_{cd} \geq 1,40 \cdot \zeta$ per sezioni circolari

con:

$\rho_w = V_{sc}/V_{cc}$ rapporto tra il volume complessivo delle armature di confinamento V_{sc} e volume di calcestruzzo confinato V_{cc} ;

$\zeta = 0,07$ per $a_g \geq 0,35$ g;

$\zeta = 0,05$ per $a_g \geq 0,25$ g;

$\zeta = 0,04$ per $a_g \geq 0,15$ g;

$\zeta = 0,03$ per $a_g < 0,15$ g.

  	ITINERARIO NAPOLI – BARI RADDOPPIO TRATTA CANCELLO – BENEVENTO I° LOTTO FUNZIONALE CANCELLO - FRASSO TELESINO E VARIANTE ALLA LINEA ROMA-NAPOLI VIA CASSINO NEL COMUNE DI MADDALONI – PROGETTO ESECUTIVO												
Pile P01-P02-P03-P04: Relazione di calcolo	<table border="1"> <thead> <tr> <th>COMMESSA</th> <th>LOTTO</th> <th>CODIFICA</th> <th>DOCUMENTO</th> <th>REV.</th> <th>FOGLIO</th> </tr> </thead> <tbody> <tr> <td>IF1N</td> <td>01 E ZZ</td> <td>CL</td> <td>VI0205 001</td> <td>B</td> <td>122 di 140</td> </tr> </tbody> </table>	COMMESSA	LOTTO	CODIFICA	DOCUMENTO	REV.	FOGLIO	IF1N	01 E ZZ	CL	VI0205 001	B	122 di 140
COMMESSA	LOTTO	CODIFICA	DOCUMENTO	REV.	FOGLIO								
IF1N	01 E ZZ	CL	VI0205 001	B	122 di 140								

Verifica armatura minima longitudinale secondo §2.2.6 [3]

$\rho_{min} =$	0.60%	
$A_c =$	10425000	mm ²
$A_{s,min} =$	62550	mm ²
n barre (1° str.)	124	
f _i barre (1° str.)	24	mm
n barre (2° str.)	122	
f _i barre (2° str.)	24	mm
A_s	111231	mm ²
ρ	1.07%	<i>requisito soddisfatto</i>

Verifica armatura minima trasversale secondo §2.2.6 [3]

$a_g =$	0.200	g
$\zeta =$	0.04	
$\omega_{wd,r min} =$	0.04	

Armatura in dir. longitudinale

$A_{sw/s staffe} =$	0.0121	m ² /m
$A_{sw/s spille} =$	0.0201	m ² /m
$b =$	8.60	m
$f_{yd} =$	391	MPa
$f_{cd} =$	18.13	MPa
$\omega_{wd,r} =$	0.081	<i>requisito soddisfatto</i>

Armatura in dir. trasversale

$A_{sw/s staffe} =$	0.0080	m ² /m
$A_{sw/s spille} =$	0.0070	m ² /m
$b =$	2.60	m
$f_{yd} =$	391	MPa
$f_{cd} =$	18.13	MPa
$\omega_{wd,r} =$	0.125	<i>requisito soddisfatto</i>

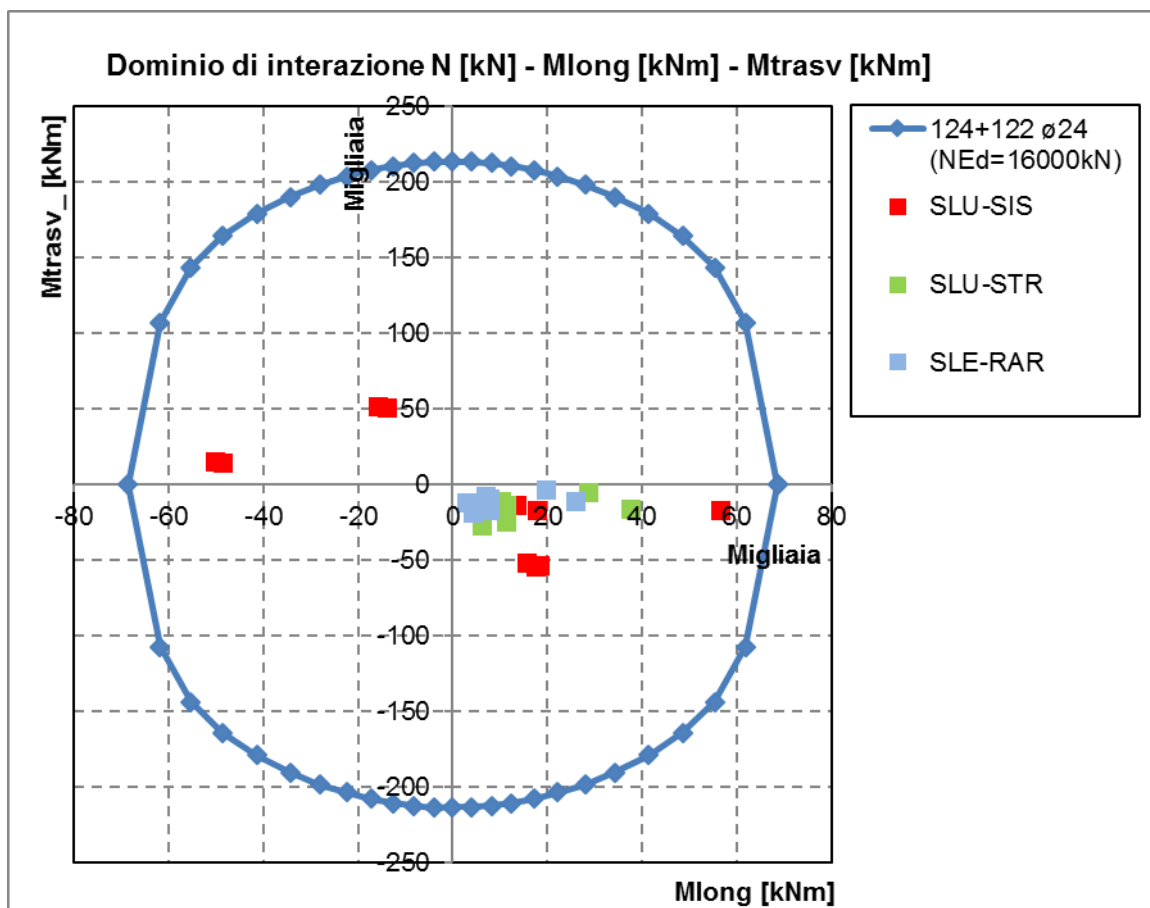
L'armatura longitudinale di calcolo e l'armatura trasversale di calcolo rispettano le quantità minime indicate dalla normativa.

  	ITINERARIO NAPOLI – BARI RADDOPPIO TRATTA CANCELLO – BENEVENTO I° LOTTO FUNZIONALE CANCELLO - FRASSO TELESINO E VARIANTE ALLA LINEA ROMA-NAPOLI VIA CASSINO NEL COMUNE DI MADDALONI – PROGETTO ESECUTIVO												
Pile P01-P02-P03-P04: Relazione di calcolo	<table border="1"> <thead> <tr> <th>COMMESSA</th> <th>LOTTO</th> <th>CODIFICA</th> <th>DOCUMENTO</th> <th>REV.</th> <th>FOGLIO</th> </tr> </thead> <tbody> <tr> <td>IF1N</td> <td>01 E ZZ</td> <td>CL</td> <td>VI0205 001</td> <td>B</td> <td>123 di 140</td> </tr> </tbody> </table>	COMMESSA	LOTTO	CODIFICA	DOCUMENTO	REV.	FOGLIO	IF1N	01 E ZZ	CL	VI0205 001	B	123 di 140
COMMESSA	LOTTO	CODIFICA	DOCUMENTO	REV.	FOGLIO								
IF1N	01 E ZZ	CL	VI0205 001	B	123 di 140								

9.2 VERIFICA SLU A FLESSIONE

Sono riportate a seguire le verifiche SLU della sezione di base della pila, espresse in forma sintetica mediante il diagramma di interazione $M_{long} - M_{trasv}$, valutato per una forza assiale corrispondente alla condizione di verifica più severa.

Le verifiche riportate a seguire sono riferite alla pila avente maggiore altezza tra quelle comprese nel gruppo di sottostrutture considerato nella presente relazione.



La verifica SLU di tipo flessionale nelle sezioni critiche si effettua verificando che:

$$FS = (M_{Rd,long}^2 + M_{Rd,trasv}^2)^{0.5} / (M_{Ed,long}^2 + M_{Ed,trasv}^2)^{0.5} \geq 1$$

  	ITINERARIO NAPOLI – BARI RADDOPPIO TRATTA CANCELLO – BENEVENTO I° LOTTO FUNZIONALE CANCELLO - FRASSO TELESINO E VARIANTE ALLA LINEA ROMA-NAPOLI VIA CASSINO NEL COMUNE DI MADDALONI – PROGETTO ESECUTIVO												
Pile P01-P02-P03-P04: Relazione di calcolo	<table border="1"> <thead> <tr> <th>COMMESSA</th> <th>LOTTO</th> <th>CODIFICA</th> <th>DOCUMENTO</th> <th>REV.</th> <th>FOGLIO</th> </tr> </thead> <tbody> <tr> <td>IF1N</td> <td>01 E ZZ</td> <td>CL</td> <td>VI0205 001</td> <td>B</td> <td>124 di 140</td> </tr> </tbody> </table>	COMMESSA	LOTTO	CODIFICA	DOCUMENTO	REV.	FOGLIO	IF1N	01 E ZZ	CL	VI0205 001	B	124 di 140
COMMESSA	LOTTO	CODIFICA	DOCUMENTO	REV.	FOGLIO								
IF1N	01 E ZZ	CL	VI0205 001	B	124 di 140								

Il valore minimo del fattore di sicurezza FS è pari a

FS **1.20**

La verifica è soddisfatta, in quanto $FS > 1$.

Nel secondo allegato alla presente relazione sono riportate le verifiche in forma completa relative alla pila con altezza maggiore tra quelle appartenenti al gruppo di sottostrutture considerato nella presente relazione.

  	ITINERARIO NAPOLI – BARI RADDOPPIO TRATTA CANCELLO – BENEVENTO I° LOTTO FUNZIONALE CANCELLO - FRASSO TELESINO E VARIANTE ALLA LINEA ROMA-NAPOLI VIA CASSINO NEL COMUNE DI MADDALONI – PROGETTO ESECUTIVO												
Pile P01-P02-P03-P04: Relazione di calcolo	<table border="1"> <thead> <tr> <th>COMMESSA</th> <th>LOTTO</th> <th>CODIFICA</th> <th>DOCUMENTO</th> <th>REV.</th> <th>FOGLIO</th> </tr> </thead> <tbody> <tr> <td>IF1N</td> <td>01 E ZZ</td> <td>CL</td> <td>VI0205 001</td> <td>B</td> <td>125 di 140</td> </tr> </tbody> </table>	COMMESSA	LOTTO	CODIFICA	DOCUMENTO	REV.	FOGLIO	IF1N	01 E ZZ	CL	VI0205 001	B	125 di 140
COMMESSA	LOTTO	CODIFICA	DOCUMENTO	REV.	FOGLIO								
IF1N	01 E ZZ	CL	VI0205 001	B	125 di 140								

9.3 VERIFICA SLU A TAGLIO

Nel caso di sezioni rettangolari la verifica viene effettuata distintamente per le due direzioni longitudinale e trasversale.

Nel caso si sezione circolare si esegue la verifica per un valore del taglio pari a:

$$V = \sqrt{(F1^2 + F2^2)}$$

Per quanto riguarda le combinazioni sismiche, con riferimento ai criteri della GR e a quanto precedentemente dichiarato nel §8.3.2, si procede al calcolo del taglio agente di calcolo sulla base dei risultati delle verifiche flessionali.

$$V_{gr} = V_{Ed} \cdot \gamma_{Rd} \cdot M_{Rd}/M_{Ed} \leq q \cdot V_{Ed}$$

Il valore resistente a taglio della sezione si determina secondo le indicazioni del §4.1.2.1.3.2 [1]:

$$V_{Rd} = \min(V_{Rcd}; V_{Rsd})$$

$$V_{Rcd} = 0,9 \cdot d \cdot b_w \cdot \alpha_c \cdot f_{cd}' \cdot (\text{ctg } \alpha + \text{ctg } \theta) / (1 + \text{ctg}^2 \theta)$$

$$V_{Rsd} = 0,9 \cdot d \cdot A_{sw}/s \cdot f_{yd} \cdot (\text{ctg } \alpha + \text{ctg } \theta) \cdot \sin \alpha \quad \text{in cui}$$

d altezza utile della sezione

b_w larghezza minima della sezione

A_{sw} area dell'armatura trasversale

s interasse tra due armature trasversali consecutive

θ inclinazione delle bielle di calcestruzzo

α angolo di inclinazione dell'armatura trasversale rispetto all'asse dell'elemento

f_{cd}' resistenza a compressione ridotta (pari a 0,5 f_{cd})

α_c coefficiente maggiorativo che tiene conto della compressione

Nel caso di sezione circolare, le dimensioni della sezione rettangolare equivalente da utilizzare per il calcolo della resistenza a taglio della sezione si determinano secondo le indicazioni del §7.9.5.2.2 [1]:

$$d = r + 2 \cdot r_s / \pi$$

$$b = 0,9 \cdot 2 \cdot r$$

I valori di resistenza a taglio degli elementi in c.a. devono inoltre essere divisi per un coefficiente di sicurezza aggiuntivo nei confronti della rottura fragile γ_{Bd} valutato mediante la seguente espressione:

$$1 \leq \gamma_{Bd} = 1,25 + 1 - q \cdot V_{Ed} / V_{gr} \leq 1,25$$

Si riporta a seguire in forma sintetica la verifica più severa della sezione di base del fusto della pila avente maggiore altezza tra quelle comprese nel gruppo di sottostrutture considerato nella presente relazione.

Il minimo valore del fattore di sicurezza FS = V_{Rd} / V_{Ed} è pari a

FS 1.38

La verifica è soddisfatta in quanto FS > 1.

Nel secondo allegato alla presente relazione sono riportate le verifiche in forma completa relative alla pila con altezza maggiore tra quelle appartenenti al gruppo considerato nella presente relazione.

  	ITINERARIO NAPOLI – BARI RADDOPPIO TRATTA CANCELLO – BENEVENTO I° LOTTO FUNZIONALE CANCELLO - FRASSO TELESINO E VARIANTE ALLA LINEA ROMA-NAPOLI VIA CASSINO NEL COMUNE DI MADDALONI – PROGETTO ESECUTIVO												
Pile P01-P02-P03-P04: Relazione di calcolo	<table border="1"> <thead> <tr> <th>COMMESSA</th> <th>LOTTO</th> <th>CODIFICA</th> <th>DOCUMENTO</th> <th>REV.</th> <th>FOGLIO</th> </tr> </thead> <tbody> <tr> <td>IF1N</td> <td>01 E ZZ</td> <td>CL</td> <td>VI0205 001</td> <td>B</td> <td>126 di 140</td> </tr> </tbody> </table>	COMMESSA	LOTTO	CODIFICA	DOCUMENTO	REV.	FOGLIO	IF1N	01 E ZZ	CL	VI0205 001	B	126 di 140
COMMESSA	LOTTO	CODIFICA	DOCUMENTO	REV.	FOGLIO								
IF1N	01 E ZZ	CL	VI0205 001	B	126 di 140								

9.4 VERIFICA SLE TENSIONALE

La verifica SLE di tipo tensionale si effettua verificando che le massime tensioni agenti nella sezione risultino inferiori ai seguenti valori limite:

per le combinazioni SLE-RAR:

- tensione limite nel calcestruzzo: $\sigma_c = 0.55 f_{ck} = 18.3 \text{ MPa}$
- tensione limite nelle barre: $\sigma_s = 0.75 f_{yk} = 337.5 \text{ MPa}$

per le combinazioni SLE-QPE:

- tensione limite nel calcestruzzo: $\sigma_c = 0.40 f_{ck} = 13.3 \text{ MPa}$

Si riporta a seguire in forma sintetica la verifica più severa (in combinazione SLE-RAR) della sezione di base del fusto della pila avente maggiore altezza tra quelle comprese nel gruppo considerato nella presente relazione.

$$\sigma_c = -6.3 \text{ MPa}$$

$$\sigma_s = 109 \text{ MPa}$$

La verifica è soddisfatta.

Nel secondo allegato alla presente relazione sono riportate le verifiche in forma completa.

9.5 VERIFICA SLE A FESSURAZIONE

La verifica SLE a fessurazione si effettua verificando che il massimo valore di apertura delle fessure risulti inferiore ai seguenti valori limite:

per le combinazioni SLE-RAR:

- apertura fessure limite: $w_{lim} = w_1 = 0,20 \text{ mm}$

Si riporta a seguire in forma sintetica la verifica più severa (in combinazione SLE-RAR) della sezione di base del fusto della pila avente maggiore altezza tra quelle comprese nel gruppo di sottostrutture considerato nella presente relazione.

L'ampiezza massima delle fessure calcolata è pari a

$$w_k = 0.174 \text{ mm}$$

Nel secondo allegato alla presente relazione sono riportate le verifiche in forma completa.

9.6 VERIFICA DEGLI SPOSTAMENTI

Nel secondo allegato alla presente relazione sono riportate le verifiche in forma completa relative alla pila avente maggiore altezza tra quelle comprese nel gruppo di sottostrutture considerato nella presente relazione.

  	ITINERARIO NAPOLI – BARI RADDOPPIO TRATTA CANCELLO – BENEVENTO I° LOTTO FUNZIONALE CANCELLO - FRASSO TELESINO E VARIANTE ALLA LINEA ROMA-NAPOLI VIA CASSINO NEL COMUNE DI MADDALONI – PROGETTO ESECUTIVO												
Pile P01-P02-P03-P04: Relazione di calcolo	<table border="1"> <thead> <tr> <th>COMMESSA</th> <th>LOTTO</th> <th>CODIFICA</th> <th>DOCUMENTO</th> <th>REV.</th> <th>FOGLIO</th> </tr> </thead> <tbody> <tr> <td>IF1N</td> <td>01 E ZZ</td> <td>CL</td> <td>VI0205 001</td> <td>B</td> <td>127 di 140</td> </tr> </tbody> </table>	COMMESSA	LOTTO	CODIFICA	DOCUMENTO	REV.	FOGLIO	IF1N	01 E ZZ	CL	VI0205 001	B	127 di 140
COMMESSA	LOTTO	CODIFICA	DOCUMENTO	REV.	FOGLIO								
IF1N	01 E ZZ	CL	VI0205 001	B	127 di 140								

10 VERIFICHE STRUTTURALI DEI PALI DI FONDAZIONE

10.1 GEOMETRIA DELLA SEZIONE DI VERIFICA E ARMATURA

Nelle tabelle seguenti sono descritte le caratteristiche geometriche della sezione di verifica dei pali di fondazione, nonché le caratteristiche di resistenza dei materiali.

<u>GEOMETRIA DELLA SEZIONE</u>		
Diametro del palo =	1200	mm
Copriferro netto c =	60	mm
Classe di resistenza calcestruzzo =	C25/30	Mpa
Classe di resistenza delle barre =	B450C	MPa

Nella seguente tabella sono descritte le caratteristiche geometriche dell'armatura flessionale e a taglio dei pali, con riferimento ad un tratto di lunghezza pari a $10 \varnothing$ dalla sezione di testa. Sono inoltre verificati i requisiti minimi in termini di armatura flessionale a taglio.

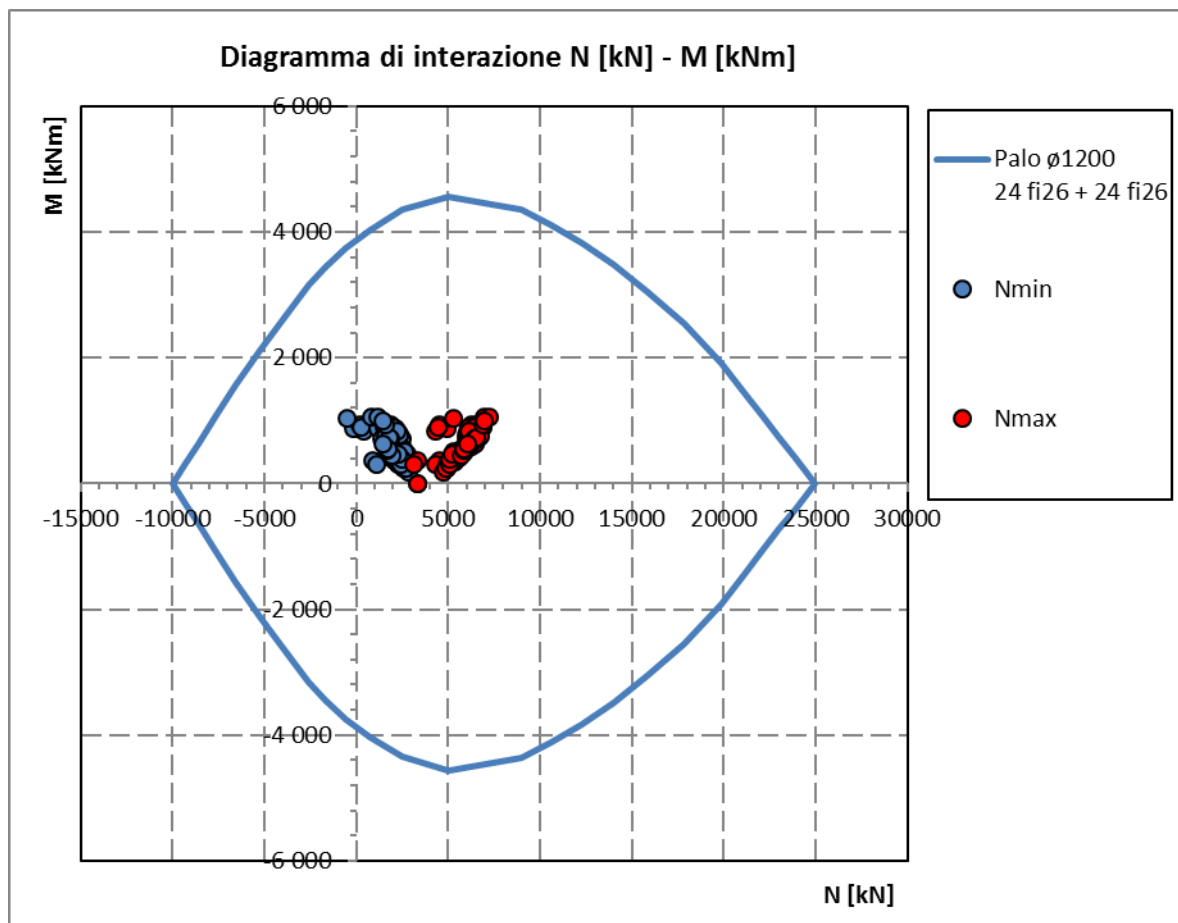
<u>ARMATURA PER I PRIMI $10 \varnothing$</u>		
<i>1° strato di armatura longitudinale</i>		
Numero barre long.	24	-
Diametro barre long.	26	mm
Copriferro baricentrico arm. long. c' =	87	mm
<i>2° strato di armatura longitudinale</i>		
Numero barre long.	24	-
Diametro barre long.	26	mm
Copriferro baricentrico arm. long. c' =	138	mm
<i>Armatura trasversale</i>		
Diametro barre trasv.	14	mm
Passo arm. trasv.	200	mm
Diametro corona esterna =	1066	mm
<u>VERIFICA ARMATURA MINIMA LONG.</u>		
ρ_{min} =	1.00%	
A_c =	1130973	mm ²
$A_{S,min}$ =	11310	mm ²
Armatura long. tot $A_{s,tot}$ =	25485	mm ²
ρ_l =	2.25%	

  	ITINERARIO NAPOLI – BARI RADDOPPIO TRATTA CANCELLO – BENEVENTO I° LOTTO FUNZIONALE CANCELLO - FRASSO TELESINO E VARIANTE ALLA LINEA ROMA-NAPOLI VIA CASSINO NEL COMUNE DI MADDALONI – PROGETTO ESECUTIVO												
Pile P01-P02-P03-P04: Relazione di calcolo	<table border="1"> <thead> <tr> <th>COMMESSA</th> <th>LOTTO</th> <th>CODIFICA</th> <th>DOCUMENTO</th> <th>REV.</th> <th>FOGLIO</th> </tr> </thead> <tbody> <tr> <td>IF1N</td> <td>01 E ZZ</td> <td>CL</td> <td>VI0205 001</td> <td>B</td> <td>128 di 140</td> </tr> </tbody> </table>	COMMESSA	LOTTO	CODIFICA	DOCUMENTO	REV.	FOGLIO	IF1N	01 E ZZ	CL	VI0205 001	B	128 di 140
COMMESSA	LOTTO	CODIFICA	DOCUMENTO	REV.	FOGLIO								
IF1N	01 E ZZ	CL	VI0205 001	B	128 di 140								

10.2 VERIFICA SLU A PRESSOFLESSIONE

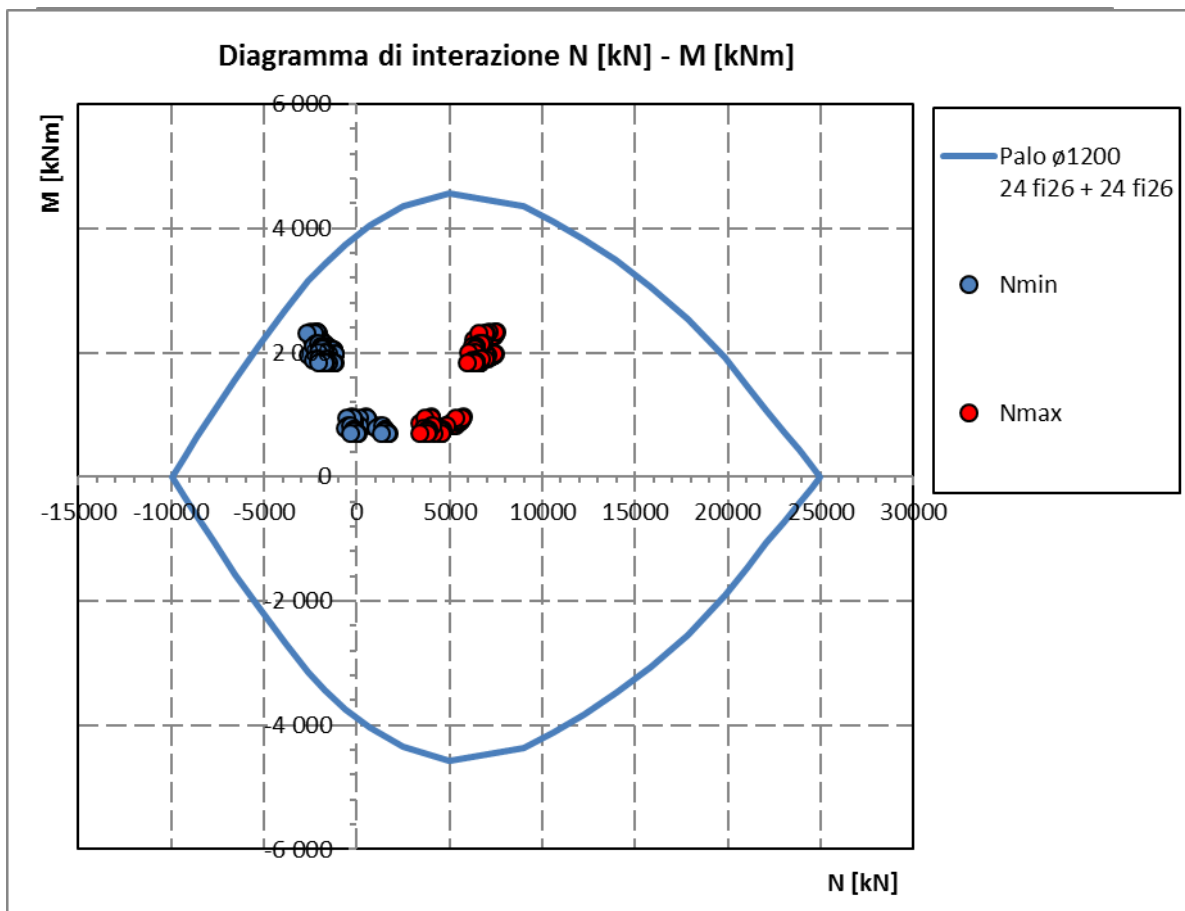
Sono riportate a seguire le verifiche SLU della sezione di sommità del palo maggiormente sollecitato, espresse in forma sintetica mediante il diagramma di interazione N [kN] – M [kNm].

Diagramma d'interazione con le coordinate delle sollecitazioni indotte dalle combinazioni SLU-STR



  	ITINERARIO NAPOLI – BARI RADDOPPIO TRATTA CANCELLO – BENEVENTO I° LOTTO FUNZIONALE CANCELLO - FRASSO TELESINO E VARIANTE ALLA LINEA ROMA-NAPOLI VIA CASSINO NEL COMUNE DI MADDALONI – PROGETTO ESECUTIVO												
Pile P01-P02-P03-P04: Relazione di calcolo	<table border="1"> <thead> <tr> <th>COMMESSA</th> <th>LOTTO</th> <th>CODIFICA</th> <th>DOCUMENTO</th> <th>REV.</th> <th>FOGLIO</th> </tr> </thead> <tbody> <tr> <td>IF1N</td> <td>01 E ZZ</td> <td>CL</td> <td>VI0205 001</td> <td>B</td> <td>129 di 140</td> </tr> </tbody> </table>	COMMESSA	LOTTO	CODIFICA	DOCUMENTO	REV.	FOGLIO	IF1N	01 E ZZ	CL	VI0205 001	B	129 di 140
COMMESSA	LOTTO	CODIFICA	DOCUMENTO	REV.	FOGLIO								
IF1N	01 E ZZ	CL	VI0205 001	B	129 di 140								

Diagramma d'interazione con le coordinate delle sollecitazioni indotte dalle combinazioni SLU-SLV



La verifica è soddisfatta in quanto le coppie N-M delle sollecitazioni agenti nella sezione di verifica sono interne al dominio di resistenza per ogni condizione di carico indagata.

Nel secondo allegato alla presente relazione sono riportate le verifiche in forma completa relative alla pila P01 presa come riferimento per quelle appartenenti al gruppo di sottostrutture considerato nella presente relazione.

  	ITINERARIO NAPOLI – BARI RADDOPPIO TRATTA CANCELLO – BENEVENTO I° LOTTO FUNZIONALE CANCELLO - FRASSO TELESINO E VARIANTE ALLA LINEA ROMA-NAPOLI VIA CASSINO NEL COMUNE DI MADDALONI – PROGETTO ESECUTIVO												
Pile P01-P02-P03-P04: Relazione di calcolo	<table border="1"> <thead> <tr> <th>COMMESSA</th> <th>LOTTO</th> <th>CODIFICA</th> <th>DOCUMENTO</th> <th>REV.</th> <th>FOGLIO</th> </tr> </thead> <tbody> <tr> <td>IF1N</td> <td>01 E ZZ</td> <td>CL</td> <td>VI0205 001</td> <td>B</td> <td>130 di 140</td> </tr> </tbody> </table>	COMMESSA	LOTTO	CODIFICA	DOCUMENTO	REV.	FOGLIO	IF1N	01 E ZZ	CL	VI0205 001	B	130 di 140
COMMESSA	LOTTO	CODIFICA	DOCUMENTO	REV.	FOGLIO								
IF1N	01 E ZZ	CL	VI0205 001	B	130 di 140								

10.3 VERIFICA SLU A TAGLIO

Nel caso di sezione circolare si esegue la verifica per un valore del taglio pari a:

$$V = \sqrt{(F1^2 + F2^2)}$$

Per quanto riguarda le combinazioni sismiche, con riferimento ai criteri della GR e a quanto precedentemente dichiarato nel §8.3.2, si procede al calcolo del taglio agente di calcolo sulla base dei risultati delle verifiche flessionali.

$$V_{gr} = V_{Ed} \cdot \gamma_{Rd} \cdot M_{Rd}/M_{Ed} \leq q \cdot V_{Ed}$$

Il valore resistente a taglio della sezione si determina secondo le indicazioni del §4.1.2.1.3.2 [1]:

$$V_{Rd} = \min(V_{Rcd}; V_{Rsd})$$

$$V_{Rcd} = 0,9 \cdot d \cdot b_w \cdot \alpha_c \cdot f_{cd}' \cdot (\text{ctg } \alpha + \text{ctg } \theta) / (1 + \text{ctg}^2 \theta)$$

$$V_{Rsd} = 0,9 \cdot d \cdot A_{sw}/s \cdot f_{yd} \cdot (\text{ctg } \alpha + \text{ctg } \theta) \cdot \sin \alpha$$

in cui

- d altezza utile della sezione
- b_w larghezza minima della sezione
- A_{sw} area dell'armatura trasversale
- s interasse tra due armature trasversali consecutive
- θ inclinazione delle bielle di calcestruzzo
- α angolo di inclinazione dell'armatura trasversale rispetto all'asse dell'elemento
- f_{cd}' resistenza a compressione ridotta (pari a $0,5 f_{cd}$)
- α_c coefficiente maggiorativo che tiene conto della compressione

Nel caso di sezione circolare, le dimensioni della sezione rettangolare equivalente da utilizzare per il calcolo della resistenza a taglio della sezione si determinano secondo le indicazioni del §7.9.5.2.2 [1]:

$$d = r + 2 \cdot r_s / \pi$$

$$b = 0,9 \cdot 2 \cdot r$$

Si riporta a seguire in forma sintetica la verifica più severa (in combinazione SLV-SIS) relativa alla pila avente maggiore altezza tra quelle comprese nel gruppo considerato nella presente relazione.

Il minimo valore del fattore di sicurezza $FS = V_{Rd} / V_{Ed}$ è pari a

FS 1.18

La verifica è soddisfatta, in quanto $FS > 1$.

Negli allegati alla presente relazione sono riportate le verifiche in forma completa relative alla pila con altezza maggiore tra quelle appartenenti al gruppo considerato.

  	ITINERARIO NAPOLI – BARI RADDOPPIO TRATTA CANCELLO – BENEVENTO I° LOTTO FUNZIONALE CANCELLO - FRASSO TELESINO E VARIANTE ALLA LINEA ROMA-NAPOLI VIA CASSINO NEL COMUNE DI MADDALONI – PROGETTO ESECUTIVO												
Pile P01-P02-P03-P04: Relazione di calcolo	<table border="1"> <thead> <tr> <th>COMMESSA</th> <th>LOTTO</th> <th>CODIFICA</th> <th>DOCUMENTO</th> <th>REV.</th> <th>FOGLIO</th> </tr> </thead> <tbody> <tr> <td>IF1N</td> <td>01 E ZZ</td> <td>CL</td> <td>VI0205 001</td> <td>B</td> <td>131 di 140</td> </tr> </tbody> </table>	COMMESSA	LOTTO	CODIFICA	DOCUMENTO	REV.	FOGLIO	IF1N	01 E ZZ	CL	VI0205 001	B	131 di 140
COMMESSA	LOTTO	CODIFICA	DOCUMENTO	REV.	FOGLIO								
IF1N	01 E ZZ	CL	VI0205 001	B	131 di 140								

10.4 VERIFICA SLE TENSIONALE

La verifica SLE di tipo tensionale si effettua verificando che le massime tensioni agenti nella sezione risultino inferiori ai seguenti valori limite:

per le combinazioni SLE-RAR:

- tensione limite nel calcestruzzo: $\sigma_c = 0.55 f_{ck} = 13.7 \text{ MPa}$
- tensione limite nelle barre: $\sigma_s = 0.75 f_{yk} = 337.5 \text{ MPa}$

per le combinazioni SLE-QP:

- tensione limite nel calcestruzzo: $\sigma_c = 0.40 f_{ck} = 10.0 \text{ MPa}$

Si riporta a seguire in forma sintetica la verifica più severa (in combinazione SLE-RAR) relativa alla pila avente maggiore altezza tra quelle comprese nel gruppo considerato nella presente relazione.

σ_c	-4.46	MPa
σ_s	74.3	MPa

La verifica è soddisfatta.

Negli allegati alla presente relazione sono riportate le verifiche in forma completa.

10.5 VERIFICA SLE A FESSURAZIONE

La verifica SLE a fessurazione si effettua verificando che il massimo valore di apertura delle fessure risulti inferiore ai seguenti valori limite:

per le combinazioni SLE-RAR:

- apertura fessure limite: $w_{lim} = w_1 = 0.30 \text{ mm}$

Si riporta a seguire in forma sintetica la verifica più severa (in combinazione SLE-RAR) relativa alla pila avente maggiore altezza tra quelle comprese nel gruppo considerato nella presente relazione.

L'ampiezza massima delle fessure calcolata è pari a

w_k	0.132	mm
-------	--------------	----

Negli allegati alla presente relazione sono riportate le verifiche in forma completa.

	ITINERARIO NAPOLI – BARI RADDOPPIO TRATTA CANCELLO – BENEVENTO I° LOTTO FUNZIONALE CANCELLO - FRASSO TELESINO E VARIANTE ALLA LINEA ROMA-NAPOLI VIA CASSINO NEL COMUNE DI MADDALONI – PROGETTO ESECUTIVO												
Pile P01-P02-P03-P04: Relazione di calcolo	<table border="1"> <thead> <tr> <th>COMMESSA</th> <th>LOTTO</th> <th>CODIFICA</th> <th>DOCUMENTO</th> <th>REV.</th> <th>FOGLIO</th> </tr> </thead> <tbody> <tr> <td>IF1N</td> <td>01 E ZZ</td> <td>CL</td> <td>VI0205 001</td> <td>B</td> <td>132 di 140</td> </tr> </tbody> </table>	COMMESSA	LOTTO	CODIFICA	DOCUMENTO	REV.	FOGLIO	IF1N	01 E ZZ	CL	VI0205 001	B	132 di 140
COMMESSA	LOTTO	CODIFICA	DOCUMENTO	REV.	FOGLIO								
IF1N	01 E ZZ	CL	VI0205 001	B	132 di 140								

11 VERIFICHE STRUTTURALI DEL PLINTO DI FONDAZIONE

11.1 VERIFICHE SLU-SLE CON MECCANISMO TIRANTE-PUNTO

La verifica strutturale del plinto viene condotta a seguire impiegando un modello tirante-puntone, come quello rappresentato nella figura seguente, tratta da §C4.1.2.1.5 [2].

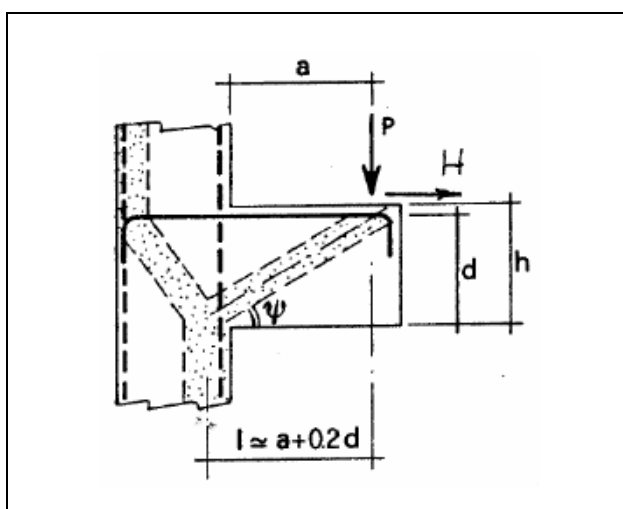


Figura 44 – Meccanismo tirante puntone della mensola tozza

Si distinguono due meccanismi di tipo tirante-puntone principali nel plinto di fondazione, illustrati nelle figure seguenti e descritti a seguire:

- un primo meccanismo è innescato dalle azioni trasmesse al plinto dai pali centrali e coinvolge un tirante-puntone parallelo alla direzione longitudinale (evidenziato in verde). Tale meccanismo coinvolge la sola armatura longitudinale inferiore del plinto.
- un secondo meccanismo coinvolge i pali di spigolo ed innesca un tirante-puntone con direzione diagonale (evidenziato in rosso), individuata da un angolo α misurato rispetto alla direzione trasversale. Tale meccanismo coinvolge sia l'armatura longitudinale inferiore del plinto che l'armatura trasversale, pertanto, ai fini delle verifiche del tirante di armatura e della biella di calcestruzzo, si considera composto dalla somma vettoriale di due meccanismi ortogonali disaccoppiati.

	ITINERARIO NAPOLI – BARI RADDOPPIO TRATTA CANCELLO – BENEVENTO 1° LOTTO FUNZIONALE CANCELLO - FRASSO TELESINO E VARIANTE ALLA LINEA ROMA-NAPOLI VIA CASSINO NEL COMUNE DI MADDALONI – PROGETTO ESECUTIVO												
Pile P01-P02-P03-P04: Relazione di calcolo	<table border="1"> <thead> <tr> <th>COMMESSA</th> <th>LOTTO</th> <th>CODIFICA</th> <th>DOCUMENTO</th> <th>REV.</th> <th>FOGLIO</th> </tr> </thead> <tbody> <tr> <td>IF1N</td> <td>01 E ZZ</td> <td>CL</td> <td>VI0205 001</td> <td>B</td> <td>133 di 140</td> </tr> </tbody> </table>	COMMESSA	LOTTO	CODIFICA	DOCUMENTO	REV.	FOGLIO	IF1N	01 E ZZ	CL	VI0205 001	B	133 di 140
COMMESSA	LOTTO	CODIFICA	DOCUMENTO	REV.	FOGLIO								
IF1N	01 E ZZ	CL	VI0205 001	B	133 di 140								

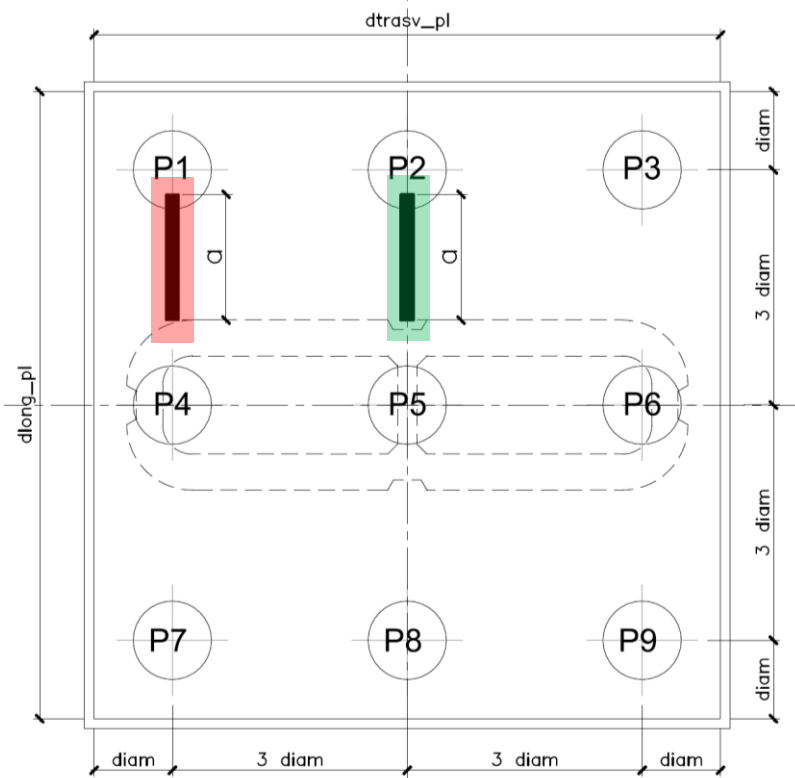


Figura 45 – Vista in pianta - Tirante-puntone centrale (verde) e di spigolo (rosso)

A seguire si riporta una immagine che illustra, in una vista in sezione, la geometria di un generico meccanismo tirante puntone che si innesta nel plinto per azione dei carichi concentrati trasmessi dai pali di fondazione

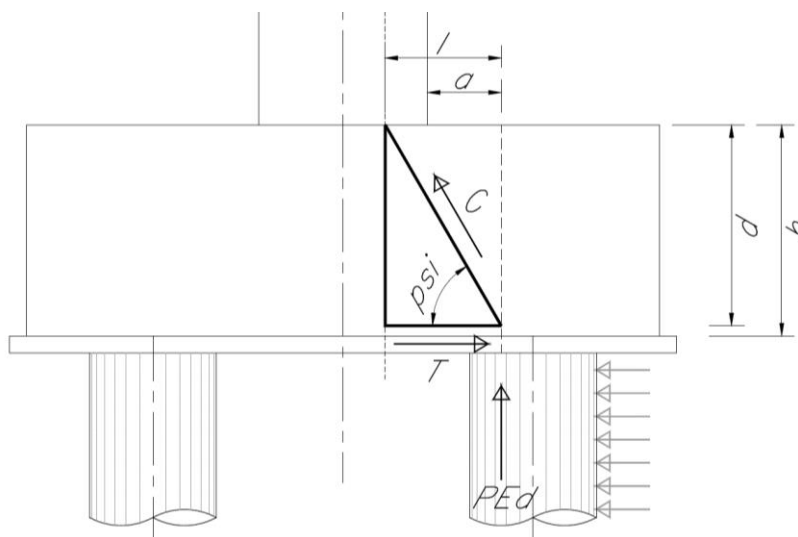


Figura 46 –Tirante puntone - Biella compressa di calcestruzzo C e tirante di armatura T

  	ITINERARIO NAPOLI – BARI RADDOPPIO TRATTA CANCELLO – BENEVENTO I° LOTTO FUNZIONALE CANCELLO - FRASSO TELESINO E VARIANTE ALLA LINEA ROMA-NAPOLI VIA CASSINO NEL COMUNE DI MADDALONI – PROGETTO ESECUTIVO												
Pile P01-P02-P03-P04: Relazione di calcolo	<table border="1"> <thead> <tr> <th>COMMESSA</th> <th>LOTTO</th> <th>CODIFICA</th> <th>DOCUMENTO</th> <th>REV.</th> <th>FOGLIO</th> </tr> </thead> <tbody> <tr> <td>IF1N</td> <td>01 E ZZ</td> <td>CL</td> <td>VI0205 001</td> <td>B</td> <td>134 di 140</td> </tr> </tbody> </table>	COMMESSA	LOTTO	CODIFICA	DOCUMENTO	REV.	FOGLIO	IF1N	01 E ZZ	CL	VI0205 001	B	134 di 140
COMMESSA	LOTTO	CODIFICA	DOCUMENTO	REV.	FOGLIO								
IF1N	01 E ZZ	CL	VI0205 001	B	134 di 140								

La forza di taglio di calcolo H_{Ed} agente alla testa del palo si trascura in via conservativa, in quanto il suo effetto ridurrebbe la trazione nel tirante inferiore d'armatura, essendo tale azione di taglio indotta dalla reazione del terreno.

Ai fini delle successive verifiche, le azioni concentrate P_{Ed} [kN] trasmesse dai pali al plinto sono assunte pari alle forze assiali agenti in testa al palo N_{max} [kN], ridotte della quota parte spettante ad ogni palo del peso del plinto P_{pl} [kN] e del peso del rinterro P_{terr} [kN] presente all'estradosso del plinto:

$$P_{Ed} = N_{max} - (P_{pl} + P_{terr}) / n_{pali}$$

La larghezza della sezione resistente del tirante di armatura e della biella compressa (B_{eff} = larghezza efficace) viene assunta pari a:

- per i pali centrali all'interasse pali i ($B_{eff} = i = 3 \text{ diam}$);
- per i pali di bordo a metà interasse pali i più la distanza dal bordo d_b ($B_{eff} = i / 2 + d_b = 2.5 \text{ diam}$).

L'altezza della sezione della biella compressa viene assunta pari a

$$h_c = 0.4 c d \sin \psi \text{ (si assume } c = 1)$$

in conformità a quanto riportato in §C4.1.2.1.5 [2].

11.1.1 GEOMETRIA DEL TIRANTE-PUNTONE

11.1.1.1 TIRANTE – PUNTONE DI SPIGOLO

a	2.00 m
h	2.50 m
d = h-cferro	2.39 m
l	2.48 m
tan psi	0.87
psi	41.0 °

11.1.1.2 TIRANTE – PUNTONE CENTRALE

a	2.00 m
h	2.50 m
d = h-cferro	2.39 m
l	2.48 m
tan psi	0.87
psi	41.0 °

  	ITINERARIO NAPOLI – BARI RADDOPPIO TRATTA CANCELLO – BENEVENTO 1° LOTTO FUNZIONALE CANCELLO - FRASSO TELESINO E VARIANTE ALLA LINEA ROMA-NAPOLI VIA CASSINO NEL COMUNE DI MADDALONI – PROGETTO ESECUTIVO						
	Pile P01-P02-P03-P04: Relazione di calcolo		COMMESSA IF1N	LOTTO 01 E ZZ	CODIFICA CL	DOCUMENTO VI0205 001	REV. B

11.1.2 SEZIONE DEL TIRANTE DI ARMATURA E DELLA BIELLA COMPRESSA

Con riferimento alla figura seguente, l'armatura prevista nel plinto di fondazione è descritta a seguire:

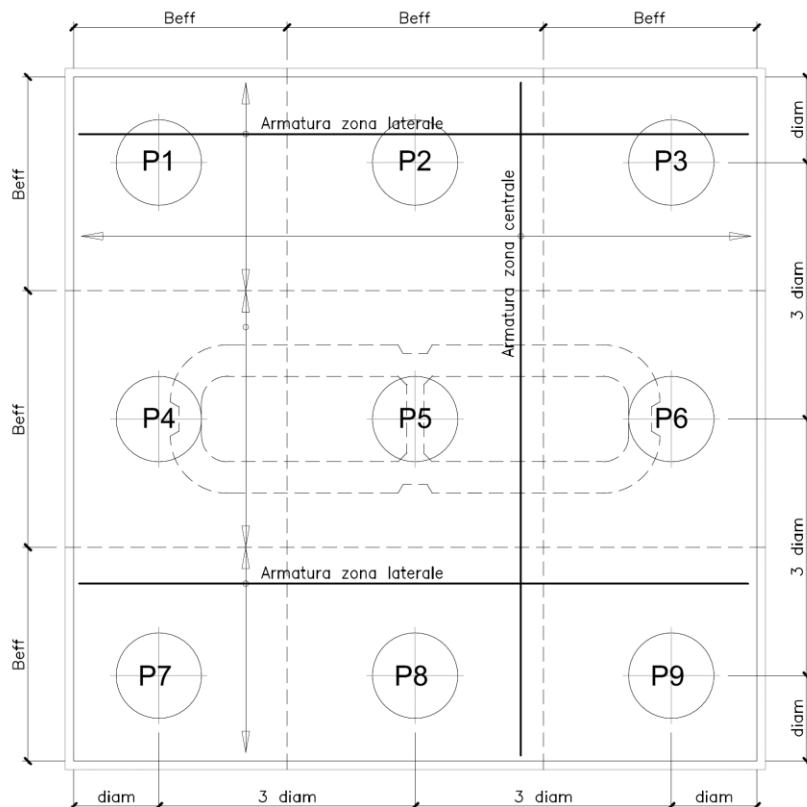


Figura 47 – Plinto di fondazione – Armatura longitudinale inferiore e superiore

Il tirante d'armatura impiegato nelle verifiche è descritto nella tabella seguente.

	Armatura inferiore di verifica			Armatura superiore di verifica			
	Zona laterale		Zona centrale	Zona laterale		Zona centrale	
	dir. Long.	dir. Trasv.	dir. Long.	dir. Long.	dir. Trasv.	dir. Long.	
Beff	3	3	3.6	3	3	3.6	[m]
øbarre	3.00	2.20	3.00	2.40	2.20	2.40	[cm]
ibarre	0.15	0.20	0.15	0.20	0.20	0.20	[m]
nstrati	2.50	2.00	2.00	2.00	1.00	1.50	
nbarre	50	30	48	30	15	27	
A1b	7.07	3.80	7.07	4.52	3.80	4.52	[cm ²]
Atot	353	114	339	136	57	122	[cm ²]

  	ITINERARIO NAPOLI – BARI RADDOPPIO TRATTA CANCELLO – BENEVENTO I° LOTTO FUNZIONALE CANCELLO - FRASSO TELESINO E VARIANTE ALLA LINEA ROMA-NAPOLI VIA CASSINO NEL COMUNE DI MADDALONI – PROGETTO ESECUTIVO												
Pile P01-P02-P03-P04: Relazione di calcolo	<table border="1"> <tr> <td>COMMESSA</td> <td>LOTTO</td> <td>CODIFICA</td> <td>DOCUMENTO</td> <td>REV.</td> <td>FOGLIO</td> </tr> <tr> <td>IF1N</td> <td>01 E ZZ</td> <td>CL</td> <td>VI0205 001</td> <td>B</td> <td>136 di 140</td> </tr> </table>	COMMESSA	LOTTO	CODIFICA	DOCUMENTO	REV.	FOGLIO	IF1N	01 E ZZ	CL	VI0205 001	B	136 di 140
COMMESSA	LOTTO	CODIFICA	DOCUMENTO	REV.	FOGLIO								
IF1N	01 E ZZ	CL	VI0205 001	B	136 di 140								

La sezione della biella compressa di calcestruzzo impiegata nelle verifiche è descritta nella tabella seguente.

	Biella inferiore di verifica		Biella superiore di verifica		
	Zona laterale	Zona centrale	Zona laterale	Zona centrale	
	dir. Long.	dir. Long.	dir. Long.	dir. Long.	
Bc	3.00	3.60	3.00	3.60	[m]
hc	0.63	0.63	0.63	0.63	[m]
Ac	1.88	2.26	1.88	2.26	[m ²]

11.1.3 VERIFICHE SLU DELLE TENSIONI NORMALI

La verifica SLE di tipo tensionale si effettua verificando che le massime tensioni agenti nella sezione risultino inferiori ai seguenti valori limite:

per le combinazioni SLU e SLV:

- tensione limite nel calcestruzzo: $\sigma_c = f_{cd}' = 0.5 f_{cd} = 8.2 \text{ MPa}$
- tensione limite nelle barre: $\sigma_s = f_{yd} = 391 \text{ MPa}$

Si riportano a seguire in forma sintetica le verifiche più severe dei meccanismi tirante-puntone che si innescano nel plinto della pila avente maggiore altezza tra quelle comprese nel gruppo di sottostrutture considerato nella presente relazione.

	Nmax	PEd	T	σ_{s_long}	σ_{s_trasv}	< f _{yd}	C	σ_c	< f _{cd} '
SIS-SLV	7490	6758	7778	220	0	VERO	10304	5.5	VERO
	kN	kN	kN	Mpa	Mpa		kN	Mpa	

Negli allegati alla presente relazione sono riportate le verifiche in forma completa relative al plinto della pila con altezza maggiore tra quelle appartenenti al gruppo considerato.

11.1.4 VERIFICHE SLE DELLE TENSIONI NORMALI

La verifica SLE di tipo tensionale si effettua verificando che le massime tensioni agenti nella sezione risultino inferiori ai seguenti valori limite:

per le combinazioni SLE-RAR:

- tensione limite nel calcestruzzo: $\sigma_c = 0.55 f_{ck} = 16.0 \text{ MPa}$
- tensione limite nelle barre: $\sigma_s = 0.75 f_{yk} = 337.5 \text{ MPa}$

per le combinazioni SLE-QPE:

- tensione limite nel calcestruzzo: $\sigma_c = 0.40 f_{ck} = 11.6 \text{ MPa}$

  	ITINERARIO NAPOLI – BARI RADDOPPIO TRATTA CANCELLO – BENEVENTO I° LOTTO FUNZIONALE CANCELLO - FRASSO TELESINO E VARIANTE ALLA LINEA ROMA-NAPOLI VIA CASSINO NEL COMUNE DI MADDALONI – PROGETTO ESECUTIVO												
Pile P01-P02-P03-P04: Relazione di calcolo	<table border="1"> <tr> <td>COMMESSA</td> <td>LOTTO</td> <td>CODIFICA</td> <td>DOCUMENTO</td> <td>REV.</td> <td>FOGLIO</td> </tr> <tr> <td>IF1N</td> <td>01 E ZZ</td> <td>CL</td> <td>VI0205 001</td> <td>B</td> <td>137 di 140</td> </tr> </table>	COMMESSA	LOTTO	CODIFICA	DOCUMENTO	REV.	FOGLIO	IF1N	01 E ZZ	CL	VI0205 001	B	137 di 140
COMMESSA	LOTTO	CODIFICA	DOCUMENTO	REV.	FOGLIO								
IF1N	01 E ZZ	CL	VI0205 001	B	137 di 140								

Si riportano a seguire in forma sintetica le verifiche più severe dei meccanismi tirante-puntone che si innescano nel plinto della pila avente maggiore altezza tra quelle comprese nel gruppo di sottostrutture considerato nella presente relazione.

	Nmax	PEd	T	σ_{s_long}	σ_{s_trasv}	< 0.75 fyk	C	σ_c	< 0.40 fck'
SLE-RAR	5029	4297	4945	140	0	VERO	6551	3.5	VERO
	kN	kN	kN	Mpa	Mpa		kN	Mpa	

Negli allegati alla presente relazione sono riportate le verifiche in forma completa relative al plinto della pila con altezza maggiore tra quelle appartenenti al gruppo considerato.

11.2 VERIFICA SLU A PUNZONAMENTO

Il valore resistente a taglio-punzonamento della sezione si determina secondo le indicazioni del §4.1.2.1.3.1 e 4 [1]:

$$V_{Rd,c} = V_{Rd,c} / u \quad \text{in cui}$$

$$V_{Rd,c} = (0.18 k (100 \rho_l f_{ck})^{1/3} / \gamma_c + 0.15 \sigma_{cp}) b_w d \geq (v_{min} + 0.15 \sigma_{cp}) b_w d$$

u = perimetro efficace per la verifica a taglio-punzonamento

d = altezza utile della sezione

b_w = larghezza minima della sezione

$$k = 1 + (200/d)^{1/2} \leq 2$$

$$v_{min} = 0.035 k^{3/2} f_{ck}^{1/2}$$

$$\rho_l = A_{sl} / (b_w d)$$

$$\sigma_{cp} = N_{Ed} / A_c$$

Conservativamente, la verifica è stata riferita al palo di bordo maggiormente sollecitato e lo sviluppo del perimetro efficace u è stato definito considerando una distanza dall'impronta caricata (coincidente con la sezione di testa del palo) pari a d = a 0.9 H_{pl} (H_{pl} = altezza plinto, a < 2), come illustrato nella seguente figura.

	ITINERARIO NAPOLI – BARI RADDOPPIO TRATTA CANCELLO – BENEVENTO I° LOTTO FUNZIONALE CANCELLO - FRASSO TELESINO E VARIANTE ALLA LINEA ROMA-NAPOLI VIA CASSINO NEL COMUNE DI MADDALONI – PROGETTO ESECUTIVO												
Pile P01-P02-P03-P04: Relazione di calcolo	<table border="1"> <thead> <tr> <th>COMMESSA</th> <th>LOTTO</th> <th>CODIFICA</th> <th>DOCUMENTO</th> <th>REV.</th> <th>FOGLIO</th> </tr> </thead> <tbody> <tr> <td>IF1N</td> <td>01 E ZZ</td> <td>CL</td> <td>VI0205 001</td> <td>B</td> <td>138 di 140</td> </tr> </tbody> </table>	COMMESSA	LOTTO	CODIFICA	DOCUMENTO	REV.	FOGLIO	IF1N	01 E ZZ	CL	VI0205 001	B	138 di 140
COMMESSA	LOTTO	CODIFICA	DOCUMENTO	REV.	FOGLIO								
IF1N	01 E ZZ	CL	VI0205 001	B	138 di 140								

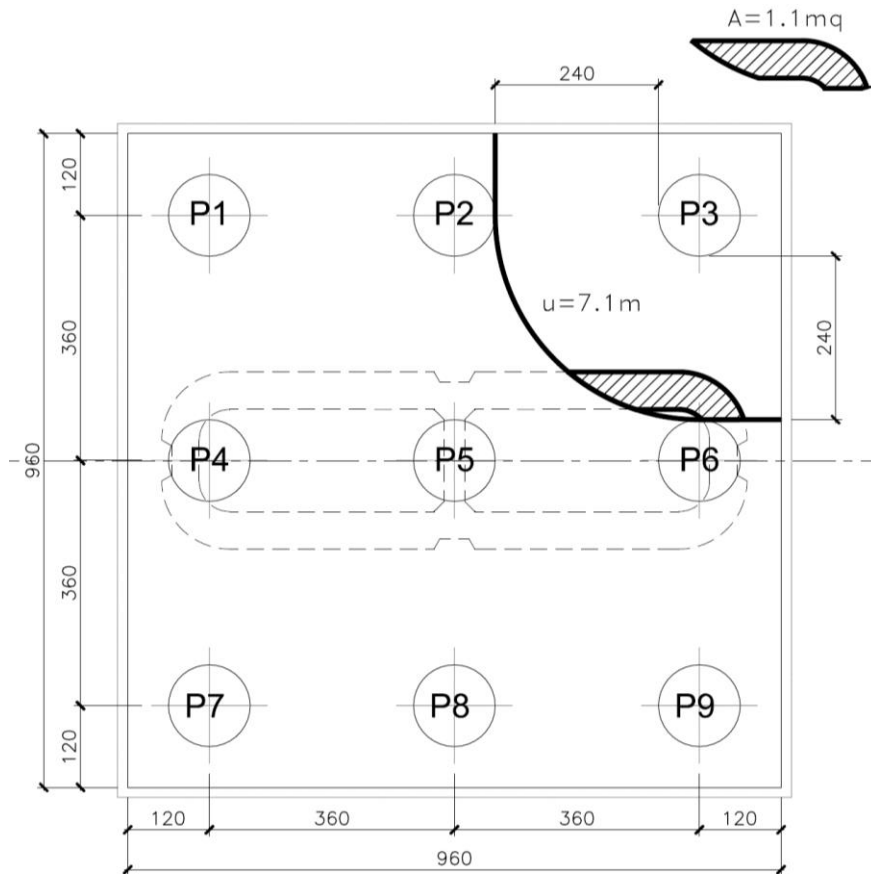


Figura 48 – Perimetro efficace per la verifica a taglio-punzonamento

A seguire si riportano il valore della forza concentrata V_{Ed} [kN] agente alla testa del palo maggiormente sollecitato nella condizione di verifica più severa, il valore del coefficiente a che individua la geometria del perimetro efficace e lo sviluppo u [m] di quest'ultimo.

La forza concentrata $V_{Ed} = 5621$ kN è stata depurata della quota parte di forza assiale agente nella sezione di base del fusto della pila, pari a $N_{Ed}^* = N_{Ed} \cdot A / A_c = 16000 \text{ kN} \cdot 1.1 \text{ m}^2 / 10.45 \text{ m}^2 = 1688$ kN

Si riporta a seguire in forma sintetica la verifica più severa (in combinazione SLV-SIS) a a taglio-punzonamento della pila avente maggiore altezza tra quelle comprese nel gruppo di sottostrutture considerato nella presente relazione.

$V_{Ed} - N_{Ed}^*$	5070	kN
a	1.1	
u	7.1	m
v_{Ed}	0.298	MPa
$v_{Rd,c}$	0.331	MPa

Negli allegati alla presente relazione sono riportate le verifiche in forma completa.

  	ITINERARIO NAPOLI – BARI RADDOPPIO TRATTA CANCELLO – BENEVENTO I° LOTTO FUNZIONALE CANCELLO - FRASSO TELESINO E VARIANTE ALLA LINEA ROMA-NAPOLI VIA CASSINO NEL COMUNE DI MADDALONI – PROGETTO ESECUTIVO												
Pile P01-P02-P03-P04: Relazione di calcolo	<table border="1"> <thead> <tr> <th>COMMESSA</th> <th>LOTTO</th> <th>CODIFICA</th> <th>DOCUMENTO</th> <th>REV.</th> <th>FOGLIO</th> </tr> </thead> <tbody> <tr> <td>IF1N</td> <td>01 E ZZ</td> <td>CL</td> <td>VI0205 001</td> <td>B</td> <td>139 di 140</td> </tr> </tbody> </table>	COMMESSA	LOTTO	CODIFICA	DOCUMENTO	REV.	FOGLIO	IF1N	01 E ZZ	CL	VI0205 001	B	139 di 140
COMMESSA	LOTTO	CODIFICA	DOCUMENTO	REV.	FOGLIO								
IF1N	01 E ZZ	CL	VI0205 001	B	139 di 140								

11.3 VERIFICA SLE A FESSURAZIONE

La verifica SLE a fessurazione si effettua verificando che il massimo valore di apertura delle fessure risulti inferiore ai seguenti valori limite:

per le combinazioni SLE-RAR:

- apertura fessure limite: $w_{lim} = w_1 = 0.30 \text{ mm}$

Si riporta a seguire in forma sintetica la verifica più severa (in combinazione SLE-RAR) della pila avente maggiore altezza tra quelle comprese nel gruppo di sottostrutture considerato nella presente relazione.

L'ampiezza massima delle fessure calcolata è pari a

wk **0.265** mm

Negli allegati alla presente relazione sono riportate le verifiche in forma completa.

  	ITINERARIO NAPOLI – BARI RADDOPPIO TRATTA CANCELLO – BENEVENTO I° LOTTO FUNZIONALE CANCELLO - FRASSO TELESINO E VARIANTE ALLA LINEA ROMA-NAPOLI VIA CASSINO NEL COMUNE DI MADDALONI – PROGETTO ESECUTIVO												
Pile P01-P02-P03-P04: Relazione di calcolo	<table border="1"> <thead> <tr> <th>COMMESSA</th> <th>LOTTO</th> <th>CODIFICA</th> <th>DOCUMENTO</th> <th>REV.</th> <th>FOGLIO</th> </tr> </thead> <tbody> <tr> <td>IF1N</td> <td>01 E ZZ</td> <td>CL</td> <td>VI0205 001</td> <td>B</td> <td>140 di 140</td> </tr> </tbody> </table>	COMMESSA	LOTTO	CODIFICA	DOCUMENTO	REV.	FOGLIO	IF1N	01 E ZZ	CL	VI0205 001	B	140 di 140
COMMESSA	LOTTO	CODIFICA	DOCUMENTO	REV.	FOGLIO								
IF1N	01 E ZZ	CL	VI0205 001	B	140 di 140								

12 INCIDENZE

Incidenza pulvino: 120 kg/m³
 Incidenza fusto: 240 kg/m³
 Incidenza platea: 90 kg/m³
 Incidenza pali: 125 kg/m³

ALLEGATO 1

NOME COMB.	G - Permanenti			Q1 - Variabili verticali							Q2 - Avviamento e frenatura							Q3 - Centrifuga							Q4 - Serpeggio							Q5 - Variabili Q6 - Azioni interne Q7 - Effetti d'interazione			E - Azioni sismiche			Descrizione											
	G1	G2	G22	Q11	Q12	Q13	Q14	Q15	Q16	Q17	Q21	Q22	Q23	Q24	Q25	Q26	Q27	Q31	Q32	Q33	Q34	Q35	Q36	Q37	Q41	Q42	Q43	Q44	Q45	Q46	Q47	Q51	Q61	Q71	E1	E2	E3												
SLU-GEO-041	1	1,3	1,3	0	0	0	1,25	0	0	0	0	0	0	0	0	0	0	0	0	0,63	0	0	0	0	0	0	0,63	0	0	0	0	0	0	0	0	1,25	0	0	0	0	0	0	Q14	gruppo 3					
SLU-GEO-042	1	1,3	1,3	0	0	0	0	1,25	0	0	0	0	0	0	0	0	0	0	0	0	0,63	0	0	0	0	0	0	0,63	0	0	0	0	0	0	0	0	1,25	0	0	0	0	0	0	Q15	gruppo 3				
SLU-GEO-043	1	1,3	1,3	0	0	0	0	0	0	1,25	0	0	0	0	0	0	0	0	0	0	0	0,63	0	0	0	0	0	0	0,63	0	0	0	0	0	0	0	0	1,25	0	0	0	0	0	0	Q16	gruppo 3			
SLU-GEO-044	1	1	0	0	0	0	0	0	0	0	0,63	0	0	0	0	0	1,25	0	0	0	0	0	0	0	0	0	0	0	0	0	0	0	0	0	0	0	0	0	0,63	0	0	0	0	0	Q27	gruppo 3-2			
SLU-GEO-045	1	1,3	1,3	1,25	0	0	0	0	0	0	0	0,63	0	0	0	0	0	1,25	0	0	0	0	0	0	0	0	0	0	0	0	0	0	0	0	0	0	0	0	0	0,78	0	0	0	Q11	gruppo 1				
SLU-GEO-046	1	1,3	1,3	0	1,25	0	0	0	0	0	0	0	0,63	0	0	0	0	0	1,25	0	0	0	0	0	0	0	0	1,25	0	0	0	0	0	0	0	0	0	0	0	0,78	0	0	0	Q12	gruppo 1				
SLU-GEO-047	1	1,3	1,3	0	0	1,25	0	0	0	0	0	0	0	0	0	0	0	0	1,25	0	0	0	0	0	0	0	0	1,25	0	0	0	0	0	0	0	0	0	0	0	0,78	0	0	0	Q13	gruppo 1				
SLU-GEO-048	1	1,3	1,3	0	0	0	1,25	0	0	0	0	0	0	0	0	0	0	0	0	1,25	0	0	0	0	0	0	0	1,25	0	0	0	0	0	0	0	0	0	0	0	0,78	0	0	0	Q14	gruppo 1				
SLU-GEO-049	1	1,3	1,3	0	0	0	0	1,25	0	0	0	0	0	0,63	0	0	0	0	0	0	0	0	0	1,25	0	0	0	0	1,25	0	0	0	0	0	0	0	0	0	0	0,78	0	0	0	Q15	gruppo 1				
SLU-GEO-050	1	1,3	1,3	0	0	0	0	0	0	1,25	0	0	0	0	0	0,63	0	0	0	0	0	0	0	1,25	0	0	0	0	1,25	0	0	0	0	0	0	0	0	0	0	0,78	0	0	0	Q16	gruppo 1				
SLU-GEO-051	1	1,3	1,3	1,25	0	0	0	0	0	0	0	1,25	0	0	0	0	0	0	0,63	0	0	0	0	0	0	0	0	0	0	0	0	0	0	0	0	0	0	0	0	0,78	0	0	0	Q11	gruppo 3				
SLU-GEO-052	1	1,3	1,3	0	1,25	0	0	0	0	0	0	0	1,25	0	0	0	0	0	0	0,63	0	0	0	0	0	0	0	0	0,63	0	0	0	0	0	0	0	0	0	0	0	0,78	0	0	0	Q12	gruppo 3			
SLU-GEO-053	1	1,3	1,3	0	0	1,25	0	0	0	0	0	0	0	0	0	0	0	0	0	0,63	0	0	0	0	0	0	0	0,63	0	0	0	0	0	0	0	0	0	0	0	0	0,78	0	0	0	Q13	gruppo 3			
SLU-GEO-054	1	1,3	1,3	0	0	0	1,25	0	0	0	0	0	0	0	0	0	0	0	0	0,63	0	0	0	0	0	0	0	0,63	0	0	0	0	0	0	0	0	0	0	0	0	0,78	0	0	0	Q14	gruppo 3			
SLU-GEO-055	1	1,3	1,3	0	0	0	0	1,25	0	0	0	0	0	0	1,25	0	0	0	0	0	0	0	0	0	0	0	0	0,63	0	0	0	0	0	0	0	0	0	0	0	0	0,78	0	0	0	Q15	gruppo 3			
SLU-GEO-056	1	1,3	1,3	0	0	0	0	0	0	1,25	0	0	0	0	0	1,25	0	0	0	0	0	0	0	0	0	0	0	0,63	0	0	0	0	0	0	0	0	0	0	0	0	0,78	0	0	0	Q16	gruppo 3			
SLU-GEO-057	1	1	0	0	0	0	0	0	0	0	0,63	0	0	0	0	0	1,25	0	0	0	0	0	0	0	0	0	0	0	0	0	0	0	0	0	0	0	0	0	0,63	0	0	0	Q27	gruppo 3-2					
SLU-GEO-058	1	1,3	1,3	1,25	0	0	0	0	0	0	0	0,63	0	0	0	0	0	1,25	0	0	0	0	0	0	0	0	1,25	0	0	0	0	0	0	0	0	0	0	0	0	0,78	1,25	0,78	0	0	0	Q11	gruppo 1		
SLU-GEO-059	1	1,3	1,3	0	1,25	0	0	0	0	0	0	0	0,63	0	0	0	0	0	1,25	0	0	0	0	0	0	0	0	1,25	0	0	0	0	0	0	0	0	0	0	0	0,78	1,25	0,78	0	0	0	Q12	gruppo 1		
SLU-GEO-060	1	1,3	1,3	0	0	1,25	0	0	0	0	0	0	0	0	0	0	0	0	0	1,25	0	0	0	0	0	0	0	1,25	0	0	0	0	0	0	0	0	0	0	0	0,78	1,25	0,78	0	0	0	Q13	gruppo 1		
SLU-GEO-061	1	1,3	1,3	0	0	0	1,25	0	0	0	0	0	0	0	0	0	0	0	0	1,25	0	0	0	0	0	0	0	1,25	0	0	0	0	0	0	0	0	0	0	0	0,78	1,25	0,78	0	0	0	Q14	gruppo 1		
SLU-GEO-062	1	1,3	1,3	0	0	0	0	1,25	0	0	0	0	0	0,63	0	0	0	0	0	0	0	0	0	1,25	0	0	0	0	1,25	0	0	0	0	0	0	0	0	0	0	0,78	1,25	0,78	0	0	0	Q15	gruppo 1		
SLU-GEO-063	1	1,3	1,3	0	0	0	0	0	0	1,25	0	0	0	0	0	0,63	0	0	0	0	0	0	0	1,25	0	0	0	0	1,25	0	0	0	0	0	0	0	0	0	0	0,78	1,25	0,78	0	0	0	Q16	gruppo 1		
SLU-GEO-064	1	1,3	1,3	1,25	0	0	0	0	0	0	0	1,25	0	0	0	0	0	0	0,63	0	0	0	0	0	0	0	0,63	0	0	0	0	0	0	0	0	0	0	0	0	0,78	1,25	0,78	0	0	0	Q11	gruppo 3		
SLU-GEO-065	1	1,3	1,3	0	1,25	0	0	0	0	0	0	0	1,25	0	0	0	0	0	0,63	0	0	0	0	0	0	0	0	0,63	0	0	0	0	0	0	0	0	0	0	0	0	0,78	1,25	0,78	0	0	0	Q12	gruppo 3	
SLU-GEO-066	1	1,3	1,3	0	0	1,25	0	0	0	0	0	0	0	1,25	0	0	0	0	0	0,63	0	0	0	0	0	0	0	0,63	0	0	0	0	0	0	0	0	0	0	0	0	0,78	1,25	0,78	0	0	0	Q13	gruppo 3	
SLU-GEO-067	1	1,3	1,3	0	0	0	1,25	0	0	0	0	0	0	0	0	0	0	0	0	0,63	0	0	0	0	0	0	0	0,63	0	0	0	0	0	0	0	0	0	0	0	0	0,78	1,25	0,78	0	0	0	Q14	gruppo 3	
SLU-GEO-068	1	1,3	1,3	0	0	0	0	1,25	0	0	0	0	0	1,25	0	0	0	0	0	0	0	0	0	0	0	0	0,63	0	0	0	0	0	0	0	0	0	0	0	0	0	0,78	1,25	0,78	0	0	0	Q15	gruppo 3	
SLU-GEO-069	1	1,3	1,3	0	0	0	0	0	0	1,25	0	0	0	0	0	1,25	0	0	0	0	0	0	0	0	0	0	0,63	0	0	0	0	0	0	0	0	0	0	0	0	0	0,78	1,25	0,78	0	0	0	Q16	gruppo 3	
SLU-GEO-070	1	1	0	0	0	0	0	0	0	0	0,63	0	0	0	0	0	1,25	0	0	0	0	0	0	0	0	0	0	0,63	0	0	0	0	0	0	0	0	0	0	0	0	0,63	0,78	1,25	0,78	0	0	0	Q27	gruppo 3-2
SLU-SIS-001	1	1	1	0	0	0	0	0	0	0	0	0	0	0	0	0	0	0	0	0	0	0	0	0	0	0	0	0	0	0	0	0	0	0	0	0	0	0	0	0	0	0	1	0,3	0,3	E1	solo perm		
SLU-SIS-002	1	1	1	0	0	0	0	0	0	0	0	0	0	0	0	0	0	0	0	0	0	0	0	0	0	0	0	0	0	0	0	0	0	0	0	0	0	0	0	0	0,2	0,5	1	0,3	0,3	E1	termica		
SLU-SIS-003	1	1	0	0	0	0	0	0	0	0	0	0	0	0	0	0	0	0	0	0	0	0	0	0	0	0	0	0	0	0	0	0	0	0	0	0	0	0	0	0,2	0,5	1	0,3	0,3	E1	termica			
SLU-SIS-004	1	1	1	0,2	0	0	0	0	0	0	0	0,1	0	0	0	0	0	0	0	0	0	0	0	0	0	0	0,2	0	0	0	0	0	0	0	0	0	0	0	0	0	0,2	0,5	1	0,3	0,3	E1	gruppo 1		
SLU-SIS-005	1	1	1	0	0,2	0	0	0	0	0	0	0	0,1	0	0	0	0	0	0	0	0	0	0	0	0	0	0	0,2	0	0	0	0	0	0	0	0	0	0	0	0	0,2	0,5	1	0,3	0,3	E1	gruppo 1		
SLU-SIS-006	1	1	1	0	0	0,2	0	0	0	0	0	0	0	0,1	0	0	0	0	0	0	0	0	0	0	0	0	0	0	0,2	0	0	0	0	0	0	0	0	0	0	0	0,2	0,5	1	0,3	0,3	E1	gruppo 1		

NOME COMB.	G - Permanenti			Q1 - Variabili verticali							Q2 - Avviamento e frenatura							Q3 - Centrifuga							Q4 - Serpeggio							Q5 - Variabili Q6 - Azioni interne Q7 - Effetti d'interazione			E - Azioni sismiche			Descrizione				
	G1	G2	G22	Q11	Q12	Q13	Q14	Q15	Q16	Q17	Q21	Q22	Q23	Q24	Q25	Q26	Q27	Q31	Q32	Q33	Q34	Q35	Q36	Q37	Q41	Q42	Q43	Q44	Q45	Q46	Q47	Q51	Q61	Q71	E1	E2	E3					
SLU-SIS-007	1	1	1	0	0	0	0,2	0	0	0	0	0	0	0	0	0	0	0	0	0,2	0	0	0	0	0	0	0	0,2	0	0	0	0	0	0,2	0,2	0,5	1	0,3	0,3	E1	gruppo 1	
SLU-SIS-008	1	1	1	0	0	0	0	0,2	0	0	0	0	0	0,1	0	0	0	0	0	0	0	0,2	0	0	0	0	0	0	0	0	0,2	0	0	0	0,2	0,2	0,5	1	0,3	0,3	E1	gruppo 1
SLU-SIS-009	1	1	1	0	0	0	0	0	0	0,2	0	0	0	0	0,1	0	0	0	0	0	0	0	0,2	0	0	0	0	0	0	0	0,2	0	0	0,2	0,2	0,5	1	0,3	0,3	E1	gruppo 1	
SLU-SIS-010	1	1	1	0,2	0	0	0	0	0	0	0	0,2	0	0	0	0	0	0,1	0	0	0	0	0	0	0	0,1	0	0	0	0	0	0	0	0,2	0,2	0,5	1	0,3	0,3	E1	gruppo 3	
SLU-SIS-011	1	1	1	0	0,2	0	0	0	0	0	0	0	0,2	0	0	0	0	0,1	0	0	0	0	0	0	0	0	0,1	0	0	0	0	0	0	0,2	0,2	0,5	1	0,3	0,3	E1	gruppo 3	
SLU-SIS-012	1	1	1	0	0	0,2	0	0	0	0	0	0	0,2	0	0	0	0	0	0,1	0	0	0	0	0	0	0	0	0,1	0	0	0	0	0	0	0,2	0,2	0,5	1	0,3	0,3	E1	gruppo 3
SLU-SIS-013	1	1	1	0	0	0	0,2	0	0	0	0	0	0,2	0	0	0	0	0	0	0	0,1	0	0	0	0	0	0	0	0,1	0	0	0	0	0	0,2	0,2	0,5	1	0,3	0,3	E1	gruppo 3
SLU-SIS-014	1	1	1	0	0	0	0	0,2	0	0	0	0	0,2	0	0	0	0	0	0	0	0	0,1	0	0	0	0	0	0	0,1	0	0	0	0	0,2	0,2	0,5	1	0,3	0,3	E1	gruppo 3	
SLU-SIS-015	1	1	1	0	0	0	0	0	0	0,2	0	0	0	0	0,2	0	0	0	0	0	0	0	0,1	0	0	0	0	0	0,1	0	0	0	0	0,2	0,2	0,5	1	0,3	0,3	E1	gruppo 3	
SLU-SIS-016	1	1	0	0	0	0	0	0	0	0	0	0	0	0	0	0,2	0	0	0	0	0	0	0	0,1	0	0	0	0	0	0	0	0	0,1	0	0,2	0,2	0,5	1	0,3	0,3	E1	gruppo 3-2
SLU-SIS-017	1	1	1	0	0	0	0	0	0	0	0	0	0	0	0	0	0	0	0	0	0	0	0	0	0	0	0	0	0	0	0	0	0	0	0	0	1	0,3	-0,3	E1	solo perm	
SLU-SIS-018	1	1	1	0	0	0	0	0	0	0	0	0	0	0	0	0	0	0	0	0	0	0	0	0	0	0	0	0	0	0	0	0	0	0	0,2	0,2	0,5	1	0,3	-0,3	E1	termica
SLU-SIS-019	1	1	0	0	0	0	0	0	0	0	0	0	0	0	0	0	0	0	0	0	0	0	0	0	0	0	0	0	0	0	0	0	0	0,2	0,2	0,5	1	0,3	-0,3	E1	termica	
SLU-SIS-020	1	1	1	0,2	0	0	0	0	0	0	0	0	0	0	0	0	0	0	0	0	0	0	0	0	0	0	0	0	0	0	0	0	0	0	0	0	1	0,3	-0,3	E1	solo vert	
SLU-SIS-021	1	1	1	0,2	0	0	0	0	0	0	0	0,1	0	0	0	0	0	0,2	0	0	0	0	0	0	0	0,2	0	0	0	0	0	0	0	0,2	0,2	0,2	1	0,3	-0,3	E1	gruppo 1	
SLU-SIS-022	1	1	1	0	0,2	0	0	0	0	0	0	0	0,1	0	0	0	0	0	0,2	0	0	0	0	0	0	0	0,2	0	0	0	0	0	0	0,2	0,2	0,2	1	0,3	-0,3	E1	gruppo 1	
SLU-SIS-023	1	1	1	0	0	0,2	0	0	0	0	0	0	0,1	0	0	0	0	0	0	0,2	0	0	0	0	0	0	0	0,2	0	0	0	0	0	0,2	0,2	0,2	1	0,3	-0,3	E1	gruppo 1	
SLU-SIS-024	1	1	1	0	0	0	0,2	0	0	0	0	0	0	0,1	0	0	0	0	0	0	0,2	0	0	0	0	0	0	0,2	0	0	0	0	0,2	0,2	0,2	1	0,3	-0,3	E1	gruppo 1		
SLU-SIS-025	1	1	1	0	0	0	0	0,2	0	0	0	0	0	0,1	0	0	0	0	0	0	0	0,2	0	0	0	0	0,2	0	0	0	0	0,2	0,2	0,2	1	0,3	-0,3	E1	gruppo 1			
SLU-SIS-026	1	1	1	0	0	0	0	0	0	0,2	0	0	0	0	0,1	0	0	0	0	0	0	0	0,2	0	0	0	0	0,2	0	0	0,2	0,2	0,2	0,2	1	0,3	-0,3	E1	gruppo 1			
SLU-SIS-027	1	1	1	0,2	0	0	0	0	0	0	0	0,2	0	0	0	0	0,1	0	0	0	0	0	0	0	0	0,1	0	0	0	0	0	0	0,2	0,2	0,2	1	0,3	-0,3	E1	gruppo 3		
SLU-SIS-028	1	1	1	0	0,2	0	0	0	0	0	0	0	0	0	0	0	0	0,1	0	0	0	0	0	0	0	0	0,1	0	0	0	0	0	0,2	0,2	0,2	1	0,3	-0,3	E1	gruppo 3		
SLU-SIS-029	1	1	1	0	0	0,2	0	0	0	0	0	0	0,2	0	0	0	0	0	0,1	0	0	0	0	0	0	0	0,1	0	0	0	0	0	0,2	0,2	0,2	1	0,3	-0,3	E1	gruppo 3		
SLU-SIS-030	1	1	1	0	0	0	0,2	0	0	0	0	0	0	0	0	0	0	0	0	0	0,1	0	0	0	0	0	0	0,1	0	0	0	0	0,2	0,2	0,2	1	0,3	-0,3	E1	gruppo 3		
SLU-SIS-031	1	1	1	0	0	0	0	0,2	0	0	0	0	0	0,2	0	0	0	0	0	0	0	0,1	0	0	0	0	0,1	0	0	0	0	0,2	0,2	0,2	1	0,3	-0,3	E1	gruppo 3			
SLU-SIS-032	1	1	1	0	0	0	0	0	0	0,2	0	0	0	0	0,2	0	0	0	0	0	0	0	0,1	0	0	0	0	0,1	0	0	0,1	0	0,2	0,2	0,2	1	0,3	-0,3	E1	gruppo 3		
SLU-SIS-033	1	1	0	0	0	0	0	0	0	0	0	0	0	0	0	0,2	0	0	0	0	0	0	0	0,1	0	0	0	0	0	0	0	0,1	0	0,2	0,2	0,2	1	0,3	-0,3	E1	gruppo 3-2	
SLU-SIS-034	1	1	1	0	0	0	0	0	0	0	0	0	0	0	0	0	0	0	0	0	0	0	0	0	0	0	0	0	0	0	0	0	0	0	0	0,3	1	0,3	E2	solo perm		
SLU-SIS-035	1	1	1	0	0	0	0	0	0	0	0	0	0	0	0	0	0	0	0	0	0	0	0	0	0	0	0	0	0	0	0	0	0,2	0,5	0,3	1	0,3	E2	termica			
SLU-SIS-036	1	1	0	0	0	0	0	0	0	0	0	0	0	0	0	0	0	0	0	0	0	0	0	0	0	0	0	0	0	0	0	0,2	0,5	0,3	1	0,3	E2	termica				
SLU-SIS-037	1	1	1	0,2	0	0	0	0	0	0	0	0	0	0	0	0	0	0	0	0	0	0	0	0	0	0	0	0	0	0	0	0	0	0	0,3	1	0,3	E2	solo vert			
SLU-SIS-038	1	1	1	0,2	0	0	0	0	0	0	0	0	0	0	0	0	0,2	0	0	0	0	0	0	0	0	0,2	0	0	0	0	0	0,2	0,2	0,2	0,3	1	0,3	E2	gruppo 1			
SLU-SIS-039	1	1	1	0	0,2	0	0	0	0	0	0	0	0	0	0	0	0	0,2	0	0	0	0	0	0	0	0	0,2	0	0	0	0	0,2	0,2	0,2	0,3	1	0,3	E2	gruppo 1			
SLU-SIS-040	1	1	1	0	0	0,2	0	0	0	0	0	0	0	0	0	0	0	0	0,2	0	0	0	0	0	0	0	0	0,2	0	0	0	0	0,2	0,2	0,2	0,3	1	0,3	E2	gruppo 1		
SLU-SIS-041	1	1	1	0	0	0	0,2	0	0	0	0	0	0	0	0	0	0	0	0	0	0,2	0	0	0	0	0	0	0,2	0	0	0	0,2	0,2	0,2	0,3	1	0,3	E2	gruppo 1			
SLU-SIS-042	1	1	1	0	0	0	0	0,2	0	0	0	0	0	0,1	0	0	0	0	0	0	0	0	0	0	0,2	0	0	0	0,2	0	0	0,2	0,2	0,2	0,3	1	0,3	E2	gruppo 1			
SLU-SIS-043	1	1	1	0	0	0	0	0	0	0,2	0	0	0	0	0,1	0	0	0	0	0	0	0	0	0,2	0	0	0	0	0,2	0	0	0,2	0,2	0,2	0,3	1	0,3	E2	gruppo 1			

NOME COMB.	G - Permanenti			Q1 - Variabili verticali							Q2 - Avviamento e frenatura							Q3 - Centrifuga							Q4 - Serpeggio							Q5 - Variabili Q6 - Azioni interne Q7 - Effetti d'interazione			E - Azioni sismiche			Descrizione		
	G1	G2	G22	Q11	Q12	Q13	Q14	Q15	Q16	Q17	Q21	Q22	Q23	Q24	Q25	Q26	Q27	Q31	Q32	Q33	Q34	Q35	Q36	Q37	Q41	Q42	Q43	Q44	Q45	Q46	Q47	Q51	Q61	Q71	E1	E2	E3			
SLU-SIS-044	1	1	1	0,2	0	0	0	0	0	0	0,2	0	0	0	0	0	0,1	0	0	0	0	0	0	0,1	0	0	0	0	0	0	0	0,2	0,2	0,3	1	0,3	E2	gruppo 3		
SLU-SIS-045	1	1	1	0	0,2	0	0	0	0	0	0	0,2	0	0	0	0	0	0,1	0	0	0	0	0	0	0	0,1	0	0	0	0	0	0	0	0,2	0,2	0,3	1	0,3	E2	gruppo 3
SLU-SIS-046	1	1	1	0	0	0,2	0	0	0	0	0	0	0,2	0	0	0	0	0	0,1	0	0	0	0	0	0	0	0,1	0	0	0	0	0	0	0,2	0,2	0,3	1	0,3	E2	gruppo 3
SLU-SIS-047	1	1	1	0	0	0	0,2	0	0	0	0	0	0	0,2	0	0	0	0	0	0,1	0	0	0	0	0	0	0	0,1	0	0	0	0	0	0,2	0,2	0,3	1	0,3	E2	gruppo 3
SLU-SIS-048	1	1	1	0	0	0	0	0,2	0	0	0	0	0	0,2	0	0	0	0	0	0	0,1	0	0	0	0	0	0	0	0,1	0	0	0	0,2	0,2	0,3	1	0,3	E2	gruppo 3	
SLU-SIS-049	1	1	1	0	0	0	0	0	0	0,2	0	0	0	0	0,2	0	0	0	0	0	0	0,1	0	0	0	0	0	0	0	0,1	0	0	0,2	0,2	0,3	1	0,3	E2	gruppo 3	
SLU-SIS-050	1	1	0	0	0	0	0	0	0	0	0,1	0	0	0	0	0	0,2	0	0	0	0	0	0	0	0	0,1	0	0	0	0	0	0,1	0	0,2	0,2	0,3	1	0,3	E2	gruppo 3-2
SLU-SIS-051	1	1	1	0	0	0	0	0	0	0	0	0	0	0	0	0	0	0	0	0	0	0	0	0	0	0	0	0	0	0	0	0	0	0	0,3	1	-0,3	E2	solo perm	
SLU-SIS-052	1	1	1	0	0	0	0	0	0	0	0	0	0	0	0	0	0	0	0	0	0	0	0	0	0	0	0	0	0	0	0	0	0,2	0,5	0,3	1	-0,3	E2	termica	
SLU-SIS-053	1	1	0	0	0	0	0	0	0	0	0	0	0	0	0	0	0	0	0	0	0	0	0	0	0	0	0	0	0	0	0	0,2	0,5	0,3	1	-0,3	E2	termica		
SLU-SIS-054	1	1	1	0,2	0	0	0	0	0	0	0	0	0	0	0	0	0	0	0	0	0	0	0	0	0	0	0	0	0	0	0	0	0	0,3	1	-0,3	E2	solo vert		
SLU-SIS-055	1	1	1	0,2	0	0	0	0	0	0	0,1	0	0	0	0	0	0,2	0	0	0	0	0	0	0	0,2	0	0	0	0	0	0	0	0,2	0,2	0,3	1	-0,3	E2	gruppo 1	
SLU-SIS-056	1	1	1	0	0,2	0	0	0	0	0	0	0,1	0	0	0	0	0	0,2	0	0	0	0	0	0	0	0,2	0	0	0	0	0	0,2	0,2	0,3	1	-0,3	E2	gruppo 1		
SLU-SIS-057	1	1	1	0	0	0,2	0	0	0	0	0	0	0	0	0	0	0	0	0,2	0	0	0	0	0	0	0	0,2	0	0	0	0	0,2	0,2	0,3	1	-0,3	E2	gruppo 1		
SLU-SIS-058	1	1	1	0	0	0	0,2	0	0	0	0	0	0	0,1	0	0	0	0	0	0,2	0	0	0	0	0	0	0	0,2	0	0	0	0,2	0,2	0,3	1	-0,3	E2	gruppo 1		
SLU-SIS-059	1	1	1	0	0	0	0	0,2	0	0	0	0	0	0,1	0	0	0	0	0	0	0,2	0	0	0	0	0	0	0,2	0	0	0	0,2	0,2	0,3	1	-0,3	E2	gruppo 1		
SLU-SIS-060	1	1	1	0	0	0	0	0	0,2	0	0	0	0	0	0,1	0	0	0	0	0	0	0	0,2	0	0	0	0	0	0,2	0	0	0,2	0,2	0,3	1	-0,3	E2	gruppo 1		
SLU-SIS-061	1	1	1	0,2	0	0	0	0	0	0	0,2	0	0	0	0	0	0,1	0	0	0	0	0	0	0	0,1	0	0	0	0	0	0	0,2	0,2	0,3	1	-0,3	E2	gruppo 3		
SLU-SIS-062	1	1	1	0	0,2	0	0	0	0	0	0	0,2	0	0	0	0	0	0,1	0	0	0	0	0	0	0	0,1	0	0	0	0	0	0,2	0,2	0,3	1	-0,3	E2	gruppo 3		
SLU-SIS-063	1	1	1	0	0	0,2	0	0	0	0	0	0	0,2	0	0	0	0	0	0,1	0	0	0	0	0	0	0	0,1	0	0	0	0	0,2	0,2	0,3	1	-0,3	E2	gruppo 3		
SLU-SIS-064	1	1	1	0	0	0	0,2	0	0	0	0	0	0	0	0	0	0	0	0	0,1	0	0	0	0	0	0	0,1	0	0	0	0	0,2	0,2	0,3	1	-0,3	E2	gruppo 3		
SLU-SIS-065	1	1	1	0	0	0	0	0,2	0	0	0	0	0	0,2	0	0	0	0	0	0	0	0,1	0	0	0	0	0,1	0	0	0	0	0,2	0,2	0,3	1	-0,3	E2	gruppo 3		
SLU-SIS-066	1	1	1	0	0	0	0	0	0	0,2	0	0	0	0	0,2	0	0	0	0	0	0	0,1	0	0	0	0	0,1	0	0	0,2	0,2	0,3	1	-0,3	E2	gruppo 3				
SLU-SIS-067	1	1	0	0	0	0	0	0	0	0	0,1	0	0	0	0	0,2	0	0	0	0	0	0	0	0,1	0	0	0	0	0	0,1	0	0,2	0,2	0,3	1	-0,3	E2	gruppo 3-2		
SLU-SIS-068	1	1	1	0	0	0	0	0	0	0	0	0	0	0	0	0	0	0	0	0	0	0	0	0	0	0	0	0	0	0	0	0	0,3	0,3	1	E3	solo perm			
SLU-SIS-069	1	1	1	0	0	0	0	0	0	0	0	0	0	0	0	0	0	0	0	0	0	0	0	0	0	0	0	0	0	0	0,2	0,5	0,3	0,3	1	E3	termica			
SLU-SIS-070	1	1	0	0	0	0	0	0	0	0	0	0	0	0	0	0	0	0	0	0	0	0	0	0	0	0	0	0	0	0,2	0,5	0,3	0,3	1	E3	termica				
SLU-SIS-071	1	1	1	0,2	0	0	0	0	0	0	0	0	0	0	0	0	0	0	0	0	0	0	0	0	0	0	0	0	0	0	0	0	0,3	0,3	1	E3	solo vert			
SLU-SIS-072	1	1	1	0,2	0	0	0	0	0	0	0,1	0	0	0	0	0	0,2	0	0	0	0	0	0	0	0,2	0	0	0	0	0	0,2	0,2	0,3	0,3	1	E3	gruppo 1			
SLU-SIS-073	1	1	1	0	0,2	0	0	0	0	0	0	0,1	0	0	0	0	0	0,2	0	0	0	0	0	0	0	0,2	0	0	0	0	0,2	0,2	0,3	0,3	1	E3	gruppo 1			
SLU-SIS-074	1	1	1	0	0	0,2	0	0	0	0	0	0	0,1	0	0	0	0	0	0,2	0	0	0	0	0	0	0	0,2	0	0	0	0,2	0,2	0,3	0,3	1	E3	gruppo 1			
SLU-SIS-075	1	1	1	0	0	0	0,2	0	0	0	0	0	0	0,1	0	0	0	0	0	0,2	0	0	0	0	0	0	0,2	0	0	0	0,2	0,2	0,3	0,3	1	E3	gruppo 1			
SLU-SIS-076	1	1	1	0	0	0	0	0,2	0	0	0	0	0	0,1	0	0	0	0	0	0	0	0,2	0	0	0	0	0,2	0	0	0	0,2	0,2	0,3	0,3	1	E3	gruppo 1			
SLU-SIS-077	1	1	1	0	0	0	0	0	0,2	0	0	0	0	0	0,1	0	0	0	0	0	0	0	0,2	0	0	0	0	0,2	0	0	0,2	0,2	0,3	0,3	1	E3	gruppo 1			
SLU-SIS-078	1	1	1	0,2	0	0	0	0	0	0	0,2	0	0	0	0	0	0,1	0	0	0	0	0	0	0	0,1	0	0	0	0	0	0,2	0,2	0,3	0,3	1	E3	gruppo 3			
SLU-SIS-079	1	1	1	0	0,2	0	0	0	0	0	0	0,2	0	0	0	0	0	0,1	0	0	0	0	0	0	0	0,1	0	0	0	0	0,2	0,2	0,3	0,3	1	E3	gruppo 3			
SLU-SIS-080	1	1	1	0	0	0,2	0	0	0	0	0	0	0,2	0	0	0	0	0	0,1	0	0	0	0	0	0	0	0,1	0	0	0	0,2	0,2	0,3	0,3	1	E3	gruppo 3			

NOME COMB.	G - Permanenti			Q1 - Variabili verticali							Q2 - Avviamento e frenatura							Q3 - Centrifuga							Q4 - Serpeggio							Q5 - Variabili Q6 - Azioni interne Q7 - Effetti d'interazione			E - Azioni sismiche			Descrizione		
	G1	G2	G22	Q11	Q12	Q13	Q14	Q15	Q16	Q17	Q21	Q22	Q23	Q24	Q25	Q26	Q27	Q31	Q32	Q33	Q34	Q35	Q36	Q37	Q41	Q42	Q43	Q44	Q45	Q46	Q47	Q51	Q61	Q71	E1	E2	E3			
SLU-SIS-081	1	1	1	0	0	0	0,2	0	0	0	0	0	0	0,2	0	0	0	0	0	0,1	0	0	0	0	0	0	0,1	0	0	0	0	0,2	0,2	0,2	0,3	0,3	1	E3	gruppo 3	
SLU-SIS-082	1	1	1	0	0	0	0	0,2	0	0	0	0	0	0,2	0	0	0	0	0	0	0,1	0	0	0	0	0	0	0,1	0	0	0	0	0,2	0,2	0,2	0,3	0,3	1	E3	gruppo 3
SLU-SIS-083	1	1	1	0	0	0	0	0	0,2	0	0	0	0	0,2	0	0	0	0	0	0	0	0,1	0	0	0	0	0	0,1	0	0	0	0	0,2	0,2	0,2	0,3	0,3	1	E3	gruppo 3
SLU-SIS-084	1	1	0	0	0	0	0	0	0	0,1	0	0	0	0	0	0,2	0	0	0	0	0	0	0,1	0	0	0	0	0	0,1	0	0,2	0,2	0,2	0,2	0,3	0,3	1	E3	gruppo 3-2	
SLU-SIS-085	1	1	1	0	0	0	0	0	0	0	0	0	0	0	0	0	0	0	0	0	0	0	0	0	0	0	0	0	0	0	0	0	0	0	0,3	0,3	-1	E3	solo perm	
SLU-SIS-086	1	1	1	0	0	0	0	0	0	0	0	0	0	0	0	0	0	0	0	0	0	0	0	0	0	0	0	0	0	0	0,2	0,5	0,3	0,3	-1	E3	termica			
SLU-SIS-087	1	1	0	0	0	0	0	0	0	0	0	0	0	0	0	0	0	0	0	0	0	0	0	0	0	0	0	0	0	0,2	0,5	0,3	0,3	-1	E3	termica				
SLU-SIS-088	1	1	1	0,2	0	0	0	0	0	0	0	0	0	0	0	0	0	0	0	0	0	0	0	0	0	0	0	0	0	0	0	0	0	0,3	0,3	-1	E3	solo vert		
SLU-SIS-089	1	1	1	0,2	0	0	0	0	0	0	0	0	0	0	0	0	0,2	0	0	0	0	0	0	0	0	0,2	0	0	0	0	0,2	0,2	0,2	0,3	0,3	-1	E3	gruppo 1		
SLU-SIS-090	1	1	1	0	0,2	0	0	0	0	0	0	0	0	0	0	0	0	0,2	0	0	0	0	0	0	0	0,2	0	0	0	0	0,2	0,2	0,2	0,3	0,3	-1	E3	gruppo 1		
SLU-SIS-091	1	1	1	0	0	0,2	0	0	0	0	0	0	0	0	0	0	0	0	0,2	0	0	0	0	0	0	0	0,2	0	0	0	0,2	0,2	0,2	0,3	0,3	-1	E3	gruppo 1		
SLU-SIS-092	1	1	1	0	0	0	0,2	0	0	0	0	0	0	0	0	0	0	0	0	0,2	0	0	0	0	0	0	0,2	0	0	0,2	0,2	0,2	0,2	0,3	0,3	-1	E3	gruppo 1		
SLU-SIS-093	1	1	1	0	0	0	0	0,2	0	0	0	0	0	0,1	0	0	0	0	0	0	0	0,2	0	0	0	0	0,2	0	0	0,2	0,2	0,2	0,2	0,3	0,3	-1	E3	gruppo 1		
SLU-SIS-094	1	1	1	0	0	0	0	0	0,2	0	0	0	0	0	0,1	0	0	0	0	0	0	0	0,2	0	0	0	0	0,2	0	0,2	0,2	0,2	0,2	0,3	0,3	-1	E3	gruppo 1		
SLU-SIS-095	1	1	1	0,2	0	0	0	0	0	0	0	0	0	0	0	0	0,1	0	0	0	0	0	0	0	0	0,1	0	0	0	0	0,2	0,2	0,2	0,3	0,3	-1	E3	gruppo 3		
SLU-SIS-096	1	1	1	0	0,2	0	0	0	0	0	0	0	0	0	0	0	0	0,1	0	0	0	0	0	0	0	0,1	0	0	0	0	0,2	0,2	0,2	0,3	0,3	-1	E3	gruppo 3		
SLU-SIS-097	1	1	1	0	0	0,2	0	0	0	0	0	0	0	0	0	0	0	0	0,1	0	0	0	0	0	0	0	0,1	0	0	0	0,2	0,2	0,2	0,3	0,3	-1	E3	gruppo 3		
SLU-SIS-098	1	1	1	0	0	0	0,2	0	0	0	0	0	0	0	0	0	0	0	0	0,1	0	0	0	0	0	0	0,1	0	0	0	0,2	0,2	0,2	0,3	0,3	-1	E3	gruppo 3		
SLU-SIS-099	1	1	1	0	0	0	0	0,2	0	0	0	0	0	0,2	0	0	0	0	0	0	0,1	0	0	0	0	0	0,1	0	0	0	0,2	0,2	0,2	0,3	0,3	-1	E3	gruppo 3		
SLU-SIS-100	1	1	1	0	0	0	0	0	0,2	0	0	0	0	0	0,2	0	0	0	0	0	0	0	0,1	0	0	0	0	0,1	0	0,2	0,2	0,2	0,2	0,3	0,3	-1	E3	gruppo 3		
SLU-SIS-101	1	1	0	0	0	0	0	0	0	0,1	0	0	0	0	0	0,2	0	0	0	0	0	0	0,1	0	0	0	0	0,1	0	0,2	0,2	0,2	0,2	0,3	0,3	-1	E3	gruppo 3-2		
SLU-SIS-102	1	1	1	0	0	0	0	0	0	0	0	0	0	0	0	0	0	0	0	0	0	0	0	0	0	0	0	0	0	0	0	0	-1	-0,3	0,3	E1	solo perm			
SLU-SIS-103	1	1	1	0	0	0	0	0	0	0	0	0	0	0	0	0	0	0	0	0	0	0	0	0	0	0	0	0	0,2	0,5	-1	-0,3	0,3	E1	termica					
SLU-SIS-104	1	1	0	0	0	0	0	0	0	0	0	0	0	0	0	0	0	0	0	0	0	0	0	0	0	0	0	0	0,2	0,5	-1	-0,3	0,3	E1	termica					
SLU-SIS-105	1	1	1	0,2	0	0	0	0	0	0	0	0	0	0	0	0	0,2	0	0	0	0	0	0	0	0,2	0	0	0	0	0,2	0,5	-1	-0,3	0,3	E1	gruppo 1				
SLU-SIS-106	1	1	1	0	0,2	0	0	0	0	0	0	0	0	0	0	0	0	0,2	0	0	0	0	0	0	0	0,2	0	0	0	0,2	0,5	-1	-0,3	0,3	E1	gruppo 1				
SLU-SIS-107	1	1	1	0	0	0,2	0	0	0	0	0	0	0	0	0	0	0	0	0,2	0	0	0	0	0	0	0,2	0	0	0	0,2	0,5	-1	-0,3	0,3	E1	gruppo 1				
SLU-SIS-108	1	1	1	0	0	0	0,2	0	0	0	0	0	0	0	0	0	0	0	0	0,2	0	0	0	0	0	0	0,2	0	0	0,2	0,5	-1	-0,3	0,3	E1	gruppo 1				
SLU-SIS-109	1	1	1	0	0	0	0	0,2	0	0	0	0	0,1	0	0	0	0	0	0	0	0	0,2	0	0	0	0	0,2	0	0	0,2	0,5	-1	-0,3	0,3	E1	gruppo 1				
SLU-SIS-110	1	1	1	0	0	0	0	0	0,2	0	0	0	0	0,1	0	0	0	0	0	0	0	0,2	0	0	0	0	0,2	0	0,2	0,5	-1	-0,3	0,3	E1	gruppo 1					
SLU-SIS-111	1	1	1	0,2	0	0	0	0	0	0	0	0	0	0	0	0	0,1	0	0	0	0	0	0	0	0,1	0	0	0	0	0,2	0,5	-1	-0,3	0,3	E1	gruppo 3				
SLU-SIS-112	1	1	1	0	0,2	0	0	0	0	0	0	0	0	0	0	0	0	0,1	0	0	0	0	0	0	0	0,1	0	0	0	0,2	0,5	-1	-0,3	0,3	E1	gruppo 3				
SLU-SIS-113	1	1	1	0	0	0,2	0	0	0	0	0	0	0	0	0	0	0	0	0,1	0	0	0	0	0	0	0,1	0	0	0	0,2	0,5	-1	-0,3	0,3	E1	gruppo 3				
SLU-SIS-114	1	1	1	0	0	0	0,2	0	0	0	0	0	0	0	0	0	0	0	0	0,1	0	0	0	0	0	0,1	0	0	0	0,2	0,5	-1	-0,3	0,3	E1	gruppo 3				
SLU-SIS-115	1	1	1	0	0	0	0	0,2	0	0	0	0	0	0,2	0	0	0	0	0	0	0,1	0	0	0	0	0,1	0	0	0	0,2	0,5	-1	-0,3	0,3	E1	gruppo 3				
SLU-SIS-116	1	1	1	0	0	0	0	0	0,2	0	0	0	0	0,2	0	0	0	0	0	0	0	0,1	0	0	0	0	0,1	0	0	0,2	0,5	-1	-0,3	0,3	E1	gruppo 3				
SLU-SIS-117	1	1	0	0	0	0	0	0	0	0,1	0	0	0	0	0	0,2	0	0	0	0	0	0	0,1	0	0	0	0	0,1	0	0,2	0,5	-1	-0,3	0,3	E1	gruppo 3-2				

NOME COMB.	G - Permanenti			Q1 - Variabili verticali							Q2 - Avviamento e frenatura							Q3 - Centrifuga							Q4 - Serpeggio							Q5 - Variabili Q6 - Azioni interne Q7 - Effetti d'interazione			E - Azioni sismiche			Descrizione			
	G1	G2	G22	Q11	Q12	Q13	Q14	Q15	Q16	Q17	Q21	Q22	Q23	Q24	Q25	Q26	Q27	Q31	Q32	Q33	Q34	Q35	Q36	Q37	Q41	Q42	Q43	Q44	Q45	Q46	Q47	Q51	Q61	Q71	E1	E2	E3				
SLU-SIS-118	1	1	1	0	0	0	0	0	0	0	0	0	0	0	0	0	0	0	0	0	0	0	0	0	0	0	0	0	0	0	0	0	0	0	0	-1	-0,3	-0,3	E1	solo perm	
SLU-SIS-119	1	1	1	0	0	0	0	0	0	0	0	0	0	0	0	0	0	0	0	0	0	0	0	0	0	0	0	0	0	0	0	0	0	0	0,2	0,5	-1	-0,3	-0,3	E1	termica
SLU-SIS-120	1	1	0	0	0	0	0	0	0	0	0	0	0	0	0	0	0	0	0	0	0	0	0	0	0	0	0	0	0	0	0	0	0	0,2	0,5	-1	-0,3	-0,3	E1	termica	
SLU-SIS-121	1	1	1	0,2	0	0	0	0	0	0	0	0	0	0	0	0	0	0	0	0	0	0	0	0	0	0	0	0	0	0	0	0	0	0	0	-1	-0,3	-0,3	E1	solo vert	
SLU-SIS-122	1	1	1	0,2	0	0	0	0	0	0	0	0,1	0	0	0	0	0	0,2	0	0	0	0	0	0	0	0,2	0	0	0	0	0	0	0	0,2	0,2	-1	-0,3	-0,3	E1	gruppo 1	
SLU-SIS-123	1	1	1	0	0,2	0	0	0	0	0	0	0	0,1	0	0	0	0	0	0,2	0	0	0	0	0	0	0	0,2	0	0	0	0	0	0	0,2	0,2	-1	-0,3	-0,3	E1	gruppo 1	
SLU-SIS-124	1	1	1	0	0	0,2	0	0	0	0	0	0	0	0,1	0	0	0	0	0	0,2	0	0	0	0	0	0	0	0,2	0	0	0	0	0	0,2	0,2	-1	-0,3	-0,3	E1	gruppo 1	
SLU-SIS-125	1	1	1	0	0	0	0,2	0	0	0	0	0	0	0	0,1	0	0	0	0	0,2	0	0	0	0	0	0	0	0,2	0	0	0	0	0	0,2	0,2	-1	-0,3	-0,3	E1	gruppo 1	
SLU-SIS-126	1	1	1	0	0	0	0	0,2	0	0	0	0	0	0	0,1	0	0	0	0	0	0,2	0	0	0	0	0	0,2	0	0	0	0	0	0,2	0,2	-1	-0,3	-0,3	E1	gruppo 1		
SLU-SIS-127	1	1	1	0	0	0	0	0	0	0,2	0	0	0	0	0	0,1	0	0	0	0	0	0	0	0	0,2	0	0	0	0,2	0	0	0	0,2	0,2	-1	-0,3	-0,3	E1	gruppo 1		
SLU-SIS-128	1	1	1	0,2	0	0	0	0	0	0	0	0,2	0	0	0	0	0	0,1	0	0	0	0	0	0	0	0,1	0	0	0	0	0	0	0,2	0,2	-1	-0,3	-0,3	E1	gruppo 3		
SLU-SIS-129	1	1	1	0	0,2	0	0	0	0	0	0	0	0,2	0	0	0	0	0	0,1	0	0	0	0	0	0	0	0,1	0	0	0	0	0	0,2	0,2	-1	-0,3	-0,3	E1	gruppo 3		
SLU-SIS-130	1	1	1	0	0	0,2	0	0	0	0	0	0	0	0	0	0	0	0	0,1	0	0	0	0	0	0	0	0,1	0	0	0	0	0	0,2	0,2	-1	-0,3	-0,3	E1	gruppo 3		
SLU-SIS-131	1	1	1	0	0	0	0,2	0	0	0	0	0	0	0	0	0	0	0	0	0,1	0	0	0	0	0	0	0,1	0	0	0	0	0	0,2	0,2	-1	-0,3	-0,3	E1	gruppo 3		
SLU-SIS-132	1	1	1	0	0	0	0	0,2	0	0	0	0	0	0	0,2	0	0	0	0	0	0	0	0,1	0	0	0	0	0,1	0	0	0	0	0,2	0,2	-1	-0,3	-0,3	E1	gruppo 3		
SLU-SIS-133	1	1	1	0	0	0	0	0	0	0,2	0	0	0	0	0,2	0	0	0	0	0	0	0	0,1	0	0	0	0	0,1	0	0	0,2	0,2	-1	-0,3	-0,3	E1	gruppo 3				
SLU-SIS-134	1	1	0	0	0	0	0	0	0	0	0,1	0	0	0	0	0	0,2	0	0	0	0	0	0	0	0,1	0	0	0	0	0	0,1	0	0,2	0,2	-1	-0,3	-0,3	E1	gruppo 3-2		
SLU-SIS-135	1	1	1	0	0	0	0	0	0	0	0	0	0	0	0	0	0	0	0	0	0	0	0	0	0	0	0	0	0	0	0	0	0	0	0	-0,3	-1	0,3	E2	solo perm	
SLU-SIS-136	1	1	1	0	0	0	0	0	0	0	0	0	0	0	0	0	0	0	0	0	0	0	0	0	0	0	0	0	0	0	0	0	0,2	0,5	-0,3	-1	0,3	E2	termica		
SLU-SIS-137	1	1	0	0	0	0	0	0	0	0	0	0	0	0	0	0	0	0	0	0	0	0	0	0	0	0	0	0	0	0	0	0,2	0,5	-0,3	-1	0,3	E2	termica			
SLU-SIS-138	1	1	1	0,2	0	0	0	0	0	0	0	0	0	0	0	0	0	0	0	0	0	0	0	0	0	0	0	0	0	0	0	0	0	0	0	-0,3	-1	0,3	E2	solo vert	
SLU-SIS-139	1	1	1	0,2	0	0	0	0	0	0	0	0,1	0	0	0	0	0	0,2	0	0	0	0	0	0	0	0,2	0	0	0	0	0	0	0,2	0,2	-0,3	-1	0,3	E2	gruppo 1		
SLU-SIS-140	1	1	1	0	0,2	0	0	0	0	0	0	0	0,1	0	0	0	0	0	0,2	0	0	0	0	0	0	0	0,2	0	0	0	0	0,2	0,2	-0,3	-1	0,3	E2	gruppo 1			
SLU-SIS-141	1	1	1	0	0	0,2	0	0	0	0	0	0	0	0	0	0	0	0	0,2	0	0	0	0	0	0	0	0,2	0	0	0	0	0,2	0,2	-0,3	-1	0,3	E2	gruppo 1			
SLU-SIS-142	1	1	1	0	0	0	0,2	0	0	0	0	0	0	0	0	0	0	0	0	0,2	0	0	0	0	0	0	0	0,2	0	0	0	0,2	0,2	-0,3	-1	0,3	E2	gruppo 1			
SLU-SIS-143	1	1	1	0	0	0	0	0,2	0	0	0	0	0,1	0	0	0	0	0	0	0	0,2	0	0	0	0	0	0,2	0	0	0	0	0,2	0,2	-0,3	-1	0,3	E2	gruppo 1			
SLU-SIS-144	1	1	1	0	0	0	0	0	0	0,2	0	0	0	0	0,1	0	0	0	0	0	0	0	0,2	0	0	0	0	0,2	0	0	0,2	0,2	-0,3	-1	0,3	E2	gruppo 1				
SLU-SIS-145	1	1	1	0,2	0	0	0	0	0	0	0	0,2	0	0	0	0	0,1	0	0	0	0	0	0	0	0,1	0	0	0	0	0	0	0,2	0,2	-0,3	-1	0,3	G1+G2	gruppo 3			
SLU-SIS-146	1	1	1	0	0,2	0	0	0	0	0	0	0	0	0	0	0	0	0,1	0	0	0	0	0	0	0	0	0,1	0	0	0	0	0,2	0,2	-0,3	-1	0,3	G1+G2	gruppo 3			
SLU-SIS-147	1	1	1	0	0	0,2	0	0	0	0	0	0	0	0	0	0	0	0	0,1	0	0	0	0	0	0	0	0,1	0	0	0	0	0,2	0,2	-0,3	-1	0,3	G1+G2	gruppo 3			
SLU-SIS-148	1	1	1	0	0	0	0,2	0	0	0	0	0	0	0	0	0	0	0	0	0,1	0	0	0	0	0	0	0,1	0	0	0	0,2	0,2	-0,3	-1	0,3	G1+G2	gruppo 3				
SLU-SIS-149	1	1	1	0	0	0	0	0,2	0	0	0	0	0	0	0,2	0	0	0	0	0	0	0	0,1	0	0	0	0,1	0	0	0	0,2	0,2	-0,3	-1	0,3	G1+G2	gruppo 3				
SLU-SIS-150	1	1	1	0	0	0	0	0	0	0,2	0	0	0	0	0,2	0	0	0	0	0	0	0	0,1	0	0	0	0	0,1	0	0	0,2	0,2	-0,3	-1	0,3	G1+G2	gruppo 3				
SLU-SIS-151	1	1	0	0	0	0	0	0	0	0	0,1	0	0	0	0	0	0,2	0	0	0	0	0	0	0,1	0	0	0	0	0	0,1	0	0,2	0,2	-0,3	-1	0,3	E2	gruppo 3-2			
SLU-SIS-152	1	1	1	0	0	0	0	0	0	0	0	0	0	0	0	0	0	0	0	0	0	0	0	0	0	0	0	0	0	0	0	0	0	0	0	-0,3	-1	-0,3	E2	solo perm	
SLU-SIS-153	1	1	1	0	0	0	0	0	0	0	0	0	0	0	0	0	0	0	0	0	0	0	0	0	0	0	0	0	0	0	0,2	0,5	-0,3	-1	-0,3	E2	termica				
SLU-SIS-154	1	1	0	0	0	0	0	0	0	0	0	0	0	0	0	0	0	0	0	0	0	0	0	0	0	0	0	0	0	0	0,2	0,5	-0,3	-1	-0,3	E2	termica				

NOME COMB.	G - Permanenti			Q1 - Variabili verticali							Q2 - Avviamento e frenatura							Q3 - Centrifuga							Q4 - Serpeggio							Q5 - Variabili Q6 - Azioni interne Q7 - Effetti d'interazione			E - Azioni sismiche			Descrizione		
	G1	G2	G22	Q11	Q12	Q13	Q14	Q15	Q16	Q17	Q21	Q22	Q23	Q24	Q25	Q26	Q27	Q31	Q32	Q33	Q34	Q35	Q36	Q37	Q41	Q42	Q43	Q44	Q45	Q46	Q47	Q51	Q61	Q71	E1	E2	E3			
SLU-SIS-155	1	1	1	0,2	0	0	0	0	0	0	0	0	0	0	0	0	0	0	0	0	0	0	0	0	0	0	0	0	0	0	0	0	0	0	0	-0,3	-1	-0,3	E2	solo vert
SLU-SIS-156	1	1	1	0,2	0	0	0	0	0	0	0	0,1	0	0	0	0	0	0,2	0	0	0	0	0	0	0	0,2	0	0	0	0	0	0	0	0,2	0,2	-0,3	-1	-0,3	E2	gruppo 1
SLU-SIS-157	1	1	1	0	0,2	0	0	0	0	0	0	0	0,1	0	0	0	0	0,2	0	0	0	0	0	0	0	0,2	0	0	0	0	0	0	0,2	0,2	-0,3	-1	-0,3	E2	gruppo 1	
SLU-SIS-158	1	1	1	0	0	0,2	0	0	0	0	0	0	0	0,1	0	0	0	0	0,2	0	0	0	0	0	0	0	0,2	0	0	0	0	0	0,2	0,2	-0,3	-1	-0,3	E2	gruppo 1	
SLU-SIS-159	1	1	1	0	0	0	0,2	0	0	0	0	0	0	0	0,1	0	0	0	0	0,2	0	0	0	0	0	0	0	0,2	0	0	0	0,2	0,2	-0,3	-1	-0,3	E2	gruppo 1		
SLU-SIS-160	1	1	1	0	0	0	0	0,2	0	0	0	0	0	0	0,1	0	0	0	0	0	0	0	0	0,2	0	0	0	0	0,2	0	0	0	0,2	0,2	-0,3	-1	-0,3	E2	gruppo 1	
SLU-SIS-161	1	1	1	0	0	0	0	0	0	0,2	0	0	0	0	0	0,1	0	0	0	0	0	0	0	0	0,2	0	0	0	0	0,2	0	0	0,2	0,2	-0,3	-1	-0,3	E2	gruppo 1	
SLU-SIS-162	1	1	1	0,2	0	0	0	0	0	0	0	0,2	0	0	0	0	0	0,1	0	0	0	0	0	0	0	0	0,1	0	0	0	0	0	0,2	0,2	-0,3	-1	-0,3	E2	gruppo 3	
SLU-SIS-163	1	1	1	0	0,2	0	0	0	0	0	0	0	0,2	0	0	0	0	0	0,1	0	0	0	0	0	0	0	0,1	0	0	0	0	0	0,2	0,2	-0,3	-1	-0,3	E2	gruppo 3	
SLU-SIS-164	1	1	1	0	0	0,2	0	0	0	0	0	0	0	0	0	0	0	0	0,1	0	0	0	0	0	0	0	0	0,1	0	0	0	0	0,2	0,2	-0,3	-1	-0,3	E2	gruppo 3	
SLU-SIS-165	1	1	1	0	0	0	0,2	0	0	0	0	0	0	0	0	0	0	0	0	0,1	0	0	0	0	0	0	0	0,1	0	0	0	0	0,2	0,2	-0,3	-1	-0,3	E2	gruppo 3	
SLU-SIS-166	1	1	1	0	0	0	0	0	0,2	0	0	0	0	0	0	0,2	0	0	0	0	0	0	0	0,1	0	0	0	0	0,1	0	0	0	0,2	0,2	-0,3	-1	-0,3	E2	gruppo 3	
SLU-SIS-167	1	1	1	0	0	0	0	0	0	0,2	0	0	0	0	0	0,2	0	0	0	0	0	0	0	0	0,1	0	0	0	0	0,1	0	0	0,2	0,2	-0,3	-1	-0,3	E2	gruppo 3	
SLU-SIS-168	1	1	0	0	0	0	0	0	0	0	0	0	0	0	0	0	0,2	0	0	0	0	0	0	0	0	0	0,1	0	0	0	0	0,1	0	0,2	0,2	-0,3	-1	-0,3	E2	gruppo 3-2
SLU-SIS-169	1	1	1	0	0	0	0	0	0	0	0	0	0	0	0	0	0	0	0	0	0	0	0	0	0	0	0	0	0	0	0	0	0	0	0	-0,3	-0,3	1	E3	solo perm
SLU-SIS-170	1	1	1	0	0	0	0	0	0	0	0	0	0	0	0	0	0	0	0	0	0	0	0	0	0	0	0	0	0	0	0	0	0	0,2	0,5	-0,3	-0,3	1	E3	termica
SLU-SIS-171	1	1	0	0	0	0	0	0	0	0	0	0	0	0	0	0	0	0	0	0	0	0	0	0	0	0	0	0	0	0	0	0	0	0,2	0,5	-0,3	-0,3	1	E3	termica
SLU-SIS-172	1	1	1	0,2	0	0	0	0	0	0	0	0	0	0	0	0	0	0	0	0	0	0	0	0	0	0	0	0	0	0	0	0	0	0	0	-0,3	-0,3	1	E3	solo vert
SLU-SIS-173	1	1	1	0,2	0	0	0	0	0	0	0	0,1	0	0	0	0	0	0,2	0	0	0	0	0	0	0	0	0,2	0	0	0	0	0	0	0,2	0,2	-0,3	-0,3	1	E3	gruppo 1
SLU-SIS-174	1	1	1	0	0,2	0	0	0	0	0	0	0	0,1	0	0	0	0	0,2	0	0	0	0	0	0	0	0	0,2	0	0	0	0	0	0	0,2	0,2	-0,3	-0,3	1	E3	gruppo 1
SLU-SIS-175	1	1	1	0	0	0,2	0	0	0	0	0	0	0	0	0	0	0	0	0,2	0	0	0	0	0	0	0	0,2	0	0	0	0	0	0,2	0,2	-0,3	-0,3	1	E3	gruppo 1	
SLU-SIS-176	1	1	1	0	0	0	0,2	0	0	0	0	0	0	0	0	0	0	0	0	0,2	0	0	0	0	0	0	0	0,2	0	0	0	0	0,2	0,2	-0,3	-0,3	1	E3	gruppo 1	
SLU-SIS-177	1	1	1	0	0	0	0	0	0,2	0	0	0	0	0	0,1	0	0	0	0	0	0	0	0,2	0	0	0	0	0,2	0	0	0	0	0,2	0,2	-0,3	-0,3	1	E3	gruppo 1	
SLU-SIS-178	1	1	1	0	0	0	0	0	0	0,2	0	0	0	0	0	0,1	0	0	0	0	0	0	0	0,2	0	0	0	0	0,2	0	0	0	0,2	0,2	-0,3	-0,3	1	E3	gruppo 1	
SLU-SIS-179	1	1	1	0,2	0	0	0	0	0	0	0	0,2	0	0	0	0	0	0,1	0	0	0	0	0	0	0	0	0,1	0	0	0	0	0	0	0,2	0,2	-0,3	-0,3	1	E3	gruppo 3
SLU-SIS-180	1	1	1	0	0,2	0	0	0	0	0	0	0	0,2	0	0	0	0	0,1	0	0	0	0	0	0	0	0	0,1	0	0	0	0	0	0,2	0,2	-0,3	-0,3	1	E3	gruppo 3	
SLU-SIS-181	1	1	1	0	0	0,2	0	0	0	0	0	0	0	0	0	0	0	0	0,1	0	0	0	0	0	0	0	0,1	0	0	0	0	0	0,2	0,2	-0,3	-0,3	1	E3	gruppo 3	
SLU-SIS-182	1	1	1	0	0	0	0,2	0	0	0	0	0	0	0	0	0	0	0	0	0,1	0	0	0	0	0	0	0,1	0	0	0	0	0	0,2	0,2	-0,3	-0,3	1	E3	gruppo 3	
SLU-SIS-183	1	1	1	0	0	0	0	0	0,2	0	0	0	0	0,2	0	0	0	0	0	0	0	0	0,1	0	0	0	0,1	0	0	0	0	0	0,2	0,2	-0,3	-0,3	1	E3	gruppo 3	
SLU-SIS-184	1	1	1	0	0	0	0	0	0	0,2	0	0	0	0	0,2	0	0	0	0	0	0	0	0,1	0	0	0	0	0,1	0	0	0	0	0,2	0,2	-0,3	-0,3	1	E3	gruppo 3	
SLU-SIS-185	1	1	0	0	0	0	0	0	0	0	0	0	0	0	0	0,2	0	0	0	0	0	0	0	0	0,1	0	0	0	0	0	0	0,1	0	0,2	0,2	-0,3	-0,3	1	E3	gruppo 3-2
SLU-SIS-186	1	1	1	0	0	0	0	0	0	0	0	0	0	0	0	0	0	0	0	0	0	0	0	0	0	0	0	0	0	0	0	0	0	0	0	-0,3	-0,3	-1	E3	solo perm
SLU-SIS-187	1	1	1	0	0	0	0	0	0	0	0	0	0	0	0	0	0	0	0	0	0	0	0	0	0	0	0	0	0	0	0	0	0,2	0,5	-0,3	-0,3	-1	E3	termica	
SLU-SIS-188	1	1	0	0	0	0	0	0	0	0	0	0	0	0	0	0	0	0	0	0	0	0	0	0	0	0	0	0	0	0	0	0	0,2	0,5	-0,3	-0,3	-1	E3	termica	
SLU-SIS-189	1	1	1	0,2	0	0	0	0	0	0	0	0	0	0	0	0	0	0	0	0	0	0	0	0	0	0	0	0	0	0	0	0	0	0	-0,3	-0,3	-1	E3	solo vert	
SLU-SIS-190	1	1	1	0,2	0	0	0	0	0	0	0	0,1	0	0	0	0	0	0,2	0	0	0	0	0	0	0	0	0,2	0	0	0	0	0	0,2	0,2	-0,3	-0,3	-1	E3	gruppo 1	
SLU-SIS-191	1	1	1	0	0,2	0	0	0	0	0	0	0	0,1	0	0	0	0	0,2	0	0	0	0	0	0	0	0	0,2	0	0	0	0	0	0,2	0,2	-0,3	-0,3	-1	E3	gruppo 1	

NOME COMB.	G - Permanenti			Q1 - Variabili verticali							Q2 - Avviamento e frenatura							Q3 - Centrifuga							Q4 - Serpeggio							Q5 - Variabili Q6 - Azioni interne Q7 - Effetti d'interazione			E - Azioni sismiche			Descrizione										
	G1	G2	G22	Q11	Q12	Q13	Q14	Q15	Q16	Q17	Q21	Q22	Q23	Q24	Q25	Q26	Q27	Q31	Q32	Q33	Q34	Q35	Q36	Q37	Q41	Q42	Q43	Q44	Q45	Q46	Q47	Q51	Q61	Q71	E1	E2	E3											
SLU-SIS-192	1	1	1	0	0	0,2	0	0	0	0	0	0	0,1	0	0	0	0	0	0,2	0	0	0	0	0	0	0	0,2	0	0	0	0	0	0,2	0,2	0,2	-0,3	-0,3	-1	E3	gruppo 1								
SLU-SIS-193	1	1	1	0	0	0	0,2	0	0	0	0	0	0	0,1	0	0	0	0	0	0,2	0	0	0	0	0	0	0	0,2	0	0	0	0	0,2	0,2	0,2	-0,3	-0,3	-1	E3	gruppo 1								
SLU-SIS-194	1	1	1	0	0	0	0	0,2	0	0	0	0	0	0,1	0	0	0	0	0	0	0,2	0	0	0	0	0	0	0	0,2	0	0	0	0,2	0,2	0,2	-0,3	-0,3	-1	E3	gruppo 1								
SLU-SIS-195	1	1	1	0	0	0	0	0	0,2	0	0	0	0	0	0,1	0	0	0	0	0	0	0,2	0	0	0	0	0	0	0,2	0	0	0,2	0,2	0,2	-0,3	-0,3	-1	E3	gruppo 1									
SLU-SIS-196	1	1	1	0,2	0	0	0	0	0	0	0	0	0	0	0	0	0,1	0	0	0	0	0	0	0	0	0,1	0	0	0	0	0	0	0,2	0,2	0,2	-0,3	-0,3	-1	E3	gruppo 3								
SLU-SIS-197	1	1	1	0	0,2	0	0	0	0	0	0	0	0	0	0	0	0	0,1	0	0	0	0	0	0	0	0	0,1	0	0	0	0	0	0,2	0,2	0,2	-0,3	-0,3	-1	E3	gruppo 3								
SLU-SIS-198	1	1	1	0	0	0,2	0	0	0	0	0	0	0	0,2	0	0	0	0	0	0,1	0	0	0	0	0	0	0	0,1	0	0	0	0	0,2	0,2	0,2	-0,3	-0,3	-1	E3	gruppo 3								
SLU-SIS-199	1	1	1	0	0	0	0,2	0	0	0	0	0	0	0,2	0	0	0	0	0	0	0,1	0	0	0	0	0	0	0,1	0	0	0	0,2	0,2	0,2	-0,3	-0,3	-1	E3	gruppo 3									
SLU-SIS-200	1	1	1	0	0	0	0	0,2	0	0	0	0	0	0,2	0	0	0	0	0	0	0,1	0	0	0	0	0	0	0,1	0	0	0	0,2	0,2	0,2	-0,3	-0,3	-1	E3	gruppo 3									
SLU-SIS-201	1	1	1	0	0	0	0	0	0,2	0	0	0	0	0	0,2	0	0	0	0	0	0	0,1	0	0	0	0	0	0,1	0	0	0,2	0,2	0,2	-0,3	-0,3	-1	E3	gruppo 3										
SLU-SIS-202	1	1	0	0	0	0	0	0	0	0	0,1	0	0	0	0	0	0,2	0	0	0	0	0	0	0,1	0	0	0	0	0	0	0,1	0,2	0,2	-0,3	-0,3	-1	E3	gruppo 3-2										
SLE-RAR-001	1	1	1	0	0	0	0	0	0	0	0	0	0	0	0	0	0	0	0	0	0	0	0	0	0	0	0	0	0	0	0	0	0	0	0	0	0	G1+G2	solo perm									
SLE-RAR-002	1	1	1	0	0	0	0	0	0	0	0	0	0	0	0	0	0	0	0	0	0	0	0	0	0	0	0	0	0	0	0	0	0	0	0	0	0	0	Q51	vento								
SLE-RAR-003	1	1	1	0	0	0	0	0	0	0	0	0	0	0	0	0	0	0	0	0	0	0	0	0	0	0	0	0	0	0	0	0	0	0	0	0	0	0	0	Q61	termica							
SLE-RAR-004	1	1	0	0	0	0	0	0	0	0	0	0	0	0	0	0	0	0	0	0	0	0	0	0	0	0	0	0	0	0	0	0	0	0	0	0	0	0	0	0	Q51	vento						
SLE-RAR-005	1	1	0	0	0	0	0	0	0	0	0	0	0	0	0	0	0	0	0	0	0	0	0	0	0	0	0	0	0	0	0	0	0	0	0	0	0	0	0	0	0	Q61	termica					
SLE-RAR-006	1	1	1	1	0	0	0	0	0	0	0	0,5	0	0	0	0	0	0	0	0	0	0	0	0	0	0	0	0	0	0	0	0	0	0	0	0	0	0	0	0	0	0	Q11	gruppo 1				
SLE-RAR-007	1	1	1	0	1	0	0	0	0	0	0	0	0,5	0	0	0	0	0	0	0	0	0	0	0	0	0	0	0	0	0	0	0	0	0	0	0	0	0	0	0	0	0	Q12	gruppo 1				
SLE-RAR-008	1	1	1	0	0	1	0	0	0	0	0	0	0	0,5	0	0	0	0	0	0	0	0	0	0	0	0	0	0	0	0	0	0	0	0	0	0	0	0	0	0	0	0	Q13	gruppo 1				
SLE-RAR-009	1	1	1	0	0	0	1	0	0	0	0	0	0	0	0	0	0	0	0	0	0	0	0	0	0	0	0	0	0	0	0	0	0	0	0	0	0	0	0	0	0	0	Q14	gruppo 1				
SLE-RAR-010	1	1	1	0	0	0	0	0	1	0	0	0	0	0	0	0	0	0	0	0	0	0	0	0	0	0	0	0	0	0	0	0	0	0	0	0	0	0	0	0	0	0	Q15	gruppo 1				
SLE-RAR-011	1	1	1	0	0	0	0	0	0	1	0	0	0	0	0,5	0	0	0	0	0	0	0	0	0	0	0	0	0	0	0	0	0	0	0	0	0	0	0	0	0	0	0	0	Q16	gruppo 1			
SLE-RAR-012	1	1	1	1	0	0	0	0	0	0	0	0	0	0	0	0	0,5	0	0	0	0	0	0	0	0	0,5	0	0	0	0	0	0	0	0	0	0	0	0	0	0	0	0	0	0	Q11	gruppo 3		
SLE-RAR-013	1	1	1	0	1	0	0	0	0	0	0	0	0	0	0	0	0	0	0,5	0	0	0	0	0	0	0	0,5	0	0	0	0	0	0	0	0	0	0	0	0	0	0	0	0	0	Q12	gruppo 3		
SLE-RAR-014	1	1	1	0	0	1	0	0	0	0	0	0	0	0	0	0	0	0	0,5	0	0	0	0	0	0	0	0	0,5	0	0	0	0	0	0	0	0	0	0	0	0	0	0	0	0	Q13	gruppo 3		
SLE-RAR-015	1	1	1	0	0	0	1	0	0	0	0	0	0	0	0	0	0	0	0	0	0,5	0	0	0	0	0	0	0,5	0	0	0	0	0	0	0	0	0	0	0	0	0	0	0	0	Q14	gruppo 3		
SLE-RAR-016	1	1	1	0	0	0	0	0	1	0	0	0	0	0	0	0	0	0	0	0	0	0	0	0	0	0	0	0,5	0	0	0	0	0	0	0	0	0	0	0	0	0	0	0	0	0	Q15	gruppo 3	
SLE-RAR-017	1	1	1	0	0	0	0	0	0	1	0	0	0	0	0	0	0	0	0	0	0	0	0,5	0	0	0	0	0	0	0	0,5	0	0	0	0	0	0	0	0	0	0	0	0	0	Q16	gruppo 3		
SLE-RAR-018	1	1	0	0	0	0	0	0	0	0	0,5	0	0	0	0	0	0	0	0	0	0	0	0	0	0	0	0	0	0	0	0	0	0	0	0	0	0	0	0	0	0	0	0	0	Q27	gruppo 3-2		
SLE-RAR-019	1	1	1	1	0	0	0	0	0	0	0	0,5	0	0	0	0	0	0	0	0	0	0	0	0	0	0	0	0	0	0	0	0	0	0	0	0	0	0	0	0	0	0	0	0	Q11	gruppo 1		
SLE-RAR-020	1	1	1	0	1	0	0	0	0	0	0	0	0,5	0	0	0	0	0	0	0	0	0	0	0	0	0	0	0	0	0	0	0	0	0	0	0	0	0	0	0	0	0	0	0	0	Q12	gruppo 1	
SLE-RAR-021	1	1	1	0	0	1	0	0	0	0	0	0	0,5	0	0	0	0	0	0	0	0	0	0	0	0	0	0	0	0	0	0	0	0	0	0	0	0	0	0	0	0	0	0	0	0	Q13	gruppo 1	
SLE-RAR-022	1	1	1	0	0	0	1	0	0	0	0	0	0	0	0	0	0	0	0	0	0	0	0	0	0	0	0	0	0	0	0	0	0	0	0	0	0	0	0	0	0	0	0	0	0	Q14	gruppo 1	
SLE-RAR-023	1	1	1	0	0	0	0	0	1	0	0	0	0	0	0,5	0	0	0	0	0	0	0	0	0	0	0	0	0	0	0	0	0	0	0	0	0	0	0	0	0	0	0	0	0	0	Q15	gruppo 1	
SLE-RAR-024	1	1	1	0	0	0	0	0	0	1	0	0	0	0	0	0,5	0	0	0	0	0	0	0	0	0	0	0	0	0	0	0	0	0	0	0	0	0	0	0	0	0	0	0	0	0	Q16	gruppo 1	
SLE-RAR-025	1	1	1	1	0	0	0	0	0	0	0	0	0	0	0	0	0	0,5	0	0	0	0	0	0	0	0,5	0	0	0	0	0	0	0	0	0	0	0	0	0	0	0	0	0	0	0	0	Q11	gruppo 3

NOME COMB.	G - Permanenti			Q1 - Variabili verticali							Q2 - Avviamento e frenatura							Q3 - Centrifuga							Q4 - Serpeggio							Q5 - Variabili Q6 - Azioni interne Q7 - Effetti d'interazione			E - Azioni sismiche			Descrizione											
	G1	G2	G22	Q11	Q12	Q13	Q14	Q15	Q16	Q17	Q21	Q22	Q23	Q24	Q25	Q26	Q27	Q31	Q32	Q33	Q34	Q35	Q36	Q37	Q41	Q42	Q43	Q44	Q45	Q46	Q47	Q51	Q61	Q71	E1	E2	E3												
SLE-RAR-026	1	1	1	0	1	0	0	0	0	0	0	1	0	0	0	0	0	0,5	0	0	0	0	0	0	0	0,5	0	0	0	0	0	0	0,6	0	0	0	0	0	0	Q12	gruppo 3								
SLE-RAR-027	1	1	1	0	0	1	0	0	0	0	0	0	0	1	0	0	0	0	0	0,5	0	0	0	0	0	0	0	0,5	0	0	0	0	0	0	0,6	0	0	0	0	0	0	Q13	gruppo 3						
SLE-RAR-028	1	1	1	0	0	0	1	0	0	0	0	0	0	1	0	0	0	0	0	0	0,5	0	0	0	0	0	0	0	0,5	0	0	0	0	0	0	0,6	0	0	0	0	0	0	Q14	gruppo 3					
SLE-RAR-029	1	1	1	0	0	0	0	1	0	0	0	0	0	1	0	0	0	0	0	0	0	0,5	0	0	0	0	0	0	0	0,5	0	0	0	0,6	0	0	0	0	0	0	0	0	0	Q15	gruppo 3				
SLE-RAR-030	1	1	1	0	0	0	0	0	1	0	0	0	0	1	0	0	0	0	0	0	0	0	0,5	0	0	0	0	0	0	0	0,5	0	0	0	0,6	0	0	0	0	0	0	0	0	0	Q16	gruppo 3			
SLE-RAR-031	1	1	0	0	0	0	0	0	0	0,5	0	0	0	0	0	1	0	0	0	0	0	0	0	0,5	0	0	0	0	0	0	0,5	0	0	0	0	0	0	0	0	0	0	0	0	0	Q27	gruppo 3-2			
SLE-RAR-032	1	1	1	1	0	0	0	0	0	0	0,5	0	0	0	0	0	1	0	0	0	0	0	0	0	0	0	1	0	0	0	0	0	0	0	1	0	0	0	0	0	0	0	0	0	Q11	gruppo 1			
SLE-RAR-033	1	1	1	0	1	0	0	0	0	0	0	0,5	0	0	0	0	0	1	0	0	0	0	0	0	0	0	1	0	0	0	0	0	0	0	1	0	0	0	0	0	0	0	0	0	0	Q12	gruppo 1		
SLE-RAR-034	1	1	1	0	0	1	0	0	0	0	0	0,5	0	0	0	0	0	0	1	0	0	0	0	0	0	0	0	1	0	0	0	0	0	0	1	0	0	0	0	0	0	0	0	0	0	Q13	gruppo 1		
SLE-RAR-035	1	1	1	0	0	0	1	0	0	0	0	0	0,5	0	0	0	0	0	0	1	0	0	0	0	0	0	0	0	1	0	0	0	0	0	1	0	0	0	0	0	0	0	0	0	0	Q14	gruppo 1		
SLE-RAR-036	1	1	1	0	0	0	0	1	0	0	0	0	0	0,5	0	0	0	0	0	0	1	0	0	0	0	0	0	0	1	0	0	0	0	1	0	0	0	0	0	0	0	0	0	0	0	Q15	gruppo 1		
SLE-RAR-037	1	1	1	0	0	0	0	0	1	0	0	0	0	0	0,5	0	0	0	0	0	0	1	0	0	0	0	0	0	0	0	1	0	0	1	0	0	0	0	0	0	0	0	0	0	0	Q16	gruppo 1		
SLE-RAR-038	1	1	1	1	0	0	0	0	0	0	1	0	0	0	0	0	0,5	0	0	0	0	0	0	0	0	0	0,5	0	0	0	0	0	0	0	1	0	0	0	0	0	0	0	0	0	0	0	Q11	gruppo 3	
SLE-RAR-039	1	1	1	0	1	0	0	0	0	0	0	1	0	0	0	0	0	0,5	0	0	0	0	0	0	0	0	0	0,5	0	0	0	0	0	0	0	1	0	0	0	0	0	0	0	0	0	0	Q12	gruppo 3	
SLE-RAR-040	1	1	1	0	0	1	0	0	0	0	0	0	1	0	0	0	0	0	0,5	0	0	0	0	0	0	0	0	0,5	0	0	0	0	0	0	1	0	0	0	0	0	0	0	0	0	0	0	Q13	gruppo 3	
SLE-RAR-041	1	1	1	0	0	0	1	0	0	0	0	0	0	1	0	0	0	0	0	0,5	0	0	0	0	0	0	0	0	0,5	0	0	0	0	0	1	0	0	0	0	0	0	0	0	0	0	0	Q14	gruppo 3	
SLE-RAR-042	1	1	1	0	0	0	0	1	0	0	0	0	0	1	0	0	0	0	0	0	0	0,5	0	0	0	0	0	0	0	0,5	0	0	0	0	1	0	0	0	0	0	0	0	0	0	0	0	Q15	gruppo 3	
SLE-RAR-043	1	1	1	0	0	0	0	0	1	0	0	0	0	1	0	0	0	0	0	0	0	0,5	0	0	0	0	0	0	0	0,5	0	0	0	1	0	0	0	0	0	0	0	0	0	0	0	0	Q16	gruppo 3	
SLE-RAR-044	1	1	0	0	0	0	0	0	0	0,5	0	0	0	0	0	1	0	0	0	0	0	0	0,5	0	0	0	0	0	0	0	0,5	0	0	0	0	1	0	0	0	0	0	0	0	0	0	0	Q27	gruppo 3-2	
SLE-RAR-045	1	1	1	1	0	0	0	0	0	0	0,5	0	0	0	0	0	1	0	0	0	0	0	0	0	0	1	0	0	0	0	0	0	0	0	0	0,6	0	0	0	0	0	0	0	0	0	0	Q11	gruppo 1	
SLE-RAR-046	1	1	1	0	1	0	0	0	0	0	0	0,5	0	0	0	0	0	1	0	0	0	0	0	0	0	0	1	0	0	0	0	0	0	0	0,6	0	0	0	0	0	0	0	0	0	0	0	Q12	gruppo 1	
SLE-RAR-047	1	1	1	0	0	1	0	0	0	0	0	0	0,5	0	0	0	0	0	1	0	0	0	0	0	0	0	0	1	0	0	0	0	0	0	0,6	0	0	0	0	0	0	0	0	0	0	0	Q13	gruppo 1	
SLE-RAR-048	1	1	1	0	0	0	1	0	0	0	0	0	0	0,5	0	0	0	0	0	1	0	0	0	0	0	0	0	1	0	0	0	0	0	0,6	0	0	0	0	0	0	0	0	0	0	0	0	Q14	gruppo 1	
SLE-RAR-049	1	1	1	0	0	0	0	1	0	0	0	0	0	0,5	0	0	0	0	0	0	0	1	0	0	0	0	0	0	0	1	0	0	0	0	0,6	0	0	0	0	0	0	0	0	0	0	0	Q15	gruppo 1	
SLE-RAR-050	1	1	1	0	0	0	0	0	1	0	0	0	0	0	0,5	0	0	0	0	0	0	0	1	0	0	0	0	0	0	0	1	0	0	0	0,6	0	0	0	0	0	0	0	0	0	0	0	Q16	gruppo 1	
SLE-RAR-051	1	1	1	1	0	0	0	0	0	0	1	0	0	0	0	0	0,5	0	0	0	0	0	0	0	0	0,5	0	0	0	0	0	0	0	0	0,6	0	0	0	0	0	0	0	0	0	0	0	0	Q11	gruppo 3
SLE-RAR-052	1	1	1	0	1	0	0	0	0	0	0	1	0	0	0	0	0	0,5	0	0	0	0	0	0	0	0	0	0,5	0	0	0	0	0	0	0,6	0	0	0	0	0	0	0	0	0	0	0	0	Q12	gruppo 3
SLE-RAR-053	1	1	1	0	0	1	0	0	0	0	0	0	1	0	0	0	0	0	0,5	0	0	0	0	0	0	0	0	0,5	0	0	0	0	0	0	0,6	0	0	0	0	0	0	0	0	0	0	0	0	Q13	gruppo 3
SLE-RAR-054	1	1	1	0	0	0	1	0	0	0	0	0	0	1	0	0	0	0	0	0,5	0	0	0	0	0	0	0	0,5	0	0	0	0	0	0,6	0	0	0	0	0	0	0	0	0	0	0	0	0	Q14	gruppo 3
SLE-RAR-055	1	1	1	0	0	0	0	1	0	0	0	0	0	1	0	0	0	0	0	0	0	0,5	0	0	0	0	0	0	0,5	0	0	0	0	0	0,6	0	0	0	0	0	0	0	0	0	0	0	0	Q15	gruppo 3
SLE-RAR-056	1	1	1	0	0	0	0	0	1	0	0	0	0	1	0	0	0	0	0	0	0	0	0,5	0	0	0	0	0	0	0,5	0	0	0	0	0,6	0	0	0	0	0	0	0	0	0	0	0	0	Q16	gruppo 3
SLE-RAR-057	1	1	0	0	0	0	0	0	0	0,5	0	0	0	0	0	1	0	0	0	0	0	0	0,5	0	0	0	0	0	0	0	0,5	0	0	0,6	0	0	0	0	0	0	0	0	0	0	0	0	Q27	gruppo 3-2	
SLE-RAR-058	1	1	1	1	0	0	0	0	0	0	0,5	0	0	0	0	0	1	0	0	0	0	0	0	0	0	1	0	0	0	0	0	0	0,6	1	0,6	0	0	0	0	0	0	0	0	0	0	0	Q11	gruppo 1	
SLE-RAR-059	1	1	1	0	1	0	0	0	0	0	0	0,5	0	0	0	0	0	1	0	0	0	0	0	0	0	0	1	0	0	0	0	0	0,6	1	0,6	0	0	0	0	0	0	0	0	0	0	0	Q12	gruppo 1	
SLE-RAR-060	1	1	1	0	0	1	0	0	0	0	0	0	0,5	0	0	0	0	0	1	0	0	0	0	0	0	0	0	1	0	0	0	0,6	1	0,6	0	0	0	0	0	0	0	0	0	0	0	0	Q13	gruppo 1	
SLE-RAR-061	1	1	1	0	0	0	1	0	0	0	0	0	0	0,5	0	0	0	0	0	1	0	0	0	0	0	0	0	1	0	0	0	0,6	1	0,6	0	0	0	0	0	0	0	0	0	0	0	0	Q14	gruppo 1	
SLE-RAR-062	1	1	1	0	0	0	0	1	0	0	0	0	0	0,5	0	0	0	0	0	0	0	1	0	0	0	0	0	0	1	0	0	0	0,6	1	0,6	0	0	0	0	0	0	0	0	0	0	0	Q15	gruppo 1	

NOME COMB.	G - Permanenti			Q1 - Variabili verticali							Q2 - Avviamento e frenatura							Q3 - Centrifuga							Q4 - Serpeggio							Q5 - Variabili Q6 - Azioni interne Q7 - Effetti d'interazione			E - Azioni sismiche			Descrizione			
	G1	G2	G22	Q11	Q12	Q13	Q14	Q15	Q16	Q17	Q21	Q22	Q23	Q24	Q25	Q26	Q27	Q31	Q32	Q33	Q34	Q35	Q36	Q37	Q41	Q42	Q43	Q44	Q45	Q46	Q47	Q51	Q61	Q71	E1	E2	E3				
SLE-RAR-063	1	1	1	0	0	0	0	0	1	0	0	0	0	0	0,5	0	0	0	0	0	0	0	1	0	0	0	0	0	0	0	1	0	0,6	1	0,6	0	0	0	Q16	gruppo 1	
SLE-RAR-064	1	1	1	1	0	0	0	0	0	0	1	0	0	0	0	0	0	0,5	0	0	0	0	0	0	0,5	0	0	0	0	0	0	0	0,6	1	0,6	0	0	0	Q11	gruppo 3	
SLE-RAR-065	1	1	1	0	1	0	0	0	0	0	0	1	0	0	0	0	0	0,5	0	0	0	0	0	0	0	0,5	0	0	0	0	0	0	0,6	1	0,6	0	0	0	Q12	gruppo 3	
SLE-RAR-066	1	1	1	0	0	1	0	0	0	0	0	1	0	0	0	0	0	0	0,5	0	0	0	0	0	0	0	0,5	0	0	0	0	0,6	1	0,6	0	0	0	Q13	gruppo 3		
SLE-RAR-067	1	1	1	0	0	0	1	0	0	0	0	0	1	0	0	0	0	0	0	0,5	0	0	0	0	0	0	0	0,5	0	0	0	0,6	1	0,6	0	0	0	Q14	gruppo 3		
SLE-RAR-068	1	1	1	0	0	0	0	1	0	0	0	0	0	1	0	0	0	0	0	0	0	0,5	0	0	0	0	0	0	0,5	0	0	0,6	1	0,6	0	0	0	Q15	gruppo 3		
SLE-RAR-069	1	1	1	0	0	0	0	0	1	0	0	0	0	0	1	0	0	0	0	0	0	0	0,5	0	0	0	0	0	0,5	0	0,6	1	0,6	0	0	0	Q16	gruppo 3			
SLE-RAR-070	1	1	0	0	0	0	0	0	0	0,5	0	0	0	0	0	1	0	0	0	0	0	0	0,5	0	0	0	0	0	0,5	0,6	1	0,6	0	0	0	Q27	gruppo 3-2				
SLE-RAR-071	1	1	1	0,6	0	0	0	0	0	0	0,6	0	0	0	0	0	0,6	0	0	0	0	0	0	0	0,6	0	0	0	0	0	0	0	0	0	0	0	0	Q11	gruppo 4		
SLE-RAR-072	1	1	1	0	0,6	0	0	0	0	0	0	0,6	0	0	0	0	0	0,6	0	0	0	0	0	0	0	0,6	0	0	0	0	0	0	0	0	0	0	0	0	Q12	gruppo 4	
SLE-RAR-073	1	1	1	0	0	0,8	0	0	0	0	0	0	0,8	0	0	0	0	0	0,8	0	0	0	0	0	0	0	0,8	0	0	0	0	0	0	0	0	0	0	0	Q13	gruppo 4	
SLE-RAR-074	1	1	1	0	0	0	0,8	0	0	0	0	0	0	0,8	0	0	0	0	0	0,8	0	0	0	0	0	0	0	0,8	0	0	0	0	0	0	0	0	0	0	Q14	gruppo 4	
SLE-RAR-075	1	1	1	0	0	0	0	0,6	0	0	0	0	0	0	0,6	0	0	0	0	0	0	0,6	0	0	0	0	0	0,6	0	0	0	0	0	0	0	0	0	0	Q15	gruppo 4	
SLE-RAR-076	1	1	1	0	0	0	0	0	0,6	0	0	0	0	0	0,6	0	0	0	0	0	0	0	0,6	0	0	0	0	0	0,6	0	0	0	0	0	0	0	0	0	Q16	gruppo 4	
SLE-RAR-077	1	1	0	0	0	0	0	0	0	0,6	0	0	0	0	0	0,6	0	0	0	0	0	0	0	0,6	0	0	0	0	0	0,6	0	0	0	0	0	0	0	0	0	Q17	gruppo 4
SLE-RAR-078	1	1	1	0,6	0	0	0	0	0	0	0,6	0	0	0	0	0	0,6	0	0	0	0	0	0	0	0,6	0	0	0	0	0	0	0	0	0	0	0	0	0	Q11	gruppo 4	
SLE-RAR-079	1	1	1	0	0,6	0	0	0	0	0	0	0,6	0	0	0	0	0	0,6	0	0	0	0	0	0	0	0,6	0	0	0	0	0	0	0	0	0	0	0	0	Q12	gruppo 4	
SLE-RAR-080	1	1	1	0	0	0,8	0	0	0	0	0	0	0,8	0	0	0	0	0	0,8	0	0	0	0	0	0	0	0,8	0	0	0	0	0	0	0	0	0	0	0	Q13	gruppo 4	
SLE-RAR-081	1	1	1	0	0	0	0,8	0	0	0	0	0	0	0,8	0	0	0	0	0	0,8	0	0	0	0	0	0	0	0,8	0	0	0	0	0	0	0	0	0	0	Q14	gruppo 4	
SLE-RAR-082	1	1	1	0	0	0	0	0,6	0	0	0	0	0	0	0,6	0	0	0	0	0	0	0	0,6	0	0	0	0	0,6	0	0	0	0	0	0	0	0	0	0	Q15	gruppo 4	
SLE-RAR-083	1	1	1	0	0	0	0	0	0,6	0	0	0	0	0	0,6	0	0	0	0	0	0	0	0,6	0	0	0	0	0,6	0	0,6	0	0	0	0	0	0	0	0	Q16	gruppo 4	
SLE-RAR-084	1	1	0	0	0	0	0	0	0	0,6	0	0	0	0	0	0,6	0	0	0	0	0	0	0	0,6	0	0	0	0	0,6	0,6	0	0	0	0	0	0	0	0	Q17	gruppo 4	
SLE-RAR-085	1	1	1	0,6	0	0	0	0	0	0	0,6	0	0	0	0	0	0,6	0	0	0	0	0	0	0	0,6	0	0	0	0	0	0	1	0	0	0	0	0	0	Q61	gruppo 4	
SLE-RAR-086	1	1	1	0	0,6	0	0	0	0	0	0	0,6	0	0	0	0	0	0,6	0	0	0	0	0	0	0	0,6	0	0	0	0	0	0	1	0	0	0	0	0	Q61	gruppo 4	
SLE-RAR-087	1	1	1	0	0	0,8	0	0	0	0	0	0	0,8	0	0	0	0	0	0,8	0	0	0	0	0	0	0	0,8	0	0	0	0	0	1	0	0	0	0	0	Q61	gruppo 4	
SLE-RAR-088	1	1	1	0	0	0	0,8	0	0	0	0	0	0	0,8	0	0	0	0	0	0,8	0	0	0	0	0	0	0,8	0	0	0	0	0	1	0	0	0	0	0	Q61	gruppo 4	
SLE-RAR-089	1	1	1	0	0	0	0	0,6	0	0	0	0	0	0	0,6	0	0	0	0	0	0	0	0,6	0	0	0	0	0,6	0	0	0	1	0	0	0	0	0	0	Q61	gruppo 4	
SLE-RAR-090	1	1	1	0	0	0	0	0	0,6	0	0	0	0	0	0,6	0	0	0	0	0	0	0	0	0,6	0	0	0	0	0,6	0	0	1	0	0	0	0	0	0	Q61	gruppo 4	
SLE-RAR-091	1	1	0	0	0	0	0	0	0	0,6	0	0	0	0	0	0,6	0	0	0	0	0	0	0	0	0,6	0	0	0	0	0	0	0	1	0	0	0	0	0	Q61	gruppo 4	
SLE-RAR-092	1	1	1	0,6	0	0	0	0	0	0	0,6	0	0	0	0	0	0,6	0	0	0	0	0	0	0	0,6	0	0	0	0	0	0	0	0,6	0	0	0	0	0	Q11	gruppo 4	
SLE-RAR-093	1	1	1	0	0,6	0	0	0	0	0	0	0,6	0	0	0	0	0	0,6	0	0	0	0	0	0	0	0,6	0	0	0	0	0	0	0,6	0	0	0	0	0	Q12	gruppo 4	
SLE-RAR-094	1	1	1	0	0	0,8	0	0	0	0	0	0	0,8	0	0	0	0	0	0,8	0	0	0	0	0	0	0	0,8	0	0	0	0	0	0,6	0	0	0	0	0	Q13	gruppo 4	
SLE-RAR-095	1	1	1	0	0	0	0,8	0	0	0	0	0	0	0,8	0	0	0	0	0	0,8	0	0	0	0	0	0	0,8	0	0	0	0	0	0,6	0	0	0	0	0	Q14	gruppo 4	
SLE-RAR-096	1	1	1	0	0	0	0	0,6	0	0	0	0	0	0,6	0	0	0	0	0	0	0	0	0,6	0	0	0	0	0,6	0	0	0	0	0,6	0	0	0	0	0	Q15	gruppo 4	
SLE-RAR-097	1	1	1	0	0	0	0	0	0,6	0	0	0	0	0	0,6	0	0	0	0	0	0	0	0	0,6	0	0	0	0	0,6	0	0	0	0,6	0	0	0	0	0	Q16	gruppo 4	
SLE-RAR-098	1	1	0	0	0	0	0	0	0	0,6	0	0	0	0	0	0,6	0	0	0	0	0	0	0	0	0,6	0	0	0	0	0,6	0	0	0,6	0	0	0	0	0	Q17	gruppo 4	
SLE-RAR-099	1	1	1	0,6	0	0	0	0	0	0	0,6	0	0	0	0	0	0,6	0	0	0	0	0	0	0	0,6	0	0	0	0	0	0	0,6	1	0,6	0	0	0	Q61	gruppo 4		

NOME COMB.	G - Permanenti			Q1 - Variabili verticali							Q2 - Avviamento e frenatura							Q3 - Centrifuga							Q4 - Serpeggio							Q5 - Variabili Q6 - Azioni interne Q7 - Effetti d'interazione			E - Azioni sismiche			Descrizione		
	G1	G21	G22	Q11	Q12	Q13	Q14	Q15	Q16	Q17	Q21	Q22	Q23	Q24	Q25	Q26	Q27	Q31	Q32	Q33	Q34	Q35	Q36	Q37	Q41	Q42	Q43	Q44	Q45	Q46	Q47	Q51	Q61	Q71	E1	E2	E3			
SLE-RAR-100	1	1	1	0	0,6	0	0	0	0	0	0	0,6	0	0	0	0	0	0,6	0	0	0	0	0	0	0,6	0	0	0	0	0	0,6	1	0,6	0	0	0	Q61	gruppo 4		
SLE-RAR-101	1	1	1	0	0	0,8	0	0	0	0	0	0	0,8	0	0	0	0	0	0	0,8	0	0	0	0	0	0	0,8	0	0	0	0	0	0,6	1	0,6	0	0	0	Q61	gruppo 4
SLE-RAR-102	1	1	1	0	0	0	0,8	0	0	0	0	0	0,8	0	0	0	0	0	0	0,8	0	0	0	0	0	0	0,8	0	0	0	0	0	0,6	1	0,6	0	0	0	Q61	gruppo 4
SLE-RAR-103	1	1	1	0	0	0	0	0,6	0	0	0	0	0	0,6	0	0	0	0	0	0	0,6	0	0	0	0	0	0,6	0	0	0	0,6	1	0,6	0	0	0	Q61	gruppo 4		
SLE-RAR-104	1	1	1	0	0	0	0	0	0,6	0	0	0	0	0	0,6	0	0	0	0	0	0	0	0,6	0	0	0	0	0	0,6	0	0,6	1	0,6	0	0	0	Q61	gruppo 4		
SLE-RAR-105	1	1	0	0	0	0	0	0	0	0,6	0	0	0	0	0	0,6	0	0	0	0	0	0	0,6	0	0	0	0	0	0,6	0	0,6	1	0,6	0	0	0	Q61	gruppo 4		
SLE-QPE-001	1	1	1	0	0	0	0	0	0	0	0	0	0	0	0	0	0	0	0	0	0	0	0	0	0	0	0	0	0	0	0	0	0	0	0	0	G1+G2	solo perm		
SLE-QPE-002	1	1	1	0	0	0	0	0	0	0	0	0	0	0	0	0	0	0	0	0	0	0	0	0	0	0	0	0	0	0	0	1	1	0	0	0	Q61	termica		

ALLEGATO 2

VI02 – PILE P01, P02, P03 e P04

1 SOLLECITAZIONI ELEMENTARI A BASE PILA

C.C.E.	Descrizione	F1	F2	F3	M1	M2	M3
		kN	kN	kN	kNm	kNm	kNm
G1	Pesi propri	0	0	-9526	0	0	0
G2	Ballast	0	0	-3500	0	0	0
G2	Permanententi non strutturali	0	0	-1548	0	0	0
Q11	Disposizione 1 (massimizza N)	0	0	-5692	-684	66	0
Q12	Disposizione 2 (massimizza M2)	0	0	-3559	-518	3915	0
Q13	Disposizione 3 (massimizza M1)	0	0	-2962	-5925	66	0
Q14	Disposizione 4 (massimizza M1)	0	0	-2730	-5678	0	0
Q15	Disposizione 5 (massimizza N+M2)	0	0	-5524	-789	1753	0
Q16	Disposizione 6 (massimizza N)	0	0	-5460	-218	0	0
Q17	Disposizione 7 (minimizza N)	0	0	-2977	-1634	3275	0
Q21	Disposizione 1 (massimizza N)	1835	0	0	0	15414	0
Q22	Disposizione 2 (massimizza M2)	2154	0	0	0	18094	0
Q23	Disposizione 3 (massimizza M1)	819	0	0	0	6880	0
Q24	Disposizione 4 (massimizza M1)	1016	0	0	0	8534	0
Q25	Disposizione 5 (massimizza N+M2)	2154	0	0	0	18094	0
Q26	Disposizione 6 (massimizza N)	1995	0	0	0	16758	0
Q27	Disposizione 7 (minimizza N)	2154	0	0	0	18094	0
Q31	Disposizione 1 (massimizza N)	0	473	0	-6375	0	0
Q32	Disposizione 2 (massimizza M2)	0	294	0	-3964	0	0
Q33	Disposizione 3 (massimizza M1)	0	155	0	-2092	0	0
Q34	Disposizione 4 (massimizza M1)	0	318	0	-4283	0	0
Q35	Disposizione 5 (massimizza N+M2)	0	463	0	-6240	0	0
Q36	Disposizione 6 (massimizza N)	0	460	0	-6204	0	0
Q37	Disposizione 7 (minimizza N)	0	226	0	-3049	0	0
Q41	Disposizione 1 (massimizza N)	0	210	0	-2452	0	0
Q42	Disposizione 2 (massimizza M2)	0	210	0	-2453	0	0
Q43	Disposizione 3 (massimizza M1)	0	100	0	-1168	0	0
Q44	Disposizione 4 (massimizza M1)	0	110	0	-1284	0	0
Q45	Disposizione 5 (massimizza N+M2)	0	210	0	-2452	0	0
Q46	Disposizione 6 (massimizza N)	0	210	0	-2452	0	0
Q47	Disposizione 7 (minimizza N)	0	210	0	-2453	0	0
Q51	Vento	0	866	0	-11858	0	0
Q61	Attrito su vincoli	283	0	0	0	2377	0
Q71	Variazioni termiche	280	0	0	0	2352	0
E1	Sisma x	5874	0	0	0	49343	2414
E2	Sisma y	0	4871	0	-51048	0	3653
E3	Sisma z	0	0	-4760	-1589	2900	0

2 SPOSTAMENTI ELEMENTARI IN TESTA PILA

C.C.E.	Descrizione	d1,1	d2,1	d3,1	$\varphi_{1,1}$	$\varphi_{2,1}$	$\varphi_{3,1}$
		mm	mm	mm	1/mm	1/mm	1/mm
G1	Pesi propri	0.00	0.00	-0.23	0.00	0.00	0.00
G2	Ballast	0.00	0.00	-0.08	0.00	0.00	0.00
G2	Permanenti non strutturali	0.00	0.00	-0.04	0.00	0.00	0.00
Q11	Disposizione 1 (massimizza N)	0.00	0.00	-0.14	0.00	0.00	0.00
Q12	Disposizione 2 (massimizza M2)	0.00	0.00	-0.09	0.00	0.00	0.00
Q13	Disposizione 3 (massimizza M1)	0.00	0.00	-0.07	0.00	0.00	0.00
Q14	Disposizione 4 (massimizza M1)	0.00	0.00	-0.07	0.00	0.00	0.00
Q15	Disposizione 5 (massimizza N+M2)	0.00	0.00	-0.13	0.00	0.00	0.00
Q16	Disposizione 6 (massimizza N)	0.00	0.00	-0.13	0.00	0.00	0.00
Q17	Disposizione 7 (minimizza N)	0.00	0.00	-0.07	0.00	0.00	0.00
Q21	Disposizione 1 (massimizza N)	1.15	0.00	0.00	0.00	0.14	0.00
Q22	Disposizione 2 (massimizza M2)	1.35	0.00	0.00	0.00	0.16	0.00
Q23	Disposizione 3 (massimizza M1)	0.51	0.00	0.00	0.00	0.06	0.00
Q24	Disposizione 4 (massimizza M1)	0.63	0.00	0.00	0.00	0.08	0.00
Q25	Disposizione 5 (massimizza N+M2)	1.35	0.00	0.00	0.00	0.16	0.00
Q26	Disposizione 6 (massimizza N)	1.25	0.00	0.00	0.00	0.15	0.00
Q27	Disposizione 7 (minimizza N)	1.35	0.00	0.00	0.00	0.16	0.00
Q31	Disposizione 1 (massimizza N)	0.00	0.08	0.00	0.01	0.00	0.00
Q32	Disposizione 2 (massimizza M2)	0.00	0.05	0.00	0.01	0.00	0.00
Q33	Disposizione 3 (massimizza M1)	0.00	0.03	0.00	0.00	0.00	0.00
Q34	Disposizione 4 (massimizza M1)	0.00	0.05	0.00	0.01	0.00	0.00
Q35	Disposizione 5 (massimizza N+M2)	0.00	0.08	0.00	0.01	0.00	0.00
Q36	Disposizione 6 (massimizza N)	0.00	0.08	0.00	0.01	0.00	0.00
Q37	Disposizione 7 (minimizza N)	0.00	0.04	0.00	0.00	0.00	0.00
Q41	Disposizione 1 (massimizza N)	0.00	0.03	0.00	0.00	0.00	0.00
Q42	Disposizione 2 (massimizza M2)	0.00	0.03	0.00	0.00	0.00	0.00
Q43	Disposizione 3 (massimizza M1)	0.00	0.02	0.00	0.00	0.00	0.00
Q44	Disposizione 4 (massimizza M1)	0.00	0.02	0.00	0.00	0.00	0.00
Q45	Disposizione 5 (massimizza N+M2)	0.00	0.03	0.00	0.00	0.00	0.00
Q46	Disposizione 6 (massimizza N)	0.00	0.03	0.00	0.00	0.00	0.00
Q47	Disposizione 7 (minimizza N)	0.00	0.03	0.00	0.00	0.00	0.00
Q51	Vento	0.00	0.14	0.00	0.02	0.00	0.00
Q61	Attrito su vincoli	0.18	0.00	0.00	0.00	0.02	0.00
Q71	Variazioni termiche	0.17	0.00	0.00	0.00	0.02	0.00
E1	Sisma x	8.63	0.00	0.00	0.00	1.03	0.00
E2	Sisma y	0.00	2.79	0.00	0.33	0.00	0.00
E3	Sisma z	0.00	0.00	-0.11	0.00	0.00	0.00

3 SOLLECITAZIONI COMBinate A BASE PILA

Si riportano a seguire i valori delle sollecitazioni di calcolo combinate secondo i coefficienti di combinazione riportati nell'allegato 1 della presente relazione. I valori seguenti tengono conto degli effetti del secondo ordine indotti dagli spostamenti elementari.

Per ogni gruppo di combinazioni di carico considerato (SLU-STR SLU-GEO, SLV-SIS, SLE-RAR e SLE-QP), sono riportati a seguire i valori delle sollecitazioni corrispondenti alle combinazioni che massimizzano ognuna delle componenti di sollecitazione (F1, F2, F3, M1, M2 e M3).

F1	Forza di taglio in direzione longitudinale [kN]
F2	Forza di taglio in direzione trasversale [kN]
F3	Forza assiale verticale [kN]
M1	Momento flettente attorno all'asse 1 (trasversale)
M2	Momento flettente attorno all'asse 2 (longitudinale)
M3	Momento flettente attorno all'asse 3 (toocente)

SLU-STR	max	Combo.	F1	F2	F3	M1	M2	M3
			kN	kN	kN	kNm	kNm	kNm
<i>max</i>	F1	SLU-STR-065	3786	1147	-25593	-16112	37537	0
<i>max</i>	F2	SLU-STR-019	1340	1769	-28686	-24471	11372	0
<i>max</i>	F3	SLU-STR-004	507	1299	-13026	-17789	4260	0
<i>max</i>	M1	SLU-STR-018	3123	318	-15199	-5210	28656	0
<i>max</i>	M2	SLU-STR-065	3786	1147	-25593	-16112	37537	0
<i>max</i>	M3	SLU-STR-002	507	1299	-20432	-17791	4263	0

SLU-STR	min	Combo.	F1	F2	F3	M1	M2	M3
			kN	kN	kN	kNm	kNm	kNm
<i>min</i>	F1	SLU-STR-002	507	1299	-20432	-17791	4263	0
<i>min</i>	F2	SLU-STR-014	1188	186	-24727	-10972	10089	0
<i>min</i>	F3	SLU-STR-006	1340	990	-28686	-13796	11372	0
<i>min</i>	M1	SLU-STR-022	742	1400	-24391	-26983	6241	0
<i>min</i>	M2	SLU-STR-004	507	1299	-13026	-17789	4260	0
<i>min</i>	M3	SLU-STR-002	507	1299	-20432	-17791	4263	0

SLU-GEO	max	Combo.	F1	F2	F3	M1	M2	M3
			kN	kN	kN	kNm	kNm	kNm
<i>max</i>	F1	SLU-GEO-065	3265	993	-20537	-13942	32359	0
<i>max</i>	F2	SLU-GEO-019	1156	1529	-23203	-21144	9810	0
<i>max</i>	F3	SLU-GEO-004	439	1125	-13026	-15417	3692	0
<i>max</i>	M1	SLU-GEO-018	2693	275	-14902	-4497	24705	0
<i>max</i>	M2	SLU-GEO-065	3265	993	-20537	-13942	32359	0
<i>max</i>	M3	SLU-GEO-002	439	1125	-16088	-15418	3693	0

SLU-GEO	min	Combo.	F1	F2	F3	M1	M2	M3
			kN	kN	kN	kNm	kNm	kNm
<i>min</i>	F1	SLU-GEO-002	439	1125	-16088	-15418	3693	0
<i>min</i>	F2	SLU-GEO-014	1024	161	-19791	-9461	8695	0
<i>min</i>	F3	SLU-GEO-006	1156	854	-23203	-11892	9810	0
<i>min</i>	M1	SLU-GEO-022	640	1210	-19501	-23309	5384	0
<i>min</i>	M2	SLU-GEO-004	439	1125	-13026	-15417	3692	0
<i>min</i>	M3	SLU-GEO-002	439	1125	-16088	-15418	3693	0

SLU-SIS	max	Combo.	F1	F2	F3	M1	M2	M3
			kN	kN	kN	kNm	kNm	kNm
<i>max</i>	F1	SLU-SIS-011	6502	1512	-16714	-16550	56417	3510
<i>max</i>	F2	SLU-SIS-038	2058	5008	-17140	-53475	18221	4377
<i>max</i>	F3	SLU-SIS-087	1959	1461	-8266	-13732	13577	1820
<i>max</i>	M1	SLU-SIS-152	-1762	-4871	-13146	51561	-15707	-4377
<i>max</i>	M2	SLU-SIS-011	6502	1512	-16714	-16550	56417	3510
<i>max</i>	M3	SLU-SIS-034	1762	4871	-16002	-51569	15714	4377

SLU-SIS	min	Combo.	F1	F2	F3	M1	M2	M3
			kN	kN	kN	kNm	kNm	kNm
<i>min</i>	F1	SLU-SIS-102	-5874	-1461	-16002	14851	-48611	-3510
<i>min</i>	F2	SLU-SIS-135	-1762	-4871	-16002	50615	-13975	-4377
<i>min</i>	F3	SLU-SIS-071	1762	1461	-20472	-17057	17769	1820
<i>min</i>	M1	SLU-SIS-041	1976	4957	-16548	-53820	17517	4377
<i>min</i>	M2	SLU-SIS-118	-5874	-1461	-13146	15802	-50326	-3510
<i>min</i>	M3	SLU-SIS-135	-1762	-4871	-16002	50615	-13975	-4377

SLE-RAR	max	Combo.	F1	F2	F3	M1	M2	M3
			kN	kN	kN	kNm	kNm	kNm
<i>max</i>	F1	SLE-RAR-065	2605	771	-18133	-10843	25826	0
<i>max</i>	F2	SLE-RAR-019	918	1202	-20266	-16630	7785	0
<i>max</i>	F3	SLE-RAR-004	338	866	-13026	-11859	2840	0
<i>max</i>	M1	SLE-RAR-018	2154	218	-14515	-3569	19750	0
<i>max</i>	M2	SLE-RAR-065	2605	771	-18133	-10843	25826	0
<i>max</i>	M3	SLE-RAR-002	338	866	-14574	-11860	2841	0

SLE-RAR	min	Combo.	F1	F2	F3	M1	M2	M3
			kN	kN	kN	kNm	kNm	kNm
<i>min</i>	F1	SLE-RAR-002	338	866	-14574	-11860	2841	0
<i>min</i>	F2	SLE-RAR-014	819	128	-17536	-7555	6955	0
<i>min</i>	F3	SLE-RAR-006	918	683	-20266	-9513	7785	0
<i>min</i>	M1	SLE-RAR-022	508	947	-17304	-18362	4273	0
<i>min</i>	M2	SLE-RAR-004	338	866	-13026	-11859	2840	0
<i>min</i>	M3	SLE-RAR-002	338	866	-14574	-11860	2841	0

4 SOLLECITAZIONI COMBinate A BASE PLINTO

Le sollecitazioni combinate alla base della pila sono state riportate ad intradosso plinto (in posizione baricentrica) e sono state incrementate per tenere conto del peso del plinto e del terreno di ricoprimento presente al suo estradosso, nonché della forza inerziale (orizzontale e verticale) associata alla massa del plinto stesso e considerata solidale con il terreno (T = 0 sec).

Terreno ricoprimento

dlong	9.6	m
dtrasv	9.6	m
hterr	0.6	m
gterr	20	kN/m ³
Wterr	827	kN

Plinto			<u>Orizzontale</u>			<u>Verticale</u>		
dlong	9.6	m	ag0	0.200	g	ag0	0.120	g
dtrasv	9.6	m	S	1.200		S	1.000	
hpl	2.5	m	PGA	0.239	g	PGA	0.120	g
gcls	25	kN/m ³	lplinto_h	1379	kN	lplinto_v	693	kN
Wplinto	5760	kN						

	F1	F2	F3	M1	M2	M3	Ftot
	kN	kN	kN	kNm	kNm	kNm	kN
SLU-STR-001			-29449				
SLU-STR-002	507	1299	-29449	-21037	5529	0	1394
SLU-STR-003	830	779	-29449	-12622	9061	0	1139
SLU-STR-004	507	1299	-18786	-21036	5527	0	1394
SLU-STR-005	830	779	-18786	-12621	9058	0	1139
SLU-STR-006	1340	990	-37702	-16272	14721	0	1666
SLU-STR-007	1572	731	-34609	-11885	22841	0	1734
SLU-STR-008	598	370	-33744	-14244	6622	0	703
SLU-STR-009	742	621	-33407	-17860	8096	0	967
SLU-STR-010	1572	976	-37459	-16192	19710	0	1851
SLU-STR-011	1456	972	-37366	-15301	15900	0	1751
SLU-STR-012	2661	499	-37702	-8684	29146	0	2707
SLU-STR-013	3123	368	-34609	-6357	39771	0	3145
SLU-STR-014	1188	186	-33744	-11437	13058	0	1202
SLU-STR-015	1473	312	-33407	-13080	16080	0	1506
SLU-STR-016	3123	491	-37459	-8720	36642	0	3162
SLU-STR-017	2893	489	-37366	-7860	31582	0	2934
SLU-STR-018	3123	318	-20959	-6006	36464	0	3139
SLU-STR-019	1340	1769	-37702	-28895	14721	0	2219
SLU-STR-020	1572	1510	-34609	-24508	22841	0	2180

SLU-STR-021	598	1149	-33744	-26867	6622	0	1295
SLU-STR-022	742	1400	-33407	-30482	8096	0	1584
SLU-STR-023	1572	1755	-37459	-28815	19710	0	2356
SLU-STR-024	1456	1751	-37366	-27924	15900	0	2277
SLU-STR-025	2661	1278	-37702	-21308	29146	0	2952
SLU-STR-026	3123	1147	-34609	-18980	39771	0	3327
SLU-STR-027	1188	965	-33744	-24060	13058	0	1530
SLU-STR-028	1473	1092	-33407	-25702	16080	0	1834
SLU-STR-029	3123	1270	-37459	-21343	36642	0	3372
SLU-STR-030	2893	1268	-37366	-20483	31582	0	3159
SLU-STR-031	3123	1097	-20959	-18628	36464	0	3310
SLU-STR-032	1750	990	-37702	-16272	19201	0	2011
SLU-STR-033	1983	731	-34609	-11885	27320	0	2113
SLU-STR-034	1008	370	-33744	-14244	11101	0	1074
SLU-STR-035	1152	621	-33407	-17860	12575	0	1309
SLU-STR-036	1983	976	-37459	-16192	24190	0	2210
SLU-STR-037	1867	972	-37366	-15301	20380	0	2104
SLU-STR-038	3071	499	-37702	-8684	33626	0	3111
SLU-STR-039	3534	368	-34609	-6357	44250	0	3553
SLU-STR-040	1598	186	-33744	-11437	17537	0	1609
SLU-STR-041	1884	312	-33407	-13080	20559	0	1909
SLU-STR-042	3534	491	-37459	-8720	41122	0	3568
SLU-STR-043	3303	489	-37366	-7860	36062	0	3339
SLU-STR-044	3534	318	-20959	-6006	40941	0	3548
SLU-STR-045	1592	990	-37702	-16272	17472	0	1875
SLU-STR-046	1824	731	-34609	-11885	25592	0	1965
SLU-STR-047	850	370	-33744	-14244	9372	0	927
SLU-STR-048	994	621	-33407	-17860	10846	0	1172
SLU-STR-049	1824	976	-37459	-16192	22461	0	2069
SLU-STR-050	1708	972	-37366	-15301	18651	0	1965
SLU-STR-051	2913	499	-37702	-8684	31897	0	2955
SLU-STR-052	3375	368	-34609	-6357	42521	0	3395
SLU-STR-053	1440	186	-33744	-11437	15809	0	1452
SLU-STR-054	1725	312	-33407	-13080	18831	0	1753
SLU-STR-055	3375	491	-37459	-8720	39393	0	3411
SLU-STR-056	3145	489	-37366	-7860	34333	0	3183
SLU-STR-057	3375	318	-20959	-6006	39213	0	3390
SLU-STR-058	2002	1769	-37702	-28895	21952	0	2672
SLU-STR-059	2235	1510	-34609	-24508	30071	0	2697
SLU-STR-060	1260	1149	-33744	-26867	13852	0	1705
SLU-STR-061	1404	1400	-33407	-30482	15325	0	1983
SLU-STR-062	2235	1755	-37459	-28815	26941	0	2842
SLU-STR-063	2119	1751	-37366	-27924	23131	0	2748
SLU-STR-064	3323	1278	-37702	-21308	36377	0	3560
SLU-STR-065	3786	1147	-34609	-18980	47001	0	3956

SLU-STR-066	1850	965	-33744	-24060	20288	0	2087
SLU-STR-067	2136	1092	-33407	-25702	23310	0	2398
SLU-STR-068	3786	1270	-37459	-21343	43873	0	3993
SLU-STR-069	3555	1268	-37366	-20483	38814	0	3775
SLU-STR-070	3786	1097	-20959	-18628	43690	0	3942

SLU-GEO-001			-22924				
SLU-GEO-002	439	1125	-22924	-18231	4791	0	1208
SLU-GEO-003	718	675	-22924	-10939	7831	0	985
SLU-GEO-004	439	1125	-18786	-18231	4790	0	1208
SLU-GEO-005	718	675	-18786	-10939	7829	0	985
SLU-GEO-006	1156	854	-30039	-14027	12700	0	1437
SLU-GEO-007	1357	630	-27372	-10245	19703	0	1496
SLU-GEO-008	516	319	-26626	-12279	5713	0	606
SLU-GEO-009	640	535	-26336	-15396	6985	0	834
SLU-GEO-010	1357	841	-29829	-13958	17003	0	1597
SLU-GEO-011	1257	838	-29749	-13189	13718	0	1510
SLU-GEO-012	2294	430	-30039	-7493	25118	0	2334
SLU-GEO-013	2693	318	-27372	-5485	34276	0	2711
SLU-GEO-014	1024	161	-26626	-9862	11254	0	1036
SLU-GEO-015	1270	270	-26336	-11280	13858	0	1298
SLU-GEO-016	2693	424	-29829	-7524	31579	0	2726
SLU-GEO-017	2494	422	-29749	-6783	27218	0	2529
SLU-GEO-018	2693	275	-20662	-5183	31436	0	2706
SLU-GEO-019	1156	1529	-30039	-24966	12700	0	1917
SLU-GEO-020	1357	1305	-27372	-21185	19703	0	1883
SLU-GEO-021	516	994	-26626	-23218	5713	0	1120
SLU-GEO-022	640	1210	-26336	-26335	6985	0	1369
SLU-GEO-023	1357	1517	-29829	-24897	17003	0	2035
SLU-GEO-024	1257	1513	-29749	-24129	13718	0	1967
SLU-GEO-025	2294	1106	-30039	-18433	25118	0	2546
SLU-GEO-026	2693	993	-27372	-16424	34276	0	2870
SLU-GEO-027	1024	836	-26626	-20801	11254	0	1322
SLU-GEO-028	1270	945	-26336	-22219	13858	0	1583
SLU-GEO-029	2693	1099	-29829	-18464	31579	0	2908
SLU-GEO-030	2494	1097	-29749	-17722	27218	0	2725
SLU-GEO-031	2693	950	-20662	-16122	31436	0	2855
SLU-GEO-032	1510	854	-30039	-14027	16561	0	1734
SLU-GEO-033	1711	630	-27372	-10245	23563	0	1823
SLU-GEO-034	870	319	-26626	-12279	9573	0	926
SLU-GEO-035	994	535	-26336	-15396	10845	0	1129
SLU-GEO-036	1711	841	-29829	-13958	20864	0	1906
SLU-GEO-037	1611	838	-29749	-13189	17579	0	1815

SLU-GEO-038	2648	430	-30039	-7493	28979	0	2682
SLU-GEO-039	3046	318	-27372	-5485	38137	0	3063
SLU-GEO-040	1378	161	-26626	-9862	15114	0	1387
SLU-GEO-041	1624	270	-26336	-11280	17719	0	1646
SLU-GEO-042	3046	424	-29829	-7524	35440	0	3076
SLU-GEO-043	2848	422	-29749	-6783	31079	0	2879
SLU-GEO-044	3046	275	-20662	-5183	35296	0	3059
SLU-GEO-045	1374	854	-30039	-14027	15084	0	1618
SLU-GEO-046	1575	630	-27372	-10245	22086	0	1697
SLU-GEO-047	734	319	-26626	-12279	8096	0	801
SLU-GEO-048	858	535	-26336	-15396	9368	0	1012
SLU-GEO-049	1575	841	-29829	-13958	19386	0	1786
SLU-GEO-050	1475	838	-29749	-13189	16101	0	1696
SLU-GEO-051	2512	430	-30039	-7493	27501	0	2549
SLU-GEO-052	2911	318	-27372	-5485	36660	0	2928
SLU-GEO-053	1242	161	-26626	-9862	13637	0	1252
SLU-GEO-054	1488	270	-26336	-11280	16242	0	1513
SLU-GEO-055	2911	424	-29829	-7524	33962	0	2942
SLU-GEO-056	2712	422	-29749	-6783	29601	0	2745
SLU-GEO-057	2911	275	-20662	-5183	33819	0	2924
SLU-GEO-058	1728	1529	-30039	-24966	18945	0	2307
SLU-GEO-059	1929	1305	-27372	-21185	25946	0	2329
SLU-GEO-060	1088	994	-26626	-23218	11956	0	1474
SLU-GEO-061	1212	1210	-26336	-26335	13228	0	1713
SLU-GEO-062	1929	1517	-29829	-24897	23247	0	2454
SLU-GEO-063	1829	1513	-29749	-24129	19962	0	2374
SLU-GEO-064	2866	1106	-30039	-18433	31362	0	3072
SLU-GEO-065	3265	993	-27372	-16424	40520	0	3412
SLU-GEO-066	1596	836	-26626	-20801	17498	0	1802
SLU-GEO-067	1842	945	-26336	-22219	20102	0	2070
SLU-GEO-068	3265	1099	-29829	-18464	37823	0	3445
SLU-GEO-069	3066	1097	-29749	-17722	33462	0	3256
SLU-GEO-070	3265	950	-20662	-16122	37678	0	3400

SLU-SIS-001	7841	2021	-22797	-21920	73264	3510	8097
SLU-SIS-002	8057	2021	-22797	-21920	75624	3510	8307
SLU-SIS-003	8057	2021	-20422	-21919	75609	3510	8307
SLU-SIS-004	8259	2171	-23935	-24390	77851	3510	8540
SLU-SIS-005	8294	2132	-23509	-23724	79077	3510	8564
SLU-SIS-006	8147	2077	-23389	-24082	76627	3510	8408
SLU-SIS-007	8169	2115	-23343	-24631	76848	3510	8438
SLU-SIS-008	8294	2169	-23902	-24378	78605	3510	8573
SLU-SIS-009	8277	2169	-23889	-24243	78029	3510	8556

SLU-SIS-010	8461	2096	-23935	-23231	80054	3510	8717
SLU-SIS-011	8531	2077	-23509	-22880	81662	3510	8780
SLU-SIS-012	8237	2049	-23389	-23653	77610	3510	8488
SLU-SIS-013	8281	2068	-23343	-23900	78068	3510	8535
SLU-SIS-014	8531	2095	-23902	-23237	81190	3510	8784
SLU-SIS-015	8496	2095	-23889	-23106	80423	3510	8750
SLU-SIS-016	8531	2069	-20720	-22824	81141	3510	8778
SLU-SIS-017	7841	2021	-19525	-20869	71323	3510	8097
SLU-SIS-018	8057	2021	-19525	-20869	73682	3510	8307
SLU-SIS-019	8057	2021	-17150	-20868	73668	3510	8307
SLU-SIS-020	7841	2021	-20664	-21021	71349	3510	8097
SLU-SIS-021	8167	2171	-20664	-23339	74902	3510	8450
SLU-SIS-022	8202	2132	-20237	-22673	76127	3510	8474
SLU-SIS-023	8055	2077	-20118	-23031	73677	3510	8318
SLU-SIS-024	8076	2115	-20071	-23579	73899	3510	8349
SLU-SIS-025	8202	2169	-20630	-23327	75656	3510	8484
SLU-SIS-026	8184	2169	-20617	-23191	75079	3510	8467
SLU-SIS-027	8368	2096	-20664	-22180	77104	3510	8627
SLU-SIS-028	8439	2077	-20237	-21828	78712	3510	8690
SLU-SIS-029	8145	2049	-20118	-22602	74660	3510	8399
SLU-SIS-030	8188	2068	-20071	-22849	75118	3510	8445
SLU-SIS-031	8439	2095	-20630	-22185	78240	3510	8695
SLU-SIS-032	8404	2095	-20617	-22055	77473	3510	8661
SLU-SIS-033	8439	2069	-17448	-21773	78192	3510	8689
SLU-SIS-034	2352	6737	-22797	-71845	22649	4377	7136
SLU-SIS-035	2569	6737	-22797	-71845	25008	4377	7210
SLU-SIS-036	2569	6737	-20422	-71840	25004	4377	7210
SLU-SIS-037	2352	6737	-23935	-71999	22667	4377	7136
SLU-SIS-038	2678	6888	-23935	-74317	26221	4377	7390
SLU-SIS-039	2713	6848	-23509	-73650	27449	4377	7366
SLU-SIS-040	2566	6793	-23389	-74008	25000	4377	7262
SLU-SIS-041	2588	6831	-23343	-74556	25221	4377	7305
SLU-SIS-042	2713	6885	-23902	-74305	26975	4377	7401
SLU-SIS-043	2696	6885	-23889	-74169	26398	4377	7394
SLU-SIS-044	2880	6812	-23935	-73158	28423	4377	7396
SLU-SIS-045	2950	6793	-23509	-72806	30034	4377	7406
SLU-SIS-046	2656	6765	-23389	-73579	25982	4377	7268
SLU-SIS-047	2700	6784	-23343	-73826	26441	4377	7302
SLU-SIS-048	2950	6811	-23902	-73163	29560	4377	7423
SLU-SIS-049	2915	6811	-23889	-73033	28792	4377	7409
SLU-SIS-050	2950	6785	-20720	-72746	29527	4377	7399
SLU-SIS-051	2352	6737	-19525	-70787	20727	4377	7136
SLU-SIS-052	2569	6737	-19525	-70787	23086	4377	7210
SLU-SIS-053	2569	6737	-17150	-70783	23082	4377	7210
SLU-SIS-054	2352	6737	-20664	-70941	20745	4377	7136

SLU-SIS-055	2678	6888	-20664	-73259	24298	4377	7390
SLU-SIS-056	2713	6848	-20237	-72593	25526	4377	7366
SLU-SIS-057	2566	6793	-20118	-72950	23077	4377	7262
SLU-SIS-058	2588	6831	-20071	-73499	23299	4377	7305
SLU-SIS-059	2713	6885	-20630	-73247	25052	4377	7401
SLU-SIS-060	2696	6885	-20617	-73112	24475	4377	7394
SLU-SIS-061	2880	6812	-20664	-72100	26500	4377	7396
SLU-SIS-062	2950	6793	-20237	-71748	28111	4377	7406
SLU-SIS-063	2656	6765	-20118	-72521	24060	4377	7268
SLU-SIS-064	2700	6784	-20071	-72768	24518	4377	7302
SLU-SIS-065	2950	6811	-20630	-72106	27637	4377	7423
SLU-SIS-066	2915	6811	-20617	-71975	26869	4377	7409
SLU-SIS-067	2950	6785	-17448	-71689	27604	4377	7399
SLU-SIS-068	2352	2021	-26614	-23147	24891	1820	3101
SLU-SIS-069	2569	2021	-26614	-23147	27251	1820	3268
SLU-SIS-070	2569	2021	-24239	-23146	27246	1820	3268
SLU-SIS-071	2352	2021	-27753	-23299	24909	1820	3101
SLU-SIS-072	2678	2171	-27753	-25617	28463	1820	3448
SLU-SIS-073	2713	2132	-27326	-24951	29692	1820	3451
SLU-SIS-074	2566	2077	-27207	-25309	27242	1820	3302
SLU-SIS-075	2588	2115	-27160	-25857	27464	1820	3342
SLU-SIS-076	2713	2169	-27719	-25605	29217	1820	3474
SLU-SIS-077	2696	2169	-27706	-25469	28641	1820	3460
SLU-SIS-078	2880	2096	-27753	-24458	30666	1820	3562
SLU-SIS-079	2950	2077	-27326	-24106	32277	1820	3608
SLU-SIS-080	2656	2049	-27207	-24880	28225	1820	3355
SLU-SIS-081	2700	2068	-27160	-25127	28684	1820	3401
SLU-SIS-082	2950	2095	-27719	-24463	31803	1820	3618
SLU-SIS-083	2915	2095	-27706	-24333	31036	1820	3590
SLU-SIS-084	2950	2069	-24537	-24051	31770	1820	3603
SLU-SIS-085	2352	2021	-15708	-19643	18485	1820	3101
SLU-SIS-086	2569	2021	-15708	-19643	20844	1820	3268
SLU-SIS-087	2569	2021	-13333	-19641	20839	1820	3268
SLU-SIS-088	2352	2021	-16847	-19794	18503	1820	3101
SLU-SIS-089	2678	2171	-16847	-22112	22055	1820	3448
SLU-SIS-090	2713	2132	-16420	-21446	23283	1820	3451
SLU-SIS-091	2566	2077	-16301	-21804	20835	1820	3302
SLU-SIS-092	2588	2115	-16254	-22353	21056	1820	3342
SLU-SIS-093	2713	2169	-16813	-22100	22809	1820	3474
SLU-SIS-094	2696	2169	-16800	-21965	22233	1820	3460
SLU-SIS-095	2880	2096	-16847	-20953	24257	1820	3562
SLU-SIS-096	2950	2077	-16420	-20602	25868	1820	3608
SLU-SIS-097	2656	2049	-16301	-21375	21817	1820	3355
SLU-SIS-098	2700	2068	-16254	-21622	22275	1820	3401
SLU-SIS-099	2950	2095	-16813	-20959	25393	1820	3618

SLU-SIS-100	2915	2095	-16800	-20828	24626	1820	3590
SLU-SIS-101	2950	2069	-13631	-20546	25360	1820	3603
SLU-SIS-102	-7841	-2021	-22797	20872	-71351	-3510	8097
SLU-SIS-103	-7625	-2021	-22797	20872	-68991	-3510	7888
SLU-SIS-104	-7625	-2021	-20422	20870	-68977	-3510	7888
SLU-SIS-105	-7423	-1871	-23935	18404	-66785	-3510	7655
SLU-SIS-106	-7388	-1910	-23509	19069	-65551	-3510	7631
SLU-SIS-107	-7534	-1965	-23389	18711	-67999	-3510	7786
SLU-SIS-108	-7513	-1927	-23343	18163	-67777	-3510	7756
SLU-SIS-109	-7388	-1873	-23902	18416	-66031	-3510	7621
SLU-SIS-110	-7405	-1874	-23889	18552	-66607	-3510	7638
SLU-SIS-111	-7221	-1946	-23935	19563	-64583	-3510	7478
SLU-SIS-112	-7151	-1966	-23509	19914	-62966	-3510	7416
SLU-SIS-113	-7444	-1993	-23389	19140	-67016	-3510	7707
SLU-SIS-114	-7401	-1974	-23343	18893	-66558	-3510	7660
SLU-SIS-115	-7151	-1947	-23902	19558	-63445	-3510	7411
SLU-SIS-116	-7186	-1947	-23889	19688	-64213	-3510	7445
SLU-SIS-117	-7151	-1973	-20720	19966	-63450	-3510	7418
SLU-SIS-118	-7841	-2021	-19525	21918	-73237	-3510	8097
SLU-SIS-119	-7625	-2021	-19525	21918	-70878	-3510	7888
SLU-SIS-120	-7625	-2021	-17150	21916	-70864	-3510	7888
SLU-SIS-121	-7841	-2021	-20664	21768	-73233	-3510	8097
SLU-SIS-122	-7515	-1871	-20664	19450	-69680	-3510	7744
SLU-SIS-123	-7480	-1910	-20237	20115	-68447	-3510	7720
SLU-SIS-124	-7627	-1965	-20118	19757	-70894	-3510	7876
SLU-SIS-125	-7605	-1927	-20071	19209	-70672	-3510	7846
SLU-SIS-126	-7480	-1873	-20630	19463	-68926	-3510	7711
SLU-SIS-127	-7497	-1874	-20617	19598	-69502	-3510	7728
SLU-SIS-128	-7313	-1946	-20664	20609	-67478	-3510	7568
SLU-SIS-129	-7243	-1966	-20237	20960	-65862	-3510	7505
SLU-SIS-130	-7537	-1993	-20118	20186	-69912	-3510	7796
SLU-SIS-131	-7493	-1974	-20071	19939	-69453	-3510	7749
SLU-SIS-132	-7243	-1947	-20630	20604	-66341	-3510	7500
SLU-SIS-133	-7278	-1947	-20617	20734	-67108	-3510	7534
SLU-SIS-134	-7243	-1973	-17448	21012	-66345	-3510	7507
SLU-SIS-135	-2352	-6737	-22797	70796	-20735	-4377	7136
SLU-SIS-136	-2136	-6737	-22797	70796	-18376	-4377	7068
SLU-SIS-137	-2136	-6737	-20422	70791	-18372	-4377	7068
SLU-SIS-138	-2352	-6737	-23935	70649	-20724	-4377	7136
SLU-SIS-139	-2027	-6587	-23935	68331	-17170	-4377	6892
SLU-SIS-140	-1991	-6626	-23509	68995	-15940	-4377	6919
SLU-SIS-141	-2138	-6681	-23389	68637	-18388	-4377	7015
SLU-SIS-142	-2117	-6643	-23343	68088	-18166	-4377	6972
SLU-SIS-143	-1991	-6589	-23902	68343	-16416	-4377	6884
SLU-SIS-144	-2009	-6590	-23889	68478	-16993	-4377	6889

SLU-SIS-145	-1825	-6662	-23935	69490	-14968	-4377	6907
SLU-SIS-146	-1755	-6682	-23509	69840	-13355	-4377	6908
SLU-SIS-147	-2048	-6709	-23389	69066	-17405	-4377	7015
SLU-SIS-148	-2005	-6690	-23343	68818	-16947	-4377	6984
SLU-SIS-149	-1755	-6663	-23902	69484	-13831	-4377	6890
SLU-SIS-150	-1789	-6664	-23889	69615	-14598	-4377	6900
SLU-SIS-151	-1755	-6689	-20720	69887	-13851	-4377	6916
SLU-SIS-152	-2352	-6737	-19525	71836	-22641	-4377	7136
SLU-SIS-153	-2136	-6737	-19525	71836	-20282	-4377	7068
SLU-SIS-154	-2136	-6737	-17150	71831	-20278	-4377	7068
SLU-SIS-155	-2352	-6737	-20664	71689	-22630	-4377	7136
SLU-SIS-156	-2027	-6587	-20664	69371	-19077	-4377	6892
SLU-SIS-157	-1991	-6626	-20237	70035	-17846	-4377	6919
SLU-SIS-158	-2138	-6681	-20118	69677	-20294	-4377	7015
SLU-SIS-159	-2117	-6643	-20071	69128	-20072	-4377	6972
SLU-SIS-160	-1991	-6589	-20630	69383	-18322	-4377	6884
SLU-SIS-161	-2009	-6590	-20617	69518	-18899	-4377	6889
SLU-SIS-162	-1825	-6662	-20664	70530	-16875	-4377	6907
SLU-SIS-163	-1755	-6682	-20237	70880	-15261	-4377	6908
SLU-SIS-164	-2048	-6709	-20118	70106	-19311	-4377	7015
SLU-SIS-165	-2005	-6690	-20071	69858	-18853	-4377	6984
SLU-SIS-166	-1755	-6663	-20630	70524	-15738	-4377	6890
SLU-SIS-167	-1789	-6664	-20617	70655	-16505	-4377	6900
SLU-SIS-168	-1755	-6689	-17448	70927	-15757	-4377	6916
SLU-SIS-169	-2352	-2021	-26614	19651	-18512	-1820	3101
SLU-SIS-170	-2136	-2021	-26614	19651	-16152	-1820	2941
SLU-SIS-171	-2136	-2021	-24239	19650	-16148	-1820	2941
SLU-SIS-172	-2352	-2021	-27753	19502	-18501	-1820	3101
SLU-SIS-173	-2027	-1871	-27753	17184	-14947	-1820	2758
SLU-SIS-174	-1991	-1910	-27326	17849	-13716	-1820	2760
SLU-SIS-175	-2138	-1965	-27207	17491	-16165	-1820	2904
SLU-SIS-176	-2117	-1927	-27160	16942	-15943	-1820	2862
SLU-SIS-177	-1991	-1873	-27719	17196	-14192	-1820	2734
SLU-SIS-178	-2009	-1874	-27706	17331	-14769	-1820	2747
SLU-SIS-179	-1825	-1946	-27753	18343	-12744	-1820	2668
SLU-SIS-180	-1755	-1966	-27326	18693	-11130	-1820	2635
SLU-SIS-181	-2048	-1993	-27207	17920	-15182	-1820	2858
SLU-SIS-182	-2005	-1974	-27160	17672	-14723	-1820	2814
SLU-SIS-183	-1755	-1947	-27719	18337	-11607	-1820	2621
SLU-SIS-184	-1789	-1947	-27706	18468	-12374	-1820	2645
SLU-SIS-185	-1755	-1973	-24537	18745	-11626	-1820	2640
SLU-SIS-186	-2352	-2021	-15708	23138	-24864	-1820	3101
SLU-SIS-187	-2136	-2021	-15708	23138	-22506	-1820	2941
SLU-SIS-188	-2136	-2021	-13333	23137	-22501	-1820	2941
SLU-SIS-189	-2352	-2021	-16847	22989	-24853	-1820	3101

SLU-SIS-190	-2027	-1871	-16847	20671	-21300	-1820	2758
SLU-SIS-191	-1991	-1910	-16420	21336	-20070	-1820	2760
SLU-SIS-192	-2138	-1965	-16301	20978	-22518	-1820	2904
SLU-SIS-193	-2117	-1927	-16254	20429	-22296	-1820	2862
SLU-SIS-194	-1991	-1873	-16813	20683	-20546	-1820	2734
SLU-SIS-195	-2009	-1874	-16800	20818	-21123	-1820	2747
SLU-SIS-196	-1825	-1946	-16847	21830	-19099	-1820	2668
SLU-SIS-197	-1755	-1966	-16420	22180	-17486	-1820	2635
SLU-SIS-198	-2048	-1993	-16301	21407	-21535	-1820	2858
SLU-SIS-199	-2005	-1974	-16254	21159	-21077	-1820	2814
SLU-SIS-200	-1755	-1947	-16813	21824	-17962	-1820	2621
SLU-SIS-201	-1789	-1947	-16800	21955	-18729	-1820	2645
SLU-SIS-202	-1755	-1973	-13631	22232	-17982	-1820	2640

SLE-RAR-001			-21161				
SLE-RAR-002	338	866	-21161	-14024	3685	0	929
SLE-RAR-003	563	519	-21161	-8414	6142	0	766
SLE-RAR-004	338	866	-18786	-14024	3685	0	929
SLE-RAR-005	563	519	-18786	-8414	6141	0	766
SLE-RAR-006	918	683	-26853	-11221	10078	0	1144
SLE-RAR-007	1077	504	-24720	-8196	15666	0	1189
SLE-RAR-008	410	255	-24123	-9823	4534	0	482
SLE-RAR-009	508	428	-23891	-12316	5543	0	664
SLE-RAR-010	1077	673	-26685	-11166	13506	0	1270
SLE-RAR-011	998	670	-26621	-10551	10885	0	1202
SLE-RAR-012	1835	342	-26853	-5952	20091	0	1867
SLE-RAR-013	2154	252	-24720	-4357	27418	0	2169
SLE-RAR-014	819	128	-24123	-7874	9002	0	829
SLE-RAR-015	1016	214	-23891	-8997	11085	0	1038
SLE-RAR-016	2154	337	-26685	-5977	25259	0	2180
SLE-RAR-017	1995	335	-26621	-5385	21770	0	2023
SLE-RAR-018	2154	218	-20275	-4114	25135	0	2165
SLE-RAR-019	918	1202	-26853	-19636	10078	0	1512
SLE-RAR-020	1077	1023	-24720	-16611	15666	0	1486
SLE-RAR-021	410	774	-24123	-18238	4534	0	876
SLE-RAR-022	508	947	-23891	-20731	5543	0	1075
SLE-RAR-023	1077	1192	-26685	-19581	13506	0	1607
SLE-RAR-024	998	1189	-26621	-18966	10885	0	1552
SLE-RAR-025	1835	861	-26853	-14367	20091	0	2027
SLE-RAR-026	2154	771	-24720	-12772	27418	0	2288
SLE-RAR-027	819	647	-24123	-16289	9002	0	1044

SLE-RAR-028	1016	733	-23891	-17412	11085	0	1253
SLE-RAR-029	2154	856	-26685	-14392	25259	0	2318
SLE-RAR-030	1995	854	-26621	-13799	21770	0	2170
SLE-RAR-031	2154	737	-20275	-12528	25135	0	2277
SLE-RAR-032	1201	683	-26853	-11221	13167	0	1381
SLE-RAR-033	1360	504	-24720	-8196	18754	0	1450
SLE-RAR-034	693	255	-24123	-9823	7622	0	738
SLE-RAR-035	791	428	-23891	-12316	8630	0	899
SLE-RAR-036	1360	673	-26685	-11166	16594	0	1517
SLE-RAR-037	1281	670	-26621	-10551	13973	0	1445
SLE-RAR-038	2118	342	-26853	-5952	23179	0	2145
SLE-RAR-039	2437	252	-24720	-4357	30506	0	2450
SLE-RAR-040	1102	128	-24123	-7874	12090	0	1109
SLE-RAR-041	1299	214	-23891	-8997	14173	0	1317
SLE-RAR-042	2437	337	-26685	-5977	28347	0	2460
SLE-RAR-043	2278	335	-26621	-5385	24859	0	2303
SLE-RAR-044	2437	218	-20275	-4114	28223	0	2447
SLE-RAR-045	1086	683	-26853	-11221	11912	0	1282
SLE-RAR-046	1245	504	-24720	-8196	17500	0	1343
SLE-RAR-047	578	255	-24123	-9823	6367	0	631
SLE-RAR-048	676	428	-23891	-12316	7376	0	800
SLE-RAR-049	1245	673	-26685	-11166	15340	0	1415
SLE-RAR-050	1166	670	-26621	-10551	12719	0	1344
SLE-RAR-051	2003	342	-26853	-5952	21924	0	2032
SLE-RAR-052	2322	252	-24720	-4357	29251	0	2336
SLE-RAR-053	987	128	-24123	-7874	10835	0	995
SLE-RAR-054	1184	214	-23891	-8997	12918	0	1203
SLE-RAR-055	2322	337	-26685	-5977	27092	0	2346
SLE-RAR-056	2163	335	-26621	-5385	23604	0	2189
SLE-RAR-057	2322	218	-20275	-4114	26968	0	2332
SLE-RAR-058	1369	1202	-26853	-19636	15000	0	1822
SLE-RAR-059	1528	1023	-24720	-16611	20587	0	1839
SLE-RAR-060	861	774	-24123	-18238	9455	0	1158
SLE-RAR-061	959	947	-23891	-20731	10463	0	1348
SLE-RAR-062	1528	1192	-26685	-19581	18428	0	1938
SLE-RAR-063	1449	1189	-26621	-18966	15807	0	1874
SLE-RAR-064	2286	861	-26853	-14367	25012	0	2443
SLE-RAR-065	2605	771	-24720	-12772	32339	0	2717
SLE-RAR-066	1270	647	-24123	-16289	13923	0	1425
SLE-RAR-067	1467	733	-23891	-17412	16006	0	1640
SLE-RAR-068	2605	856	-26685	-14392	30181	0	2742
SLE-RAR-069	2446	854	-26621	-13799	26692	0	2591
SLE-RAR-070	2605	737	-20275	-12528	30055	0	2707
SLE-RAR-071	1101	410	-24576	-6732	12053	0	1175
SLE-RAR-072	1292	302	-23297	-4918	16450	0	1327

SLE-RAR-073	655	204	-23531	-7859	7201	0	686
SLE-RAR-074	813	342	-23345	-9853	8868	0	882
SLE-RAR-075	1292	404	-24476	-6699	15154	0	1354
SLE-RAR-076	1197	402	-24437	-6331	13061	0	1263
SLE-RAR-077	1292	262	-20572	-4936	16064	0	1319
SLE-RAR-078	1101	929	-24576	-15147	12053	0	1441
SLE-RAR-079	1292	822	-23297	-13332	16450	0	1532
SLE-RAR-080	655	723	-23531	-16273	7201	0	976
SLE-RAR-081	813	862	-23345	-18268	8868	0	1185
SLE-RAR-082	1292	923	-24476	-15114	15154	0	1588
SLE-RAR-083	1197	921	-24437	-14745	13061	0	1511
SLE-RAR-084	1292	781	-20572	-13351	16064	0	1510
SLE-RAR-085	1384	410	-24576	-6732	15141	0	1443
SLE-RAR-086	1575	302	-23297	-4918	19537	0	1604
SLE-RAR-087	938	204	-23531	-7859	10289	0	960
SLE-RAR-088	1096	342	-23345	-9853	11956	0	1148
SLE-RAR-089	1575	404	-24476	-6699	18242	0	1626
SLE-RAR-090	1480	402	-24437	-6331	16149	0	1534
SLE-RAR-091	1575	262	-20572	-4936	19151	0	1597
SLE-RAR-092	1269	410	-24576	-6732	13886	0	1334
SLE-RAR-093	1460	302	-23297	-4918	18283	0	1491
SLE-RAR-094	823	204	-23531	-7859	9034	0	848
SLE-RAR-095	981	342	-23345	-9853	10701	0	1039
SLE-RAR-096	1460	404	-24476	-6699	16987	0	1515
SLE-RAR-097	1365	402	-24437	-6331	14894	0	1423
SLE-RAR-098	1460	262	-20572	-4936	17897	0	1484
SLE-RAR-099	1552	929	-24576	-15147	16974	0	1809
SLE-RAR-100	1743	822	-23297	-13332	21370	0	1927
SLE-RAR-101	1106	723	-23531	-16273	12122	0	1322
SLE-RAR-102	1264	862	-23345	-18268	13789	0	1530
SLE-RAR-103	1743	923	-24476	-15114	20075	0	1973
SLE-RAR-104	1648	921	-24437	-14745	17982	0	1888
SLE-RAR-105	1743	781	-20572	-13351	20984	0	1910

SLE-QPE-001	0	0	-21161	0	0	0	0
SLE-QPE-002	563	0	-21161	0	6142	0	563

5 DISTRIBUZIONE DELLE SOLLECITAZIONI IN TESTA PALI

5.1 GEOMETRIA DELLA PALIFICATA DI FONDAZIONE

Diametro dei pali di fondazione e loro numero:

diam **1.2** m

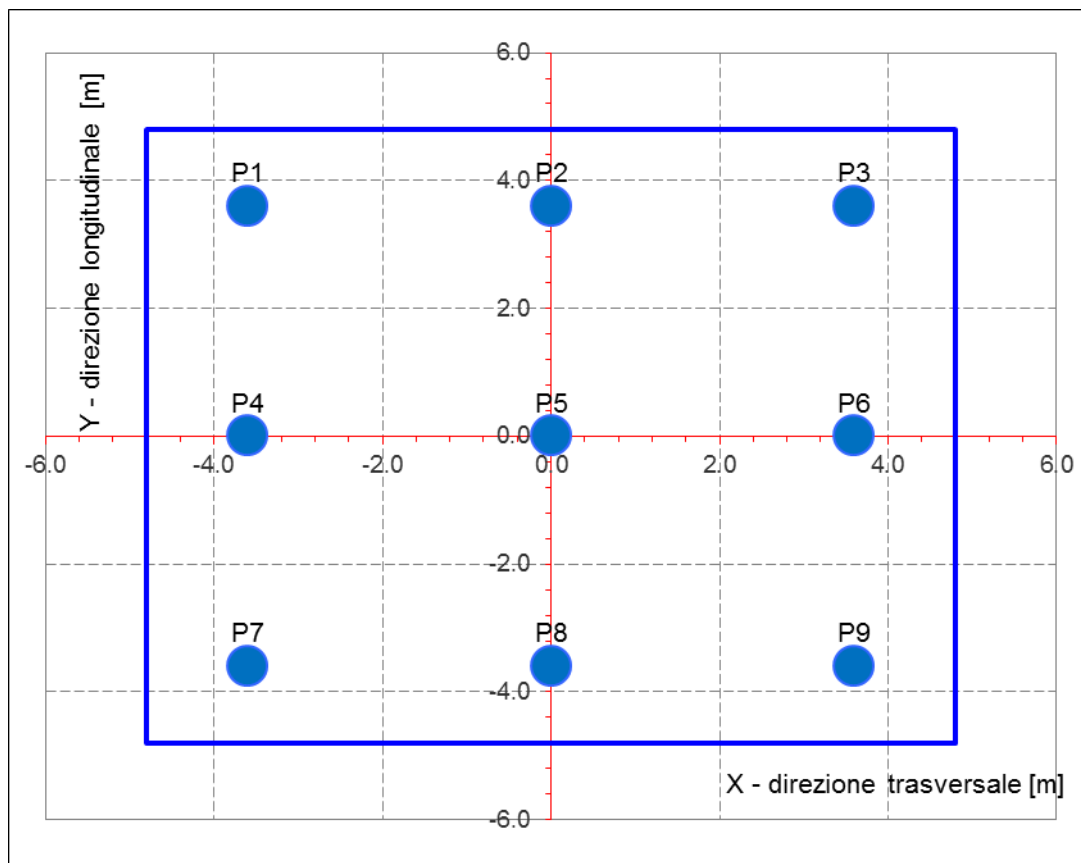
Num tot **9** Numero totale di pali

Geometria del plinto:

dtrasv **9.6** m

dlong **9.6** m

hpl **2.5** m



Le caratteristiche di sollecitazione sul singolo palo sono state determinate a partire dalle sollecitazioni riportate all'intradosso del plinto di fondazione, secondo le seguenti relazioni (*distribuzione rigida delle sollecitazioni*):

$$N_{\max} = F_3 / n_{\text{pali}} + \text{ass}(M_1) / W_{1\text{palificata}} + \text{ass}(M_2) / W_{2\text{palificata}}$$

$$N_{\min} = F_3 / n_{\text{pali}} - \text{ass}(M_1) / W_{1\text{palificata}} - \text{ass}(M_2) / W_{2\text{palificata}}$$

$$H = \sqrt{(F_1 / n_{\text{pali}})^2 + (F_2 / n_{\text{pali}})^2}$$

NB: coordinate riferite al baricentro della palificata

num.	X (trasv)	Y (long)	X2	Y2	Wl	Wt
	m	m	m2	m2		
P1	-3.60	3.60	13.0	13.0	2.2E+01	-2.2E+01
P2	0.00	3.60	0.0	13.0	2.2E+01	1.0E+99
P3	3.60	3.60	13.0	13.0	2.2E+01	2.2E+01
P4	-3.60	0.00	13.0	0.0	1.0E+99	-2.2E+01
P5	0.00	0.00	0.0	0.0	1.0E+99	1.0E+99
P6	3.60	0.00	13.0	0.0	1.0E+99	2.2E+01
P7	-3.60	-3.60	13.0	13.0	-2.2E+01	-2.2E+01
P8	0.00	-3.60	0.0	13.0	-2.2E+01	1.0E+99
P9	3.60	-3.60	13.0	13.0	-2.2E+01	2.2E+01
P10						
P11						
P12						
P13						
P14						
P15						
P16						
P17						
P18						
P19						
P20						

$\Sigma X2$	$\Sigma Y2$
77.76	77.76
m4	m4

5.2 DISTRIBUZIONE DELLE SOLLECITAZIONI IN TESTA AI PALI

Per ogni palo della fondazione e per ogni combinazione di carico considerata, si riportano a seguire i valori delle forze assiali agenti in testa N_{max} [kN] e N_{min} [kN], il valore del taglio medio incrementato del coefficiente che tiene conto dell'effetto gruppo ($T_{med,gr} = 1.1 * T_{med}$ [kN]), nonché il valore del momento flettente agente alla testa del palo (valore massimo). Per il calcolo di tale valore in funzione del taglio agente alla testa del palo, si rimanda all'elaborato progettuale "IF1N.0.1.E.ZZ.RB.GE.00.0.5.001.A - Relazione geotecnica generale di linea delle opere all'aperto".

D (m)	1.2
kh (kN/m ³)	29167
fck (Mpa)	25
E (Mpa)	31476
J (m ⁴)	0.1018
λ (cm)	437.44

	Nmax	Nmin	Tmedia	Tmedia_{gruppo}	Mmax
	[kN]	[kN]	[kN]	[kN]	[kNm]
SLU-STR-001	3272	3272	0	0	0
SLU-STR-002	4502	2042	155	170	373
SLU-STR-003	4276	2268	127	139	304
SLU-STR-004	3317	858	155	170	373
SLU-STR-005	3091	1084	127	139	304
SLU-STR-006	5624	2754	185	204	445
SLU-STR-007	5453	2238	193	212	464
SLU-STR-008	4715	2783	78	86	188
SLU-STR-009	4914	2510	107	118	259
SLU-STR-010	5824	2500	206	226	495
SLU-STR-011	5596	2707	195	214	468
SLU-STR-012	5941	2438	301	331	724
SLU-STR-013	5981	1710	349	384	841
SLU-STR-014	4883	2615	134	147	321
SLU-STR-015	5062	2362	167	184	403
SLU-STR-016	6262	2062	351	386	845
SLU-STR-017	5978	2326	326	359	784
SLU-STR-018	4295	363	349	384	839
SLU-STR-019	6208	2170	247	271	593
SLU-STR-020	6038	1653	242	266	583
SLU-STR-021	5300	2199	144	158	346
SLU-STR-022	5498	1926	176	194	423
SLU-STR-023	6409	1916	262	288	630
SLU-STR-024	6181	2123	253	278	609

SLU-STR-025	6525	1853		328	361	789
SLU-STR-026	6565	1126		370	407	889
SLU-STR-027	5468	2031		170	187	409
SLU-STR-028	5646	1778		204	224	490
SLU-STR-029	6847	1478		375	412	901
SLU-STR-030	6562	1741		351	386	844
SLU-STR-031	4879	-222		368	405	885
SLU-STR-032	5831	2547		223	246	538
SLU-STR-033	5661	2030		235	258	565
SLU-STR-034	4923	2576		119	131	287
SLU-STR-035	5121	2303		145	160	350
SLU-STR-036	6032	2293		246	270	591
SLU-STR-037	5804	2500		234	257	563
SLU-STR-038	6148	2230		346	380	832
SLU-STR-039	6188	1503		395	434	950
SLU-STR-040	5091	2408		179	197	430
SLU-STR-041	5269	2155		212	233	510
SLU-STR-042	6470	1855		396	436	954
SLU-STR-043	6185	2118		371	408	893
SLU-STR-044	4502	155		394	434	948
SLU-STR-045	5751	2627		208	229	501
SLU-STR-046	5581	2110		218	240	525
SLU-STR-047	4843	2656		103	113	248
SLU-STR-048	5041	2383		130	143	313
SLU-STR-049	5952	2373		230	253	553
SLU-STR-050	5724	2580		218	240	525
SLU-STR-051	6068	2310		328	361	790
SLU-STR-052	6108	1583		377	415	908
SLU-STR-053	5011	2488		161	177	388
SLU-STR-054	5189	2235		195	214	469
SLU-STR-055	6390	1935		379	417	912
SLU-STR-056	6105	2198		354	389	851
SLU-STR-057	4422	235		377	414	906
SLU-STR-058	6543	1835		297	327	714
SLU-STR-059	6372	1319		300	330	721
SLU-STR-060	5634	1864		189	208	456
SLU-STR-061	5833	1591		220	242	530
SLU-STR-062	6743	1581		316	347	760
SLU-STR-063	6515	1788		305	336	735
SLU-STR-064	6860	1519		396	435	952
SLU-STR-065	6900	791		440	483	1057
SLU-STR-066	5802	1696		232	255	558
SLU-STR-067	5981	1443		266	293	641

SLU-STR-068	7181	1143		444	488	1067
SLU-STR-069	6897	1407		419	461	1009
SLU-STR-070	5214	-556		438	482	1054

	Nmax	Nmin		Tmedia	Tmedia_{gruppo}	Mmax
	[kN]	[kN]		[kN]	[kN]	[kNm]
SLU-GEO-001	2547	2547		0	0	0
SLU-GEO-002	3613	1481		134	148	323
SLU-GEO-003	3416	1678		109	120	263
SLU-GEO-004	3153	1022		134	148	323
SLU-GEO-005	2956	1218		109	120	263
SLU-GEO-006	4575	2100		160	176	384
SLU-GEO-007	4428	1655		166	183	400
SLU-GEO-008	3791	2126		67	74	162
SLU-GEO-009	3962	1890		93	102	223
SLU-GEO-010	4748	1881		177	195	427
SLU-GEO-011	4551	2060		168	185	404
SLU-GEO-012	4847	1828		259	285	624
SLU-GEO-013	4882	1201		301	331	725
SLU-GEO-014	3936	1981		115	127	277
SLU-GEO-015	4090	1762		144	159	347
SLU-GEO-016	5125	1504		303	333	729
SLU-GEO-017	4879	1731		281	309	676
SLU-GEO-018	3991	600		301	331	724
SLU-GEO-019	5081	1594		213	234	512
SLU-GEO-020	4934	1148		209	230	503
SLU-GEO-021	4298	1619		124	137	299
SLU-GEO-022	4469	1384		152	167	366
SLU-GEO-023	5254	1374		226	249	544
SLU-GEO-024	5058	1553		219	240	526
SLU-GEO-025	5354	1321		283	311	681
SLU-GEO-026	5389	694		319	351	767
SLU-GEO-027	4443	1474		147	162	353
SLU-GEO-028	4597	1256		176	193	423
SLU-GEO-029	5631	998		323	355	777
SLU-GEO-030	5386	1225		303	333	728
SLU-GEO-031	4498	94		317	349	763
SLU-GEO-032	4754	1922		193	212	464
SLU-GEO-033	4607	1476		203	223	487
SLU-GEO-034	3970	1947		103	113	248
SLU-GEO-035	4141	1711		125	138	302

SLU-GEO-036	4926	1702		212	233	510
SLU-GEO-037	4730	1881		202	222	485
SLU-GEO-038	5026	1649		298	328	717
SLU-GEO-039	5061	1022		340	374	819
SLU-GEO-040	4115	1802		154	170	371
SLU-GEO-041	4269	1584		183	201	440
SLU-GEO-042	5303	1325		342	376	822
SLU-GEO-043	5058	1553		320	352	770
SLU-GEO-044	4170	422		340	374	818
SLU-GEO-045	4685	1990		180	198	433
SLU-GEO-046	4538	1545		189	207	454
SLU-GEO-047	3902	2015		89	98	214
SLU-GEO-048	4073	1780		112	124	270
SLU-GEO-049	4858	1771		198	218	477
SLU-GEO-050	4661	1949		188	207	453
SLU-GEO-051	4958	1718		283	312	681
SLU-GEO-052	4993	1090		325	358	783
SLU-GEO-053	4046	1871		139	153	335
SLU-GEO-054	4200	1652		168	185	404
SLU-GEO-055	5235	1394		327	360	786
SLU-GEO-056	4990	1621		305	335	734
SLU-GEO-057	4101	490		325	357	782
SLU-GEO-058	5371	1305		256	282	617
SLU-GEO-059	5223	859		259	285	623
SLU-GEO-060	4587	1330		164	180	394
SLU-GEO-061	4758	1095		190	209	458
SLU-GEO-062	5543	1085		273	300	656
SLU-GEO-063	5347	1264		264	290	635
SLU-GEO-064	5643	1032		341	375	821
SLU-GEO-065	5678	405		379	417	912
SLU-GEO-066	4732	1185		200	220	482
SLU-GEO-067	4886	967		230	253	553
SLU-GEO-068	5920	708		383	421	921
SLU-GEO-069	5675	936		362	398	871
SLU-GEO-070	4786	-195		378	416	909

	Nmax	Nmin	Tmedia	Tmedia_{gruppo}	Mmax
	[kN]	[kN]	[kN]	[kN]	[kNm]
SLU-SIS-001	6940	-1874	900	990	2165
SLU-SIS-002	7049	-1983	923	1015	2221
SLU-SIS-003	6784	-2246	923	1015	2221
SLU-SIS-004	7393	-2074	949	1044	2283
SLU-SIS-005	7371	-2147	952	1047	2289
SLU-SIS-006	7261	-2064	934	1028	2248
SLU-SIS-007	7292	-2104	938	1031	2256
SLU-SIS-008	7424	-2112	953	1048	2292
SLU-SIS-009	7389	-2080	951	1046	2287
SLU-SIS-010	7441	-2122	969	1065	2330
SLU-SIS-011	7452	-2228	976	1073	2347
SLU-SIS-012	7287	-2089	943	1037	2269
SLU-SIS-013	7314	-2127	948	1043	2282
SLU-SIS-014	7490	-2179	976	1074	2348
SLU-SIS-015	7447	-2139	972	1069	2339
SLU-SIS-016	7115	-2511	975	1073	2347
SLU-SIS-017	6438	-2099	900	990	2165
SLU-SIS-018	6547	-2208	923	1015	2221
SLU-SIS-019	6282	-2471	923	1015	2221
SLU-SIS-020	6572	-1980	900	990	2165
SLU-SIS-021	6844	-2252	939	1033	2259
SLU-SIS-022	6823	-2326	942	1036	2265
SLU-SIS-023	6713	-2242	924	1017	2224
SLU-SIS-024	6743	-2283	928	1020	2232
SLU-SIS-025	6875	-2290	943	1037	2268
SLU-SIS-026	6840	-2259	941	1035	2263
SLU-SIS-027	6892	-2300	959	1054	2306
SLU-SIS-028	6903	-2406	966	1062	2323
SLU-SIS-029	6738	-2268	933	1027	2245
SLU-SIS-030	6766	-2305	938	1032	2258
SLU-SIS-031	6942	-2357	966	1063	2324
SLU-SIS-032	6899	-2317	962	1059	2315
SLU-SIS-033	6567	-2689	965	1062	2323
SLU-SIS-034	6908	-1842	793	872	1908
SLU-SIS-035	7017	-1951	801	881	1927
SLU-SIS-036	6753	-2214	801	881	1927
SLU-SIS-037	7042	-1723	793	872	1908
SLU-SIS-038	7314	-1995	821	903	1975
SLU-SIS-039	7293	-2068	818	900	1969
SLU-SIS-040	7183	-1985	807	888	1941

SLU-SIS-041	7213	-2026		812	893	1953
SLU-SIS-042	7345	-2033		822	905	1978
SLU-SIS-043	7310	-2002		822	904	1976
SLU-SIS-044	7362	-2043		822	904	1977
SLU-SIS-045	7373	-2149		823	905	1980
SLU-SIS-046	7208	-2010		808	888	1943
SLU-SIS-047	7236	-2048		811	892	1952
SLU-SIS-048	7411	-2100		825	907	1984
SLU-SIS-049	7368	-2060		823	905	1980
SLU-SIS-050	7037	-2433		822	904	1978
SLU-SIS-051	6406	-2067		793	872	1908
SLU-SIS-052	6515	-2177		801	881	1927
SLU-SIS-053	6251	-2440		801	881	1927
SLU-SIS-054	6541	-1949		793	872	1908
SLU-SIS-055	6813	-2221		821	903	1975
SLU-SIS-056	6791	-2294		818	900	1969
SLU-SIS-057	6681	-2210		807	888	1941
SLU-SIS-058	6712	-2251		812	893	1953
SLU-SIS-059	6843	-2259		822	905	1978
SLU-SIS-060	6809	-2227		822	904	1976
SLU-SIS-061	6861	-2269		822	904	1977
SLU-SIS-062	6872	-2375		823	905	1980
SLU-SIS-063	6707	-2236		808	888	1943
SLU-SIS-064	6734	-2274		811	892	1952
SLU-SIS-065	6910	-2325		825	907	1984
SLU-SIS-066	6867	-2285		823	905	1980
SLU-SIS-067	6536	-2658		822	904	1978
SLU-SIS-068	5181	733		345	379	829
SLU-SIS-069	5290	624		363	399	874
SLU-SIS-070	5026	360		363	399	874
SLU-SIS-071	5315	852		345	379	829
SLU-SIS-072	5587	580		383	421	922
SLU-SIS-073	5566	506		383	422	922
SLU-SIS-074	5456	590		367	404	883
SLU-SIS-075	5486	549		371	409	894
SLU-SIS-076	5618	542		386	425	929
SLU-SIS-077	5584	573		384	423	925
SLU-SIS-078	5636	532		396	435	952
SLU-SIS-079	5647	426		401	441	964
SLU-SIS-080	5482	564		373	410	897
SLU-SIS-081	5509	527		378	416	909
SLU-SIS-082	5685	475		402	442	967
SLU-SIS-083	5642	515		399	439	960

SLU-SIS-084	5311	142		400	440	963
SLU-SIS-085	3511	-20		345	379	829
SLU-SIS-086	3620	-129		363	399	874
SLU-SIS-087	3356	-393		363	399	874
SLU-SIS-088	3645	99		345	379	829
SLU-SIS-089	3917	-173		383	421	922
SLU-SIS-090	3895	-246		383	422	922
SLU-SIS-091	3785	-163		367	404	883
SLU-SIS-092	3816	-204		371	409	894
SLU-SIS-093	3947	-211		386	425	929
SLU-SIS-094	3913	-179		384	423	925
SLU-SIS-095	3965	-221		396	435	952
SLU-SIS-096	3976	-327		401	441	964
SLU-SIS-097	3811	-188		373	410	897
SLU-SIS-098	3838	-226		378	416	909
SLU-SIS-099	4014	-278		402	442	967
SLU-SIS-100	3971	-238		399	439	960
SLU-SIS-101	3640	-611		400	440	963
SLU-SIS-102	6803	-1737		900	990	2165
SLU-SIS-103	6693	-1627		876	964	2109
SLU-SIS-104	6429	-1890		876	964	2109
SLU-SIS-105	6603	-1284		851	936	2046
SLU-SIS-106	6530	-1306		848	933	2040
SLU-SIS-107	6613	-1416		865	952	2082
SLU-SIS-108	6572	-1385		862	948	2073
SLU-SIS-109	6565	-1254		847	932	2037
SLU-SIS-110	6597	-1288		849	934	2042
SLU-SIS-111	6555	-1236		831	914	1999
SLU-SIS-112	6449	-1225		824	906	1982
SLU-SIS-113	6588	-1390		856	942	2060
SLU-SIS-114	6550	-1362		851	936	2048
SLU-SIS-115	6499	-1187		823	906	1981
SLU-SIS-116	6539	-1230		827	910	1990
SLU-SIS-117	6164	-1560		824	907	1983
SLU-SIS-118	6575	-2236		900	990	2165
SLU-SIS-119	6466	-2127		876	964	2109
SLU-SIS-120	6201	-2390		876	964	2109
SLU-SIS-121	6694	-2102		900	990	2165
SLU-SIS-122	6422	-1830		860	947	2070
SLU-SIS-123	6349	-1852		858	944	2064
SLU-SIS-124	6432	-1962		875	963	2105
SLU-SIS-125	6391	-1931		872	959	2097
SLU-SIS-126	6384	-1800		857	942	2061

SLU-SIS-127	6416	-1834		859	945	2066
SLU-SIS-128	6374	-1782		841	925	2023
SLU-SIS-129	6268	-1771		834	917	2006
SLU-SIS-130	6406	-1936		866	953	2084
SLU-SIS-131	6369	-1908		861	947	2072
SLU-SIS-132	6317	-1733		833	917	2005
SLU-SIS-133	6358	-1776		837	921	2014
SLU-SIS-134	5983	-2106		834	918	2007
SLU-SIS-135	6771	-1705		793	872	1908
SLU-SIS-136	6661	-1595		785	864	1889
SLU-SIS-137	6397	-1859		785	864	1889
SLU-SIS-138	6890	-1571		793	872	1908
SLU-SIS-139	6618	-1299		766	842	1842
SLU-SIS-140	6544	-1320		769	846	1850
SLU-SIS-141	6628	-1430		779	857	1875
SLU-SIS-142	6587	-1400		775	852	1864
SLU-SIS-143	6580	-1268		765	841	1840
SLU-SIS-144	6611	-1303		765	842	1842
SLU-SIS-145	6570	-1251		767	844	1847
SLU-SIS-146	6464	-1239		768	844	1847
SLU-SIS-147	6602	-1404		779	857	1875
SLU-SIS-148	6564	-1377		776	854	1867
SLU-SIS-149	6513	-1201		766	842	1842
SLU-SIS-150	6553	-1244		767	843	1844
SLU-SIS-151	6179	-1575		768	845	1849
SLU-SIS-152	6543	-2204		793	872	1908
SLU-SIS-153	6434	-2095		785	864	1889
SLU-SIS-154	6170	-2359		785	864	1889
SLU-SIS-155	6663	-2071		793	872	1908
SLU-SIS-156	6391	-1799		766	842	1842
SLU-SIS-157	6317	-1820		769	846	1850
SLU-SIS-158	6401	-1930		779	857	1875
SLU-SIS-159	6360	-1900		775	852	1864
SLU-SIS-160	6353	-1768		765	841	1840
SLU-SIS-161	6384	-1803		765	842	1842
SLU-SIS-162	6342	-1751		767	844	1847
SLU-SIS-163	6237	-1739		768	844	1847
SLU-SIS-164	6375	-1904		779	857	1875
SLU-SIS-165	6337	-1877		776	854	1867
SLU-SIS-166	6286	-1701		766	842	1842
SLU-SIS-167	6326	-1744		767	843	1844
SLU-SIS-168	5952	-2075		768	845	1849
SLU-SIS-169	4724	1190		345	379	829

SLU-SIS-170	4615	1300		327	359	786
SLU-SIS-171	4351	1036		327	359	786
SLU-SIS-172	4843	1324		345	379	829
SLU-SIS-173	4571	1596		306	337	737
SLU-SIS-174	4498	1575		307	337	738
SLU-SIS-175	4581	1465		323	355	776
SLU-SIS-176	4540	1495		318	350	765
SLU-SIS-177	4533	1627		304	334	731
SLU-SIS-178	4565	1592		305	336	734
SLU-SIS-179	4523	1644		296	326	713
SLU-SIS-180	4417	1656		293	322	704
SLU-SIS-181	4555	1490		318	349	764
SLU-SIS-182	4518	1518		313	344	752
SLU-SIS-183	4466	1694		291	320	701
SLU-SIS-184	4506	1651		294	323	707
SLU-SIS-185	4132	1320		293	323	706
SLU-SIS-186	3968	-477		345	379	829
SLU-SIS-187	3858	-368		327	359	786
SLU-SIS-188	3594	-631		327	359	786
SLU-SIS-189	4087	-343		345	379	829
SLU-SIS-190	3815	-71		306	337	737
SLU-SIS-191	3741	-92		307	337	738
SLU-SIS-192	3825	-203		323	355	776
SLU-SIS-193	3784	-172		318	350	765
SLU-SIS-194	3777	-41		304	334	731
SLU-SIS-195	3808	-75		305	336	734
SLU-SIS-196	3767	-23		296	326	713
SLU-SIS-197	3661	-12		293	322	704
SLU-SIS-198	3799	-177		318	349	764
SLU-SIS-199	3761	-149		313	344	752
SLU-SIS-200	3710	26		291	320	701
SLU-SIS-201	3750	-17		294	323	707
SLU-SIS-202	3376	-347		293	323	706

	Nmax	Nmin	Tmedia	Tmedia_{gruppo}	Mmax
	[kN]	[kN]	[kN]	[kN]	[kNm]
SLE-RAR-001	2351	2351	0	0	0
SLE-RAR-002	3171	1531	103	114	248
SLE-RAR-003	3025	1677	85	94	205
SLE-RAR-004	2907	1268	103	114	248
SLE-RAR-005	2761	1413	85	94	205
SLE-RAR-006	3970	1998	127	140	306
SLE-RAR-007	3851	1642	132	145	318
SLE-RAR-008	3345	2016	54	59	129
SLE-RAR-009	3481	1828	74	81	178
SLE-RAR-010	4107	1823	141	155	339
SLE-RAR-011	3950	1965	134	147	321
SLE-RAR-012	4189	1778	207	228	499
SLE-RAR-013	4218	1276	241	265	580
SLE-RAR-014	3462	1899	92	101	222
SLE-RAR-015	3584	1725	115	127	278
SLE-RAR-016	4411	1519	242	266	583
SLE-RAR-017	4215	1701	225	247	541
SLE-RAR-018	3607	899	241	265	579
SLE-RAR-019	4359	1608	168	185	404
SLE-RAR-020	4241	1252	165	182	397
SLE-RAR-021	3735	1626	97	107	234
SLE-RAR-022	3871	1438	119	131	287
SLE-RAR-023	4497	1433	179	196	430
SLE-RAR-024	4340	1576	172	190	415
SLE-RAR-025	4579	1388	225	248	542
SLE-RAR-026	4607	886	254	280	612
SLE-RAR-027	3851	1509	116	128	279
SLE-RAR-028	3974	1335	139	153	335
SLE-RAR-029	4801	1129	258	283	620
SLE-RAR-030	4605	1311	241	265	580
SLE-RAR-031	3996	509	253	278	609
SLE-RAR-032	4113	1855	153	169	369
SLE-RAR-033	3994	1499	161	177	388
SLE-RAR-034	3488	1873	82	90	197
SLE-RAR-035	3624	1685	100	110	240
SLE-RAR-036	4250	1680	169	185	406
SLE-RAR-037	4093	1823	161	177	386
SLE-RAR-038	4332	1635	238	262	574
SLE-RAR-039	4361	1133	272	299	655
SLE-RAR-040	3605	1756	123	136	297

SLE-RAR-041	3727	1582		146	161	352
SLE-RAR-042	4554	1376		273	301	658
SLE-RAR-043	4358	1558		256	281	616
SLE-RAR-044	3750	756		272	299	654
SLE-RAR-045	4055	1913		142	157	343
SLE-RAR-046	3936	1557		149	164	359
SLE-RAR-047	3430	1931		70	77	169
SLE-RAR-048	3566	1743		89	98	214
SLE-RAR-049	4192	1738		157	173	378
SLE-RAR-050	4035	1881		149	164	359
SLE-RAR-051	4274	1693		226	248	543
SLE-RAR-052	4303	1191		260	285	624
SLE-RAR-053	3547	1814		111	122	266
SLE-RAR-054	3669	1640		134	147	322
SLE-RAR-055	4496	1434		261	287	627
SLE-RAR-056	4300	1616		243	268	585
SLE-RAR-057	3692	814		259	285	623
SLE-RAR-058	4587	1380		202	223	487
SLE-RAR-059	4469	1025		204	225	492
SLE-RAR-060	3962	1398		129	141	309
SLE-RAR-061	4099	1210		150	165	360
SLE-RAR-062	4725	1205		215	237	518
SLE-RAR-063	4568	1348		208	229	501
SLE-RAR-064	4807	1161		271	299	653
SLE-RAR-065	4835	658		302	332	726
SLE-RAR-066	4079	1282		158	174	381
SLE-RAR-067	4202	1107		182	200	438
SLE-RAR-068	5029	901		305	335	733
SLE-RAR-069	4833	1083		288	317	693
SLE-RAR-070	4224	281		301	331	724
SLE-RAR-071	3600	1861		131	144	314
SLE-RAR-072	3578	1599		147	162	355
SLE-RAR-073	3312	1917		76	84	183
SLE-RAR-074	3461	1727		98	108	236
SLE-RAR-075	3731	1708		150	165	362
SLE-RAR-076	3613	1818		140	154	338
SLE-RAR-077	3258	1314		147	161	352
SLE-RAR-078	3990	1471		160	176	385
SLE-RAR-079	3967	1210		170	187	409
SLE-RAR-080	3701	1528		108	119	261
SLE-RAR-081	3850	1338		132	145	317
SLE-RAR-082	4121	1318		176	194	425
SLE-RAR-083	4003	1428		168	185	404

SLE-RAR-084	3648	924		168	185	404
SLE-RAR-085	3743	1718		160	176	386
SLE-RAR-086	3721	1456		178	196	429
SLE-RAR-087	3455	1774		107	117	257
SLE-RAR-088	3604	1584		128	140	307
SLE-RAR-089	3874	1565		181	199	435
SLE-RAR-090	3756	1675		170	187	410
SLE-RAR-091	3401	1171		177	195	427
SLE-RAR-092	3685	1776		148	163	356
SLE-RAR-093	3663	1514		166	182	399
SLE-RAR-094	3397	1832		94	104	227
SLE-RAR-095	3545	1642		115	127	278
SLE-RAR-096	3816	1623		168	185	405
SLE-RAR-097	3698	1733		158	174	380
SLE-RAR-098	3343	1229		165	181	397
SLE-RAR-099	4218	1244		201	221	484
SLE-RAR-100	4195	982		214	236	515
SLE-RAR-101	3929	1300		147	162	353
SLE-RAR-102	4078	1110		170	187	409
SLE-RAR-103	4349	1090		219	241	527
SLE-RAR-104	4230	1200		210	231	505
SLE-RAR-105	3875	696		212	233	511

	Nmax	Nmin	Tmedia	Tmedia_{gruopo}	Mmax
	[kN]	[kN]	[kN]	[kN]	[kNm]
SLE-QPE-001	2351	2351	0	0	0
SLE-QPE-002	2636	2067	63	69	151

6 VERIFICHE STRUTTURALI DEL FUSTO PILA

6.1 GEOMETRIA DELLA SEZIONE ED ARMATURA

Si riporta a seguire una figura che illustra la geometria della sezione di verifica, nella quale è rappresentata una armatura tipologica.

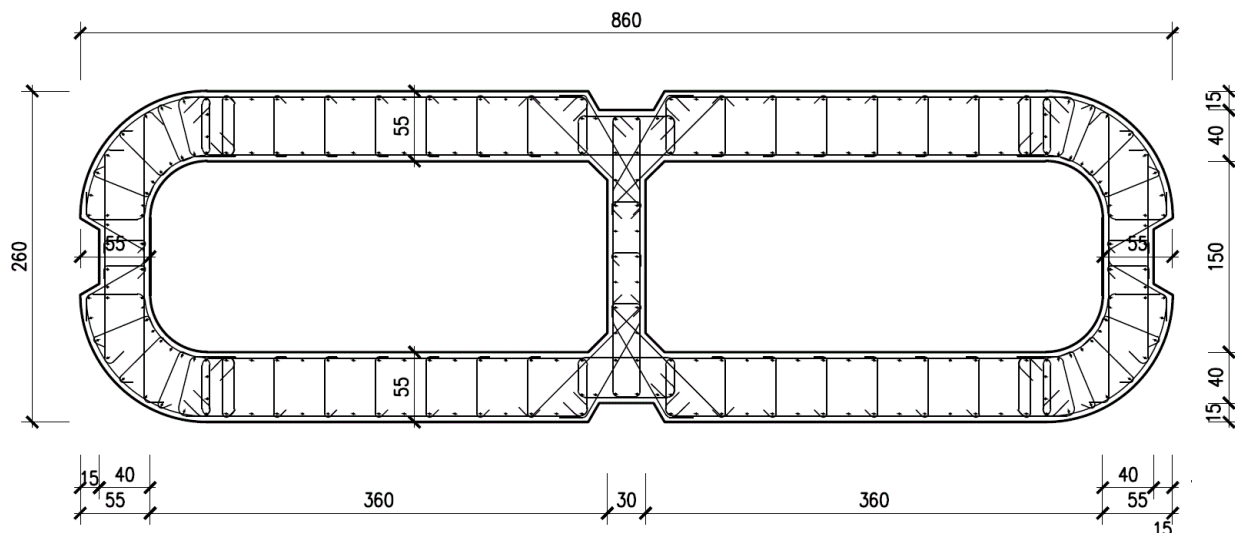


Figura 1 – Geometria della sezione trasversale della pila [cm]

6.1.1 ARMATURA LONGITUDINALE

A seguire è indicata l'armatura flessionale prevista nella sezione di base del fusto pila, in termini di numero di barre presenti nello strato esterno (1° str.), nello strato interno (2° str.), nonché loro diametro f_i [mm].

n barre (1° str.)	124	
f_i barre (1° str.)	24	mm
n barre (2° str.)	122	
f_i barre (2° str.)	24	mm

6.1.2 ARMATURA TRASVERSALE

A seguire è indicata l'armatura a taglio prevista nella sezione di base del fusto pila, all'interno della zona critica.

Direzione longitudinale

Staffe:

Spille:

Spille:

øw	16	mm	øw	8	mm	øw	16	mm
A1b	200.96	mm ²	A1b	50.24	mm ²	A1b	200.96	mm ²
passo	100	mm	passo	100	mm	passo	100	mm
bracci	6		bracci	16		bracci	6	

Direzione trasversale

Staffe:

Spille:

Spille:

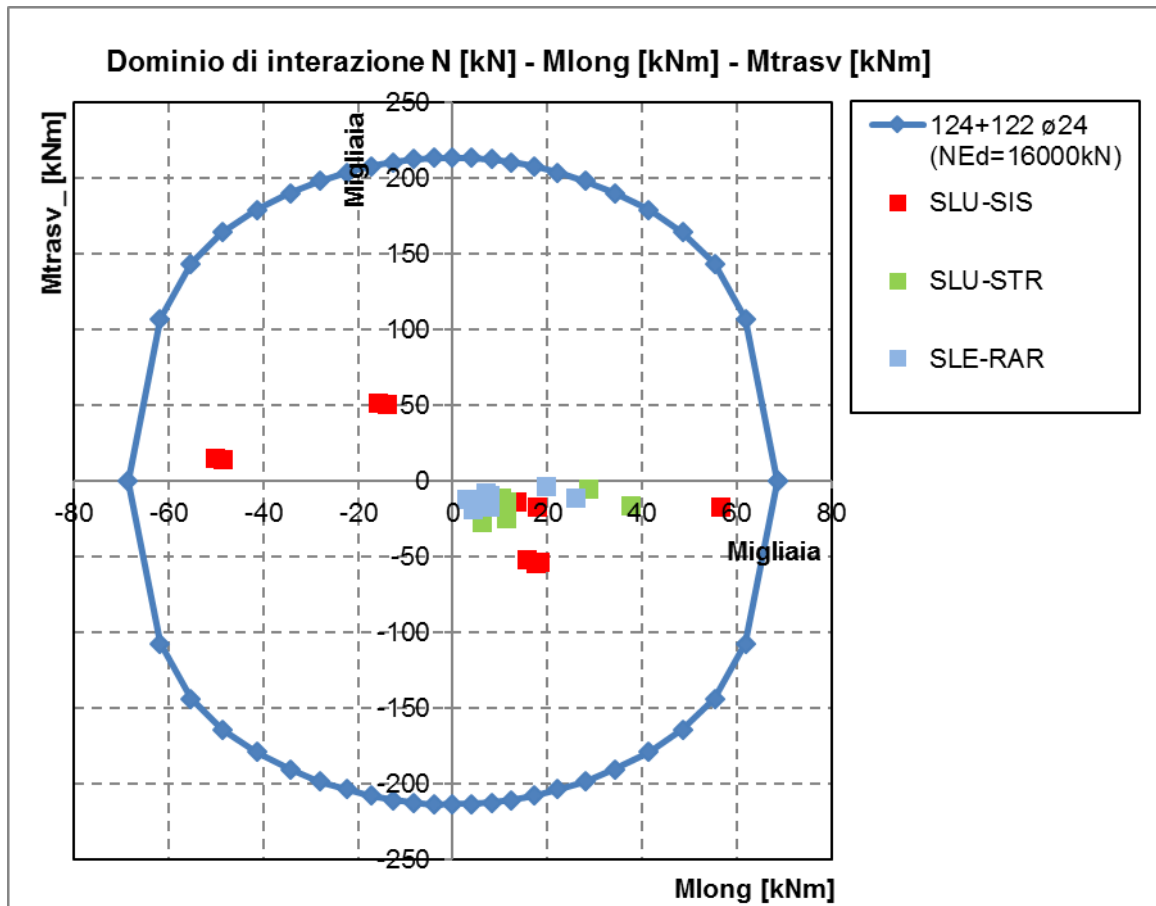
øw	16	mm	øw	8	mm	øw	16	mm
A1b	200.96	mm ²	A1b	50.24	mm ²	A1b	200.96	mm ²
passo	100	mm	passo	100	mm	passo	100	mm
bracci	4		bracci	6		bracci	2	

6.2 VERIFICHE SLU A PRESSOFLESSIONE

La verifica SLU a presso-flessione nelle sezioni critiche si effettua verificando che:

$$FS = (M_{Rd,long}^2 + M_{Rd,trasv}^2)^{0.5} / (M_{Ed,long}^2 + M_{Ed,trasv}^2)^{0.5} \geq 1$$

Sono riportate a seguire le verifiche SLU della sezione di base della pila, espresse in forma sintetica mediante il diagramma di interazione $M_{long} - M_{trasv}$ valutato per una forza assiale corrispondente alla condizione di verifica più severa (SLV-SIS).



Si riportano a seguire le verifiche in forma esplicita nelle due combinazioni di carico più severe, di cui la prima ricadente in condizione statica SLU e la seconda ricadente in condizione sismica SLV.

SLU-STR-065

Verifica C.A. S.L.U. - File: 860x260_246fi24_STR1

File Materiali Opzioni Visualizza Progetto Sez. Rett. Sismica Normativa: NTC 2008 ?

Titolo : _____

N° Vertici Zoom N° barre Zoom

N°	x [cm]	y [cm]	N°	As [cm²]	x [cm]	y [cm]
1	-430	30	1	4,52	9	108
2	-427	56	2	4,52	24	109
3	-417	80	3	4,52	35	109
4	-401	101	4	4,52	35	124
5	-380	117	5	4,52	55	124
6	-356	127	6	4,52	75	124

Tipo Sezione
 Rettan.re Trapezi
 a T Circolare
 Rettangoli Coord.

Sollecitazioni
 S.L.U. Metodo n

N_{Ed} kN
 M_{xEd} kNm
 M_{yEd}

P.to applicazione N
 Centro Baricentro cls
 Coord.[cm] xN yN

Tipo rottura
 Lato calcestruzzo - Acciaio snervato

Metodo di calcolo
 S.L.U.+ S.L.U.-
 Metodo n

Tipo flessione
 Retta Deviata

N° rett.

Calcola MRd

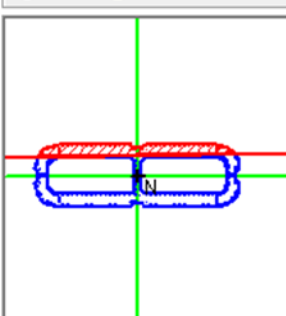
angolo asse neutro θ°

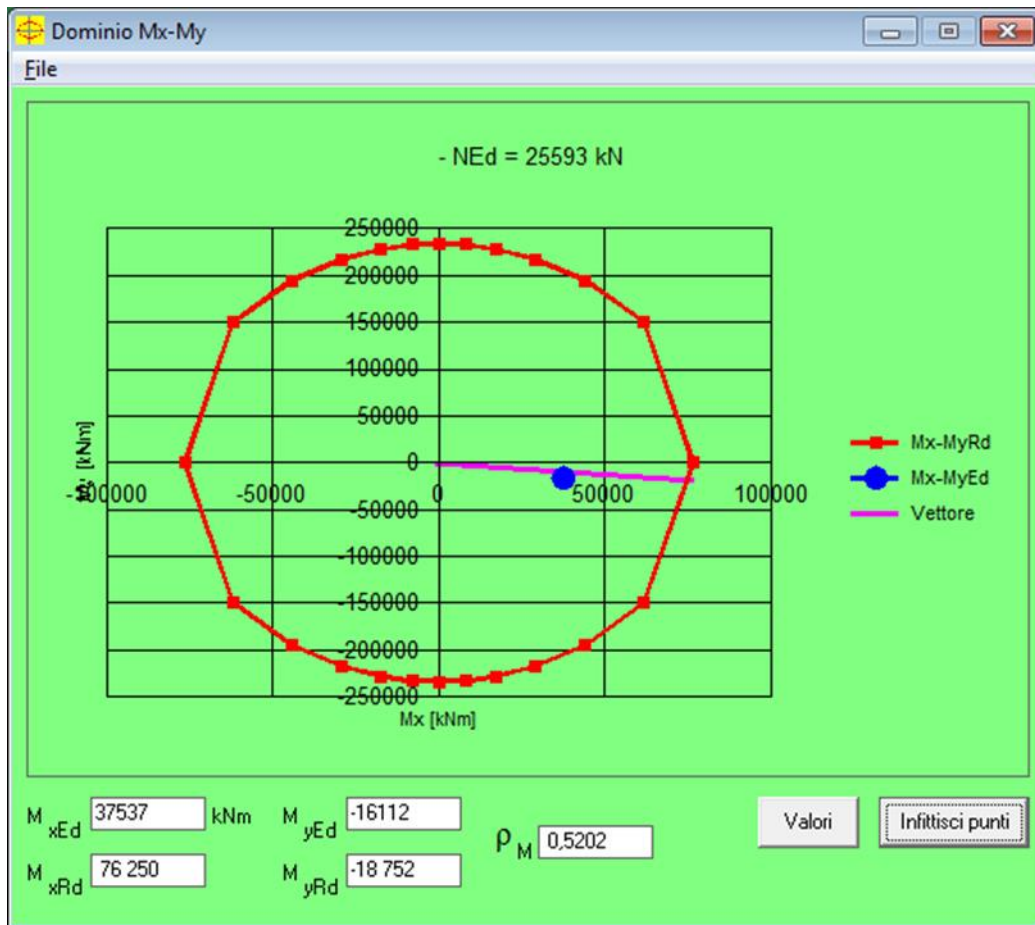
Precompresso

Materiali

 ϵ_{su} % ϵ_{c2} %
 f_{yd} N/mm² ϵ_{cu}
 E_s N/mm² f_{cd}
 E_s/E_c f_{cc}/f_{cd} ?
 ϵ_{syd} % $\sigma_{c,adm}$
 $\sigma_{s,adm}$ N/mm² τ_{co}
 τ_{c1}

M_{xRd} kN m
 M_{yRd} kN m
 σ_c N/mm²
 σ_s N/mm²
 ϵ_c %
 ϵ_s %
 d cm
 x x/d
 δ





ρ_M 0.5202

FS 1.92

SLU-SIS-011

Verifica C.A. S.L.U. - File: 860x260_246fi24_SIS1

File Materiali Opzioni Visualizza Progetto Sez. Rett. Sismica Normativa: NTC 2008 ?

Titolo : _____

N° Vertici Zoom N° barre Zoom

N°	x [cm]	y [cm]	N°	As [cm²]	x [cm]	y [cm]
1	-430	30	1	4,52	9	108
2	-427	56	2	4,52	24	109
3	-417	80	3	4,52	35	109
4	-401	101	4	4,52	35	124
5	-380	117	5	4,52	55	124
6	-356	127	6	4,52	75	124

Tipo Sezione
 Rettan.re Trapezi
 a T Circolare
 Rettangoli Coord.

Sollecitazioni
 S.L.U. Metodo n

N_{Ed} kN
M_{xEd} kNm
M_{yEd} kNm

P.to applicazione N
 Centro Baricentro cls
 Coord.[cm] xN yN

Tipo rottura
Lato calcestruzzo - Acciaio snervato

Metodo di calcolo
 S.L.U.+ S.L.U.-
 Metodo n

Tipo flessione
 Retta Deviata

N° rett.

Calcola MRd

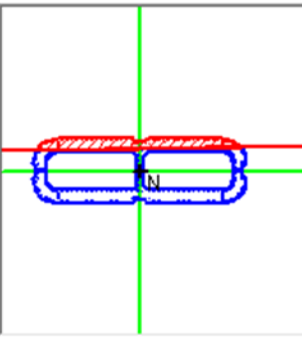
angolo asse neutro θ°

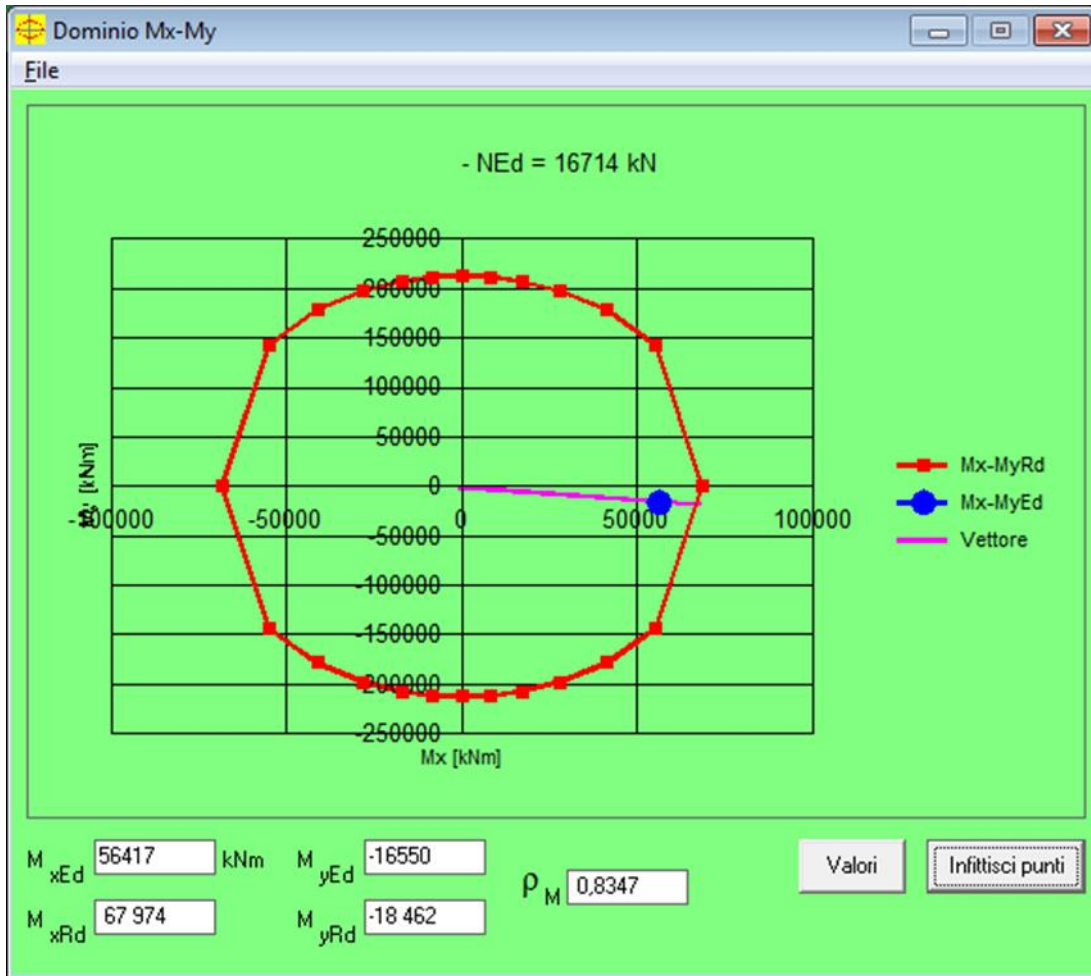
Precompresso

Materiali

ϵ_{su} ‰ ϵ_{c2} ‰
 f_{yd} N/mm² ϵ_{cu} ‰
 E_s N/mm² f_{cd} ‰
 E_s/E_c f_{cc}/f_{cd} ?
 ϵ_{syd} ‰ $\sigma_{c,adm}$ ‰
 $\sigma_{s,adm}$ N/mm² τ_{co} ‰
 τ_{c1} ‰

M_{xRd} kN m
 M_{yRd} kN m
 σ_c N/mm²
 σ_s N/mm²
 ϵ_c ‰
 ϵ_s ‰
d cm
x x/d
 δ





ρ_M 0.8347

FS 1.20

6.3 VERIFICHE SLU A TAGLIO

Seguono le sollecitazioni di verifica alla base del fusto pile, calcolate secondo il criterio della gerarchia delle resistenze:

Sollecitazioni - Condizione statica STR

SLU-STR	max	Combo.	F1	F2	F3	M1	M2
			kN	kN	kN	kNm	kNm
<i>max</i>	F1	SLU-STR-065	3786	1147	-25593	-16112	37537
<i>max</i>	F2	SLU-STR-019	1340	1769	-28686	-24471	11372
<i>min</i>	F1	SLU-STR-002	507	1299	-20432	-17791	4263
<i>min</i>	F2	SLU-STR-014	1188	186	-24727	-10972	10089

Sollecitazioni - Condizione sismica SIS (da calcolo diretto con q=1.5)

SLU-SIS	max	Combo.	F1	F2	F3	M1	M2
			kN	kN	kN	kNm	kNm
<i>max</i>	F1	SLU-SIS-011	6502	1512	-16714	-16550	56417
<i>max</i>	F2	SLU-SIS-038	2058	5008	-17140	-53475	18221
<i>min</i>	F1	SLU-SIS-102	-5874	-1461	-16002	14851	-48611
<i>min</i>	F2	SLU-SIS-135	-1762	-4871	-16002	50615	-13975

Sollecitazioni - Condizione sismica SIS (da G.R.)

SLU-SIS	max	Combo.	F1	F2	F3	M1	M2
			kN	kN	kN	kNm	kNm
<i>max</i>	F1	SLU-SIS-011	6502	1512	-16714	-16550	56417
<i>max</i>	F2	SLU-SIS-038	2058	5008	-17140	-53475	18221
<i>min</i>	F1	SLU-SIS-102	-5874	-1461	-16002	14851	-48611
<i>min</i>	F2	SLU-SIS-135	-1762	-4871	-16002	50615	-13975

MRd,1	MRd,2	Vgr,1	Vgr,2
kNm	kNm	kN	kN
36584	67279	7753	2268
155166	51729	3088	7511
36584	67279	8130	2192
169060	46068	2643	7306

Verifica - Direzione Longitudinale**Verifica a taglio per sezioni rettangolari armate a taglio (D.M. 14/01/2008)**

classe cls	Rck	40	N/mm ²
resist. Caratteristica cilindrica	fck	33	N/mm ²
	fcd	19	
	coeff. parziale	γ_c	1.5
larghezza membratura resistene a V	bw	1100	mm
altezza membratura resistene a V	H	2600	mm
altezza utile	d	2340	mm
area della sezione	As	1.04E+07	mm ²
sforzo assiale dovuto ai carichi o precompressione	N	1.60E+07	N
	σ_{cp}	5.60	N/mm ²
	α_c	1.25	
Acciaio	fyk	450	N/mm ²
Feb44k	fyd	391	N/mm ²
diametro staffe	ϕ_w	16	mm
Area staffa	A ϕ_w	201	mm ²
0.9 d	z	2106	mm
passo delle staffe (spille)	sw	100	mm
	n° bracci	6	
angolo di inclinazione	θ	37.0	°
deve essere compreso tra 1 e 2.5	cot(θ)	1.33	
angolo di inclinazione armatura rispetto asse palo	α	90	°
	cot(α)	0.00	
	Asw / sw	12.06	mm ² /mm

Taglio resistente per "taglio trazione"	VRsd	13193	kN
Taglio resistente per "taglio compressione"	VRcd	13092	kN

taglio sollecitante	VEd	8130	kN
fattore di sicurezza per GR (par. 7.9.5.2.2)	γ_{Bd}	1.17	
taglio resistente	VRd	11226	kN

VEd < VRd

La verifica è soddisfatta.

FS 1.38

Verifica - Direzione Trasversale**Verifica a taglio per sezioni rettangolari armate a taglio (D.M. 14/01/2008)**

classe cls	Rck	40	N/mm ²
resist. Caratteristica cilindrica	fck	33	N/mm ²
	fcd	19	
	coeff. parziale γ_c	1.5	
larghezza membratura resistene a V	bw	1100	mm
altezza membratura resistene a V	H	8600	mm
altezza utile	d	7740	mm
area della sezione	As	1.1E+07	mm ²
sforzo assiale dovuto ai carichi o precompressione	N	1.7E+07	N
	σ_{cp}	1.81	N/mm ²
	α_c	1.10	
Acciaio	fyk	450	N/mm ²
Feb44k	fyd	391	N/mm ²
diametro staffe	ϕ_w	16	mm
Area staffa	A ϕ_w	201	mm ²
0.9 d	z	6966	mm
passo delle staffe (spille)	sw	100	mm
	n° bracci	4	
angolo di inclinazione	θ	45	°
deve essere compreso tra 1 e 2.5	cot(θ)	1.00	
angolo di inclinazione armatura rispetto asse palo	α	45	°
	cot(α)	1.00	
	A _{sw} / sw	8.04	mm ² /mm

Taglio resistente per "taglio trazione"	VRsd	31003	kN
Taglio resistente per "taglio compressione"	VRcd	79021	kN

taglio sollecitante	VEd	7511	kN
fattore di sicurezza per GR (par. 7.9.5.2.2)	γ_{Bd}	1.25	
taglio resistente	VRd	24802	kN

VEd < VRd

La verifica è soddisfatta.

FS 3.30

6.5 VERIFICHE SLE DELLE TENSIONI

La verifica SLE di tipo tensionale si effettua controllando che le massime tensioni normali agenti nella sezione risultino inferiori ai seguenti valori limite:

per le combinazioni SLE-RAR:

- tensione limite nel calcestruzzo: $\sigma_c = 0.55 f_{ck}$
- tensione limite nelle barre: $\sigma_s = 0.75 f_{yk}$

per le combinazioni SLE-QPE:

- tensione limite nel calcestruzzo: $\sigma_c = 0.40 f_{ck}$

SLE-RAR-065

Verifica C.A. S.L.U. - File: 860x260_246fi24_RAR2

File Materiali Opzioni Visualizza Progetto Sez. Rett. Sismica Normativa: NTC 2008 ?

Titolo :

N° Vertici 84 Zoom N° barre 246 Zoom

N°	x [cm]	y [cm]
1	-430	30
2	-427	56
3	-417	80
4	-401	101
5	-380	117
6	-356	127

N°	As [cm²]	x [cm]	y [cm]
1	4,52	9	108
2	4,52	24	109
3	4,52	35	109
4	4,52	35	124
5	4,52	55	124
6	4,52	75	124

Tipo Sezione

Rettan.re Trapezi

a T Circolare

Rettangoli Coord.

Sollecitazioni

S.L.U. Metodo n

N_{Ed} 0 18133 kN

M_{xEd} 0 25826 kNm

M_{yEd} 0 10843

P.to applicazione N

Centro Baricentro cls

Coord.[cm] xN 0 yN 0

Metodo di calcolo

S.L.U.+ S.L.U.-

Metodo n

Verifica

N° iterazioni: 4

Precompresso

Materiali

B450C C32/40

ϵ_{su} 67,5 ‰ ϵ_{c2} 2 ‰

f_{yd} 391,3 N/mm² ϵ_{cu} 3,5 ‰

E_s 200 000 N/mm² f_{cd} 18,13

E_s/E_c 15 f_{cc}/f_{cd} 0,8

ϵ_{syd} 1,957 ‰ $\sigma_{c,adm}$ 12,25

$\sigma_{s,adm}$ 255 N/mm² τ_{co} 0,7333

τ_{c1} 2,114

σ_c -6,285 N/mm²

σ_s 108,7 N/mm²

ϵ_s 0,5436 ‰

d 286,9 cm

x 133,3 x/d 0,4645

δ 1

La verifica è soddisfatta.

SLE-RAR-070

Verifica C.A. S.L.U. - File: 860x260_246fi24_RAR1

File Materiali Opzioni Visualizza Progetto Sez. Rett. Sismica Normativa: NTC 2008 ?

Titolo : _____

N° Vertici Zoom N° barre Zoom

N°	x [cm]	y [cm]	N°	As [cm²]	x [cm]	y [cm]
1	-430	30	1	4,52	9	108
2	-427	56	2	4,52	24	109
3	-417	80	3	4,52	35	109
4	-401	101	4	4,52	35	124
5	-380	117	5	4,52	55	124
6	-356	127	6	4,52	75	124

Tipo Sezione
 Rettan.re Trapezi
 a T Circolare
 Rettangoli Coord.

Sollecitazioni
 S.L.U. Metodo n

N_{Ed} 14515 kN
 M_{xEd} 23543 kNm
 M_{yEd} 10685

P.to applicazione N
 Centro Baricentro cls
 Coord.[cm] xN
 yN

Metodo di calcolo
 S.L.U.+ S.L.U.-
 Metodo n

Materiali
 B450C C32/40
 ϵ_{su} 67,5 ‰ ϵ_{c2} 2 ‰
 f_{yd} 391,3 N/mm² ϵ_{cu} 3,5 ‰
 E_s 200 000 N/mm² f_{cd} 18,13
 E_s/E_c 15 f_{cc}/f_{cd} 0,8 ?
 ϵ_{syd} 1,957 ‰ $\sigma_{c,adm}$ 12,25
 $\sigma_{s,adm}$ 255 N/mm² τ_{co} 0,7333
 τ_{c1} 2,114

σ_c -5,818 N/mm²
 σ_s 119,6 N/mm²
 ϵ_s 0,598 ‰
 d 287,1 cm
 x 121,1 x/d 0,4219
 δ 0,9674

Verifica
 N° iterazioni:
 Precompresso

La verifica è soddisfatta.

6.6 VERIFICHE SLE A FESSURAZIONE

La verifica SLE a fessurazione si effettua controllando che il massimo valore di apertura delle fessure risulti inferiore ai seguenti valori limite:

per le combinazioni SLE-RAR:

- apertura fessure limite: $w_{lim} = w_1 = 0.20 \text{ mm}$
- c** pos. baric. strato i-esimo [mm]
- ∅** diametro barre strato i-esimo [mm]
- n** numero barre strato i-esimo []
- σ_{s_max}** Tensione massima barre strato i-esimo [MPa]
- b_{eff}** larghezza efficace [mm]
- $h_{c,eff}$** altezza efficace [mm]
- $A_{c,eff}$** area efficace relativamente ad una singola barre [mm²]
- $\rho_{p,eff}$** percentuale di armatura relativa a $A_{c,eff}$
- k_t** (0.6 carichi brevi; 0.4 lunga durata)
- k_1** (0.8 barre ad. migliorata; 1.6 liscie)
- k_2** (0.5 per flessione; 1 trazione)

Prima condizione di carico SLE-RAR

INPUT		
Rck	40	Mpa
h	550	mm
c1	68	mm
∅1	24	mm
n1	5.000	1/m
c2	0	mm
∅2	0	mm
n2	5.000	1/m
d	482	mm
b_{eff}	200	mm
x		mm
σ_{s_max1}	120	Mpa
σ_{s_max2}		Mpa
$h_{c,eff}$	170.0	mm
$A_{c,eff}$	34000	mm ²
$\rho_{p,eff}$	0.013	
k_t	0.6	
k_1	0.8	
k_2	0.5	
k_3	3.4	
k_4	0.425	

OUTPUT		
diff. def. armature-clc		
$\epsilon_{sm} - \epsilon_{cm}$	3.50E-04	-
distanza max fessure		
$s_{r,max}$	497	mm
ampiezza fessure:		
w_k	0.174	mm
w_{lim}	0.200	mm
La verifica è soddisfatta.		

7 VERIFICHE STRUTTURALI DEI PALI DI FONDAZIONE

7.1 GEOMETRIA DELLA SEZIONE ED ARMATURA

GEOMETRIA DELLA SEZIONE

Diametro del palo =	1200	mm
Copriferro netto c =	60	mm
Classe di resistenza calcestruzzo =	C25/30	Mpa
Classe di resistenza delle barre =	B450C	MPa

ARMATURA PER I PRIMI 10 \varnothing

1° strato di armatura longitudinale

Numero barre long.	24	-
Diametro barre long.	26	mm
Copriferro baricentrico arm. long. c' =	87	mm

2° strato di armatura longitudinale

Numero barre long.	24	-
Diametro barre long.	26	mm
Copriferro baricentrico arm. long. c' =	138	mm

Armatura trasversale

Diametro barre trasv.	14	mm
Passo arm. trasv.	200	mm
Diametro corona esterna =	1066	mm

7.2 VERIFICHE SLU A PRESSOFLESSIONE

Sono riportate a seguire le verifiche SLU della sezione di sommità del palo maggiormente sollecitato, espresse in forma sintetica mediante il diagramma di interazione N – M.

Diagramma d'interazione con le coordinate delle sollecitazioni indotte dalle combinazioni SLU-STR

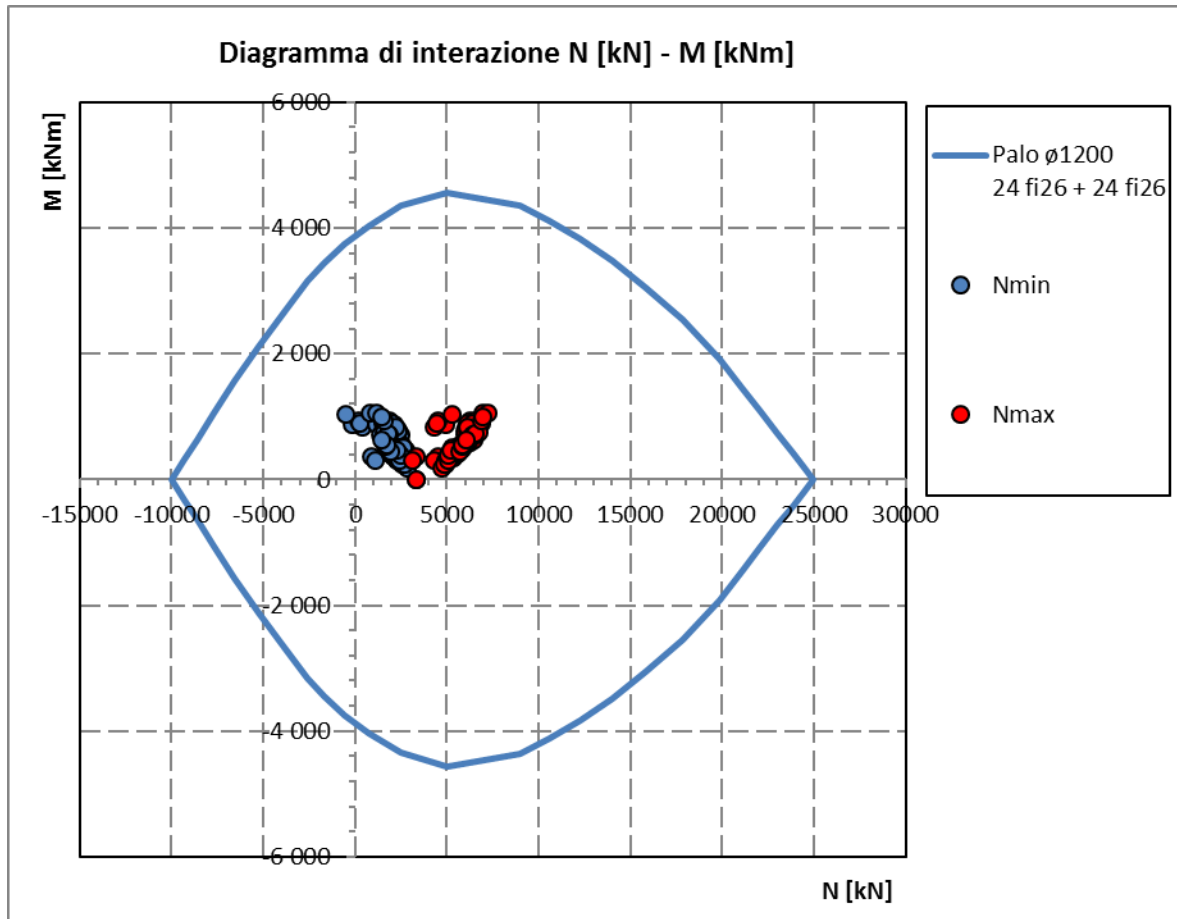
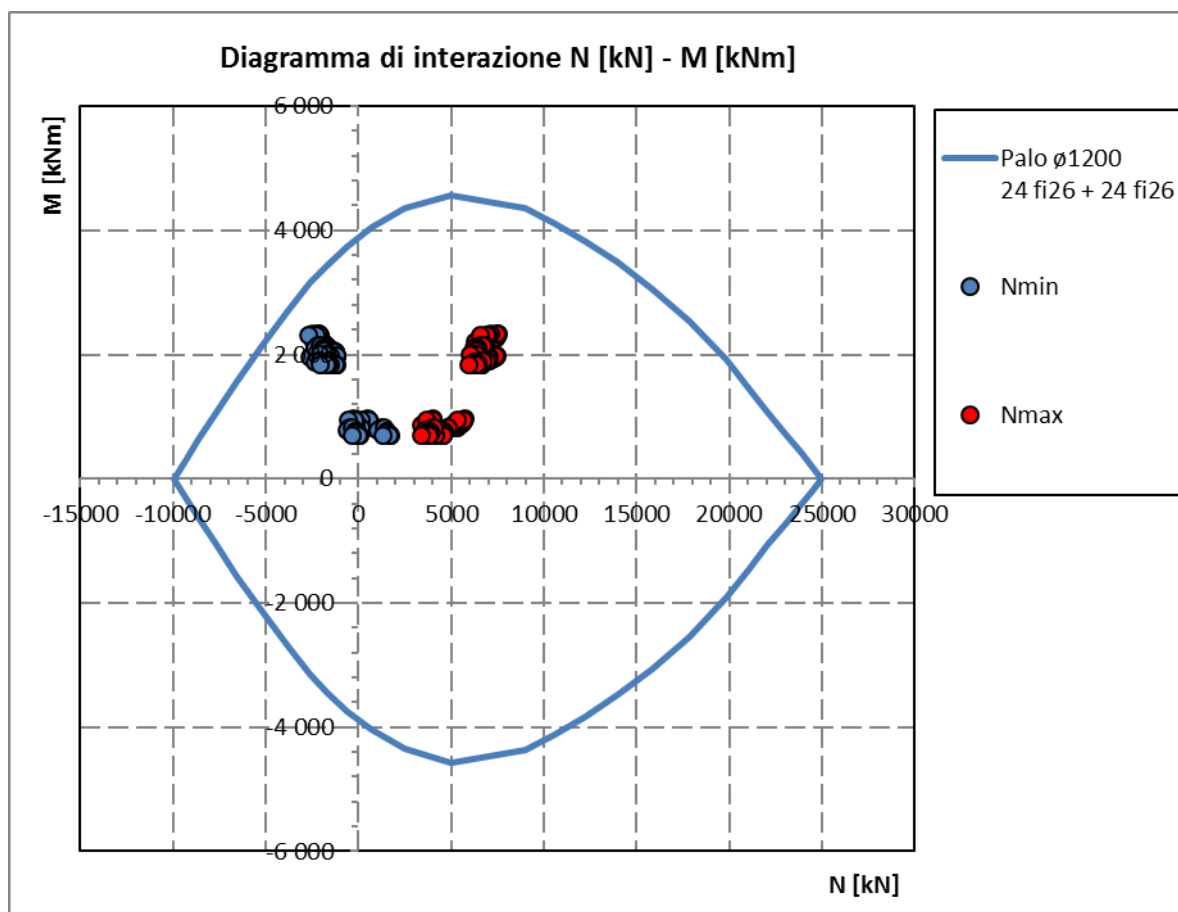


Diagramma d'interazione con le coordinate delle sollecitazioni indotte dalle combinazioni SLU-SLV



La verifica è soddisfatta in quanto le coppie N-M delle sollecitazioni agenti nella sezione di verifica sono interne al dominio di resistenza per ogni condizione di carico indagata.

7.3 VERIFICHE SLU A TAGLIO

Verifica a taglio per sezioni circolari armate a taglio (D.M. 14/01/2008)

classe cls	Rck	30	N/mm ²
resist. Caratteristica cilindrica	fck	25	N/mm ²
	fcd	14	N/mm ²
diametro	Φ	1200	mm
Area sezione	A	1130973	mm ²
copriferro	c	80	mm
Area sezione rettangolare equivalente	Aeq	941544	mm ²
altezza utile equivalente	d	931	mm
larghezza equivalente	bw	1011	mm
altezza equivalente	heq	1118	mm
sforzo assiale dovuto ai carichi o precompressione	N		N
	σ_{cp}	0.000	N/mm ²
	α_{cp}	1.00	

Acciaio	fyk	450	N/mm ²
B450C	fyd	391	N/mm ²
diametro staffe (spille)	ϕ_w	14	mm
Area staffa (spilla)	A ϕ_w	154	mm ²
0.9 d	z	838	mm
passo spirale	sw	200	mm
	n° bracci	2	
angolo di inclinazione biella compressa	θ	21.8	°
deve essere compreso tra 1 e 2.5	cot(θ)	2.50	
angolo di inclinazione armatura rispetto asse palo	α	90	°
	cot(α)	0.00	
	Asw / sw	1.54	mm ² /mm

Taglio resistente per "taglio trazione"	VRsd	1262	kN
Taglio resistente per "taglio compressione"	VRcd	2061	kN

taglio sollecitante	VEd	1069	kN
fattore di sicurezza per GR (par. 7.9.5.2.2)	γ_{Rd}	1	
taglio resistente	VRd	1262	kN
	VEd	<	VRd
verifica			

7.4 VERIFICHE SLE DELLE TENSIONI

La verifica SLE di tipo tensionale si effettua controllando che le massime tensioni normali agenti nella sezione risultino inferiori ai seguenti valori limite:

per le combinazioni SLE-RAR:

- tensione limite nel calcestruzzo: $\sigma_c = 0.55 f_{ck}$
- tensione limite nelle barre: $\sigma_s = 0.75 f_{yk}$

per le combinazioni SLE-QPE:

- tensione limite nel calcestruzzo: $\sigma_c = 0.40 f_{ck}$

SLE-RAR-065

Verifica C.A. S.L.U. - File: palo1200_24fi26+24fi26_RAR1

File Materiali Opzioni Visualizza Progetto Sez. Rett. Sismica Normativa: DM 1996 ?

Titolo :

Sezione circolare cava

Raggio esterno: 600 [mm]

Raggio interno: 0 [mm]

N° barre uguali: 0

Diametro barre: 0 [mm]

Copriferro (baric.): 0 [mm]

N° barre: 48 Zoom

N°	As [mm²]	x [mm]	y [mm]
1	531	0	513
2	531	133	496
3	531	257	444
4	531	363	363
5	531	444	257
6	531	496	133

Tipo Sezione

Rettan.re Trapezi

a T Circolare

Rettangoli Coord.

Sollecitazioni

S.L.U. Metodo n

N_{Ed}: 0 658 kN

M_{xEd}: 0 726 kNm

M_{yEd}: 0 0

P.to applicazione N

Centro Baricentro cls

Coord.[mm] xN: 0 yN: 0

Metodo di calcolo

S.L.U.+ S.L.U.-

Metodo n

Materiali

B450C C25/30

ϵ_{su} : 10 ‰ ϵ_{c2} : 2 ‰

f_{yd} : 391,3 N/mm² ϵ_{cu} : 3,5 ‰

E_s : 200 000 N/mm² f_{cd} : 13,28

E_s/E_c : 15 f_{cc}/f_{cd} : 0,8

ϵ_{syd} : 1,957 ‰ $\sigma_{c,adm}$: 9,75

$\sigma_{s,adm}$: 255 N/mm² τ_{co} : 0,6

τ_{c1} : 1,829

σ_c : -4,459 N/mm²

σ_s : 74,29 N/mm²

ϵ_s : 0,3714 ‰

d: 1 113 mm

x: 527,3 x/d: 0,4738

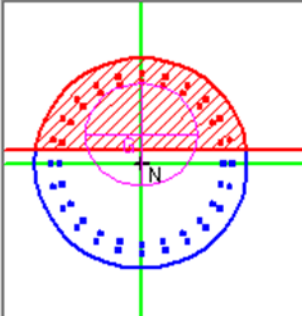
δ : 1

Vertici: 50

Verifica

N° iterazioni: 4

Precompresso



SLE-RAR-070

Verifica C.A. S.L.U. - File: palo1200_24fi26+24fi26_RAR2

File Materiali Opzioni Visualizza Progetto Sez. Rett. Sismica Normativa: DM1996 ?

Titolo : _____

Sezione circolare cava

Raggio esterno: 600 [mm]
 Raggio interno: 0 [mm]
 N° barre uguali: 0
 Diametro barre: 0 [mm]
 Copriferro (baric.): 0 [mm]

N° barre: 48 Zoom

N°	As [mm²]	x [mm]	y [mm]
1	531	0	513
2	531	133	496
3	531	257	444
4	531	363	363
5	531	444	257
6	531	496	133

Tipo Sezione

Rettan.re Trapezi
 a T Circolare
 Rettangoli Coord.

Sollecitazioni

S.L.U. Metodo n

N_{Ed}: 0 281 kN
 M_{xEd}: 0 724 kNm
 M_{yEd}: 0 0

P.to applicazione N

Centro Baricentro cls
 Coord.[mm] xN: 0 yN: 0

Metodo di calcolo

S.L.U.+ S.L.U.-
 Metodo n

Materiali

B450C C25/30

ϵ_{su} : 10 ‰ ϵ_{c2} : 2 ‰
 f_{yd} : 391,3 N/mm² ϵ_{cu} : 3,5 ‰
 E_s : 200 000 N/mm² f_{cd} : 13,28
 E_s/E_c : 15 f_{cc}/f_{cd} : 0,8 ?
 ϵ_{syd} : 1,957 ‰ $\sigma_{c,adm}$: 9,75
 $\sigma_{s,adm}$: 255 N/mm² τ_{co} : 0,6
 τ_{c1} : 1,829

σ_c : -4,362 N/mm²
 σ_s : 89,62 N/mm²
 ϵ_s : 0,4481 ‰
 d: 1 113 mm
 x: 469,7 x/d: 0,422
 δ : 0,9675

Vertici: 50
 Verifica
 N° iterazioni: 4
 Precompresso

7.5 VERIFICHE SLE A FESSURAZIONE

La verifica SLE a fessurazione si effettua controllando che il massimo valore di apertura delle fessure risulti inferiore ai seguenti valori limite:

per le combinazioni SLE-RAR:

- apertura fessure limite: $w_{lim} = w_1 = 0.30 \text{ mm}$

Prima condizione di carico SLE-RAR

INPUT		
Rck	30	Mpa
h	1200	mm
c1	87	mm
ϕ_1	26	mm
n1	7.839	1/m
c2	138	mm
ϕ_2	26	mm
n2	7.839	1/m
d	1088	mm
beff	128	mm
x	527	mm
σ_{s_max1}	74	Mpa
σ_{s_max2}	74	Mpa
$h_{c,eff}$	224	mm
$A_{c,eff}$	28617	mm ²
$\rho_{p,eff}$	0.037	
kt	0.6	
k1	0.8	
k2	0.5	
k3	3.4	
k4	0.425	

OUTPUT		
diff. def. armature-cls		
$\epsilon_{sm} - \epsilon_{cm}$	2.16E-04	-
distanza max fessure		
$s_{r,max}$	488	mm
ampiezza fessure:		
wk	0.106	mm
wlim	0.300	mm
La verifica è soddisfatta.		

Seconda condizione di carico SLE-RAR

INPUT		
Rck	30	Mpa
h	1200	mm
c1	87	mm
$\phi 1$	26	mm
n1	7.839	1/m
c2	138	mm
$\phi 2$	26	mm
n2	7.839	1/m
d	1088	mm
beff	128	mm
x	470	mm
σ_{S_max1}	90	Mpa
σ_{S_max2}	90	Mpa
$h_{C,eff}$	243	mm
$A_{C,eff}$	31040	mm ²
$\rho_{p,eff}$	0.034	
kt	0.6	
k1	0.8	
k2	0.5	
k3	3.4	
k4	0.425	

OUTPUT		
diff. def. armature-cla		
$\epsilon_{sm} - \epsilon_{cm}$	2.62E-04	-
distanza max fessure		
$s_{r,max}$	503	mm
ampiezza fessure:		
wk	0.132	mm
wlim	0.300	mm
La verifica è soddisfatta.		

8 VERIFICHE DEL PLINTO DI FONDAZIONE

8.1 VERIFICHE SLU E SLE A TIRANTE-PUNTONE

Le verifiche SLU e SLE si effettuano controllando che le massime tensioni normali agenti nel tirante di armatura e nella biella compressa di calcestruzzo risultino inferiori ai seguenti valori limite:

per le combinazioni SLU e SLV:

- tensione limite nel calcestruzzo: $\sigma_c = f_{cd}' = 0.5 f_{cd}$
- tensione limite nelle barre: $\sigma_s = f_{yd}$

per le combinazioni SLE-RAR:

- tensione limite nel calcestruzzo: $\sigma_c = 0.55 f_{ck}$
- tensione limite nelle barre: $\sigma_s = 0.75 f_{yk}$

per le combinazioni SLE-QPE:

- tensione limite nel calcestruzzo: $\sigma_c = 0.40 f_{ck}$

Si distinguono due meccanismi di tipo tirante-puntone principali nel plinto di fondazione, illustrati nelle figure seguenti e descritti a seguire:

- un primo meccanismo è innescato dalle azioni trasmesse al plinto dai pali centrali e coinvolge un tirante-puntone parallelo alla direzione longitudinale (evidenziato in verde). Tale meccanismo coinvolge la sola armatura longitudinale inferiore del plinto.
- un secondo meccanismo coinvolge i pali di spigolo ed innesca un tirante-puntone anch'esso parallelo alla direzione longitudinale (evidenziato in rosso). Tale meccanismo coinvolge la sola armatura longitudinale inferiore del plinto.

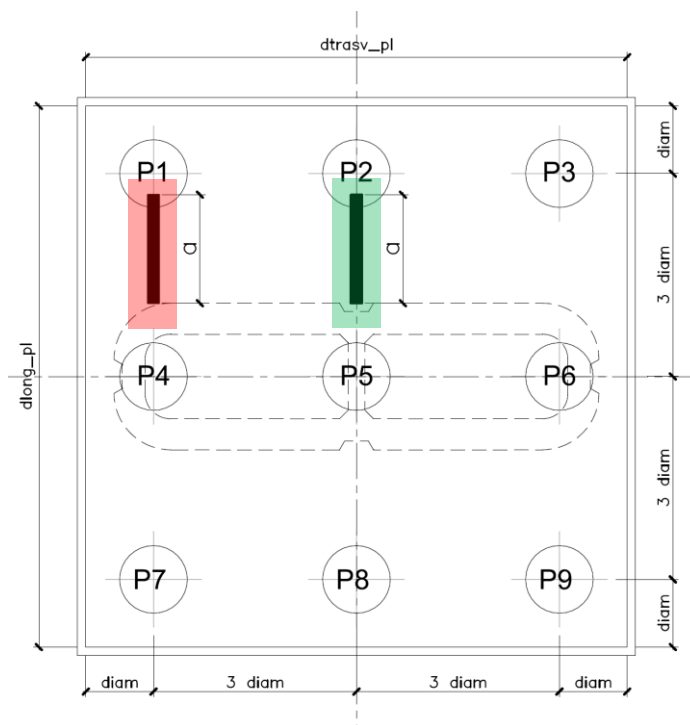


Figura 2 – Vista in pianta - Tirante-puntone centrale (verde) e di spigolo (rosso)

8.1.1 VERIFICHE RELATIVE AI PALI DI SPIGOLO

Seguono le forze assiali agenti alla testa dei pali nelle condizioni di carico più severe per ogni combinazione di carico:

	Nmax	Nmin
SLU-STR	7181	-556
SLU-GEO	5920	-195
SIS-SLV	7490	-2689
	kN	kN

	Nmax	Nmin
SLE-QP	2636	2067
SLE-RAR	5029	281
	kN	kN

Seguono le verifiche delle armature superiori ed inferiori del plinto di fondazione:

Armatura inferiore

	Nmax	PEd	T	σ_{s_long}	σ_{s_trasv}	< fyd	C	σ_c	< fcd'
SLU-STR	7181	6449	7422	210	0	VERO	9833	5.2	VERO
SLU-GEO	5920	5188	5971	169	0	VERO	7910	4.2	VERO
SIS-SLV	7490	6758	7778	220	0	VERO	10304	5.5	VERO
	kN	kN	kN	Mpa	Mpa		kN	Mpa	

Armatura superiore

	Nmin	PEd	T	σ_{s_long}	σ_{s_trasv}	< fyd	C	σ_c	< fcd'
SLU-STR	-556	1288							
SLU-GEO	-195	927							
SIS-SLV	-2689	3421	3937	290	0	VERO	5216	2.8	VERO
	kN	kN	kN	Mpa	Mpa		kN	Mpa	

Armatura inferiore

	Nmax	PEd	T	σ_{s_long}	σ_{s_trasv}	< 0.75 fyk	C	σ_c	< 0.40 fck'
SLE-QP	2636	1904	2191	62	0	VERO	2902	1.5	VERO
SLE-RAR	5029	4297	4945	140	0	VERO	6551	3.5	VERO
	kN	kN	kN	Mpa	Mpa		kN	Mpa	

Armatura superiore

	Nmin	PEd	T	σ_{s_long}	σ_{s_trasv}	< 0.75 fyk	C	σ_c	< 0.40 fck'
SLE-QP	2067	-							
SLE-RAR	281	-							
	kN	kN	kN	Mpa	Mpa		kN	Mpa	

Le verifiche sono soddisfatte.

8.1.2 VERIFICHE RELATIVE AI PALI DI INTERMEDI

Forze assiali agenti alla testa dei pali nelle condizioni di carico più severe per ogni combinazione di carico.

	Nmax	Nmin
SLU-STR	6193	306
SLU-GEO	5065	551
SIS-SLV	6415	-1681
	kN	kN

	Nmax	Nmin
SLE-QP	2636	2067
SLE-RAR	4362	861
	kN	kN

Seguono le verifiche delle armature superiori ed inferiori del plinto di fondazione:

Armatura inferiore

	Nmax	PEd	T	σ_{s_long}	σ_{s_trasv}	< fyd	C	σ_c	< fcd'
SLU-STR	6193	5461	6285	185	-	VERO	8326	3.7	VERO
SLU-GEO	5065	4333	4987	147	-	VERO	6607	2.9	VERO
SIS-SLV	6415	5683	6540	193	-	VERO	8664	3.8	VERO
	kN	kN	kN	Mpa	Mpa		kN	Mpa	

Armatura superiore

	Nmin	PEd	T	σ_{s_long}	σ_{s_trasv}	< fyd	C	σ_c	< fcd'
SLU-STR	306	-							
SLU-GEO	551	-							
SIS-SLV	-1681	2413	2777	227	-	VERO	3679	1.6	VERO
	kN	kN	kN	Mpa	Mpa		kN	Mpa	

Armatura inferiore

	Nmax	PEd	T	σ_{s_long}	σ_{s_trasv}	< 0.75 fyk	C	σ_c	< 0.40 fck'
SLE-QP	2636	1904	2191	65	-	VERO	2902	1.3	VERO
SLE-RAR	4362	3630	4178	123	-	VERO	5535	2.4	VERO
	kN	kN	kN	Mpa	Mpa		kN	Mpa	

Armatura superiore

	Nmin	PEd	T	σ_{s_long}	σ_{s_trasv}	< 0.75 fyk	C	σ_c	< 0.40 fck'
SLE-QP	2067	-							
SLE-RAR	861	-							VERO
	kN	kN	kN	Mpa	Mpa		kN	Mpa	

Le verifiche sono soddisfatte.

8.2 VERIFICHE SLU A PUNZONAMENTO

Conservativamente, la verifica è stata riferita al palo di bordo maggiormente sollecitato e lo sviluppo del perimetro efficace u è stato definito considerando una distanza dall'impronta caricata (coincidente con la sezione di testa del palo) pari a $d = a \cdot 0.9 H_{pl}$ (H_{pl} = altezza plinto, $a < 2$), come illustrato nella seguente figura.

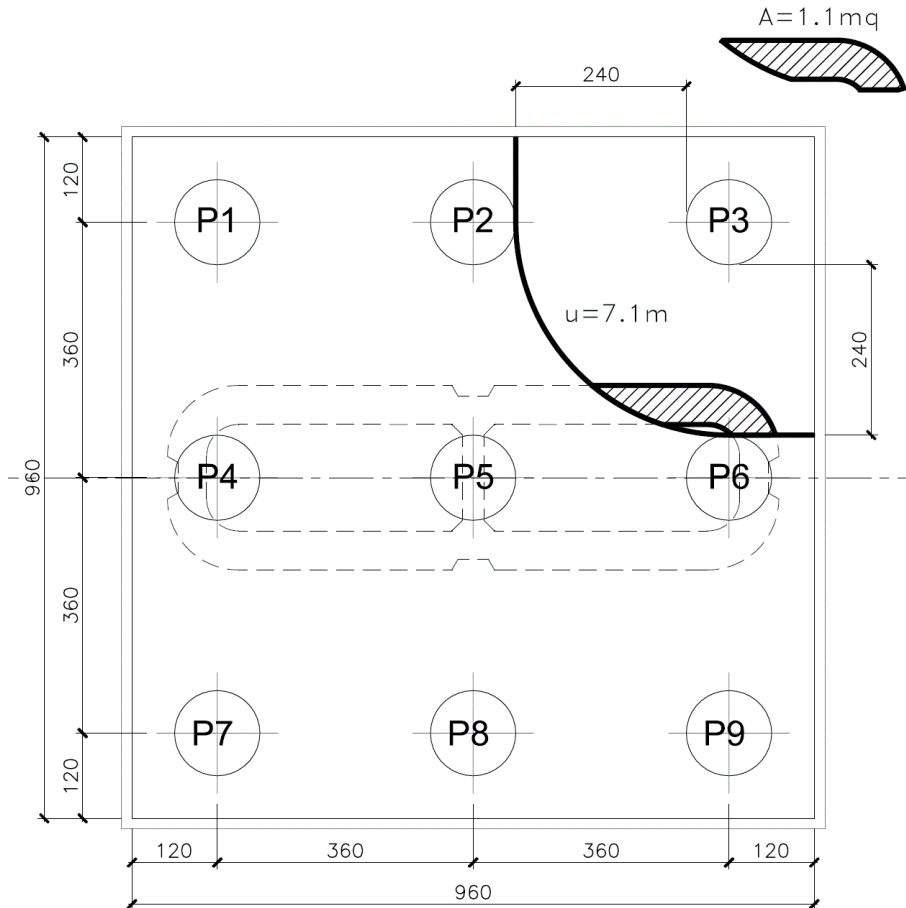


Figura 3 – Perimetro efficace per la verifica a taglio-punzonamento

A seguire si riportano il valore della forza concentrata V_{Ed} [kN] agente alla testa del palo maggiormente sollecitato nella condizione di verifica più severa, il valore del coefficiente a che individua la geometria del perimetro efficace e lo sviluppo u [m] di quest'ultimo.

La forza concentrata $V_{Ed} = 6364$ kN è stata depurata della quota parte di forza assiale agente nella sezione di base del fusto della pila, pari a $N_{Ed}^* = N_{Ed} \cdot A / A_c = 16000$ kN \cdot 1.1 m² / 10.45 m² = 1688 kN.

$V_{Ed} - N_{Ed}^*$	5070	kN
a	1.1	
u	7.1	m

Verifica a punzonamento per sezioni rettangolari SENZA armatura a taglio (NTC08 - EC2-rev05)				
classe cls	C	35	Mpa	
coeff. parziale	γ_c	1.5		
perimetro di verifica	u1	7100	mm	
altezza soletta	H	2500	mm	
altezza utile	d	2393	mm	
diametro ferro longitudinale teso	ϕ_{lon}	30	mm	
	strati	2.5		
	passo	150	mm	
percentuale di armatura trasversale teso	ρ_{lx}	0.49%		
diametro ferro trasversale	ϕ_{tra}	22	mm	
	strati	2.0		
	passo	200	mm	
percentuale di armatura trasv	ρ_{tx}	0.16%		
percentuale di armatura totale	ρ_l	0.28%		
Eventuale compressione long	σ_{c_lon}	0	Mpa	
Eventuale compressione trasv	σ_{c_tra}	0	Mpa	
	σ_c	0.00	N/mm ²	
	k1	0.10		
	$C_{r,dc}$	0.12		
	k	1.29		
	vmin	0.30	Mpa	
	vrd_c	0.331	Mpa	
	vmin+k1σ_{cp}	0.303	Mpa	
Tensione resistente taglio-punzonamento	vrd_c	0.331	N/mm ²	
taglio sollecitante (*)	VEd - NEd*	5070	kN	
(*) valore ridotto della quota parte di NEd (base pila) relativa all'area A*	vEd	0.298	Mpa	
La verifica è soddisfatta	vrd_c	>	ved	

8.3 VERIFICHE SLE A FESSURAZIONE

La verifica SLE a fessurazione si effettua controllando che il massimo valore di apertura delle fessure risulti inferiore ai seguenti valori limite:

per le combinazioni SLE-RAR:

- apertura fessure limite: $w_{lim} = w_1 = 0.30 \text{ mm}$

Le verifiche riportate a seguire sono riferite al meccanismo tirante-puntone che coinvolge i pali di spigolo (meccanismo diagonale), ossia il più severo tra i due presi in considerazione.

8.3.1 VERIFICA RELATIVA AI PALI DI SPIGOLO

1. Armatura longitudinale inferiore LATERALE

INPUT		
Rck	35	Mpa
h	2500	mm
c1	55	mm
$\phi 1$	30	mm
n1	6.667	1/m
c2	107	mm
$\phi 2$	30	mm
n2	6.667	1/m
c3	159	mm
$\phi 3$	30	mm
n3	3.333	1/m
d	2403	mm
beff	150	mm
x		mm
σ_{s_max1}	140	Mpa
σ_{s_max2}	140	Mpa
$h_{c,eff}$	241.5	mm
$A_{c,eff}$	36225	mm ²
$\rho_{p,eff}$	0.049	
kt	0.6	
k1	0.8	
k2	1	
k3	3.4	
k4	0.425	

OUTPUT		
diff. def. armature-cls		
$\epsilon_{sm} - \epsilon_{cm}$	4.58E-04	-
distanza max fessure		
$S_{f,max}$	578	mm
ampiezza fessure:		
wk	0.265	mm
wlim	0.300	mm
La verifica è soddisfatta.		

8.3.2 VERIFICA RELATIVA AI PALI INTERMEDI

1. Armatura longitudinale inferiore CENTRALE

INPUT		
Rck	35	Mpa
h	2500	mm
c1	55	mm
φ1	30	mm
n1	6.667	1/m
c2	107	mm
ø2	30	mm
n2	6.667	1/m
c3		mm
ø3		mm
n3		1/m
d	2419	mm
beff	150	mm
x		mm
σ _{S_max1}	123	Mpa
σ _{S_max2}	123	Mpa
hc,eff	202.5	mm
Ac,eff	30375	mm ²
ρp,eff	0.047	
kt	0.6	
k1	0.8	
k2	1	
k3	3.4	
k4	0.425	

OUTPUT		
diff. def. armature-clc		
ε _{sm} - ε _{cm}	3.68E-04	-
distanza max fessure		
sr,max	513	mm
ampiezza fessure:		
wk	0.189	mm
wlim	0.300	mm
La verifica è soddisfatta.		